

CONTROLUL VIBRAȚIILOR UTILIZÂND MATERIALE COMPOZITE MAGNETO- REOLOGICE

Teză destinată obținerii
titlului științific de doctor la
Universitatea "Politehnica" din Timișoara
în domeniul INGINERIE MECANICĂ
de către

fiz. Alexandru BOLTOȘI

Conducător științific:

Prof.dr.ing. Liviu Brîndeu †

Prof.dr.ing. Titus Cioară †

Prof.dr.ing. Liviu Bereteu

Referenți științifici:

Prof. dr. fiz. **IOAN BICA**
Conf. dr. ing. **TIBERIU VESSELENYI**
Prof. dr. ing. **ADRIAN CHIRIAC**

Ziua susținerii tezei: 16.07.2010

Seriile Teze de doctorat ale UPT sunt:

- | | |
|------------------------|---|
| 1. Automatică | 7. Inginerie Electronică și Telecomunicații |
| 2. Chimie | 8. Inginerie Industrială |
| 3. Energetică | 9. Inginerie Mecanică |
| 4. Ingineria Chimică | 10. Știința Calculatoarelor |
| 5. Inginerie Civilă | 11. Știința și Ingineria Materialelor |
| 6. Inginerie Electrică | 12. Ingineria sistemelor |

Universitatea „Politehnica” din Timișoara a inițiat seriile de mai sus în scopul diseminării expertizei, cunoștințelor și rezultatelor cercetărilor întreprinse în cadrul școlii doctorale a universității. Seriile conțin, potrivit H.B.Ex.S Nr. 14 / 14.07.2006, tezele de doctorat susținute în universitate începând cu 1 octombrie 2006.

Copyright © Editura Politehnica – Timișoara, 2010

Această publicație este supusă prevederilor legii dreptului de autor. Multiplicarea acestei publicații, în mod integral sau în parte, traducerea, tipărirea, reutilizarea ilustrațiilor, expunerea, radiodifuzarea, reproducerea pe microfilme sau în orice altă formă este permisă numai cu respectarea prevederilor Legii române a dreptului de autor în vigoare și permisiunea pentru utilizare obținută în scris din partea Universității „Politehnica” din Timișoara. Toate încălcările acestor drepturi vor fi penalizate potrivit Legii române a drepturilor de autor.

România, 300159 Timișoara, Bd. Republicii 9,
tel. 0256 403823, fax. 0256 403221
e-mail: editura@edipol.upt.ro

Cuvânt înainte

Teza de doctorat cu tema „CONTROLUL VIBRAȚIILOR UTILIZÎND MATERIALE COMPOZITE MAGNETO-REOLOGICE”, a fost elaborată pe parcursul activității mele în cadrul Facultății de Mecanică, catedra de Mecanică și Vibrații, a Universității „Politehnica” din Timișoara.

Lucrarea a pus accentul pe aplicațiile compozitelor magnetoreologice în mecanică și în special pe utilizarea fluidelor magnetoreologice în realizarea de dispozitive semi-active de reducere a vibrațiilor. Controlul vibrațiilor este un domeniu cu numeroase aplicații remarcabile.

Am încercat să găsesc soluții originale dar simple și viabile pentru efectuarea de experimente începând de la standul experimental până la realizarea de dispozitive cu fluide magnetoreologice. Sper că acest demers va fi util celor care sunt interesați de acest domeniu.

~~~

*În încheiere aş dori și pe această cale să aduc cele mai calde mulțumiri conducătorului științific Prof.dr.ing. Liviu Bereteu pentru că m-a susținut în finalizarea tezei.*

*Totodată vreau să-mi exprim recunoștiința față de regretele profesori, DR.ING. LIVIU BRÎNDEU cu care am început elaborarea acestei teze și DR.ING. TITUS CIOARĂ, pentru sprijinul substanțial, de un înalt profesionalism, pentru încurajări și interesul constant manifestat în timpul pregătirii mele.*

*De asemenea, mulțumesc distinșilor profesori, colegilor și personalului auxiliar din catedra de „Mecanică și Vibrații” a facultății de Mecanică-Timișoara, precum și a celor din facultatea de Fizică a Universității de Vest-Timișoara, în special D-lui dr.fiz. IOAN BICA, care m-au ajutat și susținut pe parcursul activității mele.*

*Sunt profund recunoscător D-lui dr.ing. TIBERIU VESSELENYI de la Universitatea din Oradea pentru răbdarea și altruismul sau și de la care am învățat multe lucruri despre modelari.*

*Nu pot să nu amintesc aici și despre D-nul dr.fiz. IOAN GROZESCU de la Institutul de Cercetare al Materiei Condensate din Timisoara care m-a sprijinit ani de zile în materializarea ideilor mai deosebite și care în final au fost valorificate în brevete de inventii și articole publicate.*

*Mulțumesc sincer tuturor prietenilor și familiei pentru încrederea și sprijinul moral acordat, pentru ducerea la bun sfârșit a acestei lucrări.*

**Dedic această lucrare celor dragi.**

Timișoara iulie 2010

**Alexandru BOLTOȘI**

**Alexandru BOLTOȘI*****CONTROLUL VIBRAȚIILOR UTILIZÂND MATERIALE COMPOZITE  
MAGNETOREOLOGICE***

Teze de doctorat ale UPT, Seria 9, Nr. 80, Editura Politehnica, 2010, extinsă pe 160 pagini cuprinde: 98 ecuații matematice, 72 figuri ilustrative și grafice, 2 tabele, 2 anexe, 133 titluri bibliografice.

ISSN 1842-4937  
ISBN 978-606-554-137-5

*Cuvinte cheie:* fluid magnetoreologic, amortizoare semi-active cu MRF, pendul Charpy

***Rezumat,***

Teza de doctorat cu titlul „Controlul vibrațiilor utilizând materiale compozite magnetoreologice” face un studiu cu accentul pus pe amortizoarele cu fluid magnetoreologic. Au fost prezentate pe larg tipurile constructive iar în cazul amortizoarelor cu MRF cu circuit extern au fost explicate soluțiile originale adoptate de autor. Realizarea modulară și folosirea de subansamblu industrial din alte domenii duc la scurtarea timpului de execuție, la creșterea fiabilității sistemului și la un preț foarte scăzut. Se prezintă realizarea a diferite acumulatoare cu gaz sub presiune care pe lângă rolul lor clasic dispun de facilități de reglaj care pot modifica în limite largi caracteristicile amortizorului. Sunt prezentate și soluțiile originale aplicate în realizarea circuitului de by-pass. Experimentele și măsurările s-au efectuat pe un stand realizat prin modificarea unui pendul Charpy. Aici s-a pus accentul pe realizarea de accesori care să permită studierea amortizoarelor de diferite gabarite și forțe. S-a pus în evidență un fenomen nemenționat în literatură care permite autotestarea unui amortizor semi-activ cu MRF montat pe un autoturism dotat cu calculator de bord. În continuare sunt prezentate cele două modele realizate în MATLAB și o animație referitoare la mișcările ansamblului amortizor-pendul pentru valoarea minimă și maximă a coeficientului de amortizare.

# CUPRINS

|                                                           |    |
|-----------------------------------------------------------|----|
| <b>CUVÂNT ÎNAINTE</b>                                     | 3  |
| <b>CUPRINS</b>                                            | 5  |
| <br>                                                      |    |
| <b>CAPITOLUL 1</b>                                        |    |
| INTRODUCERE                                               |    |
| 1.1.INTRODUCERE ÎN PROBLEMATICA TEZEI                     | 7  |
| 1.2.SCOPUL ȘI OBIECTIVELE TEZEI                           | 7  |
| 1.3.ORGANIZAREA TEZEI                                     | 8  |
| <br>                                                      |    |
| <b>CAPITOLUL 2</b>                                        |    |
| MATERIALE MAGNETO REOLOGICE (MR). PROPRIETĂȚI ȘI MODELĂRI |    |
| 2.1. GENERALITĂȚI                                         | 9  |
| 2.2. TEHNOLOGIA DE OBȚINERE A MRF                         | 10 |
| 2.3. PROPRIETĂȚI ALE MRF                                  | 11 |
| 2.4. MODELE REOLOGICE PENTRU ELEMENTE MR                  | 16 |
| 2.5. MODELE REOLOGICE ALE ELEMENTELOR DISIPATIVE MR       | 18 |
| 2.5.1 MODELUL REOLOGIC NEWTON                             | 18 |
| 2.5.2 MODELUL REOLOGIC BINGHAM                            | 18 |
| 2.5.3 MODELUL REOLOGIC BOUC-WEN                           | 23 |
| 2.5.4 MODELUL REOLOGIC OH-ONODA                           | 24 |
| 2.5.5 MODELUL REOLOGIC CHOI                               | 25 |
| 2.6.ELASTOMERI MAGNETOREOLOGICI (MRE)                     | 26 |
| 2.6.1.INTRODUCRE                                          | 26 |
| 2.6.2.OBȚINEREA MRE                                       | 26 |
| 2.6.3.DISPOZITIVE MRE                                     | 27 |
| 2.7.CONCLUZII PARȚIALE                                    | 28 |
| <br>                                                      |    |
| <b>CAPITOLUL 3</b>                                        |    |
| TESTAREA AMORTIZOARELOR CU MRF                            |    |
| 3.1.STAND PENDULAR PENTRU TESTAREA AMORTIZOARELOR CU MRF  | 30 |
| 3.2.MODELUL DINAMIC AL SISTEMULUI PENDULAR                | 31 |
| 3.3.SIMULAREA NUMERICĂ A MODELULUI DINAMIC                | 37 |
| 3.4.TESTE EXPERIMENTALE                                   | 45 |
| 3.5.CONCLUZII PARȚIALE                                    | 47 |

|                                                                                                      |    |
|------------------------------------------------------------------------------------------------------|----|
| <b>CAPITOLUL 4</b>                                                                                   |    |
| DISPOZITIVE AMORTIZOARE MR. APLICAJII                                                                |    |
| 4.1. DISPOZITIVE PASIVE                                                                              | 48 |
| 4.1.1.DISPOZITIVE AMORTIZOARE HIDRAULICE LINEARE<br>CU PISTON                                        | 48 |
| 4.1.2.DISPOZITIVE AMORTIZOARE PASIVE PENTRU<br>DEPLASĂRI MICI                                        | 51 |
| 4.1.2.1.DISPOZITIVE HIDRAULICE                                                                       | 51 |
| 4.1.2.2.DISPOZITIVE CU ELEMENTE DEFORMABILE<br>DIN POLIMERI                                          | 52 |
| 4.1.3.DISPOZITIVE AMORTIZOARE HIDRAULICE ROTATIVE                                                    | 54 |
| 4.2. DISPOZITIVE AMORTIZOARE SEMIACTIVE CU MATERIALE MR                                              | 56 |
| 4.2.1.DISPOZITIVE AMORTIZOARE HIDRAULICE CU<br>DISIPARE DE TIP VALVA                                 | 56 |
| 4.2.2.DISPOZITIVE AMORTIZOARE CU DISIPARE PRIN<br>FORFECAREA STRATULUI DE MRF                        | 59 |
| 4.2.2.1.DISPOZITIVE LINEARE                                                                          | 60 |
| 4.2.2.2.DISPOZITIVE ROTATIVE                                                                         | 61 |
| 4.2.3.DISPOZITIVE AMORTIZOARE CU FLUID<br>MAGNETOREOLOGIC ÎN STRUCTURĂ MODULARĂ CU<br>CIRCUIT EXTERN | 62 |
| 4.3. FRĂNE ȘI CUPLAJE CU MRF                                                                         | 66 |
| 4.4. PLATFORME STEWART                                                                               | 67 |
| <b>Capitolul 5</b>                                                                                   |    |
| CONCLUZII. CONTRIBUJII ORIGINALE                                                                     | 75 |
| <b>BIBLIOGRAFIE</b>                                                                                  | 77 |
| <b>ANEXE</b>                                                                                         | 86 |

# **Capitolul 1**

## **INTRODUCERE**

### **1.1. Introducere în problematica tezei**

Majoritatea materialelor nu sunt capabile să se adapteze la schimbările din mediul lor. În contrast cu aceste materiale convenționale, în ultimele decenii au fost dezvoltate o serie de materiale de înaltă performanță ale căror proprietăți reologice pot fi modificate semnificativ în timpul utilizării. Aceste materiale intră în categoria materialelor multifuncționale sau „inteligente”(smart materials). În Germania ele sunt studiate în cadrul „adaptronicii”. Ele sunt definite ca materiale care posedă capacitați adaptive la stimuli externi. În funcție de material, modificarea unor parametrii ca temperatura, presiunea,intensitatea unui câmp magnetic sau electric induc modificări rapide în proprietățile acestor materiale.

Acest proces este precis, reversibil, reproductibil și permite un mare număr de cicluri de funcționare. Din acest motiv materialele inteligente sunt folosite atât ca elemente de acționare cât și în senzoristică.

Cele mai multe aplicații și-au găsit locul în industria aeronautică și spațială, în industria de armament, în robotică, la autovehicule, structuri mari, chiar și în medicină. Dezvoltarea explozivă a nanotehnologiilor și utilizarea lor la realizarea acestor materiale a mărit și mai mult aria de aplicabilitate.

În aceasta lucrare s-a pus accentul pe aplicațiile compozitelor magnetoreologice în mecanică și în special pe utilizarea fluidelor magnetoreologice în realizarea de dispozitive semi-active de reducere a vibrațiilor.

Reducerea vibrațiilor este un domeniu cu numeroase aplicații remarcabile. Amortizoarele de vibrații semi-active realizate cu fluide magnetoreologice (MRF) și electroreologice (ERF) sunt testate și optimizate pentru înglobarea lor în suporturi de mașini de precizie, platforme Stewart, autovehicule și până la structuri mari.

În Japonia, China și Coreea de Sud, țări cu risc seismic ridicat, la mai multe clădiri înalte de birouri s-au folosit asemenea amortizoare semi-active care s-au comportat foarte bine comparativ cu dispozitivele clasice. Rezultate spectaculoase s-au obținut și la poduri suspendate prin cabluri.

Acstea materiale oferă șansa inginerilor de a proiecta componente și dispozitive care rezolvă în mod elegant și eficient cerințe din foarte multe domenii.

### **1.2. Scopul și obiectivele tezei**

Lucrarea prezintă soluții simple, funcționale și ieftine pentru realizarea de amortizoare cu MRF cu circuit extern într-o gamă extrem de largă de gabarite. Conține de asemenea idei și soluții utile pentru persoanele interesate să facă experimente în domeniul izolării antivibratorii, deoarece atenuatoarele de vibrații semi-active realizate cu materiale magnetoreologice în matrice lichidă sau vâscoco-elastică reprezintă un mare progres în acest domeniu.

## 8 Introducere-1

---

Actualitatea și importanța temei tratate se regăsesc pe parcursul tezei.

### 1.3. Organizarea tezei

Lucrarea este structurată pe 5 capitole ce cuprind studii teoretice și experimentale care pun în evidență comportamentul dispozitivelor cu materiale composite magneto-reologice cu aplicații în atenuarea vibrațiilor.

**Capitolul 1** realizează introducerea în problematica temei tratate. Pe parcursul acestui capitol este justificată importanța și mai ales actualitatea acestei teme. Totodată sunt stabilite obiectivele urmărite de autor de-a lungul tezei și este prezentată organizarea tezei.

În **capitolul 2** sunt tratate pe larg proprietățile materialelor magneto-reologice, precizând tehnologia de取得 a acestora. Sunt de asemenea prezentate mai multe modele reologice pentru elemente magneto-reologice, în același timp analizând elastomerii magneto-reologici care reprezintă o clasă importantă de materiale din domeniul ingineriei, utilizate pentru absorbția vibrațiilor și controlul zgomotului.

**Capitolul 3** conține testarea amortizoarelor cu MRF, simularea numerică a modelului dinamic și studiul experimental al acestuia. Pentru determinările experimentale s-a realizat un stand pendular prin adaptarea unui pendul Charpy, iar pentru simularea numerică s-au construit și studiat două modele, simularea făcându-se cu ajutorul programului SimMechanics ce rulează sub mediul de programare Matlab.

Principalele dispozitive de amortizare și aplicațiile acestora sunt cuprinse în **capitolul 4**, insistând asupra principalele tipuri de platforme Stewart și unele dintre aplicațiile lor specifice în domeniul de izolare a vibrațiilor, evidențiind avantajele acestora privind costurile de fabricație reduse și precizia ridicată.

**Capitolul 5** este dedicat concluziilor și contribuțiilor originale, direcțiile de dezvoltare ulterioare a problematicii tezei rămânând deschise.

**Anexele** prezentate în finalul tezei, conțin programe de calcul, caracteristici de materiale.

## **Capitolul 2**

### **MATERIALE MAGNETO-REOLOGICE MR. PROPRIETĂȚI ȘI MODELĂRI**

#### **2.1. Generalități**

Materialele magneto și electro-reologice fac parte din clasa mai largă a materialelor așa-zis inteligente sau adaptive care reacționează la modificarea controlată a unor stimuli externi ca temperatura, presiunea, tensiunea electrică sau alți parametri fizici, prin modificarea proprietăților reologice.

Materialele magnetoreologice(MR) sunt suspensii coloidale omogene de particule magnetizabile, ultrafine, micrometrice, plasate într-o matrice. De aici provine și o variantă de clasificare. În funcție de natura matricei avem o matrice fluidică (apă, glicoli, hidrocarbon, uleiuri minerale sau uleiuri sintetice pe baza de silicon) sau o matrice vâscо-elastică din polimeri (cauciuc natural sau polimeri siliconici). În aplicațiile din mecanică se preferă, ca material cu rol de matrice, uleiurile și polimerii siliconici.

Ca particule magnetizabile, cele mai utilizate sunt microparticulele de Fe. Pentru evitarea efectelor de aglomerare și sedimentare gravitațională se folosesc aditivi care asigură o peliculă în jurul particulelor. La aditivi moderni apare și un efect de respingere electrostatică care micșorează și mai mult tendința de sedimentare și aglomerare. Se mai adaugă aditivi, care micșorează efectul abraziv, și antioxidanti. Oxidarea reprezintă un factor major de degradare pentru acest tip de material.

Sub influența unui câmp magnetic, particulele au tendința de a se alinia și de a crea lanțuri de particule orientate de-a lungul acestor linii de câmp (fig. 2.1b). Această aliniere este cauza principală de modificare a proprietăților de curgere. Modificarea currentului prin generatorul de câmp magnetic, care induce mărirea sau micșorarea vâscozității aparente, stă la baza aplicațiilor de atenuatoare de vibrații. Modificările sunt reversibile și rapide (aprox. 5 ms). Creditat cu descoperirea MRF și cu primele aplicații este Rabinow (1948). În aceeași perioadă apar mențiuni despre MRF și ERF și aplicații realizate de Winslow.

Fluidele electroreologice (ERF) se comportă similar cu fluidele magnetoreologice (MRF) și majoritatea aplicațiilor sunt comune. Un ERF conține particule polarizabile ultrafine, dispersate într-un mediu fluid cu constantă dielectrică ridicată.

Se constată că particulele au tendința de a forma lanțuri chiar și la intensități reduse ale câmpului electric aplicat. Odată cu creșterea intensității câmpului, lanțurile sunt forfecate din ce în ce mai greu și atunci când viteza particulelor scade la zero, lanțurile devin perpendiculare pe suprafețele electrozilor.

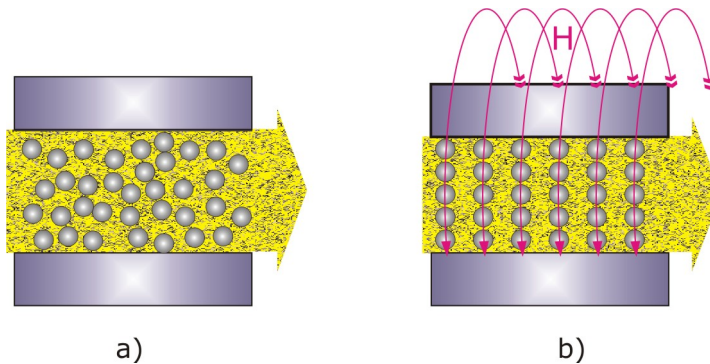


Fig 2.1 Ilustrarea orientării particulelor ferometalice sub acțiunea câmpului magnetic  
 a) Distribuția particulelor în masa de fluid  
 b) Orientarea particulelor de-a lungul liniilor câmpului magnetic

Creșterea vâscozității, cu până la trei ordine de mărime, este datorată energiei consumate pentru disocierea lanțurilor de particule. Reluarea curgerii are loc numai atunci când tensiunea de forfecare aplicată depășește tensiunea de curgere dinamică. Din acel moment, în continuare, materialul ER se comportă ca un fluid obișnuit, cu vâscozitate constantă. Așadar, materialele ER au comportamente diferite: în regim precurgere și în regim post-curgere. Majoritatea aplicațiilor sunt pentru materiale ER, cu comportare la forfecare controlabilă, în regim post-curgere.

## 2.2. Tehnologia de obținere a MRF

Particulele magnetizabile se obțin prin metode fizice, chimice sau fizico-chimice. O metoda preferată pentru obținerea de particule de calitate foarte bună și cu abateri dimensionale mici este dispersarea în jet de plasma cu argon. Instalația folosită și detaliile aferente sunt pe larg descrise de I. BICA în [68].

În [88] firma Lord Corporation recomandă studenților și profesorilor o metodă simplă și ieftină de preparare a unui fluid magnetoreologic de o calitate acceptabilă, foarte utilă pentru experimente. În condițiile în care un litru de MRF costă între 700 și 1.800 de Euro, această rețetă este binevenită.

Cu excepția MRF-urilor de uz special, care conțin particule feritice din aliaje de fier, cobalt și pământuri rare și care sunt foarte scumpe, pentru acest fluid se folosesc particule din Fe de înaltă puritate și care au o valoare mare a punctului de saturare magnetică, condiție necesară pentru un MRF cu efect MR puternic. Dimensiunea acestor particule este un element foarte important. O dimensiune prea mare accelerează foarte mult tendința de aglomerare și sedimentare, iar o dimensiune prea mică micșorează sensibilitatea la acțiunea câmpului magnetic. Particulele de Fe sunt ușor de procurat sau de produs și sunt ieftine. Un MRF tipic conține între 20% și 40% procente volumice de particule. De la firma Edmund Scientifics se pot comanda în recipiente care conțin 500g la prețul de 7 dolari bucata [88].

Ca matrice lichidă firma recomandă ulei mineral, ulei sintetic sau un amestec dintre cele două. Un ulei bun este și tipul de ulei folosit pentru ungerea instalațiilor de aer condiționat care este colorat în majoritatea cazurilor în roșu sau verde. Calitățile pe care trebuie să le aibă acest ulei sunt următoarele: să fie un bun

lubrifiant, să fie stabil, presiunea de vaporii să nu permită o evaporare excesivă la temperatura de lucru, vâscozitate relativ mică. Încercând să urmez aceste indicații, personal am utilizat ulei siliconic folosit în pompele de vid înalt, pur și cu vâscozitate scăzută, ușor de procurat.

Ca aditiv pentru inhibarea coroziunii se foloseste stearat de litiu sau stearat de aluminiu. Cu aceleași rezultate se poate utiliza vaselina albă care conține litiu și care e mai ușor de procurat. Este genul de vaselină de calitate folosită pentru ungerea rulmenților mici care rezistă la temperatură și la turăjii mari.

Pentru 100 ml de MRF se folosesc următoarele cantități de materiale:

- 150 g de particule de Fe
- 55 g de ulei cu vâscozitate scăzută
- 5 g de vaselină albă cu litiu

Se amestecă vaselina în ulei și se agită puternic cu un mixer sau un tel și o mașină electrică de găurit după care se lasă câteva ore pentru ca vaselina să se dizolve complet în ulei. În continuare se mai agită cu mixerul câteva minute. Se adaugă particulele de fier puțin câte puțin și se mixează puternic până când tot conținutul a devenit o suspensie de o consistență și culoare uniformă. Din experiență am constatat că dacă aceste operațiuni se fac încălzind amestecul la 60-70° C, suspensia obținută este mai omogenă. Pentru o calitate mai bună este de preferat să înlocuim particulele de Fe cu altele care au abateri dimensionale mult mai mici. O sursă bună și ieftină de pudră de Fe o reprezintă pudra folosită ca aditiv la cereale și pentru anumite produse de panificație, ca adaos de microelemente.

Pentru cantități mai mari de MRF se folosesc un factor de multiplicare pentru toate componente.

Acest MRF are caracteristici magnetice similare cu fluidul magnetoreologic de tipul Rheonetic MRF-122-2ED , produs și comercializat de Lord Corporation [88].

### 2.3. Proprietăți ale MRF

În cele ce urmează, procesele fizice și proprietăți ale MRF sunt pe larg tratate. Dipolii magnetici de moment magnetic nu se orientează în lungul liniilor de câmp magnetic. Apar interacțiuni magnetice între dipoli. Dacă  $\bar{R}_0$  este distanța medie de separare dintre particule, la momentul inițial, atunci se arată [67] că timpul  $t_{ag}$  de formare de agregate în câmpul magnetic uniform poate fi aproximat de relația:

$$t_{ag} = \frac{32\pi a\xi}{1\mu_0\mu_s m^2} \left[ \left( \frac{\bar{R}_0}{2a} \right) - 1 \right] \quad (2.1)$$

în care  $\xi$  este coeficientul de frecare.

Între două piese polare câmpul magnetic nu este în general uniform. Apare un gradient  $\vec{\delta}$  al intensității câmpului magnetic, sub acțiunea căruia dipolii se apropie. Din rezolvarea ecuației de mișcare a dipolilor magnetici se obține legea de mișcare:

$$x(t) = \Delta + \frac{\mu_0\mu_s}{\xi^2} \left( 1 - \frac{\xi}{M} t \right) \quad (2.2)$$

în care  $\Delta$  este distanța între dipoli și  $M$  este masa dipolului magnetic.

Timpul de agregare  $t_{ag}$  a dipolilor rezultă din relația (2.1), punând condiția  $x=0$ , pentru  $t = t_{ag}$ . Atunci, din ecuația (2.1) rezultă:

$$t_{ag} = \frac{M}{\xi} + \frac{\Delta\xi}{\mu_0\mu_s m\delta} = \frac{6\pi\eta a}{\mu_0\mu_s m\delta} \Delta \quad (2.3)$$

în care  $\eta$  este vâscozitatea lichidului de bază.

Timpul de agregare este influențat de existența microparticulelor de grafit cu suprafața rugoasă. Astfel, în [67],  $t_{ag\ exp} > 900$  s. În schimb, pentru cazul MRF pe bază de microparticule de fier și în aceleși condiții experimentale, rezultă  $t_{ag\ exp} \approx 180$  s.

Între doi electrozi aflați în contact cu MRF și conectați la un ohmetru se realizează un circuit electric. Prin circuitul electric astfel realizat se stabilește un curent electric, numai dacă MRF se află în câmp magnetic. Experimentele efectuate de S. Bednarek și de I. Bica în [67] pun în evidență dependența conductivității electrice a MRF de intensitatea și direcția vectorului intensitate al câmpului magnetic exterior.

Bednarek, utilizând MRF pe bază de polimeri (rășini epoxidice), microparticule de grafit și microparticule de silicon, pune în evidență dependența rezistivității  $\rho$  a MRF, de intensitatea  $H$  a câmpului magnetic transversal. De asemenea, tot Bednarek arată că  $\rho = \rho(H)$  se prezintă sub forma unei curbe de histereză.

În [67], se propune un model care descrie mecanismele de conduction ale MRF aflat în câmp magnetic. Conform acestui model, rezistența magnetorezistorului este:

$$R \approx \frac{2}{3\pi} \frac{\rho_m}{\varphi n l} \left( x_{max} - \frac{\mu_s M_s \delta a^2 t}{18\eta} \right) = R(t) \quad (2.4)$$

în care  $\rho_m$  este rezistivitatea lichidului de bază,  $L$  este lungimea corpului format din MRF,  $x_{max} = \overline{R_O}$ ,  $M_s$  este magnetizația de saturatie a MRS și  $\eta$  vâscozitatea lichidului de bază.

Cercetările experimentale arată că modelul elaborat descrie calitativ  $R=R(t)$ , pentru cazul MRF pe bază de microparticule de fier (diamentrul mediu de  $2,10 \mu\text{m}$ ) dispersate în ulei mineral cu acid stearic. Energia termică  $kT$  furnizată MRF, mărește agitația termică a particulelor. Rezultă micșorarea lui  $x(t)$ , la  $t$  fixat și în consecință diminuarea lui  $R(t)$ .  $R(t)$  se micșorează cu  $T$  și crește cu  $H$  (respectiv  $\delta$ ) în acord cu modelul elaborat.

Dacă în câmp magnetic constantă în timp, conductivitatea electrică a MRF, pe bază de microparticule de fier și microparticule de grafit dispersate în ulei siliconic cu acid stearic, este de tip longitudinal și respectiv de tip transversal [67]; în câmp magnetic alternativ conductivitatea electrică a MRF este numai de tip transversal.

Tot în [67] se arată că rezistența electrică a MRF pe bază de microparticule de fier (cu diamentrul mediu de  $2,10 \mu\text{m}$ ) dispersate în ulei mineral cu acid stearic este infinită pentru câmpuri magnetice alternative. Conductivitatea electrică se instalează în MRF (cu  $\Phi_1=0,30$  și  $\Phi_2=0,06$ ) numai în cazul câmpului magnetic transversal.

Particulele magnetice din MRF efectuează mișcări oscilatorii, pe direcția câmpului magnetic. Dacă direcția câmpului magnetic este longitudinală, atunci într-o perioadă deplasarea medie efectuată de fiecare dipol magnetic este nulă. Particulele nu se întâlnesc și nu se instalează conductia electrică. Pentru cazul câmpurilor magnetice transversale, vibrațiile particulelor magnetice produc oscilații ce se propagă între cei doi electrozi ai magnetorezistenței. Presiunea oscilatorilor  $\Delta p \approx H_{eff}/\Phi$  (unde  $H_{eff}$  este intensitatea efectivă a câmpului magnetic alternativ). Sub acțiunea lui  $\Delta p$ , particulele magnetice se apropie. Pentru  $H_{eff} \geq 60$  kA/m se instalează inducția electrică. Ea crește sensibil cu  $H_{eff}$  și scade cu fracția volumică  $\phi$  a particulelor magnetice. Suspensiile magnetoreologice au în compoziție o fază lichidă și respectiv o fază solidă. În câmp gravitațional, fază solidă sedimentează. S. Melle, determină, plecând de la ecuația de mișcare a particulelor în câmp gravitațional, că timpul de sedimentare poate fi estimat de relația:

$$t_{sed} \approx \frac{3\xi d}{4\pi a^3 (\rho - \rho_s) g 2a^2 (\rho - \rho_s) g} \quad (2.5)$$

în care  $d$  este distanța parcursă de particule,  $\rho$  este densitatea lichidului de bază și  $\rho_s$  este densitatea fazei solide. Pentru ca suspensiile magnetoreologice să-si păstreze proprietățile, este necesar ca  $t_{sed} \rightarrow \infty$ . Din relația (24) rezultă că  $t_{sed} \rightarrow \infty$  poate fi realizat fie cu  $\eta \rightarrow \infty$ , fie cu  $(\rho - \rho_s) \rightarrow \infty$ . De regulă, se preferă soluția de mijloc.

Stabilizarea suspensiilor magnetoreologice se realizează și prin adăugarea de suspensii coloidale. Astfel, Kordonski și colaboratorii adaugă suspensii de particule monodomenice în suspensiile magnetoreologice obținute pe bază de microparticule de carbonat de fier. Monodomeniile magnetice aderă la unul din capeții particulelor de carbonat de fier. Rezultă o structură în care microparticulele de fier sunt dispersate în volumul lichidului de bază.

Stabilitatea lanțurilor cu dipoli magnetici este amplu studiată de Melle, Furst și colaboratorii și respectiv Biswall și colaboratorii. Se determină condițiile de stabilitate a agregatelor în câmp magnetic rotativ și respectiv în mișcare Couette.

Efectul magnetoreologic este definit ca fiind creșterea cu  $\Delta\sigma$  a tensiunii de forfecare  $\sigma$  la mărirea cu  $\Delta H$  a intensității  $H$  a câmpului magnetic aplicat. Multe dintre modelele dezvoltate pentru fluidele electroreologice (ERF) pot fi aplicate și pentru suspensiile magnetoreologice aflate în câmpuri magnetice de mică intensitate. Magnetizarea particulelor este neliniară în câmpuri magnetice intense. La valori mari ale intensității câmpului magnetic apare magnetizația de saturatie. Experimentul se obține la intensități mari ale câmpului magnetic, modelele reologice de tip liniar, valabile pentru fluide electroreologice, își pierd valabilitatea în cazul suspensiilor magnetoreologice. Conform acestor modele, tensiunea de forfecare este proporțională cu  $\Phi\mu_0 H^2$ . Se observă că aceste modele nu iau în considerare magnetizația de saturatie.

Ginder și colaboratorii în [61] demonstrează că la intensități ale câmpului magnetic foarte mici comparativ cu cele corespunzătoare magnetizației de saturatie, tensiunea de forfecare este proporțională cu  $H^2$ . În schimb, pentru intensități ale câmpului magnetic, de valori mai ridicate, dar sub cele corespunzătoare magnetizației de saturatie, tensiunea de forfecare este proporțională cu  $H^{3/2}$ .

Predicțiile făcute de Ginder și colaboratorii neglijeză importanța magnetizației de saturatie.

Este interesant de subliniat că la câmpuri de intensități sub cele corespunzătoare magnetizației de saturatie, magnetizarea de saturatie apare în

## 14 Materiale magneto-reologice MR. proprietăți și modelări - 2

---

regiunile de contact dintre particulele suspensiei magnetoreologice. Atunci, tensiunea de forfecare poate fi calculată de relația:

$$\sigma_y = \sqrt{6} \varphi \mu_s M_s^2 H^{\frac{3}{2}} \quad (2.6)$$

La intensități mari ale câmpului magnetic, particulele din suspensia magnetoreologică sunt sature magnetic și pot fi assimilate dipolilor magnetici. În acest caz, tensiunea de forfecare este independentă de  $H$ . După Ginder și colaboratorii, tensiunea de forfecare rezultă din relația:

$$\sigma_y^{sat} = \frac{4}{5} \xi_m(3) \varphi \mu_0 M_s^2 \quad (2.7)$$

unde  $\xi_m(3) = 1,212$  este o constantă.

Coeficientul de forfecare  $G$ , pentru cazul câmpurilor magnetice de intensități medii și mari, se poate calcula cu relația:

$$G = \varphi \mu_0 M_s H \quad (2.8)$$

iar pentru cazul intensității câmpului magnetic corespunzătoare celor de saturatie:

$$\sigma_y^{sat} = \frac{\xi_m}{4} \varphi \mu_0 M_s^2 \quad (2.9)$$

Jolly și colaboratorii, în [70,71,72], realizează un model conform căruia tensiunea de forfecare indușă de câmpul magnetic se poate obține din relația:

$$\sigma = \frac{\partial U}{\partial \dot{y}} \quad (2.10)$$

în care  $U$  este densitatea de energie magnetică și  $\dot{y}$  este viteza de forfecare a suspensiei magnetoreologice (considerat ca mediu continuu).

Maximul tensiunii de forfecare a lanțurilor de dipoli magnetici rezultă din egalarea cu zero a relației (2.9), și are forma:

$$\sigma = \frac{0.1143 \cdot \varphi \cdot J_p^2}{\mu_s \cdot \mu_0 \cdot h^3} \quad (2.11)$$

în care  $J_p$  este polarizarea magnetică a particulelor,  $\mu_s$  este permeabilitatea magnetică a suspensiei și  $\mu_0$  este permeabilitatea magnetică a vidului.

Mărimea  $h$  este un parametru adimensional, definit de relația:

$$h = \frac{r_0}{d} \quad (2.12)$$

unde  $r_0$  este distanța dintre centrele particulelor aliniate după direcția câmpului magnetic aplicat și  $d$  este diametrul particulei magnetice.

Studiul reologic al suspensiilor magnetoreologice poate fi realizat în două etape:

- înaintea forfecării:

$$\sigma = G\gamma; \quad \dot{\gamma} = 0, \quad \sigma < \sigma_y \quad (2.13)$$

- după forfecare:

$$\sigma = \mu_s \dot{\gamma} + \sigma_y; \quad \sigma \geq \sigma_y \quad (2.14)$$

unde  $\sigma$  este tensorul tensiunilor,  $\gamma$  este deformația,  $G$  este modulul de elasticitate,  $\dot{\gamma}$  este viteza de deformație,  $\mu_s$  este vâscozitatea structurală și  $\sigma_y$  este tensiunea de prag sau tensiunea dinamică de plastifiere.

În absența câmpului magnetic, suspensiile magnetoreologice au o comportare de fluid newtonian.

Câmpul magnetic, induce dipoli magnetici în suspensia magnetoreologică. Dipolii magnetici formează structuri în MRF. Formarea lor poate fi descrisă după Huang și colaboratorii utilizând modelele statistică și a dicroismului optic, ca metodă experimentală.

Dacă energia de interacție magnetică a dipolilor este mare comparativ cu energia termică, lanțurile de dipoli devin rigide.

În întreg volumul MRF se formează structuri care conduc la o transformare a suspensiei într-un corp vâscoelastic. Pentru tensiuni  $\sigma > \sigma_y$ , corpul vâscoelastic este adus în fază fluidă.

Modelul corpului Bingham este utilizat în calcularea câmpului de tensiuni [83]. Într-un studiu recent autorii arată că modelul corpului Bingham este depășit și demonstrează că modelul tip Herschel-Bulkley este util în evaluarea câmpului de tensiuni în MRF aflat în câmp magnetic și solicitat mecanic.

Suspensiile magnetoreologice sunt anizotrope în câmp magnetic. Proprietatea de anizotropie a suspensiilor magnetoreologice este utilizată în aplicații. Astfel, la amortizoare, frâne și ambreiaje direcția câmpului magnetic coincide cu cea a mișcării suspensiei.

Deformarea directă și inversă a MRF provenite de la Lord Corporation a fost investigată de Li și colaboratorii [79]. Ei au determinat, tensiunea de forfecare funcție de diferite valori ale intensității câmpului magnetic și au constatat că în câmp magnetic suspensiile magnetoreologice au un răspuns de corp Bingham. În regim dinamic, Li și colaboratorii au determinat partea reală ( $G'$ ) și respectiv partea imaginară ( $G''$ ) a modelului de elasticitate complex a lui Zoung, funcție de frecvența de oscilație (10-100 Hz). Pentru acest interval de frecvențe, la suspensiile magnetoreologice cu  $\phi = 0,10$ ,  $G'$  a crescut față de  $G''$ . Tangenta unghiului de pierderi ( $\tan \delta = G''/G'$ ), s-a micșorat brusc la valori scăzute ale intensității câmpului magnetic. În schimb, la valori ridicate ale intensității câmpului magnetic a rezultat  $\tan \delta = cst$ . Comportarea dinamică a MRS cu evidențierea valorilor lui  $G'$  și  $G''$  pentru diverse configurații ale polilor magnetici și a dependenției acestora de compoziție și intensități ale câmpului magnetic exterior sunt bine demonstrate în lucrarea [67].

## 2.4. Modele reologice pentru elemente MR

Tinând seama de complexitatea fenomenelor intime de interacțiune dintre fluid și particule feromagnetice au fost elaborate o serie de modele reologice utile pentru aplicațiile practice ale fluidelor MR cum sunt:

- a) *element MR de tip valvă*, considerând fluidul 3 (fig.2.2) în mișcare cu viteza de curgere  $v_c$ , prin intersticiul, de grosime  $g$ , format între două plăci paralele 1 și 2, de volum

$$V = gL_1L_2 \quad (2.15)$$

al coloanei de ferofluid dintre cele două plăci depinzând raportul de reglaj

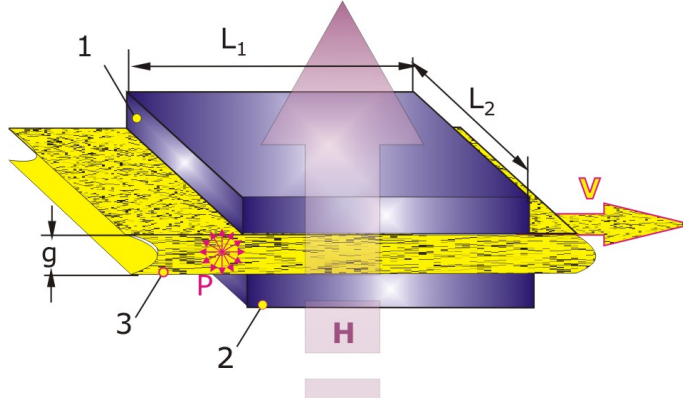


Fig.2.2 Ilustrarea elementului MR cu funcție de valvă

$$\frac{F_{max}}{F_{min}} \leq \frac{1}{F_{max}} \frac{V}{v_c} \frac{\tau_0^2}{\eta} \quad (2.16)$$

dintre forțele, maximă,  $F_{max}$  și minimă,  $F_{min}$ , raport reglabil prin intermediul inducției magnetice  $H$ ,  $\tau_0$  și  $\eta$  fiind, tensiunea limită de curgere și respectiv vâscozitatea coloanei de fluid MR;

- b) *elemente MR cu efect de forfecare*, a stratului de fluid 3 (fig.2.3), la care stratul de MRF 3 este situat între piesele 1 mobilă, cu viteza  $v$ , și 2 fixă, sub formele geometrice; plăci (fig.2.3a), bucșe (fig.3b), și discuri (fig.3c), între acestea, prin intermediul stratului, luând naștere forțele de legătură  $\pm F$ , sau momentele de legătură  $\pm M$ , controlabile în magnitudine prin câmpul magnetic de intensitate  $H$ .

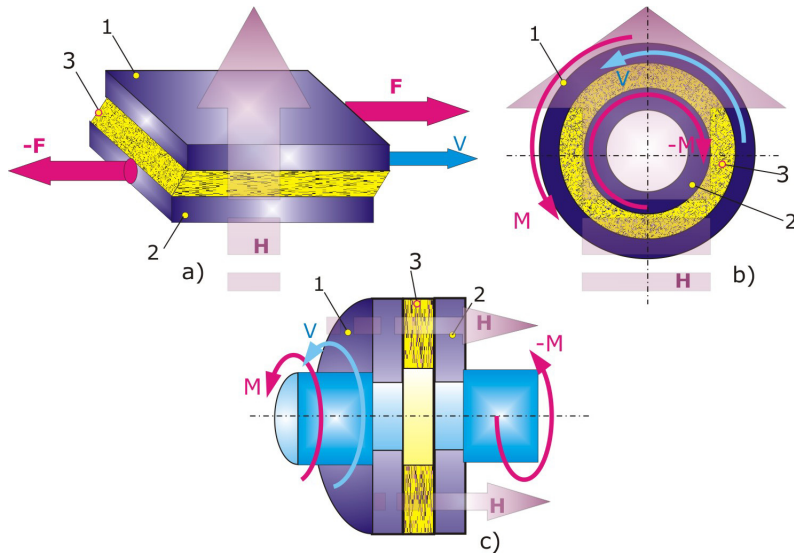


Fig. 2.3 Ilustrarea elementului MR disipativ prin forfecarea stratului de fluid  
a) element liniar, b) element bucșă, c) element frontal de torsiune

- c) elemente MR cu efect de compresiune a stratului de ferofluid, de grosime d, între cele două discuri 1 și 2 luând naștere reacțiunile  $\pm F$ , ca forțe actuatoare asupra structurilor 4 și 5, cuplate elastic între ele, magnitudinea lor

$$F = k_e \Delta g(H) \quad (2.17)$$

depinzând de constanta elastică  $k_e$  a cuplajului elastic dintre structurile 4 și 5 și deformația  $\Delta g(H)$  care la rândul ei depinde de intensitatea  $H$  a câmpului magnetic, a cărei variație comandată produce variația forței actuatoare  $F$

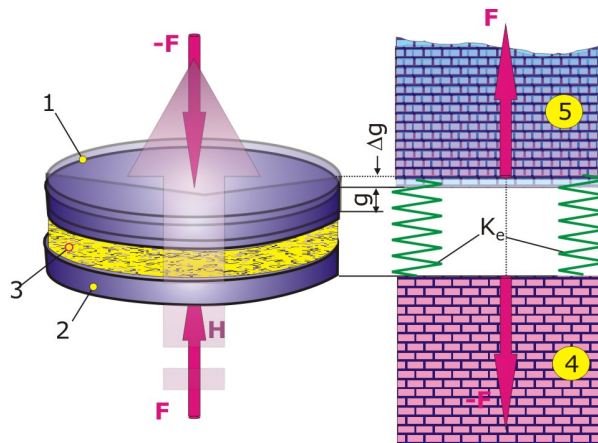


Fig.2.4 Ilustrarea elementului MR ca actuator

În multe cazuri practice se utilizează soluții tehnice care folosesc combinații între cele trei soluții prezentate mai sus.

## 2.5. Modele reologice ale elementelor dissipative MR

Problema esențială la proiectarea unor aplicații tehnice cu elemente dissipative utilizând materiale magneto reologice este modelarea reologică a elementului utilizat.

### 2.5.1. Modelul reologic Newton

Pentru lichidele Newtoniene modelul reologic admite ecuația caracteristică

$$\tau = v\dot{\gamma} \quad (2.18)$$

reprezentată grafic prin ramura 1 din fig. 5.1,  $\tau$ , reprezintă, tensiunea de forfecare a stratului de fluid,  $v$  viscozitatea dinamică și  $\dot{\gamma}$  viteza de deformare tangențială, ( $\dot{\gamma}$ ).

### 2.5.2. Modelul reologic Bingham

Modelul Bingham completează caracteristica cu tensiunea limită de curgere  $\tau_c$  ecuația caracteristică devenind

$$\begin{aligned} \tau &= \tau_c \operatorname{sign}(\dot{\gamma}) + v\dot{\gamma} & \text{pt } \dot{\gamma} \neq 0 \\ \tau &= \tau_c & \text{pt } \dot{\gamma} = 0 \end{aligned} \quad (2.19)$$

reprezentarea ei grafică fiind dată prin ramura 2 în fig.2.5 iar modelul mecanic echivalent în figura 2.6

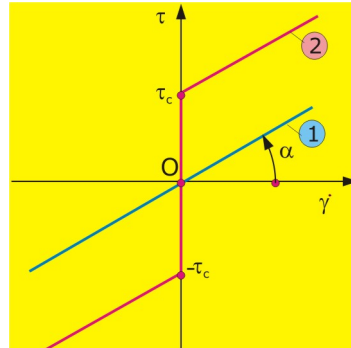


Fig. 2.5 Ilustrarea caracterisitcilor modelelor: Newton, ramura 1 și Bingham, ramura 2

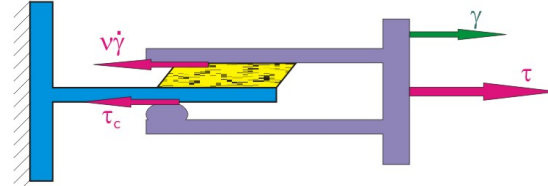


Fig. 2.6 Ilustrarea modelului Bingham

Mecanismul de disipație la o structură reală este foarte greu de modelat matematic. De aceea, se apelează la definirea unei energii specifice de disipare

$$w_d = \int \tau d\gamma \quad (2.20)$$

pe un ciclu pentru o variație armonică a legii de deformare

$$\gamma(t) = \gamma_0 \sin \omega t \quad (2.21)$$

În cazul modelului newtonian, ținând cont de (2.18) se obține,

$$W_d = \int v\dot{\gamma}d\gamma = \int_0^{2\pi/\omega} v\dot{\gamma}^2 dt = v\omega^2 \gamma_0^2 \int_0^{2\pi/\omega} (\cos \omega t)^2 dt = \pi v\omega \gamma_0^2 \quad (2.22)$$

Experimental energia de disipație pe un ciclu se obține după cum urmează,

$$\dot{\gamma} = \omega \lambda_0 \cos \omega t = \pm \omega \lambda_0 \sqrt{1 - (\sin \omega t)^2} = \pm \omega \sqrt{\gamma_0^2 - \gamma^2} \quad (2.23)$$

de unde

$$\tau = v\dot{\gamma} = \pm v\omega \sqrt{\gamma_0^2 - \gamma^2} \quad (2.24)$$

care pusă sub forma

$$\left( \frac{\tau}{v\omega \gamma_0} \right)^2 + \left( \frac{\gamma}{\gamma_0} \right)^2 = 1 \quad (2.25)$$

reprezintă ecuația unei elipse axată după sistemul  $O\gamma\tau$ , (fig.2.7a) a cărei suprafață interioară reprezintă valoarea energiei disipate  $W_d$ . Curba eliptică reprezintă aşa numita *bucălă de histerezis*.

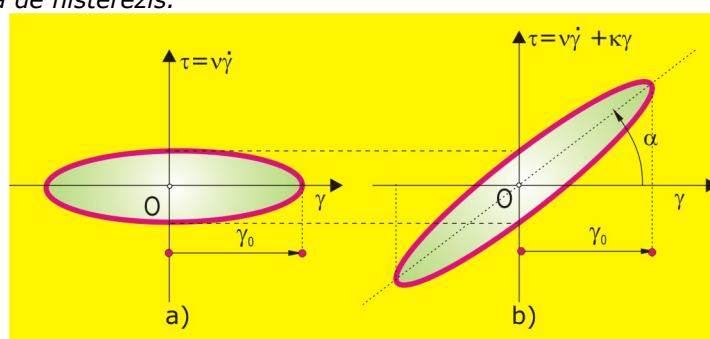


Fig. 2.7 Ilustrarea buclei de histerezis în cazul modelului Newton  
a) legătură pur vâscoasă      b) legătură vâsco elastică

Cum legăturile de interacțiune particule fluid, mai ales în prezența câmpului magnetic conțin și componente elastice modelul Newtonian poate fi definit prin ecuația

$$\tau = v\dot{\gamma} + \kappa\gamma \quad (2.26)$$

unde  $k$  este o constantă.

Pentru acest caz ecuația elipsei rezultante se va obține prin relația

$$\tau_I - \kappa\gamma = \pm v\omega\sqrt{\lambda_0^2 - \gamma^2} \quad (2.27)$$

care devine

$$\tau^2 + (\kappa^2 + v^2\omega^2)\gamma^2 - 2\kappa\gamma\tau - v^2\omega^2\lambda_0^2 = 0 \quad (2.28)$$

ecuație a unei elipse cu axele rotite cu unghiul  $\alpha$  față de sistemul  $O\gamma\tau$  (fig.2.7b).

Suprafața buclei de histerezis este în acest caz

$$S_H = \int_0^{2\pi/\omega} (v\dot{\gamma} + \kappa\gamma) d\gamma = W_d + \frac{1}{2} \int_0^{2\pi/\omega} \omega\lambda_0^2 \sin 2\omega t dt = W_d \quad (2.29)$$

egală cu cea buclei reale de histerezis.

Dacă amortizarea este extrem de slabă ( $v \rightarrow 0$ ) atunci suprafața elipsei tinde spre valoarea zero iar ecuația (2.28) degenerăază în ecuația unei drepte

$$\tau - \kappa\gamma = 0 \quad (2.30)$$

de unde

$$\kappa = \frac{T}{\gamma} = \operatorname{tga} \quad (2.31)$$

Pentru modelul Bingham definit de relațiile (2.19), calculate, în MathCad, prin condiționarea

$n = 1000$   
 $i := 0 \dots n$   
 $\gamma_i := \gamma_0 \cdot \sin(\omega \cdot t_i)$   
 $\dot{\gamma}_i := \gamma_0 \cdot \omega \cdot \cos(\omega \cdot t_i)$   
 $\tau_i := \operatorname{if}(\dot{\gamma}_i \leq 0, -\tau_C + v \cdot \dot{\gamma}_i, \tau_C + v \cdot \dot{\gamma}_i)$

(2.32)

În fig.2.8 a și b sunt traseate legile de variație  $\gamma(\omega t)$ ,  $\dot{\gamma}(\omega t)$  și  $\tau(\omega t)$  pe o perioadă  $T=2\pi/\omega$ .

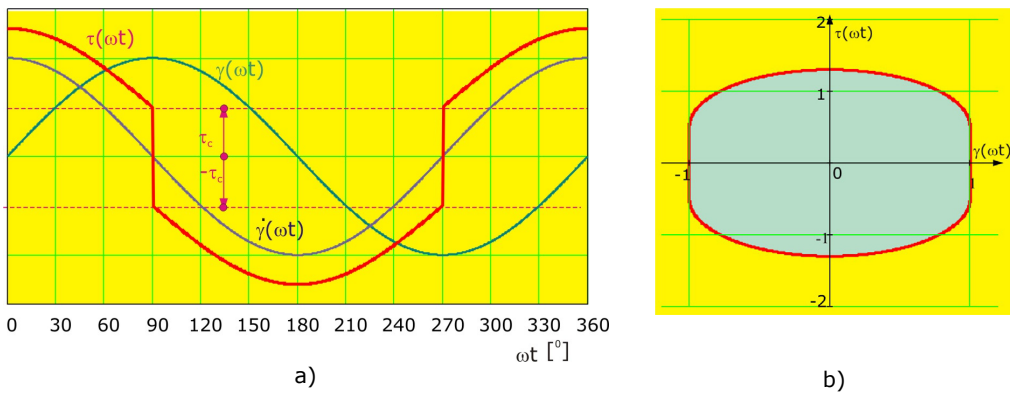


Fig.2.8 Ilustrarea modelului reologic Bingham  
a)legile de variație  $\gamma(\omega t)$ ,  $\dot{\gamma}(\omega t)$  și  $\tau(\omega t)$  pe o perioadă  $T=2\pi/\omega$ ; b)bucla de histerezis

Dacă modelului Bingham î se adaugă o componentă elastică, prin forță de legătură  $\kappa\gamma$ , (fig. 2.9) atunci bucla de histereză se va rota cu unghiul  $\alpha$ , (fig. 2.10b)

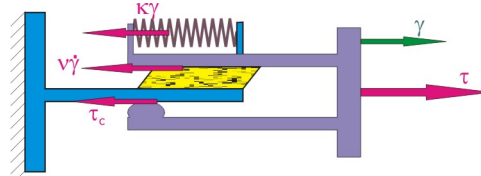


Fig.2.9 Ilustrarea modelului reologic Bingham cu cuplaj prin legătură elastică  $\kappa\gamma$

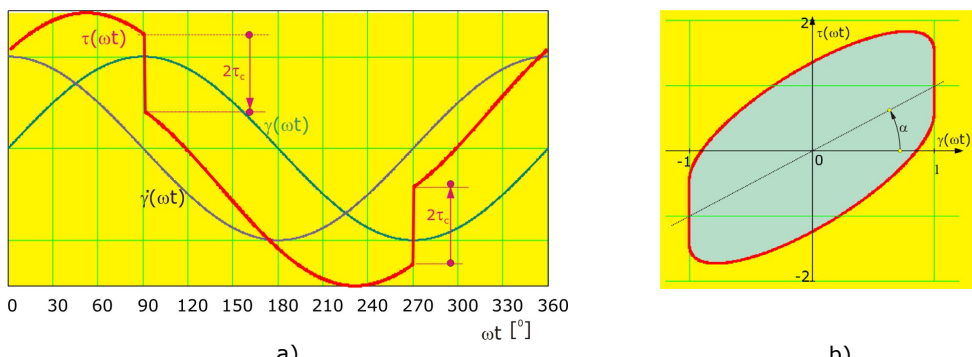


Fig.2.10 Legile de variație și bucla de histerezis pentru modelul Bingham cu cuplaj elastic  
a)legile de variație  $\gamma(\omega t)$ ,  $\dot{\gamma}(\omega t)$  și  $\tau(\omega t)$  pe o perioadă  $T=2\pi/\omega$ ; b)bucla de histerezis

Alt model ce reprezintă o generalizare a corpului Bingham este cel plastic vâscoleastic (fig. 2.11). Acesta pornește de la modelul standard Bingham având în completare două componente liniare inseriate, a cărui echilibru dinamic este dat de sistemul de ecuații

$$\begin{aligned} v_1\dot{\gamma}_1 + \tau_c sign\dot{\gamma}_1 &= v_2(\dot{\gamma}_2 - \dot{\gamma}_1) + \kappa_1(\gamma_2 - \gamma_1) \\ v_2(\dot{\gamma}_2 - \dot{\gamma}_1) + \kappa_1(\gamma_2 - \gamma_1) &= \kappa_2(\gamma_3 - \gamma_2) \\ \tau &= \kappa_2(\gamma_3 - \gamma_2) \end{aligned} \quad (2.33)$$

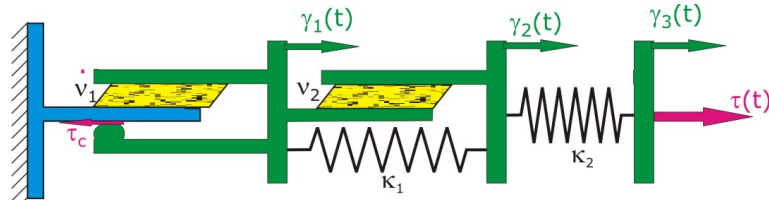


Fig. 2.11 Ilustrarea modelului Bingham generalizat

La testarea unui element dissipativ pentru determinarea buclei de histerezis se impune o lege de variație armonică la capătul elementului

$$\gamma_3(t) = \gamma_0 \sin(\omega t) \quad (2.34)$$

pentru determinarea legilor  $\gamma_1(t)$  și  $\gamma_2(t)$ , din primele două ecuații din (2.33) obținându-se sistemul de ecuații

$$\begin{Bmatrix} \dot{\gamma}_1 \\ \dot{\gamma}_2 \end{Bmatrix} = \begin{bmatrix} v_1 + v_2 & -v_2 \\ -v_2 & v_2 \end{bmatrix}^{-1} \left\{ \begin{bmatrix} -\kappa_1 & \kappa_1 \\ \kappa_1 & -(\kappa_1 + \kappa_2) \end{bmatrix} \begin{Bmatrix} \gamma_1 \\ \gamma_2 \end{Bmatrix} - \tau_c \begin{Bmatrix} \text{sign} \dot{\gamma}_1 \\ 0 \end{Bmatrix} + \kappa_2 \gamma_0 \begin{Bmatrix} 0 \\ \sin(\omega t) \end{Bmatrix} \right\} \quad (2.35)$$

apoi, se calculează tensiunea de legătură

$$\tau = \kappa_2 (\gamma_3 - \gamma_2) \quad (2.36)$$

cu ajutorul căreia se determină bucla de histereză.

Integrarea sistemului (2.35) de ecuații diferențiale se poate face pe cale numerică aplicând, de exemplu, metoda Euler, ce conduce la relația recursivă

$$\{y\}^{i+1} = \{y\}^i + \Delta t [D]^{-1} \left\{ [K] \{y\}^i - s \{T\} + \{f\} \sin(i\omega \Delta t) \right\} \quad (2.37)$$

unde

$$\begin{aligned} \{y\}_i &= \begin{Bmatrix} \gamma_1 \\ \gamma_2 \end{Bmatrix}_i; \quad [D] = \begin{bmatrix} v_1 + v_2 & -v_2 \\ -v_2 & v_2 \end{bmatrix}; \quad [K] = \begin{bmatrix} -\kappa_1 & \kappa_1 \\ \kappa_1 & -(\kappa_1 + \kappa_2) \end{bmatrix} \\ s &= \text{sign} \left[ \frac{(\gamma_1)_i - (\gamma_1)_{i-1}}{\Delta t} \right]; \quad \{T\} = \begin{Bmatrix} T_i \\ 0 \end{Bmatrix}; \quad \{f\} = \begin{Bmatrix} 0 \\ \kappa_2 \gamma_0 \end{Bmatrix} \end{aligned} \quad (2.38)$$

### 2.5.3. Modelul reologic Bouc-Wen

Unul dintre cele mai complexe și totodată utilizate modele reologice, în special pentru dispozitive amortizoare de vibrații este modelul Bouc-Wen a cărui ilustrare mecanică este dată în fig. 2.11a.

Pentru modelul Bouc-Wen se consideră că forța de legătură introdusă de elemental dissipativ conține trei componente

$$F(t) = c_0 \dot{x}(t) + k_0 x(t) + az \quad (2.37)$$

cea de a treia conținând variabila  $z$ , o soluție a ecuației diferențiale neliniară

$$\dot{z} = -\gamma |\dot{x}(t)| z |z|^{n-1} - \beta \dot{x}(t) |z|^n + A \dot{x}(t) \quad (2.38)$$

parametrii,  $\gamma$ ,  $\beta$ ,  $A$  și  $n$  fiind ajustați după experiment, de exemplu .

valori  $a = 8,8 \cdot 10^4 \frac{N}{m}$ ,  $c_0 = 5000 \frac{Ns}{m}$ ,  $k_0 = 2500 \frac{N}{m}$ ,  $\gamma = 0,01 m^{-2}$ ,  $\beta = 0,01 m^{-2}$ ,  $n = 2$ ,  $A = 120$ .

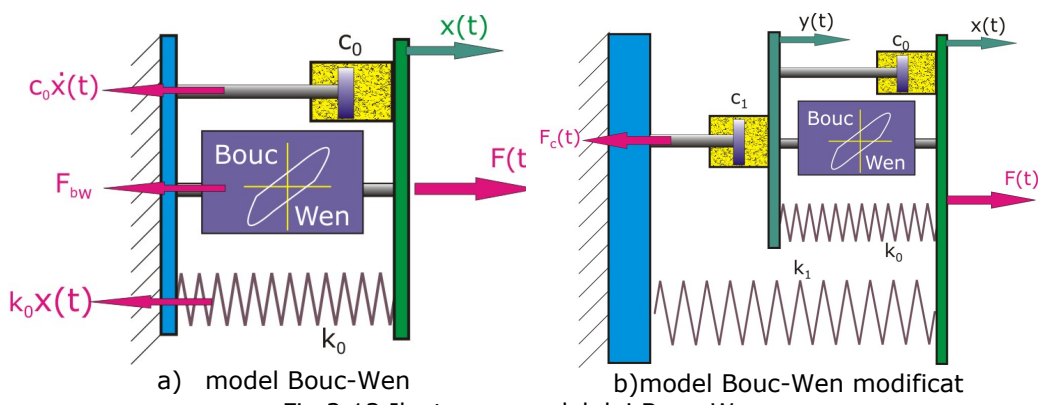


Fig 2.12 Ilustrarea modelului Bouc-Wen

O formă modificată a modelului Bouc-Wen este ilustrată în fig. 2.12b) pentru care forțele de legătură sunt date prin ecuațiile

$$F(t) = k_1 x(t) + F_c(t) \quad (2.39)$$

$$F_c(t) = c_1 \dot{y}(t) = c_0(\dot{x}(t) - \dot{y}(t)) + k_0(x(t) - y(t)) + az \quad (2.40)$$

unde

$$\dot{z} = -\gamma(\dot{x}(t) - \dot{y}(t)) z |z|^{n-1} - \beta(\dot{x}(t) - \dot{y}(t)) |z|^n + A(\dot{x}(t) - \dot{y}(t)) \quad (2.42)$$

### 2.5.4. Modelul reologic Oh-Onoda

Modelul Oh-Onoda, ilustrat în fig.2.12, ia în considerare influența câmpului magnetic, prin intensitatea  $H$ , astfel că între elementele 1 și 2 în mișcare de translație după legile  $x(t)$  și  $y(t)$  iau naștere forțele de legătură

$$F_d = c(H)[\dot{x}(t) - \dot{y}(t)]|\dot{x}(t) - \dot{y}(t)|^{n-1} \quad (2.43)$$

dissipative în stratul de MRE, (caracteristica în fig.2.13), controlabilă prin coeficientul  $c(H)$ , dependent de intensitatea  $H$  a câmpului magnetic, iar forța de fricție

$$F_c(t, H) = \begin{cases} F_c(t_0) + k_c \Delta u; & pt. |F_c| < f_c \\ f_c(H) \operatorname{sign}(\dot{u}); & pt. |F_c| \geq f_c \end{cases}; \quad (u = x - y) \quad (2.44)$$

având o componentă constantă ( $F_c(t_0)$ ), la momentul  $t_0$  corespunzătoare unei deplasări relative inițială  $u_0$ , pentru care

$$\Delta u = u - u_0 \quad (2.45)$$

Din echilibrul forțelor de legătură rezultă

$$\begin{aligned} Fe_1(t) &= k_1 y(t) = F(t) \\ F(t) &= F_c(H, t) + F_d(H, t) + Fe_2(t) \\ Fe_1(t) &= k_1 y(t) \\ Fe_2(t) &= k_2 [x(t) - y(t)] \end{aligned} \quad (2.45)$$

Pentru modelarea unui amortizor asamblat trebuie să se țină seama și de masele în mișcare, ale pistonului și tijei, și de aceea modelului din figura 2.12 i se atașează masa  $m$  iar în relațiile (2.45) intervine forța de inertie  $-m\ddot{y}(t)$

$$\begin{aligned} Fe_1(t) &= k_1 y(t) = F(t) \\ F(t) &= F_c(H, t) + F_d(H, t) + Fe_2(t) - m\ddot{y}(t) \\ Fe_1(t) &= k_1 y(t) \\ Fe_2(t) &= k_2 [x(t) - y(t)] \end{aligned} \quad (2.45')$$

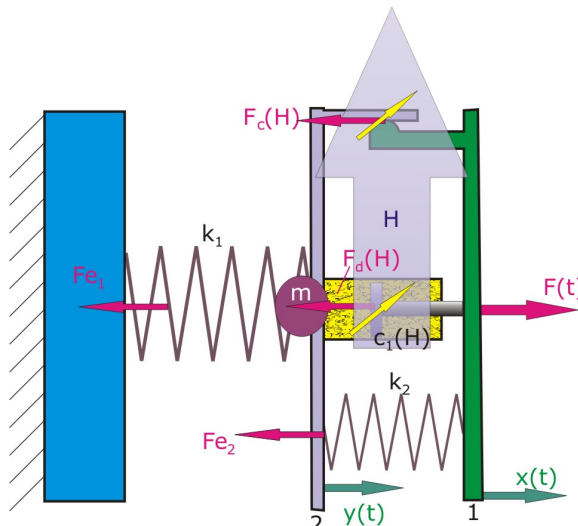


Fig. 2.13 Ilustrarea modelului Oh-Onoda

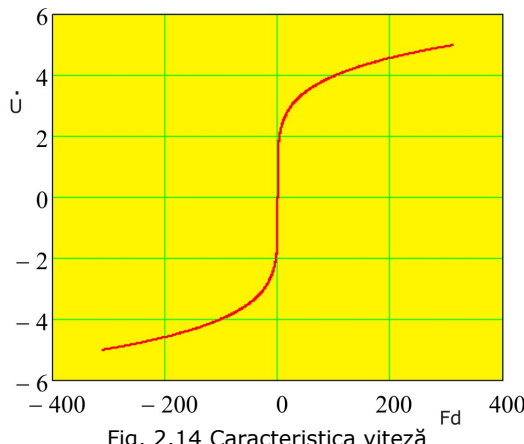


Fig. 2.14 Caracteristica viteză

### 2.5.5. Modelul reologic Choi

Modelul Choi consideră pentru modelarea caracteristicii forță dissipativă  $F_d$ -viteză relativă  $\dot{u}$  o formă polinomială de ordinul 6

$$F_d = \sum_{i=0}^6 a_i \dot{u}^i \quad (2.46)$$

coeficientii  $a_i$  fiind determinați pe baza identificării cu date experimentale.

În lucrarea [41], [42], Choi a observat că modelul Bingham nu poate simula comportamentul histerezis în totalitate, deși este prezisă amplitudinea forței de amortizare la o anumită viteză a pistonului.

## 2.6. Elastomeri magnetoreologici

### 2.6.1. Introducere

Materialele magnetoreologice (MR), fluide, geluri și elastomeri, fac parte dintr-o clasă de materiale inteligente ale căror proprietăți reologice pot fi controlate prin aplicarea unui câmp magnetic exterior [32]. Sub acțiunea câmpului magnetic aplicat, particulele feroase sunt organizate în structuri în formă de coloană în matricea de bază. Cele mai cunoscute exemple de materiale magneto-reologice sunt fluidele magneto-reologice, în care vâscozitatea aparentă se schimbă sub acțiunea câmpului magnetic. Aplicațiile clasice ale MRF sunt la frâne, ambreiaje, elemente amortizoare pentru controlul semi-activ al vibrațiilor, în special în industria de automobile.

Elastomerii reprezintă o clasă importantă de materiale din domeniul ingineriei [26] care sunt utilizate pentru absorbtia vibrațiilor și controlul zgomotului. Materiale pe bază de elastomeri, controlabile în câmp magnetic, asigură o funcționalitate mai bună față de elastomerii obișnuiți și reprezintă un pas important prin punerea împreună a tehnologiilor moderne de control și a materialelor inteligente. Comportamentul specific al materialelor MRE constă în faptul că modulul lor de elastică se modifică în funcție de intensitatea câmpului magnetic aplicat. Pentru realizarea MRE se recomandă utilizarea particulelor feritice intens magnetizabile. În principal, MRE sunt compuse din particule magnetice, de dimensiuni micronice, de carbonil de fier, incluse într-o matrice de elastomer, și o componentă plastifiantă.

### 2.6.2. Obținerea MRE

Cele mai utilizate materiale pentru matrice sunt cauciucul siliconic, alcool polivinilic, cauciucul natural și poliuretanul. Materialul cel mai adevarat pentru matrice poate fi ales în funcție de caracteristicile mediului de lucru (temperatură, umiditate, agenți chimici, etc). În anexa 1 sunt prezentate proprietățile relevante pentru o serie de materiale pentru matrice. Cele mai uzuale sunt matricele de cauciuc natural și cele de silicon, care oferă raport maxim calitate-costuri. În tabelul 2, sunt prezentate proprietățile de bază pentru câteva tipuri de cauciuc natural.

Pentru cele două dispozitive prezentate în lucrare s-a fost folosit în calitate de matrice cauciuc siliconic. Compoziția utilizată pentru MRE constă în particule de carbonil de fier, ulei de silicon și cauciuc siliconic. Proprietățile magneto-reologice depind de procentul de greutate dintre cele trei componente.

Din datele din literatura de specialitate și din experimentele proprii a rezultat că procentul de greutate optimă este de 60% pentru particulele de carbonil de fier, 20% pentru uleiul de silicon și 20% pentru cauciucul siliconic. În ceea ce privește procentul de ulei de silicon, în literatura de specialitate este indicat un interval de 10-20% și păstrarea ca procent fix de 60% pentru particule de carbonil de fier, diferența dintre procentul de ulei de silicon se regăsește în procentul de cauciuc siliconic. În cadrul studiului propriu am stabilit că la un procent de 18-20% ulei siliconic, tendința de auto-asamblare a particulelor de carbonil de fier în microstructuri și potențialul mișcărilor lor ușoare sunt maxime.

Uleiul folosit este uleiul de silicon, utilizat în tehnica de vid. Particulele de carbonil de fier sunt imersate în uleiul siliconic și apoi, se amestecă cu cauciuc siliconic; întreaga operațiune trebuie efectuată într-o incintă cu vid, în lipsa

câmpului magnetic. Ultima etapă de pregătire constă în păstrarea timp de 24 de ore la temperatura camerei.

### 2.6.3. Dispozitive MRE

În fig.2.15, este prezentat un dispozitiv MRE tip bucșe, iar în fig.2.16, reprezentarea sa schematică.



Fig. 2.15. Dispozitiv MRE tip bucșe

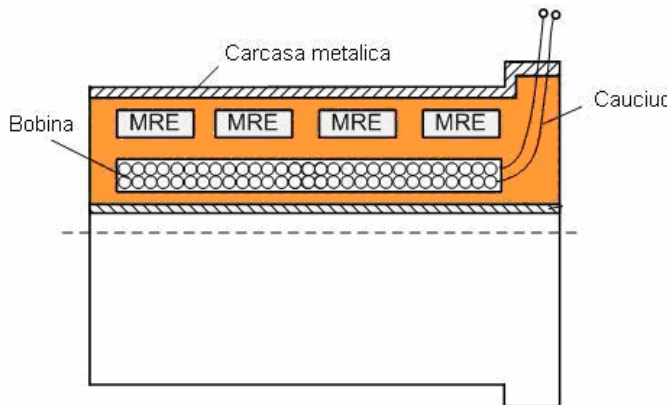


Fig. 2.16 Reprezentare schematică al unui dispozitiv MRE tip bucșe

În fig.2.16, se poate remarcă faptul că matricea din cauciuc siliconic conține cavități cu pereti subțiri, umplute cu MRE. Această soluție tehnică asigură o creștere importantă a fiabilității bucșei. În scopul de a crește intensitatea câmpului magnetic prin MRE, bobina a fost amplasată cât mai aproape de axa longitudinală a bucșei, în opoziție cu soluția clasică, unde bobina este externă.

Altă aplicație este prezentată în fig.2.17a), iar în 2.17b) se observă reprezentarea schematică corespunzătoare.

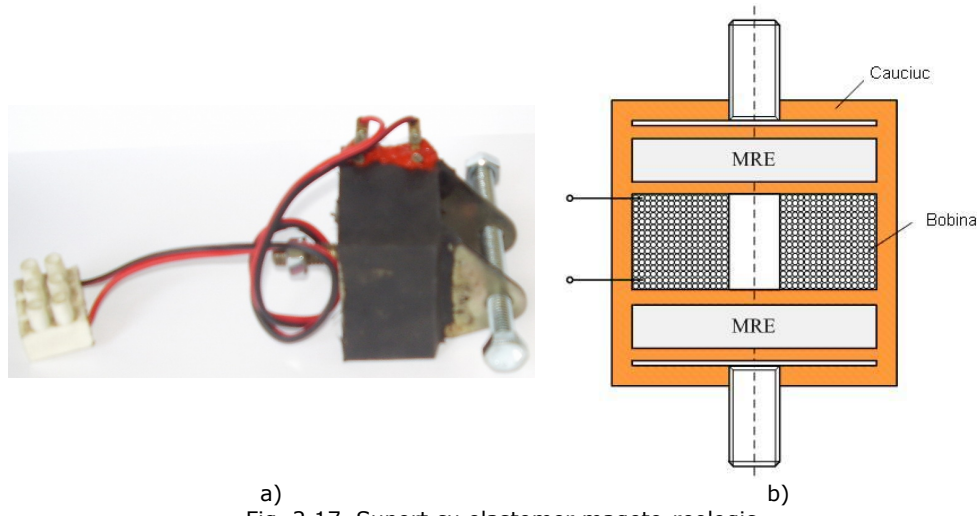


Fig. 2.17. Suport cu elastomer magneto-reologic

După cum se poate observa, într-o matrice de cauciuc natural, sunt amplasate două elemente de fixare (șuruburi), bobina, care generează un câmp magnetic variabil, și două cavități umplute cu elastomer magneto-reologic. Aceste componente, matricea de cauciuc natural și simetria perfectă asigură fiabilitatea și eficiența dispozitivului.

## 2.7. Concluzii parțiale

Acest capitol cuprinde o sinteză bibliografică despre materiale magneto-reologice (MR), proprietăți și modelări ale acestora. Au fost studiate Modele reologice ale elementelor dissipative MR: modelul reologic Newton, modelul reologic Bingham, modelul reologic Bouc-Wen, modelul reologic Oh-Onoda, modelul reologic Choi.

Din analiza modelelor prezentate rezultă necesitatea elaborării unor modele care să țină cont de influența accumulatorului cu gaz atașat amortizorului, de modificările induse de creșterea temperaturii în timpul funcționării precum și comportarea la impulsuri rapide.

S-a făcut și un studiu de optimizare a funcționării pentru două dispozitive MRE în scopul de a asigura o fiabilitate foarte bună. Modul de realizare a obiectivului a fost de a găsi o poziție optimă a bobinei care generează câmpul magnetic, în ceea ce privește zona de MRE, astfel încât să crească capacitatea dispozitivului de comandă. Privind amplasarea optimă a bobinei, se apreciază că soluția găsită reprezintă o contribuție originală la creșterea performanțelor tehnice ale dispozitivului. O altă contribuție este realizarea dispozitivului cu matrice de cauciuc natural, cu pereți subțiri care conțin cavități umplute cu MRE, ceea ce conduce la creșterea fiabilității.

## CAPITOLUL 3

### TESTAREA AMORTIZOARELOR CU MRF

Proiectarea unei soluții tehnice eficientă de diminuare a vibrațiilor la o mașină, agregat, mijloc de transport sau la o construcție civilă sau industrială, presupune cunoașterea caracteristicilor tehnice ale elementelor disipative de energie utilizate. Astfel, pentru un amortizor tip RD -1001/4 cu fluid magneto-reologic (fig. 3.1.a), produs de firma Lord Corporation, existent în cadrul Laboratorului de Vibrații al Universității Politehnica din Timișoara, caracteristica forță de legătură  $F_a$  – viteză relativă  $v_r$  este dată în fig. 3.1.b. Se remarcă, din această diagramă, că pentru o alimentare a bobinei electromagnetului ce realizează câmpul de control, la un curent de  $I=1.5$  A, forța de legătură  $F_a$  poate atinge valoarea de  $\approx 230$  daN.

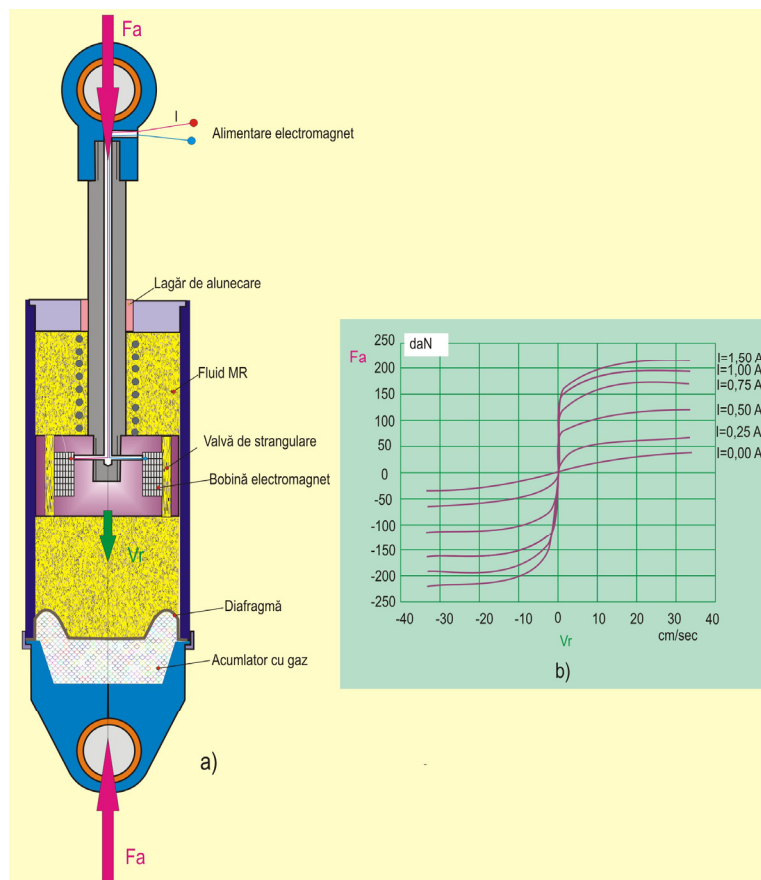


Fig. 3.1 Amortizorul tip RD -1001/4 cu fluid magneto-reologic  
Caracteristica forță de legătură  $F_a$  - viteză relativă  $v_r$

Pentru atingerea acestei valori standul de testare al amortizorului dissipativ trebuie să fie cu acționare hidraulică cea ce implică un cost ridicat al instalației. Pentru a evita această facilitate, la care nu am avut acces, am ales o soluție accesibilă mai simplă: adaptarea unui pendul de reziliență Charpy pentru testarea amortizorului.

### 3.1 Stand pendular pentru testarea amortizoarelor cu MRF

Adaptarea pendulului Charpy pentru testarea amortizorului MR (3, fig.3.2) s-a realizat prin amplasarea acestuia la un capăt (articulația A) de tija 2 a pendulului, prin intermediul unei bucăți 11, iar la celălalt capăt, (articulația C), prin intermediul unui cadru 4 fixat de batiul 1 al pendulului. Ambele articulații de fixare A și C pot fi reglate prin faptul că bucața 11 poate fi prinsă la diverse lungimi  $L_1$  de-a lungul tijei 2 iar articula C este situată pe capătul unui bulon filetat 5 ce poate fi blocat de cadrul 4 prin piuliță și contrapiuliță.

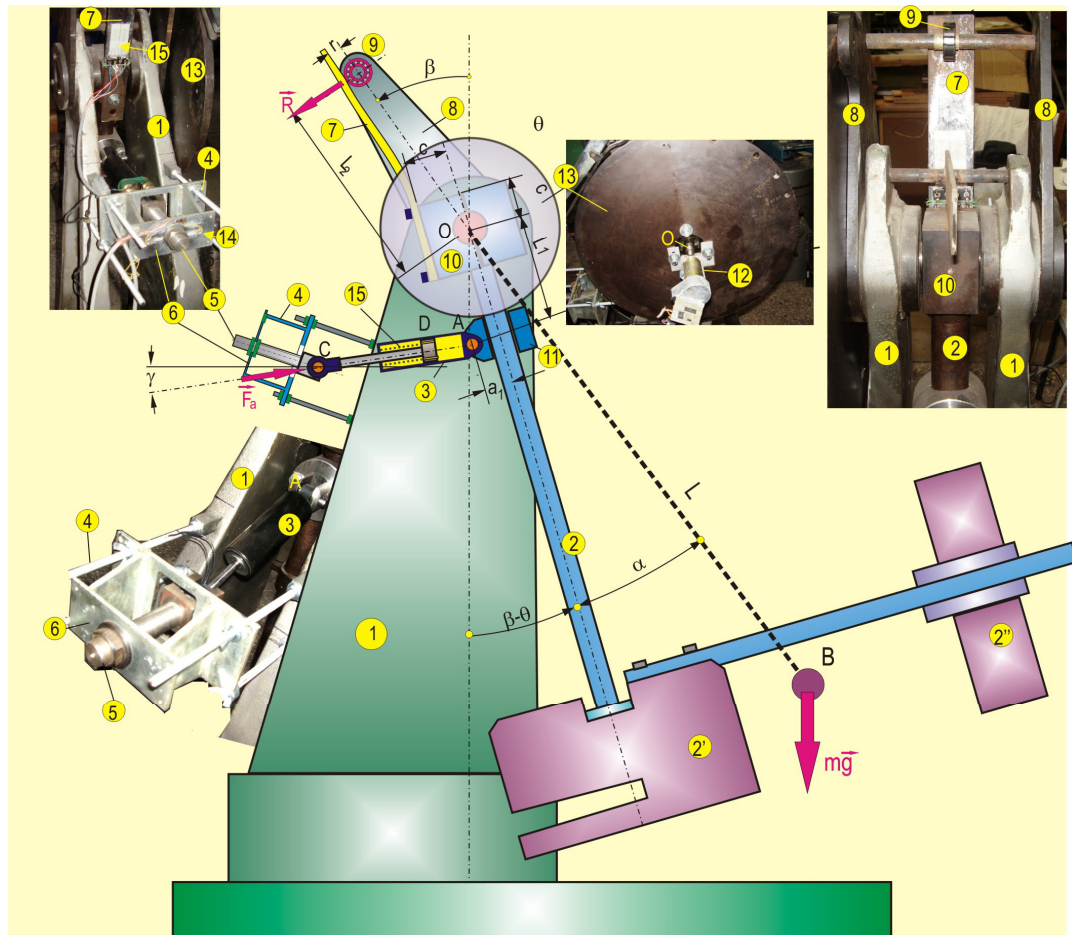


Fig. 3.2 Adaptarea unui pendul Charpy pentru testarea amortizorului MR

Testarea amortizorului se face prin intercalarea acestuia într-un sistem oscilant supus la vibrații libere, caracteristica de amortizare a amortizorului se determinându-se din răspunsul sistemului, - prin înregistrarea legii de mișcare  $\theta(t)$  utilizând un traductor incremental 12, cuplat pe axul pendulului, a cărei axă trece prin  $O_r$ - și prin înregistrarea forței de legătură  $F_a$ , cu care amortizorul se opune mișcării relative piston carcasă, de viteza

$$v_r = \frac{d|\overline{AC}|}{dt} \quad (3.1)$$

Forța de legătură  $F_a$  se înregistrează prin intermediul unui montaj de tructoare electorezistive (TER) amplasate pe eclisa de legătură 6 a cadrului 4, (fig 3.2).

Având în vedere faptul că forța de legătură  $F_a$  poate atinge valori ce nu permit ca pendulul să efectueze oscilații s-a adăugat la masa ghilotinei 2' o masă suplimentară 2" prin care s-a mărit inerția pendulului, centrul de masă mutându-se în punctul B, pendulul fizic astfel realizat având lungimea L și axa pendulului fiind decalat cu unghiul  $\alpha_0$  față de poziția originală.

De asemenea, s-a mărit rigiditatea pendulului prin intermediul unui arc, constituit dintr-o lamă elastică 7 fixată rigid la un capăt de carcasa 10 de rotație în O a pendulului, iar la un capăt aceasta fiind sprijinită pe un rulment 9, fixat la rândul său pe cadrul 8 ce poate fi blocat față de batiul 1, prin rotirea cadrului în jurul axei de rotație pendulului cu unghiul  $\beta$ , raportat la axa longitudinală a brațului 2.

### 3.2 Modelul dinamic al sistemului pendular

Modelul dinamic al sistemului pendular al standului are un singur grad de libertate, mișcarea pendulară fiind definită de legea  $\theta(t)$ , energia cinetică a sistemului fiind dată de relația

$$E_c(t) = \frac{1}{2} J \left( \frac{d(\alpha + \beta - \theta(t))}{dt} \right)^2 = \frac{1}{2} J \left( -\frac{d\theta(t)}{dt} \right)^2 \quad (3.2)$$

unde  $J$  este momentul de inerție, în raport cu axa de rotație a pendulului, al tuturor maselor rigidizate de brațul 2 al pendulului.

Energia potențială depinde de poziția pe verticală a centrului de masă B

$$E_p(t) = mgL(1 - \cos(\beta + \alpha - \theta(t))) \quad (3.3)$$

unde  $\alpha$  este unghiul pe care vectorul  $\overline{OB}$ , de lungime L, o a centrului de masă B o face cu axa brațului 2 al pendulului.

În echilibru energetic intervin și următoarele energiile:

- $E_{dp}$  energia arcului platbandă

$$E_{dp}(t) = \frac{1}{2} k_p (w(t))^2 \quad (3.4)$$

### 32 Testarea amortizoarelor cu MRF-3

---

unde  $w(t)$  este deformația, la momentul  $t$ , a platbandei arc 7, în punctul P (fig. 3.3) de contact cu rulmentul de sprijin 9,  $k_p$  fiind constanta elastică a platbandei,

$$k_p = \frac{3EI}{L_b} \quad (3.5)$$

$E=2.15 \cdot 10^{11}$  N/m, fiind modulul de elasticitate al oțelului, material din care este confecționată platbanda arc 7, iar  $I$  modulul de inerție geometrică al secțiunii transversale a platbandei

$$I = \frac{bs^3}{12} \quad (3.6)$$

$b$  și  $s$  fiind lățimea respectiv grosimea platbandei arc 7.

Deformației  $w(t)$  îi corespunde o rotire

$$\theta(t) \approx \frac{w(t)}{R} \quad (3.7)$$

prin intermediul căreia expresia (2.4) a energiei de deformare devine

$$E_{dp}(t) = \frac{1}{2} k_p R^2 (\theta(t))^2 \quad (3.8)$$

- *energia de deformare a arcului 3<sub>a</sub>* amplasat în interiorul amortizorului 3

$$E_{da} = \frac{1}{2} k_a (u - u_0)^2 \quad (3.9)$$

unde  $u = |\overline{AC}|$  este distanța dintre articulațiile de prindere ale amortizorului, A, de prindere de brațul 2 și C fixat de batial 1, de coordinate  $x_C$  și  $y_C$ ,  $u_0$  fiind distanța dintre articulațiile A și C în stare nemontată a amortizorului.

Amortizorul 3 având, în principal, funcția de disipator de energie introduce o forță de legătură

$$F_d = F_d(v_r, p_s, f) \quad (3.10)$$

ce depinde de viteza relativă dintre capetele A și C

$$v_r = \frac{du}{dt}, \quad (3.11)$$

de parametrii  $p_s$  ai suspensiei fluid - particule și de fluxul magnetic  $\phi$  al câmpului magnetic ce străbate suspensia.

Sistemul dinamic are un singur grad de libertate depinzând la orice moment de poziția unghiulară  $\theta(t)$  a brațului 2 al pendulului, distanța  $u = |\overline{AC}|$  dintre

articulațiile de prindere a amortizorului și deformația  $w(t)$  a arcului platbandă 7 depinzând de  $\theta(t)$ .

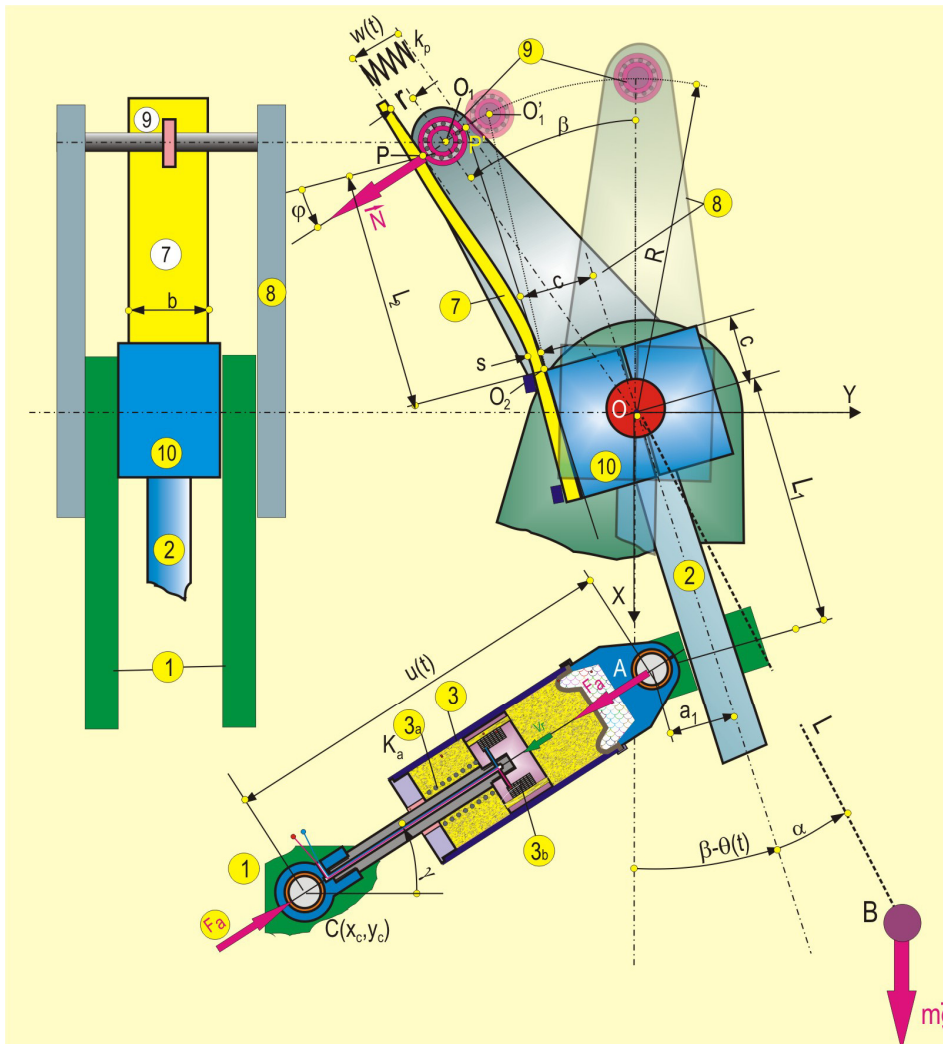


Fig.3.3 Ilustrarea echilibrului dinamic al mecanismului standului de testare a amortizorului

Astfel, din condiții geometrice, (fig. 3.3), se obțin relațiile

$$\begin{aligned} y_C + u \cos \gamma + a_1 \cos(\beta + \theta) - L_1 \sin(\beta + \theta) &= 0 \\ x_C - u \sin \gamma - a_1 \sin(\beta + \theta) - L_1 \cos(\beta + \theta) &= 0 \end{aligned} \quad (3.12)$$

de unde

$$u = \sqrt{x_C^2 + y_C^2 + a_1^2 + L_1^2 + 2(x_C a_1 + y_C L_1) \sin(\beta - \theta) + 2(x_C L_1 - y_C a_1) \cos(\beta - \theta)} \quad (3.13)$$

și

$$\gamma = \arctg \frac{x_C - a_1 \sin(\beta - \theta) - L_1 \cos(\beta - \theta)}{L_1 \sin(\beta - \theta) - y_C - a_1 \cos(\beta - \theta)} \quad (3.14)$$

Prin derivarea relației (3.11) în raport cu timpul, se obține, conform cu (3.9), viteza relativă

$$v_r = \frac{du}{dt} = \frac{-(x_C a_1 + y_C L_1) \cos(\beta - \theta) + (x_C L_1 - y_C a_1) \sin(\beta - \theta)}{\sqrt{x_C^2 + y_C^2 + a_1^2 + L_1^2 + 2(x_C a_1 + y_C L_1) \sin(\beta - \theta) + 2(x_C L_1 - y_C a_1) \cos(\beta - \theta)}} \frac{d\theta}{dt} \quad (3.15)$$

Pentru deducerea ecuației diferențiale de echilibru dinamic al sistemului pendular se apelează la forma Lagrange,

$$\frac{d}{dt} \left( \frac{\partial E_C}{\partial \dot{\theta}} \right) - \frac{\partial E_C}{\partial \theta} + \frac{\partial E_P}{\partial \theta} + \frac{\partial (E_{dp} + E_{da})}{\partial \theta} + \frac{\partial E_{dispa}}{\partial \dot{\theta}} = 0 \quad (3.16)$$

pentru care rezultă:

- din (3.2),

$$\frac{d}{dt} \left( \frac{\partial E_C}{\partial \dot{\theta}} \right) = -J \ddot{\theta}(t) \quad (3.17)$$

- din (3.3),

$$\frac{\partial E_P(t)}{\partial \theta} = mgL [\sin(a + \beta) \cos \theta(t) - \sin \theta(t) \cos(a + \beta)] \quad (3.18)$$

- din (3.8),

$$\frac{\partial E_{dp}(t)}{\partial \theta} = k_p R^2 \theta(t) \quad (3.19)$$

- și, din (3.9) și (3.13)

$$\begin{aligned} \frac{\partial E_{da}}{\partial \theta} &= k_a \left\{ \sqrt{x_C^2 + y_C^2 + a_1^2 + L_1^2 + } \right. \\ &\quad \left. \left[ 2(x_C a_1 + y_C L_1) \sin(\beta - \theta) + 2(x_C L_1 - y_C a_1) \cos(\beta - \theta) \right] - u_0 \right\} \times \\ &\quad \times \frac{-(x_C a_1 + y_C L_1) \cos(\beta - \theta) + (x_C L_1 - y_C a_1) \sin(\beta - \theta)}{\sqrt{x_C^2 + y_C^2 + a_1^2 + L_1^2 + } \\ &\quad \left. \left[ 2(x_C a_1 + y_C L_1) \sin(\beta - \theta) + 2(x_C L_1 - y_C a_1) \cos(\beta - \theta) \right] } \end{aligned} \quad (3.20)$$

Energia de disipație  $E_{\text{dispa}}$  depinde de lucrul mecanic al forței de disipație  $F_d = F_d(v_r, p_s, \phi)$ , pentru care se definesc diferite modele (capitolul 2)

În prima fază să considerăm sistemul dinamic pasiv, fără amortizare, ( $E_{\text{dispa}}=0$ ) a cărui ecuație diferențială de mișcare, după legea  $\theta(t)$ , este,

$$\begin{aligned}
 & -J\ddot{\theta}(t) + mgL[\sin(\alpha + \beta)\cos\theta(t) - \sin\theta(t)\cos(\alpha + \beta)] + k_p R^2 \theta(t) - \\
 & -k_a \left\{ \sqrt{x_C^2 + y_C^2 + a_1^2 + L_1^2 + 2(x_C a_1 + y_C L_1) \sin(\beta - \theta) + 2(x_C L_1 - y_C a_1) \cos(\beta - \theta)} - u_0 \right\} \times \\
 & \times \frac{-(x_C a_1 + y_C L_1) \cos(\beta - \theta) + (x_C L_1 - y_C a_1) \sin(\beta - \theta)}{\sqrt{x_C^2 + y_C^2 + a_1^2 + L_1^2 + 2(x_C a_1 + y_C L_1) \sin(\beta - \theta) + 2(x_C L_1 - y_C a_1) \cos(\beta - \theta)}} = 0
 \end{aligned} \tag{3.21}$$

Ecuația diferențială (3.21) admite o soluție  $\theta_s = \text{ct}$ , care dă poziția de echilibru static prin ecuația trigonometrică,  $\alpha$  și  $\beta$  fiind constante

$$\begin{aligned}
 & mgL[\sin(\alpha + \beta)\cos\theta_s - \sin\theta_s\cos(\alpha + \beta)] + k_p R^2 \theta_s - \\
 & -k_a \left\{ \sqrt{x_C^2 + y_C^2 + a_1^2 + L_1^2 + 2(x_C a_1 + y_C L_1) \sin(\beta - \theta_s) + 2(x_C L_1 - y_C a_1) \cos(\beta - \theta_s)} - u_0 \right\} \times \\
 & \times \frac{-(x_C a_1 + y_C L_1) \cos(\beta - \theta_s) + (x_C L_1 - y_C a_1) \sin(\beta - \theta_s)}{\sqrt{x_C^2 + y_C^2 + a_1^2 + L_1^2 + 2(x_C a_1 + y_C L_1) \sin(\beta - \theta_s) + 2(x_C L_1 - y_C a_1) \cos(\beta - \theta_s)}} = 0
 \end{aligned} \tag{3.22}$$

În jurul acestei poziții  $\theta_s$  sistemul oscilează după legea  $\theta(t)$ , guvernată de ecuația diferențială

$$\begin{aligned}
 & -J\ddot{\theta}(t) + mgL[\sin(\alpha + \beta)\cos(\theta + \theta_s) - \sin(\theta + \theta_s)\cos(\alpha + \beta)] + k_p R^2 [\theta(t) + \theta_s] - \\
 & -k_a \left\{ \sqrt{x_C^2 + y_C^2 + a_1^2 + L_1^2 + 2(x_C a_1 + y_C L_1) \sin(\beta - \theta_s - \theta) + 2(x_C L_1 - y_C a_1) \cos(\beta - \theta_s - \theta)} - u_0 \right\} \times \\
 & \times \frac{-(x_C a_1 + y_C L_1) \cos(\beta - \theta_s - \theta) + (x_C L_1 - y_C a_1) \sin(\beta - \theta_s - \theta)}{\sqrt{x_C^2 + y_C^2 + a_1^2 + L_1^2 + 2(x_C a_1 + y_C L_1) \sin(\beta - \theta_s - \theta) + 2(x_C L_1 - y_C a_1) \cos(\beta - \theta_s - \theta)}} = 0
 \end{aligned} \tag{3.23}$$

care pentru mici elongații  $\theta(t)$ , unde se pot face aproximările,  $\cos\theta \approx 1$  și  $\sin\theta \approx \theta$ , cea ce duce la relațiile

$$\begin{aligned}
\sin(\theta + \theta_s) &= \theta \cos \theta_s + \sin \theta_s \\
\cos(\theta + \theta_s) &= \cos \theta_s - \theta \sin \theta_s \\
\sin(\beta - \theta - \theta_s) &= \sin(\beta - \theta_s) - \theta \cos(\beta - \theta_s) \\
\cos(\beta - \theta - \theta_s) &= \cos(\beta - \theta_s) + \theta \sin(\beta - \theta_s)
\end{aligned} \tag{3.24}$$

Cu acestea ecuația diferențială (3.21) trece în forma

$$\begin{aligned}
&-J\ddot{\theta}(t) + mgL[\sin(a + \beta)(\cos \theta_s - \theta \sin \theta_s) - (\theta \cos \theta_s + \sin \theta_s)\cos(a + \beta)] + k_p R^2(\theta(t) + \theta_s) - \\
&-k_a \left\{ \sqrt{x_C^2 + y_C^2 + a_I^2 + L_I^2 + 2(x_C a_1 + y_C L_1)[\sin(\beta - \theta_s) - \theta \cos(\beta - \theta_s)] +} \right. \\
&\left. - u_0 \right\} \times \\
&\times \frac{-(x_C a_1 + y_C L_1)[\cos(\beta - \theta_s) + \theta \sin(\beta - \theta_s)] + (x_C L_1 - y_C a_1)[\sin(\beta - \theta_s) - \theta \cos(\beta - \theta_s)]}{\sqrt{x_C^2 + y_C^2 + a_I^2 + L_I^2 + 2(x_C a_1 + y_C L_1)[\sin(\beta - \theta_s) - \theta \cos(\beta - \theta_s)] +}} = 0 \\
&\sqrt{+2(x_C L_1 - y_C a_1)[\cos(\beta - \theta_s) + \theta \sin(\beta - \theta_s)]}
\end{aligned} \tag{3.25}$$

care ținând cont de (3.22) devine

$$J\ddot{\theta}(t) + K_e \theta(t) = 0 \tag{3.26}$$

o ecuație diferențială liniară omogenă care guvernează mișcarea oscilatorie  $\theta(t)$  în jurul poziției de echilibru static  $\theta_s$ , unde constanta elastică echivalentă  $K_e$ , are forma

$$K_e = \left\{ \begin{array}{l} mgL \cos(a + \beta - \theta_s) - k_p R^2 - \\ k_a \left[ \sqrt{x_C^2 + y_C^2 + a_I^2 + L_I^2 + 2(x_C a_1 + y_C L_1) \sin(\beta - \theta_s)} + \right. \\ \left. - u_0 \right] \times \\ \times \frac{-(x_C a_1 + y_C L_1) \sin(\beta - \theta_s) + (x_C L_1 - y_C a_1) \cos(\beta - \theta_s)}{\sqrt{x_C^2 + y_C^2 + a_I^2 + L_I^2 + 2(x_C a_1 + y_C L_1) \sin(\beta - \theta_s)} +} \\ \sqrt{+2(x_C L_1 - y_C a_1) \cos(\beta - \theta_s)} \end{array} \right\} \tag{3.27}$$

ea putând fi modificată prin poziția unghiulară  $\beta$ , de blocare a cadrului 8, astfel încât poate fi modificată, prin intermediul ei, și pulsulația proprie a micilor oscilații după legea  $\theta(t)$

$$\omega = \sqrt{\frac{K_e}{J}} \tag{3.28}$$

Acum, se poate introduce și termenul corespunzător amortizării controlate prin amortizorul MR, dată prin componenta disipativă  $F_d$  a forței de legătura  $F_a$ , a cărui lucru mecanic elementar virtual este

$$\delta L_d = F_d \delta u \quad (3.29)$$

unde, prin intermediul relației (3.15)

$$\delta u = \frac{-(x_C a_1 + y_C L_1) \cos(\beta - \theta) + (x_C L_1 - y_C a_1) \sin(\beta - \theta)}{\sqrt{x_C^2 + y_C^2 + a_1^2 + L_1^2 + 2(x_C a_1 + y_C L_1) \sin(\beta - \theta) + 2(x_C L_1 - y_C a_1) \cos(\beta - \theta)}} \delta \theta \quad (3.30)$$

astfel că, ecuația diferențială (3.26) a oscilațiilor libere amortizate poate fi scrisă sub forma

$$J\ddot{\theta}(t) + C_p F_d(v_r, p_s, \varepsilon) + K_e \theta(t) = 0 \quad (3.31)$$

unde  $C_p$  este o constantă

$$C_p = \frac{-(x_C a_1 + y_C L_1) \cos(\beta - \theta_s) + (x_C L_1 - y_C a_1) \sin(\beta - \theta_s)}{\sqrt{x_C^2 + y_C^2 + a_1^2 + L_1^2 + 2(x_C a_1 + y_C L_1) \sin(\beta - \theta_s) + 2(x_C L_1 - y_C a_1) \cos(\beta - \theta_s)}} \quad (3.32)$$

care depinde de unghiiurile  $\beta$  și  $\theta_s$ .

Ecuatia diferențială (3.31), care modelează dinamica standului pendular, cu amortizorul MR atașat, constituie modelul de identificare a caracteristicii amortizorului MR.

### 3.3 Simularea numerică a modelului dinamic

Cu ajutorul modelului A se poate studia comportamentul dinamic al sistemului pendul care include amortizorul cu fluid MR tip LORD ce s-a utilizat în cadrul experimentelor. Modelul a fost realizat cu ajutorul programului SimMechanics, ce rulează sub mediul de programare MATLAB.

Modelul s-a construit cu ajutorul blocurilor definite în biblioteca programului. Schema de simulare este prezentată în figură:

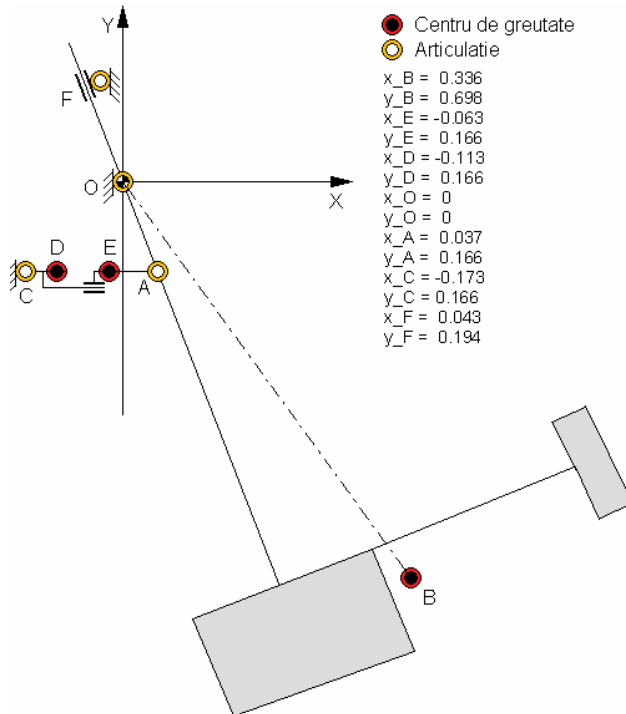


Fig. 3.4 Ilustrarea modelului dinamic simplificat rezolvat prin consola Simulink a mediului de programare Matlab

Tabelul 3.1. Date de programare pentru simularea răspunsului dinamic al standului

| <b>CORP</b> | <b>PORT</b> | <b>Coord.<br/>X</b> | <b>Coord.<br/>Y</b> |
|-------------|-------------|---------------------|---------------------|
| Pendul      | CG (B)      | 0.336               | 0.698               |
|             | CS1 (O)     | 0.000               | 0.000               |
|             | CS2 (A)     | 0.037               | 0.166               |
| Piston      | CG (E)      | -0.063              | 0.166               |
|             | CS1 (A)     | 0.037               | 0.166               |
|             | CS2 (G)     | -0.083              | 0.166               |
| Cilindru    | CG (D)      | -0.113              | 0.166               |
|             | CS1 (G)     | -0.083              | 0.166               |
|             | CS2 (C)     | -0.173              | 0.166               |
| Fixare O    | Coord. (O)  | 0                   | 0                   |
| Fixare C    | Coord. (C)  | -0.173              | 0.166               |

Pentru fiecare bloc s-au definit parametrii geometrici (fig. 3.4) și dinamici. Calculul coordonatelor punctelor caracteristice s-a realizat cu ajutorul unui program MATLAB (ANEXA 2). Afisarea diagramelor mișării punctelor caracteristice și a forțelor s-a realizat cu același program.

### • Modelul I

Cu ajutorul modelului 1 se poate studia comportamentul dinamic al sistemului pendul care include amortizorul cu fluid MR tip LORD ce s-a utilizat în cadrul experimentelor. Modelul a fost realizat cu ajutorul programului SimMechanics, ce rulează sub mediul de programare MATLAB.

Modelul s-a construit cu ajutorul blocurilor definite în biblioteca programului.

Schema de simulare este prezentată în fig.3.5:

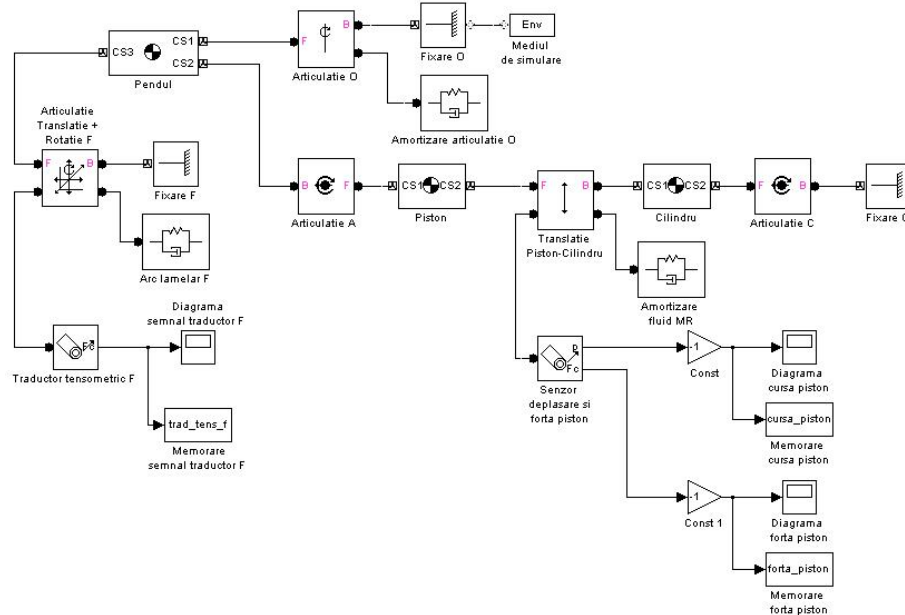


Fig. 3.5 Schema bloc a modelului programat în SimMechanics

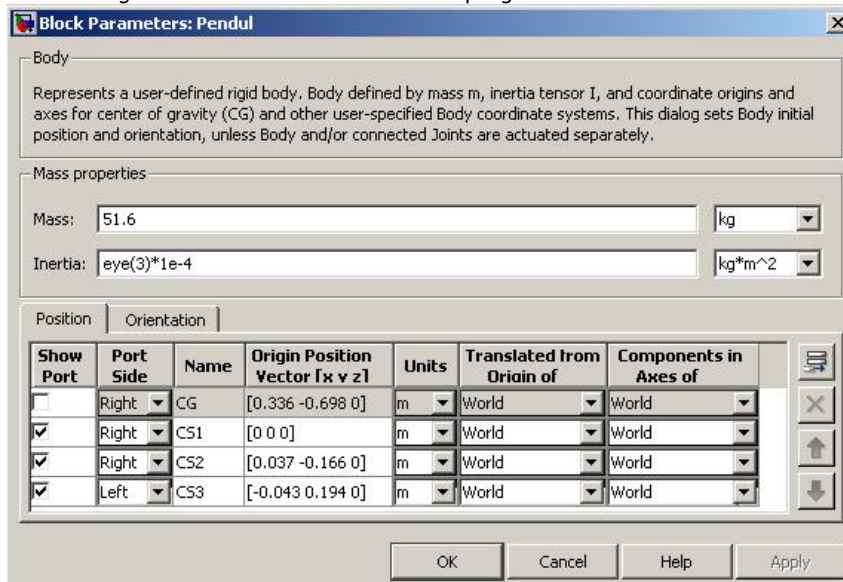


Fig. 3.6 Fereastra de programare parametrii pentru pendul

## 40 Testarea amortizoarelor cu MRF-3

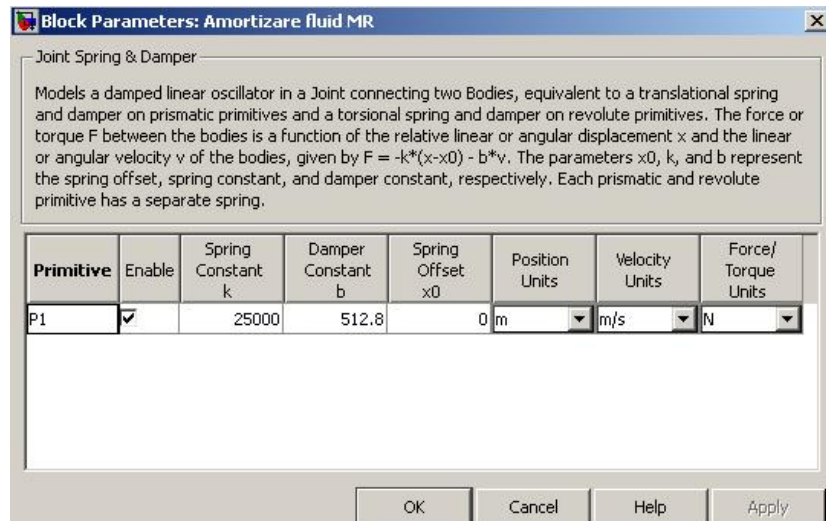


Fig. 3.7 Fereastra de programare parametrii pentru amortizorul cu fluid MR

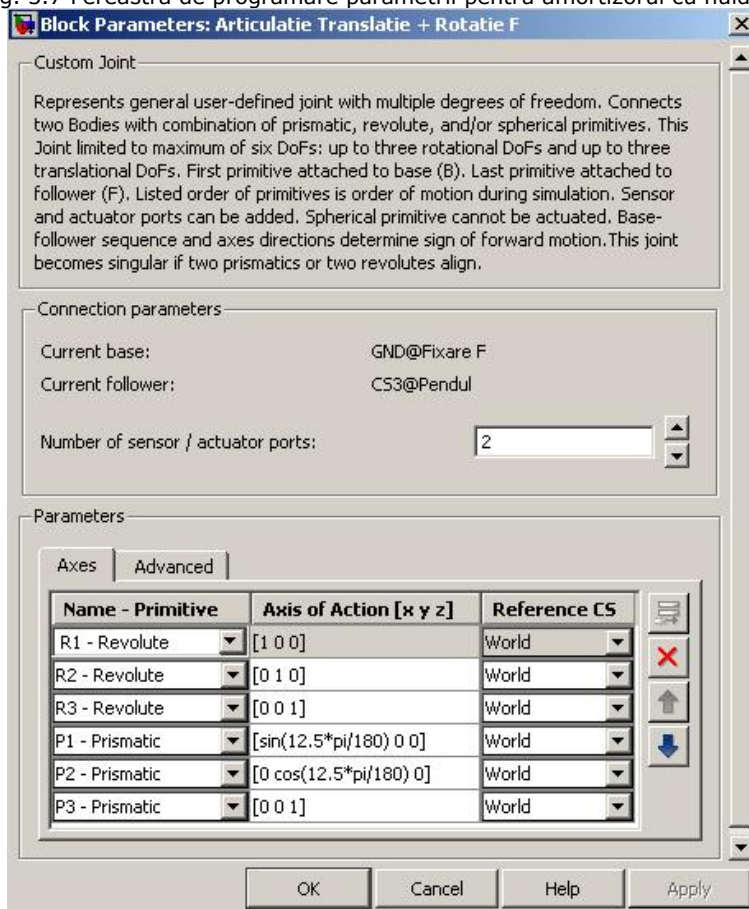


Fig. 3.8 Fereastra de programare parametrii pentru articulație-translație (punct F)

Simularea a fost realizată pentru diferite valori ale coeficientului de amortizare, valori ce s-au obținut conform curbelor date în documentația amortizorului (LORD TECHNICAL DATA RD-1005-3 Damper). Valorile coeficienților utilizati sunt date în tabelul 3.2.

Tabelul 3.2 Coeficienții de amortizare pentru diverse intensități ale curentului de excitație bobină amortizor cu fluid MR

| Nr. simulare | Coeficient de amortizare MR |
|--------------|-----------------------------|
| 1            | 512.8                       |
| 2            | 1092.7                      |
| 3            | 1672.5                      |
| 4            | 2252.4                      |
| 5            | 2832.2                      |
| 6            | 3412.1                      |
| 7            | 3992.0                      |
| 8            | 4571.8                      |
| 9            | 5151.7                      |
| 10           | 5731.5                      |
| 11           | 6311.4                      |

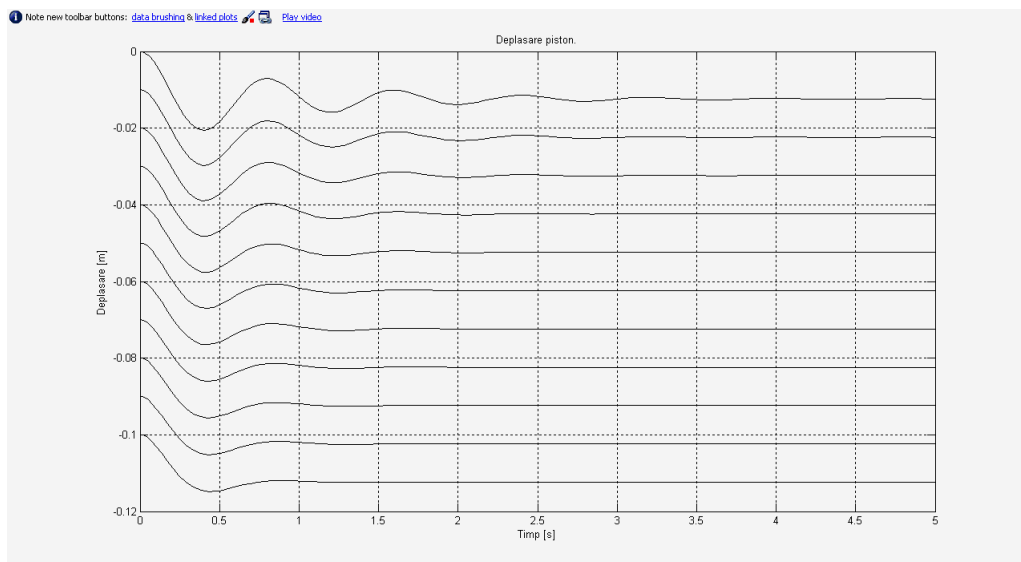


Fig.3.9 Diagramele oscilațiilor libere amortizate ale mișcării pistonului  $u(t)$  (fig.2.3) corespunzătoare celor 11 valori ale curentului de alimentare a bobinei amortizorului cu fluid MR

## 42 Testarea amortizoarelor cu MRF-3

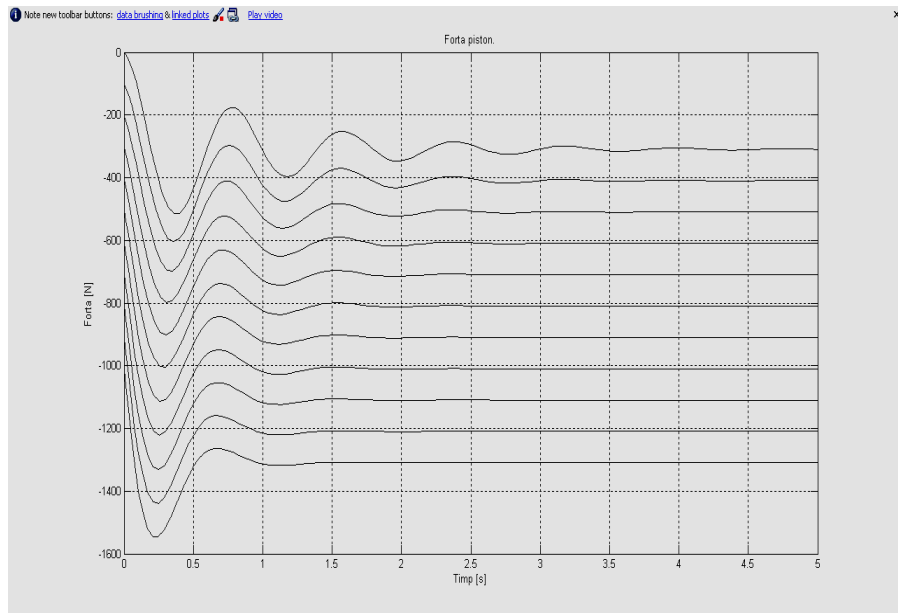


Fig.3.10 Diagramalele oscilațiilor libere amortizate ale forței de legătură  $F_a(t)$  (fig.2.3) a amortizorului (3) corespunzătoare celor 11 valori ale curentului de alimentare a bobinei amortizorului cu fluid MR

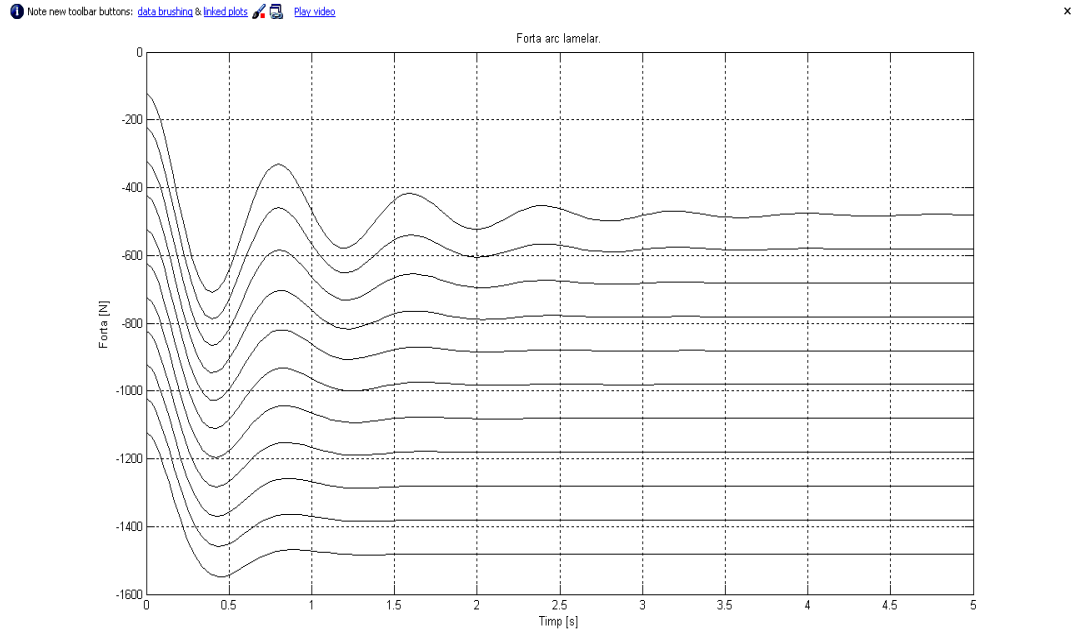


Fig.3.10 Diagramalele oscilațiilor libere amortizate ale reacțunii  $N(t)$  pe arcul lamelar 7 (fig.2.3) corespunzătoare celor 11 valori ale curentului de alimentare a bobinei amortizorului cu fluid MR

### • MOBELUL II

Partea mecanică a modelului este similară cu cea pentru modelul I. Amortizorul a fost modelat conform schemei OH și ONODA după modelul prezentat anterior.

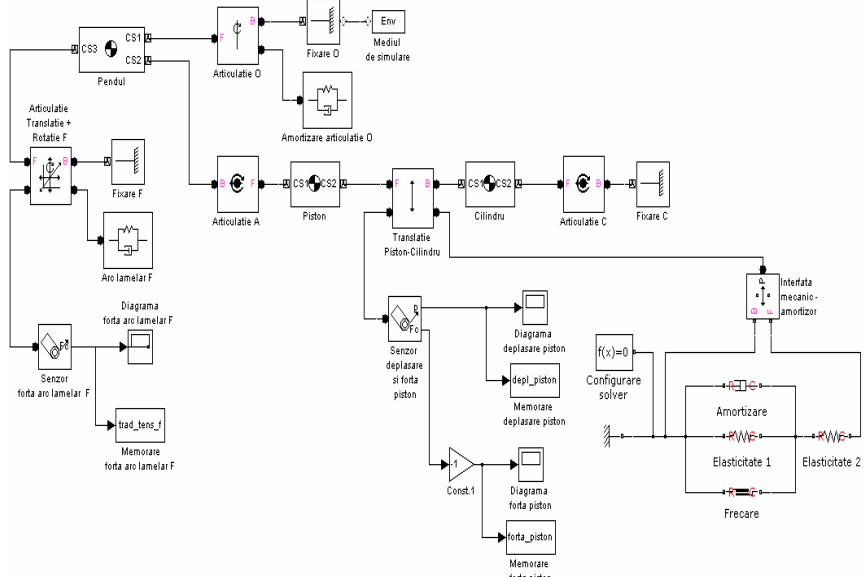


Fig. 3.11 Schema bloc a modelului programat în SimMechanics cu modelarea amortizorului după schema OH-ONODA

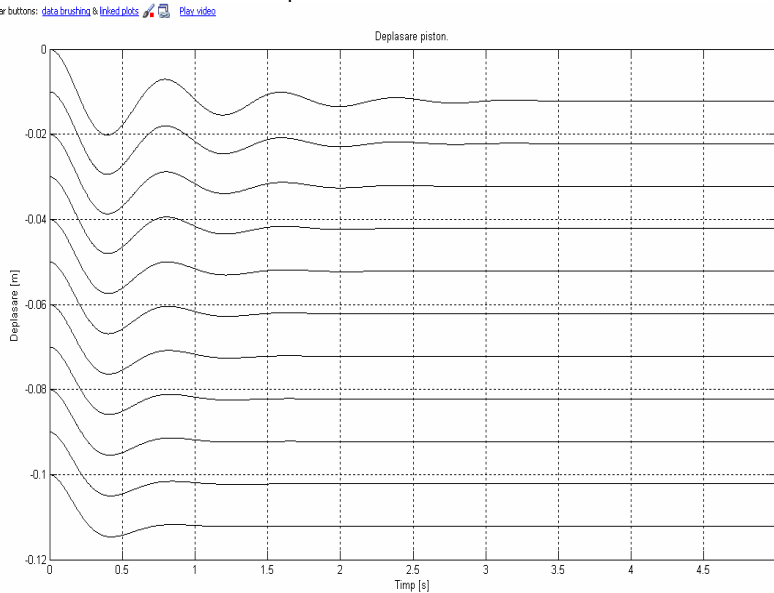


Fig. 3.12 Diagramele oscilațiilor libere amortizate ale mișcării pistonului  $u(t)$  (fig.2.3) corespunzătoare celor 11 valori ale curentului de alimentare a bobinei amortizorului cu fluid MR, modelat după schema OH-ONODA

#### 44 Testarea amortizoarelor cu MRF-3

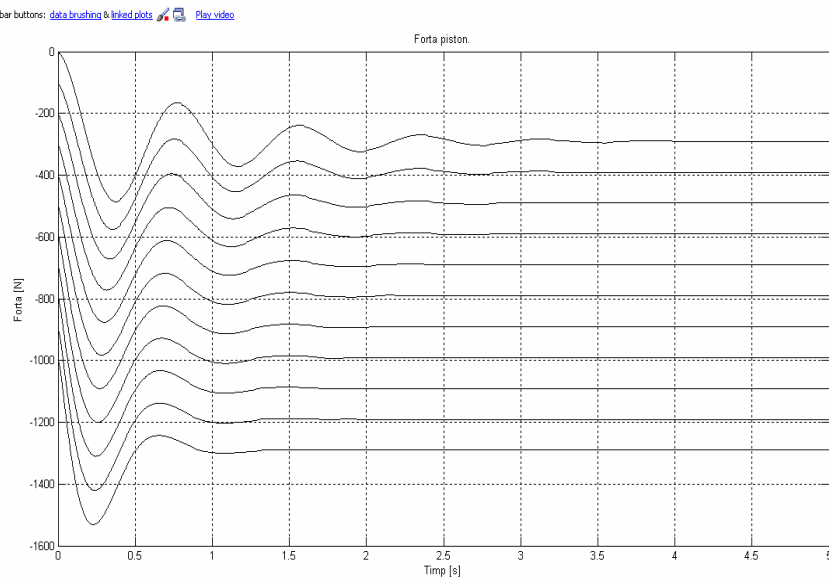


Fig. 3.13 Diagramele oscilațiilor libere amortizate ale forței de legătură  $F_a(t)$  (fig.2.3) a amortizorului (3) corespunzătoare celor 11 valori ale curentului de alimentare a bobinei amortizorului cu fluid MR , modelat după schema OH-ONODA

În cadrul simulării s-a realizat și animația mișcărilor pendulului (directorul model\_a/animății), pentru valoarea minimă și maximă a coeficientului de amortizare din tabelul 2.2

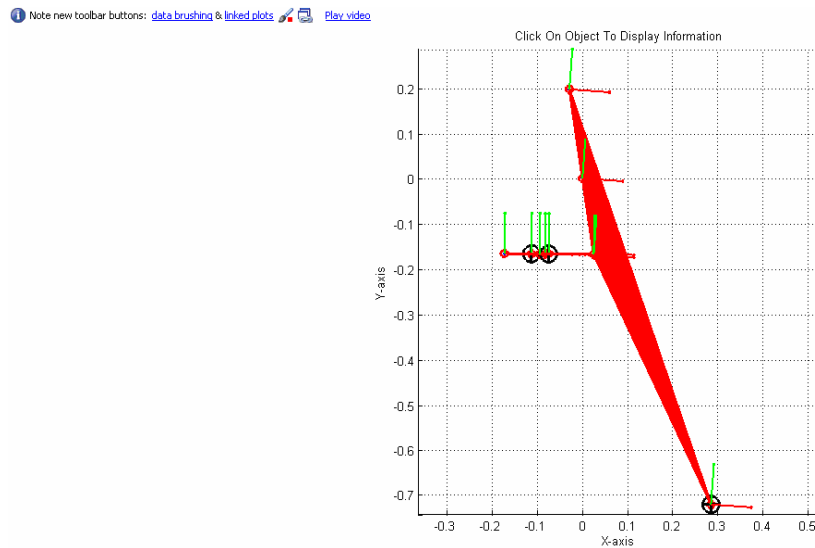


Fig. 3.14 O secvenă din animația mișcării pendulară

### 3.4 Teste experimentale

În figura 3.15 este prezentată o vedere de ansamblu a standului și echipamentelor de măsurare unde sunt marcate pozițiile:

- 1- batial pendulului,
- 2- pendulul għilotti Charpy, (detalii fig.3.16)
- 3- amortizorul cu fluid MR, (detalii fig.3.17)
- 4- traductorul pentru forță Fa de legătură a amortizorului (detalii fig.3.18)
- 5- traductorul incremental de măsurare a poziției unghiulare a pendulului (detalii în fig.3.19).

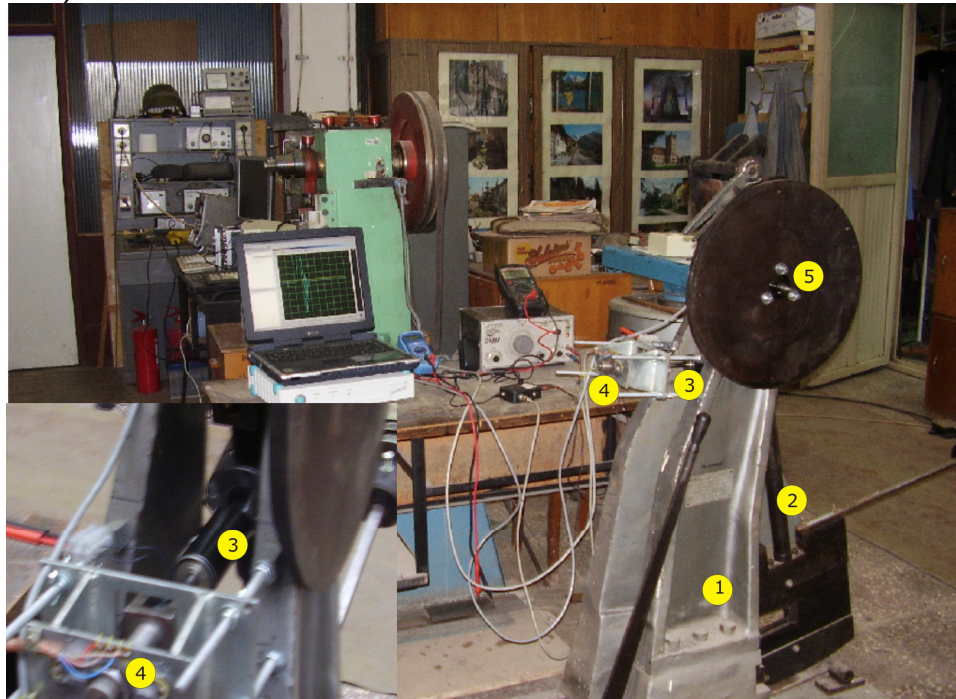


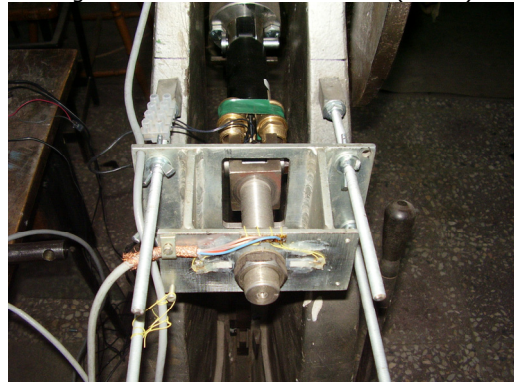
Fig. 3.15 Standul de testare al amortizorului MR



3.16. Pendul cu ghilotină modificată



Fig. 3.17 Amortizor cu fluid MR (LORD)



3.18. Dispozitiv de prindere al brațului de amortizor. Traductorul pentru forță de legătură a amortizorului



3.19. Traductor incremental de măsurare a poziției unghiulare a pendulului atașat la axul pendulului

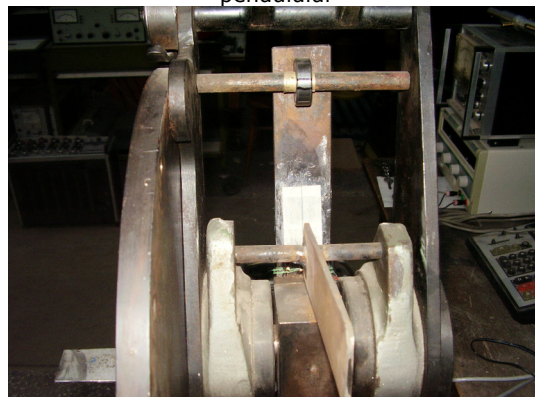


Fig.3.20. Arc lamelar prevăzut cu punte tensometrică fixat în prelungirea pendulului

Lansând pendulul din aceeași poziie unghiulară fig. 3.21 sunt prezentate diagramele legii de miscare ale pendulului, corespunzătoare a 11 grade de amortizare, programate prin modificarea caracteristicii reologice a amortizorului la 11 tensiuni de alimentare a bobinei 3b, (fig. 3.3). Semnalul de ieșire, furnizat de traductoare, este digitalizat prin convertorul analog digital A/D (SPIDER-8) și trecut sub forma unui fișier în memoria calculatorului, folosind programul dedicat CATMAN.

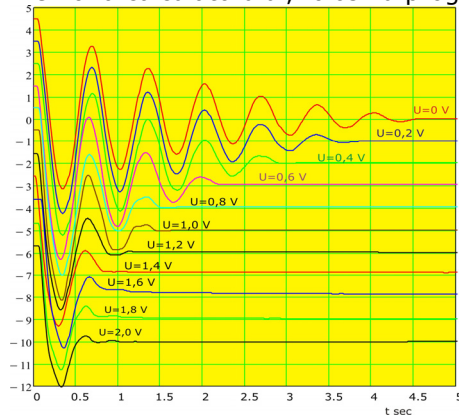


Fig. 3.21 Oscilogrammele mișcării pendulare pentru 11 grade de amortizare ale amortizorului MR, programate prin 11 tensiuni de alimentare a bobinei amortizorului

Cum este și normal, gradul de amortizare cel mai scăzut este pentru tensiune de alimentare  $u=0$  V, stingerea oscilației corespunzătoare făcându-se după 7 secunde iar pentru tensiune de alimentare de 2 V stingerea oscilațiilor făcându-se după numai o secundă.

Prin prelucrarea acestor oscilogramme se poate determina caracteristica de amortizare a oricărui dispozitiv dissipativ, fără a necesita utilizarea unui excitator cu forță de excitație de nivel înalt, cum sunt pulsatoarele hidraulice, foarte scumpe.

### 3.5 Concluzii parțiale

S-au realizat două modele pentru a studia comportamentul dinamic al sistemului amortizor-pendul. Modelele au fost realizate cu ajutorul programului Sim Mechanics ce rulează sub mediul de programare MATLAB. La al doilea model s-a plecat de la modelul Oh-Onoda. În cadrul simulării s-a realizat și animația mișcărilor pendulului pentru valoarea minima și maxima a coeficientului de amortizare.

S-a realizat un stand pentru experimente și măsurători prin modificarea unui pendul Charpy. S-au realizat și atașat dispozitive mecanice reglabile care să reducă amplitudinea impulsurilor și să facă posibilă utilizarea de punți tensiometrice pentru colectarea de date. Modificările au vizat și posibilitatea montării de amortizoare de diferite gabarite și forte făcând doar reglaje simple.

Din studiul comparativ al datelor experimentale și simulate se poate concluziona că rezultatele oferite de Modelului I se apropie cel mai mult de cele obținute experimental.

Punerea în evidență al unui fenomen care poate fi foarte util pentru autotestarea unui amortizor cu MRF cu circuit intern. Solenoidul din interiorul amortizorului generează o tensiune de ordinul mV-lor în timpul funcționării deci, în anumite condiții, solenoidul poate fi folosit ca un senzor fără să utilizăm alte elemente. Această facilitate urmează să fie studiată în viitorul apropiat pentru amortizoarele de acest tip montate pe autoturisme prevazute cu calculator de bord pentru implementarea funcției de autotestare în regim dinamic.

## Capitolul 4

# DIPOZITIVE AMORTIZOARE MR. APLICAȚII

Cele mai multe aplicații ale dispozitivelor cu materiale magnetoreologice se găsesc în domeniul amortizării vibrațiilor mecanice la structuri de mașini, utilaje, instalații și construcții industriale și civile, unde acțiunea acestor dispozitive este una semiactivă, prin care este controlată funcția de disipație. Controlul amortizării este, în majoritatea cazurilor, foarte eficace la atenuarea vibrațiilor structurilor.

### 4.1. Dispozitive pasive

Primele dispozitive, la care s-au folosit materialele electro și magneto reologice, au fost amortizoarele de vibrații la suspensiile automobilelor la care amortizarea vibrațiilor se face prin disipația energetică utilizând un circuit hidraulic închis într-un cilindru cu două camere, umplute cu lichid, care comunică prin orificii ce constituie rezistențe hidraulice, prin care se realizează transferul energetic.

#### 4.1.1. Dispozitive amortizoare hidraulice lineare cu piston

Funcțional, amortizorul linear pasiv, (fig.4.1), se compune din două camere 1a și 1b în cilindrul 1, delimitate de pistonul 3, acționat prin tija 2.

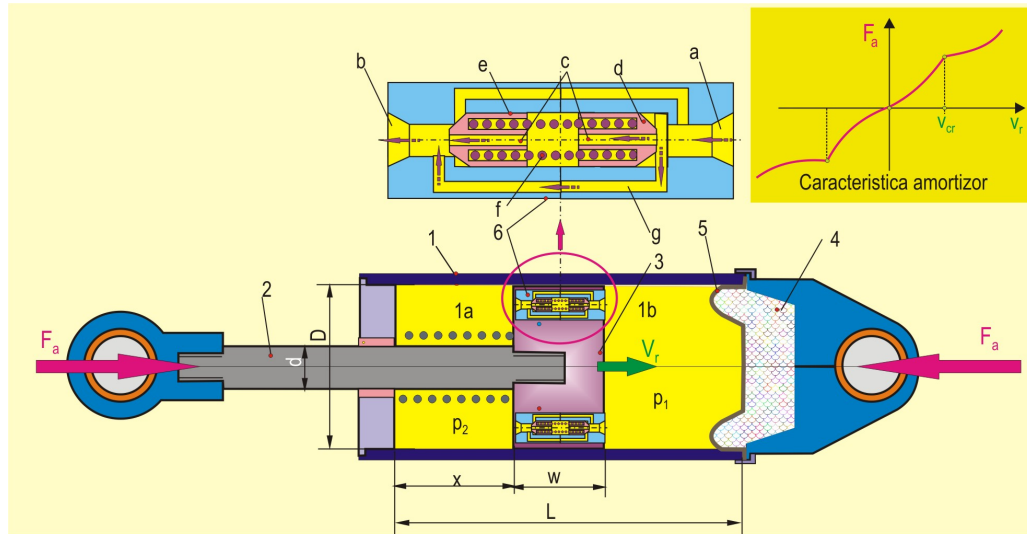


Fig. 4.1 Construcția clasică a unui amortizor pasiv pentru suspensiile autovehiculelor

Cele două camere sunt umplute cu lichid amortizor considerat ca fiind practic incompresibil, astfel ca, la deplasarea relativă a tijei 2 a pistonului 3 față de cilindrul 1, după legea  $x(t)$ , cu viteza

$$v_r = \frac{dx(t)}{dt} \quad (4.1)$$

se produc variați de volum

$$\Delta V_a = \frac{\pi}{4} (D^2 - d^2) \frac{dx(t)}{dt} \quad \Delta V_b = \frac{\pi}{4} D^2 \frac{dx(t)}{dt} \quad (4.2)$$

ale camerelor 1a și 1b, în cilindrul 1, delimitate de pistonul 3, diferența

$$\Delta V = \Delta V_b - \Delta V_a \quad (4.3)$$

fiind compensată de acumulatorul cu gaz 4, delimitat de camera 1b prin diafragma elastică 5.

Lichidul amortizor circulă între cele două camere prin canalele valvei bidirecțională 6 plasată în pistonul 3, valva fiind o rezistență hidraulică pasivă, debitul masic  $Q$

$$Q = \rho A v_r \quad (4.4)$$

ce trece dintr-o cameră în alta prin valve este legat de presiunile  $p_1$  și  $p_2$  prin intermediul unei relații de forma generală,

$$Q = \frac{1}{C_r} (p_1 - p_2)^n \quad (4.5)$$

unde  $\rho$  și  $A$  sunt densitatea lichidului amortizor și, respectiv, aria pistonului

$$A = \frac{\pi}{4} (D^2 - d^2) \quad (4.6)$$

$C_r$  exprimă valoare rezistență întâmpinată la trecerea prin valvă de lichid și se numește coeficient de pierdere al presiunii iar  $n$  este un alt coeficient care pentru lichidul ideal este  $n=0,5$ . Coeficientul  $C_r$  depinde de vâscozitatea dinamică a lichidului și de geometria canalelor de trecere a lichidului prin valva 4.

Forța de legătură  $F_a$  pe care amortizorul o dezvoltă este

$$F_a = \frac{\pi}{4} [p_1 D^2 - p_2 (D^2 - d^2)] \quad (4.7)$$

din care ținând cont de faptul că  $D^2 > d^2$  și de relațiile (4.4) și (4.5) va rezulta

$$F_a \approx \frac{\pi D^2}{4} (C_r \rho A v_r)^{\frac{1}{n}} \quad (4.8)$$

fiind o funcție neliniară de viteza relativă  $v_r$ .

La o anumită viteza relativă critică  $v_r$ , presiunea  $p_1$  din camera 1b ajunge la o anumită valoare la care forța axială rezultată pe fața frontală a supapei d, a valvei 6, înginge forța de pretensionare din arcul f, ceea ce duce la deplasarea supapei d deschizându-se canalul bypass g de trecere a lichidului din camera 1b în camere 1a, în paralel cu canalul axial c. Mărindu-se secțiunea de trecere a lichidului automat se micșorează coeficientul  $C_r$  de pierdere a presiunii astfel încât mărind în continuare viteza relativă  $v_r$  caracteristica trece pe o ramură mai lină (fig.4.1, medalion). Această caracteristică cu inflexiuni și în general asimetrică este eficace la amortizarea pasivă a vibrațiilor suspensiilor autovehiculelor.

Pentru alte aplicații ale amortizării vibrațiilor la structuri se pot aplica soluții mai simple,(fig.4.2) cu tija 2 a pistonului prelungită în ambele camere 1a și 1b, astfel încât aria secțiunilor active A este aceeași pentru ambele fețe ale pistonului 3, ne mai fiind necesară existența acumulatorului compensator de volum.

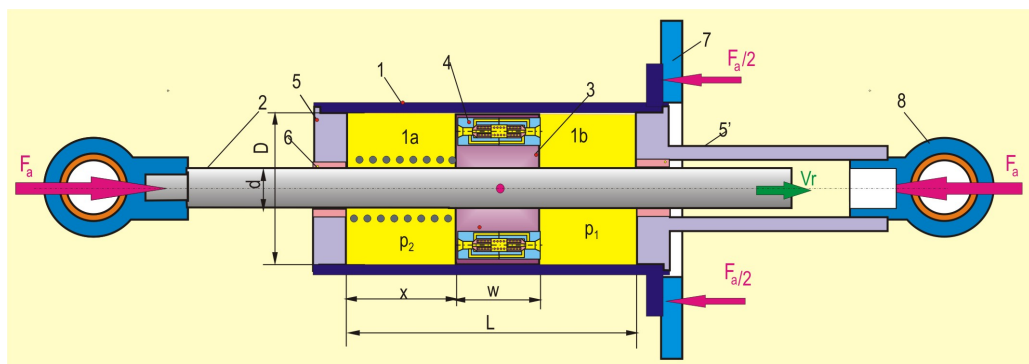


Fig. 4.2 Amortizor liniar cu tijă 2 pe ambele fețe ale pistonului 3

O altă simplificare constructivă se realizează prin plasarea valvei 6, (fig.4.3), în exteriorul cilindrului 1, legătura între cele două camere, 1a și 1b, făcându-se prin calea bypass 5. Compensarea volumetrică se poate face prin introducerea în cilindru 1 unui al doilea piston 4 realizându-se acumulatorul 1c umplut cu gaz.

În multe cazuri de atenuare a vibrațiilor structurilor utilizând dispozitive amortizoare este necesar ca forța de legătură introdusă de dispozitiv să fie reglată la o anumită valoare optimă pentru atenuare. Acest lucru se poate realiza prin soluția tehnică prezentată în fig.4.4. Atât acumulatorul 5 cât și valva 7, de construcție rotativă, sunt amplasate în exteriorul cilindrului 1, legătura hidraulică dintre camerele 1a și 1b făcându-se prin căile bypass c și d între care este inserată valva rotativă.

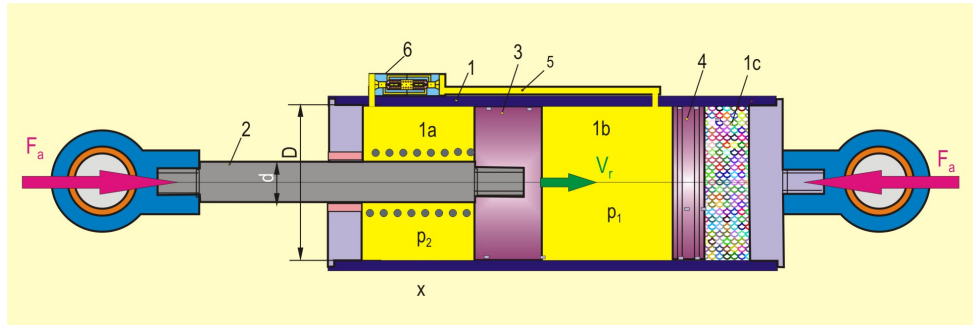


Fig. 4.3 Amortizor liniar cu valvă exterioară

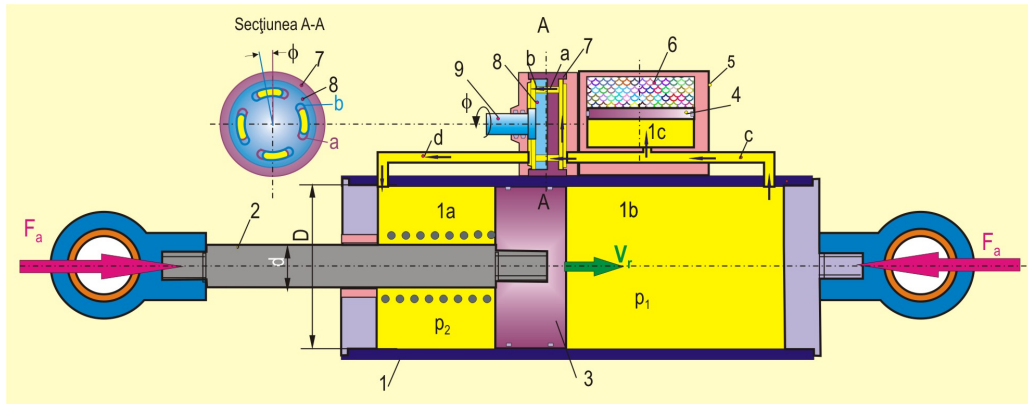


Fig. 4.4 Amortizor liniar cu valvă rotativă și acumulator exterioare

Aceasta dă posibilitatea de reglaj a secțiunii de trecere a lichidului prin fantele a și b, identice, care străpung discurile 7 și 8. Secțiunea de trecere a lichidului se modifică ușor prin rotirea, din axul 9, solidar cu discul 8, a poziției unghiulare  $\phi$  a discului 8 față de discul 7 fix. Prin suprapunerea exactă a celor două fante secțiunea de trecere a lichidului prin valvă este maximă cea ce duce la o rezistență hidraulică minimă, iar la o nesuprapunere rezistență hidraulică este maximă. La axul 9 poate fi cuplat un servomotor comandat.

#### 4.1.2. Dispozitive amortizoare pasive pentru deplasări mici

##### 4.1.2.1. Dispozitive hidraulice

În general nivelurile de vibrații periculoase pentru structuri de mașini, utilaje și construcții industriale și civile nu depășesc câțiva milimetri. De aceea, în aceste cazuri, utilizarea amortizoarelor hidraulice cu piston nu se justifică. Se folosesc dispozitive pe bază de materiale polimerice, cu proprietăți elastice și dissipative. Astfel în figura 1 este prezentată o soluție de realizare a unui amortizor pasiv pentru deplasări mici, compus dintr-un element elastic 1, din cauciuc, cu un contur revolut profilat, astfel încât permite fixarea de el, la un capăt un element de sprinț 2 iar de suprafața exterioară o carcăsă învelitoare 3. Această construcție permite o deplasare  $x$ , sub acțiunea unei forțe axiale  $F_a$ , prin deformarea elastică a elementului de cauciuc 1, după o caracteristică elastică de tip tare.

Deoarece un rol important la atenuarea vibrațiilor structurilor de mașini și utilaje îl joacă disiparea energetică, dispozitivul permite realizarea a două camere închise 1a și 1b, care comunică prin valva 4, de exemplu cea prezentată în fig.4.5. Valva fiind o rezistență hidraulică aceasta permite o disipare energetică suplimentară față de cea disipată prin deformarea elementului de cauciuc 1, care disipează o cotă de energie uneori insuficientă.

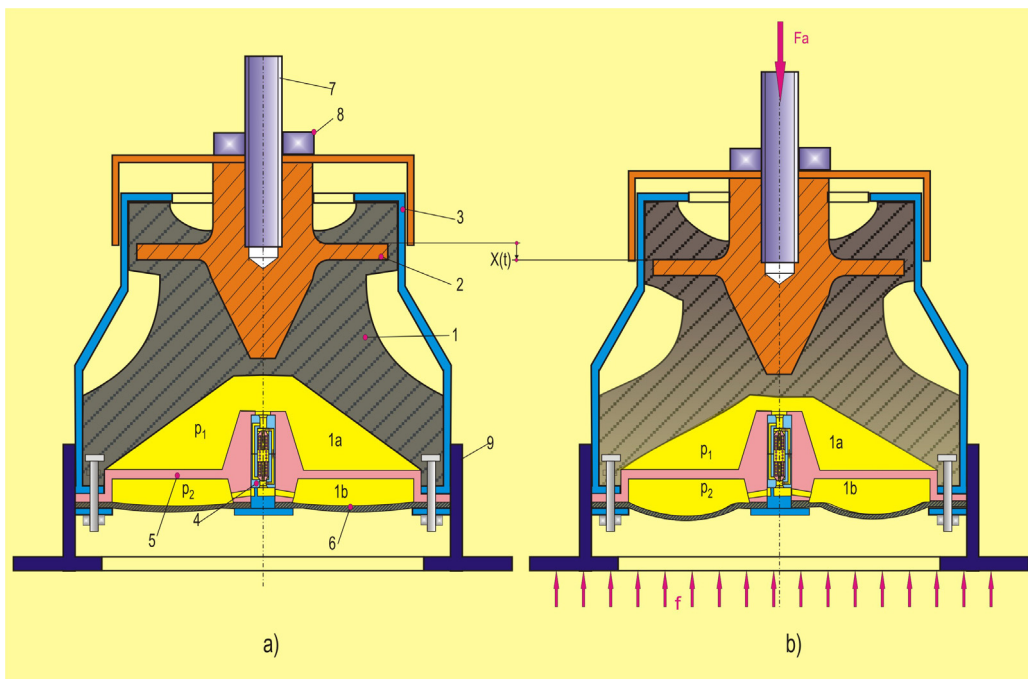


Fig. 4.5 Dispozitiv amortizor pentru deplasări mici

Un asemenea dispozitiv se utilizează la izolarea blocului motor de șasiul autovehiculului, deoarece echilibrarea perfectă a mecanismelor cilindri bielă arbore cotit nu poate fi realizat perfect și de aceea constructorii dau o mare importanță reducerii la maximum a transmisibilității vibrațiilor la șasiu și de aici la cabina pasagerilor. Problema nu este ușor de rezolvat datorită turației variabile a arborelui motor, și de aceea se recurge mai nou la montaje semiactive.

#### 4.1.2.2. Dispozitive cu elemente deformabile din polimeri

Cele mai simple sunt bucșele elastice, o bucșă, (fig. 4.6), fiind constituită din două tuburi concentrice 1 și 2, între care este plasat prin vulcanizare un manșon de material polimeric, de obicei cauciuc 3. Sub acțiunea a două forțe coaxiale, egale și de sens contrar,  $F_a$ , aplicată pe tubul interior 3 și suma forțelor  $f$  distribuite pe flanșa tubului exterior 1, tubul interior se va deplasa relativ cu  $x$  față de tubul exterior, prin deformarea elastică de forfecare a manșonului 2 din material polimeric.

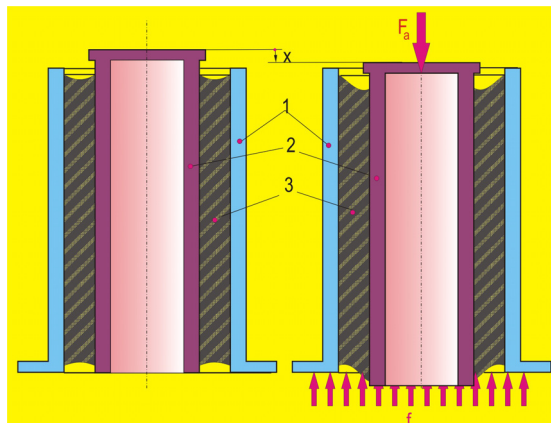


Fig.4.6 Ilustrarea unei bucșe elastice

O soluție interesantă dezvoltată de firma elvețiană ROSTA , este bucșa element de torsiune (fig. 4.7)

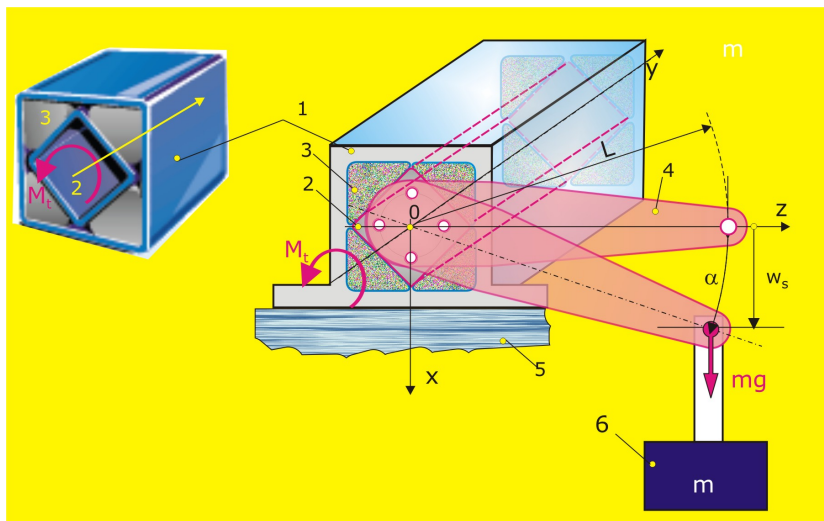


Fig. 4.7 Ilustrarea elementului elastic bucșă de torsiune tip ROSTA

Între două tuburi coaxiale, 1, exterior și 2, interior, cu secțiuni transversale pătrate, în rosturile dintre ele sunt amplasate patru pene 3 dintr-un material polimeric, cu proprietăți elastice deosebite: nu prezintă tasări, chiar și la deformații mari de torsiune, rotații axiale relative între bucșe, de până la  $\alpha=20^0$ .

Aceasta permite ca frecvența proprie  $f_p$ , a unui sistem masă m, de exemplu, a batiului unui utilaj 6, care este izolat antivibratoriu, prin elementul elastic de torsiune și levierul 4, frecvență având forma

$$f_p = \frac{1}{2\pi} \sqrt{\frac{g}{L \sin \alpha}} \quad (4.9)$$

## 54 Dispozitive amortizoare MR. aplicații-4

Deci, valoarea ei, ea poate fi reglată prin lungimea L a levierului și unghiul  $\alpha$  care este determinat din relația

$$M_f = k_a a = mgL \cos \alpha \quad (4.10)$$

$k_a$ , fiind constanta elastică la torsiune a elementului elastic ROSTA.

### 4.1.3. Dispozitive amortizoare hidraulice rotative

Probleme dificil de rezolvat, se întâlnesc în lanțurile cinematice de transmiteri de puteri prin arbori elastici. Un exemplu edificator este mecanismul de transmitere a puterii la un motor termic, prin arbore cotit 1, (fig. 4.8), unde forțele  $F_{ij}$ , ( $j=1,2,3,4$ ), de tip impulsiv, dezvoltate prin combustie pe grupul de cilindrii 2, dezvoltă un cuplu motor  $M_m$ , care pe lângă o componentă cvasi constantă și componente periodice cu perioada de rotație a arborelui.

$$T = 2\pi \frac{1}{\omega}; \quad \omega = \frac{d\varphi(t)}{dt} \quad (4.11)$$

și multiplele acesteia,  $\varphi(t)$  fiind legea de rotație a axului arborelui cotit.

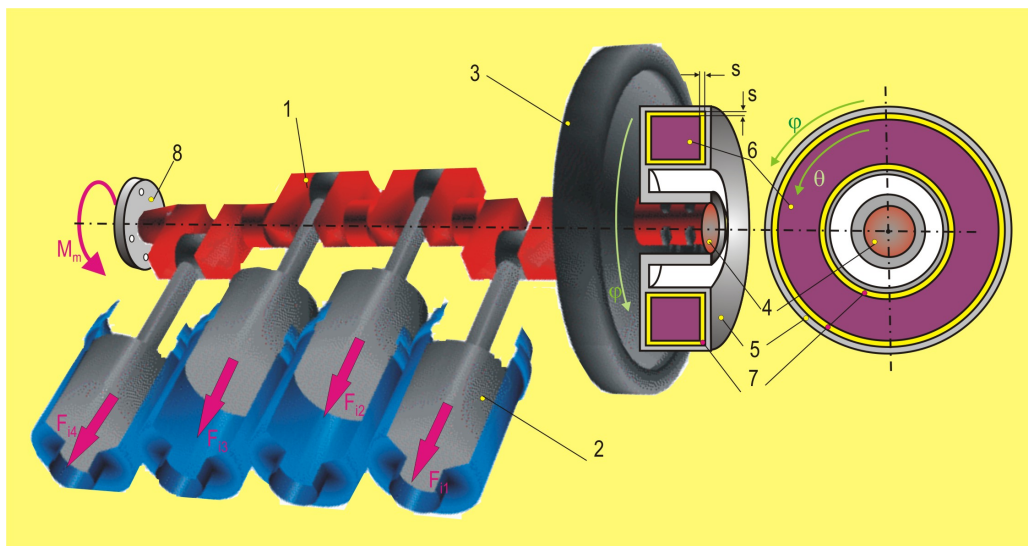


Fig. 4.8 Ilustrarea soluției clasice de atenuare a vibrațiilor de torsion la motoare termice

Acstea perturbații produc vibrații de torsion ce se transmit de-a lungul întregii transmisii. Atenuarea vibrațiilor de torsion se realizează prin amplasarea unui amortizor hidraulic pasiv la capătul liber 4 al arborelui cotit, unde este cuplat și volantul 3. Corpul 6 al amortizorului hidraulic este constituit dintr-o carcă toroidală închisă 5, cu secțiune radială dreptunghiulară, în interiorul ei fiind plasat un inel masiv 6, cu un rost s, de până la 1 mm, volumul dintre tor și disc fiind umplut cu lichid vâscos 7. Datorită mișcării relative, dintre mișcările absolute de

rotație,  $\phi(t)$  și  $\theta(t)$  a inelului se dezvoltă, datorită forțelor de forfecare a stratului de fluid 7, un cuplu de frecare a cărui moment se poate scrie sub forma

$$M_f = -c_f \left( \frac{d\theta(t)}{dt} - \frac{d\phi(t)}{dt} \right) \quad (4.12)$$

unde  $c_f$  este un coeficient ce depinde de dimensiunile geometrice ale torului, de rostul său și în special de vâscozitatea fluidului.

Legea de rotație a torului  $\theta(t)$  este dată de ecuația,

$$J_i \frac{d^2\theta(t)}{dt^2} + c_f \frac{d\theta(t)}{dt} = c_f \frac{d\phi(t)}{dt} \quad (4.13)$$

care este cuplată cu legea de rotație a arborelui cotit  $\phi(t)$ .  $J_i$  este momentul de inerție al inelului masiv 6.

Modele dinamice mai complexe consideră arborele cotit deformabil la torsiune modelul fiind constituit din un sir de volanți cuplați elastic prin arcuri de torsiune.

Pentru mărarea capacitații de amortizare se poate apela la soluția pe care o propun în figura 4.9.

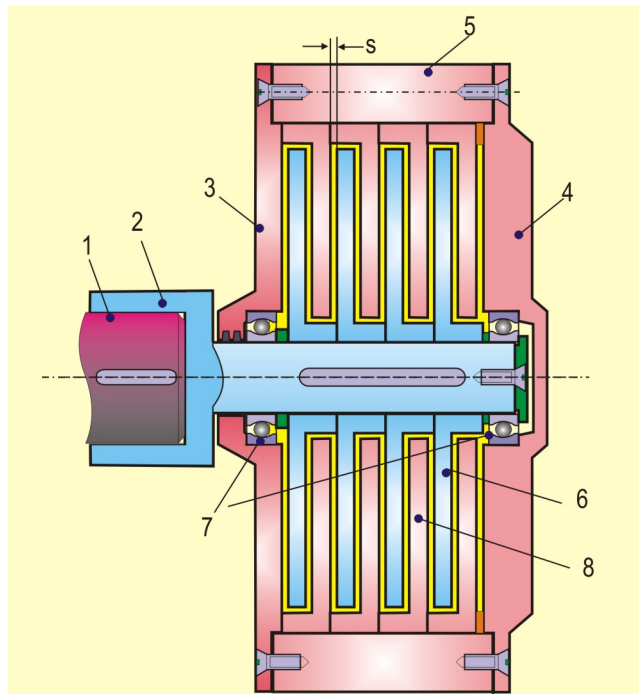


Fig.4.9 Amortizor hidraulic cu interstiții multiple de forfecare a straturi de fluid

În incinta cilindrică închisă, formată din tubul 5 și capacele 3, sunt amplasate discurile inelare 8, centrate și rigidizate de incinta închisă. În spațiile

## 56 Dispozitive amortizoare MR. aplicații-4

create între discurile lineare sunt amplasate discurile 6, rigidizate de arborele 2, calat pe capătul arborelui 1, al transmisiei ale căror vibrații de torsiune este necesar a fi diminuate.

Centrarea celor două sisteme în rotație, - arbore 2 cu discurile 6, având legea de rotație  $\varphi(t)$  și incinta cilindrică închisă de care sunt rigidizate discurile inelare 8, cu legea de rotație  $\theta(t)$ , - permite realizarea unor interstiții s mult mai înguste decât cele realizate la soluția clasică, (fig. 4.8), fapt ce mărește mult eficacitatea disipării energetice prin forfecarea stratului de fluid, disipare mărită și prin extinderea suprafeței de contact, discuri - fluid.

### 4.2. Dispozitive amortizoare semiactive cu materiale MR

Dispozitivele amortizoare de vibrații utilizând materiale magneto reologice (MR) au mari avantaje față de dispozitivele clasice, câteva prezentate în paragraful 4.1.

În primul rând faptul că parametrii mecanici ai acestor dispozitive pot fi modificați ușor prin bucle de reacție, comandate pe baza unor algoritmi optimali, rezultând o diminuare dorită a vibrațiilor structurii la care este atașat dispozitivul. Această modificare posibilă a parametrilor dispozitivului permit o eficientă amortizare a structurii, chiar și pentru cazul când spectrul excitației structurii variază într-un domeniu de frecvență larg. În al doilea rând, constructiv, un asemenea dispozitiv cu MR este mai simplificat

#### 4.2.1. Dispozitive amortizoare hidraulice cu disipare de tip valvă

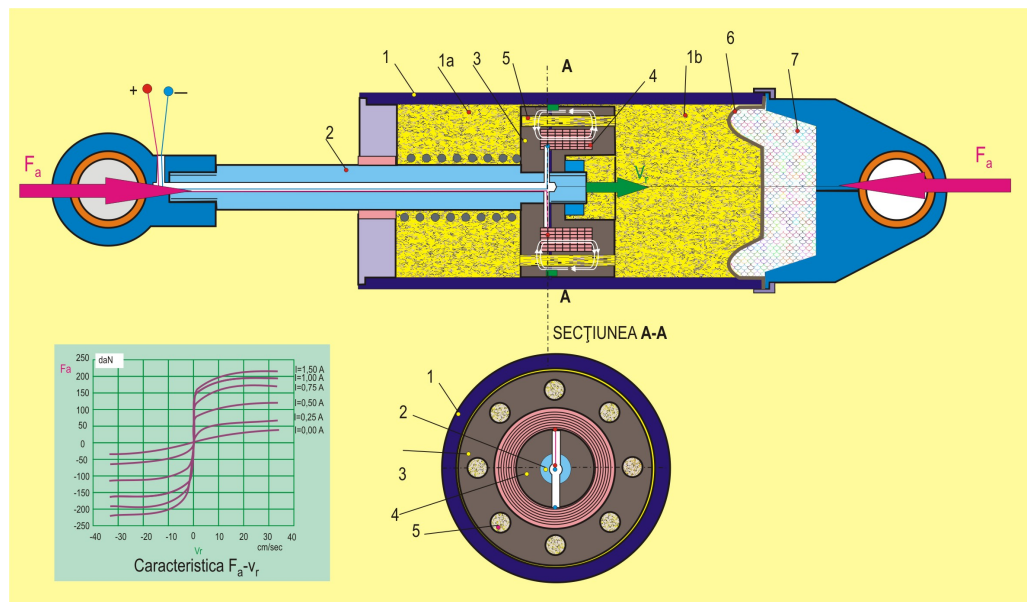


Fig. 4.10 Amortizor hidraulic cu MRF

Astfel, comparând construcția amortizorului hidraulic cu MRF, (fig. 4.10), cu cele clasice din figurile 4.2, 4.3 și 4.4, se observă o simplificare netă a circuitului de

disipare energetică prin strangularea fluidului forțat să treacă dintr-o cameră, (1a), în alta, (1b), prin canale, 5. Variația rezistenței hidraulice se face prin variația inducției câmpului magnetic dezvoltat în spațiile ocupate de canalele 5, câmp prin care se controlează vâscozitatea aparentă a lichidului MR în acele spații.

În acest mod controlul amortizării se face continuu, prin variația curentului de alimentare al bobinei 4, rezultând o caracteristică forță de legătură  $F_a$  – viteza relativă  $v_r$ , dintre pistonul 3 în cilindrul 1. Aceeași caracteristică pentru amortizorul clasic hidraulic, (fig.4.1), este fixă, construcția valvei 4 fiind pretențioasă din punct de vedere al realizării și al reglajului punctelor critice de pe diagrama caracteristică. O serie de alte soluții constructive de amortizoare hidraulice cu MRF pot fi realizate. Astfel, în figura 4.11 prezint o soluție tija 1 este solidarizată de un piston simplu 7, care glisează în interiorul unui cilindru tubular 5, de care este fixat la capătul din dreapta un piston 8 pe care este fixată bobina de excitație 9, prin care se modifică vâscozitatea lichidului MR, forțat să treacă din camera 1b în camera 1c, prin orificiile a aplicate în corpul pistonului 8.

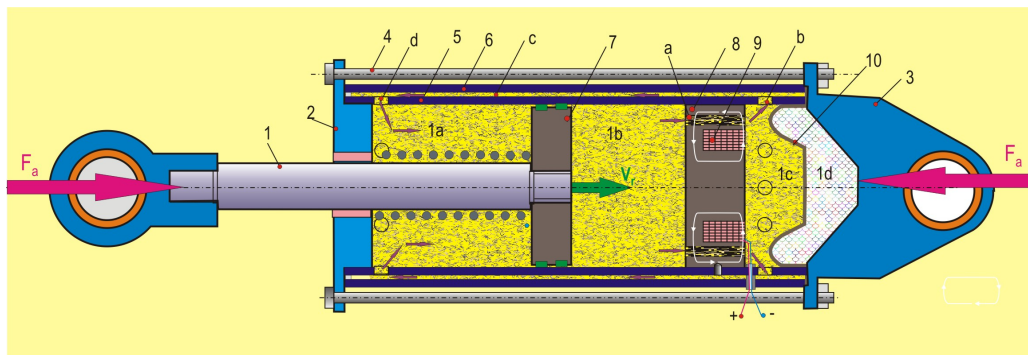


Fig. 4.11 Amortizor hidraulic MRF cu dublu cilindrii

Din camera 1c, formată între suprafața din dreapta a pistonului fix 8 și diafragma 10 a acumulatorului 1d, fluidul este împins, prin orificiile b, aplicate radial în cilindru tubular 5, tub inelar c, închis de un al doilea tub 6, și de aici în camera 1a, prin orificiile d, aplicate radial în partea stângă a cilindrului tubular 5.

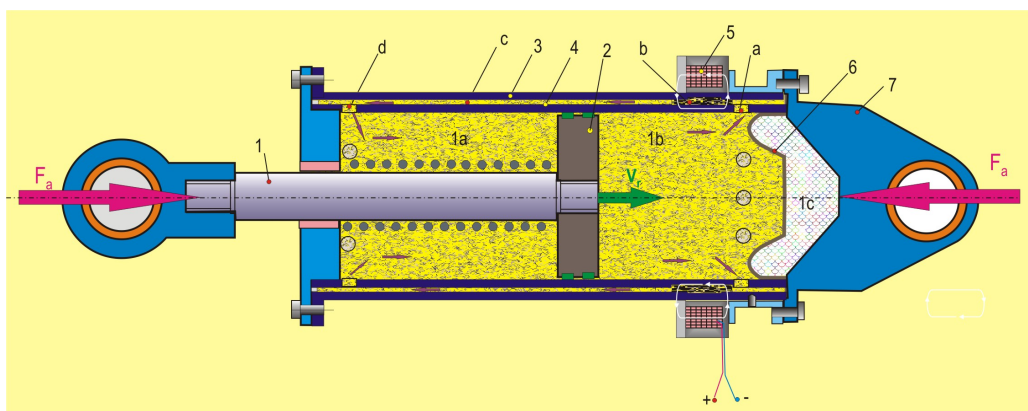


Fig. 4.12 Amortizor hidraulic MRF cu dublu cilindrii și bobină de excitație exterioară

Soluția prezintă avantajul că bobina de excitație este fixă de corpul amortizorului cea ce permite o mai simplă și sigură cablare a alimentării din exterior.

O altă soluție, pe care o propun, este cea din fig.4.12. Bobina de excitație 5 este amplasată în exteriorul cilindrului 3, iar la mișcarea pistonului 2 lichidul din camera 1b este forțat să treacă prin orificile a, aplicate radial pe cilindrul interior 4, pe sectorul b al inelului c de fluid, aflat în zona de influență a câmpului magnetic al bobinei. Pe acest sector inelar se modifică, prin comandă, vâscozitatea lichidului MR, și respectiv rezistența hidraulică a circuitului ce se continuă prin orificile d în camera 1a. Soluția prezintă avantajul unei simplități constructive.

Fluidele magneto-reologice ridică unele probleme legate de procesul de sedimentare gravitațională în timp, cum este în cazul dispozitivelor amortizoare antiseismice pentru structuri, unde dispozitivele nu lucrează mult timp, numai cu ocazia unor evenimente nepredictibile. În acest caz se poate apela la o soluție tehnică, (fig. 4.13), pe care o propun în cadrul acestei lucrări

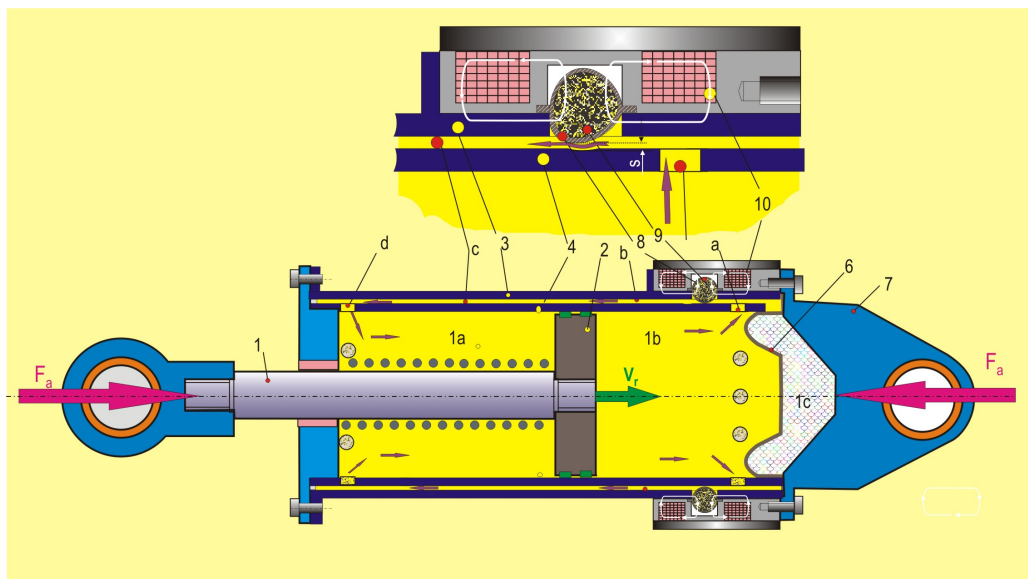


Fig. 4.13 Amortizor hidraulic semiactiv comandat prin valvă cu MRF

Ca fluid dissipator de energie se poate folosi lichidul uzuial al amortizoarelor pasive. Disiparea se face prin rezistență hidraulică creată în interstițiul s dintre cilindrul tubular 4 și un inel toroidal format dintr-un anvelopă elastică 8, din cauciuc, umplută cu lichid MR, 9. Inelul se află în câmpul magnetic generat de perechea de bobine 10. În stare nealimentată a bobinelor 10, deci în lipsa câmpului magnetic, inelul și la toroidal închide complet interstițiul inelar b dintre cilindrii 3 și 4. La mișcarea forțată a pistonului 2 se creează o diferență de presiune între partea dreaptă și partea stângă a obturării din spațiul inelar b, rezultând o deformare a inelul se deformează creându-se un interstițiu de trecere a lichidului, de grosime s. Grosimea interstițiului s depinde de valoarea depresiunii și de inducția câmpului magnetic ce străbate inelul toroidal umplut cu MRF. La un câmp mai puternic inelul toroidal devine mai rigid și se deformează mai puțin, rezultând un interstițiu și mai mic.

mic și deci o rezistență hidraulică mai puternică. Inelul toroidal poate fi realizat și dintr-un compozit, polimer elastic (cauciuc) cu microparticule magnetice.

În vederea studiului experimental al diverselor soluții de amortizoare hidraulice cu MRF am conceput și realizat circuitul bypass din fig.4.14

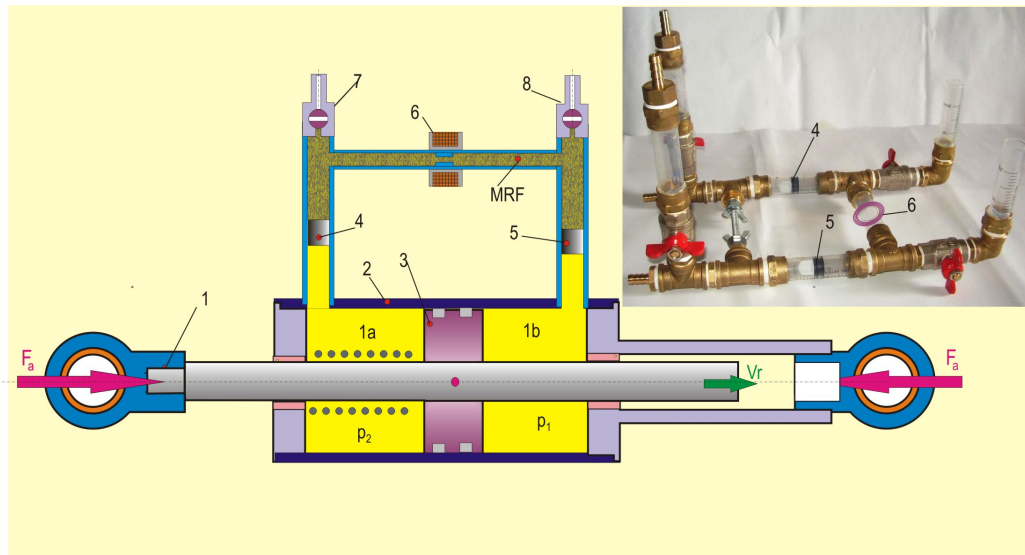


Fig. 4.14 Amortizor hidraulic semiactiv comandat prin valvă exterioară cu MRF

Cu acest circuit se poate realiza umplerea și aerisirea camerelor 1a și 1b ale amortizorului precum și separarea coloanelor de lichid pasiv și lichid MRF activ, prin intermediul pistoanelor , 4 și 5. Coloana de MFR este forțată să treacă prin bypass unde e plasată bobina de excitare, prin care se reglează rezistență hidraulică a circuitului.

#### 4.2.2. Dispozitive amortizoare cu disipare prin forfecarea stratului MRF

O largă aplicație a dispozitivelor amortizoare cu MRF sunt acelea unde disipaarea energetică se efectuează prin forfecarea stratului îngust de fluid 4, (fig.4.15), plasat între două suprafete unitare 2 și 3 în mișcarea relativă cu viteza  $v_r$ . Tensiunea de forfecare  $\tau$ , de legătură dintre cele două suprafete, după modelul Bingham este,

$$\tau = \frac{\rho v v_r}{S} + \tau_c \operatorname{sign} v_r \quad (4.14)$$

unde  $v$  și  $\tau_c$  sunt vâscozitatea dinamică și, respectiv, tensiunea de curgere la forfecare a fluidului.

Tensiunea de curgere la forfecare a stratului de fluid MR se poate exprima printr-o relație de forma

$$\tau_c = a H^\beta \quad (4.15)$$

unde  $\alpha$  și  $\beta$ , sunt doi coeficienți iar  $H$  intensitatea câmpului magnetic ce traversează stratul de MRF.

#### 4.2.2.1. Dispozitive liniare

La un dispozitiv amortizor liniar, (fig.4.15), cu strat MRF de forfecare, fluidul MR este amplasat în interstițiul inelar 4 dintre cilindrul 2 și pistonul 3, pe care sunt montate bobinele 4, prin care este generat câmpul magnetic modulator .

Forța de legătură introdusă de amortizor se determină prin relația

$$F_a = nDL \left( \frac{\nu v_r}{s} + \alpha H^\beta \operatorname{sign} v_r \right) \quad (4.16)$$

unde D și L sunt diametrul și, respectiv, lungimea pistonului.

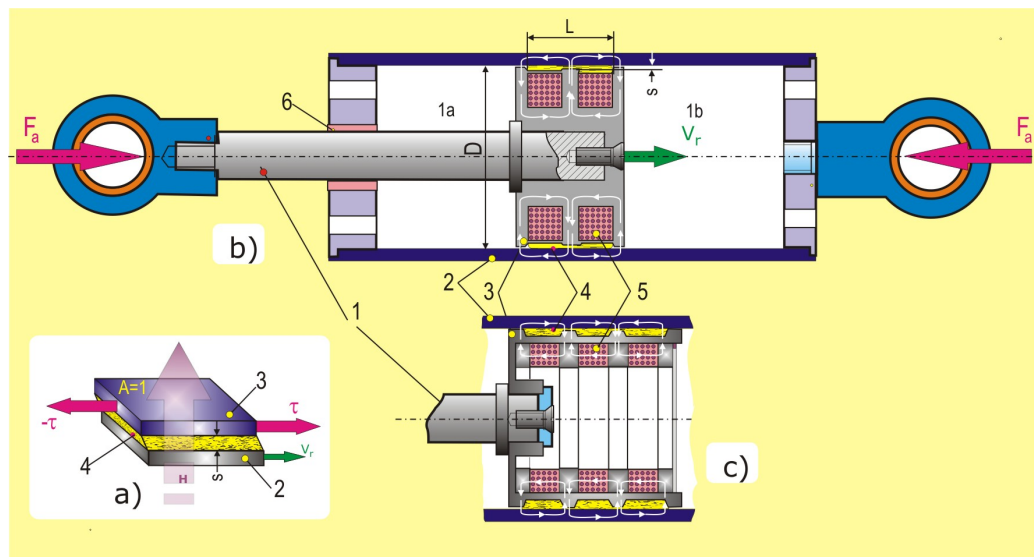


Fig. 4.15 Dispozitiv amortizor liniar cu disipare prin forfecarea stratului 4 de FRM

Acest tip de amortizor folosește mult mai puțină cantitate de fluid MR, nu mai este necesară compensarea volumică cum este necesară la amortizorul hidraulic cu valvă, camerele 1a și 1b fiind umplute cu aer, la presiunea atmosferică, iar centrarea mișcării liniare este realizată o dată pe bucșa 6 și pe suprafața cilindrică a pistonului.

Pentru realizarea câmpului și dirijarea liniilor sale se pot alege mai multe variante, două dintre ele fiind prezentate în fig.4.15 b și c. În soluția b sunt introduse două bobine 4 iar în soluția c trei, unde fluxul magnetic este concentrat cu o densitate mai mare pe zona filmului de MRF, deci cu o eficiență sporită a amortizării.

#### 4.2.2.2. Dispozitive rotative

Eficiența diminuării vibrațiilor de torsion la transmisii prin arbori poate fi mult îmbunătățită printr-un amortizor rotativ cu disipare MRF. O soluție tehnică originală de realizare a unui asemenea dispozitiv este cea din fig. 4.16. Pe unul din capetele libere 1, de arbore, ale transmisiei se atașează ca în cazul clasic, (fig. 4.8) dispozitivul de amortizare compus din carcasa 2, în care se găsește torul inerțial 6. Spațiul închis dintre carcasa 2 și torul 6 este umplut cu lichid MR. Câmpul magnetic, necesar controlului amortizării prin forfecarea stratului 5, de MRF, de grosime s, este asigurat de două bobine 4 și 7, ambele solidare de carcasa 3, fixată la rândul său de batiul 8 al transmisiei.

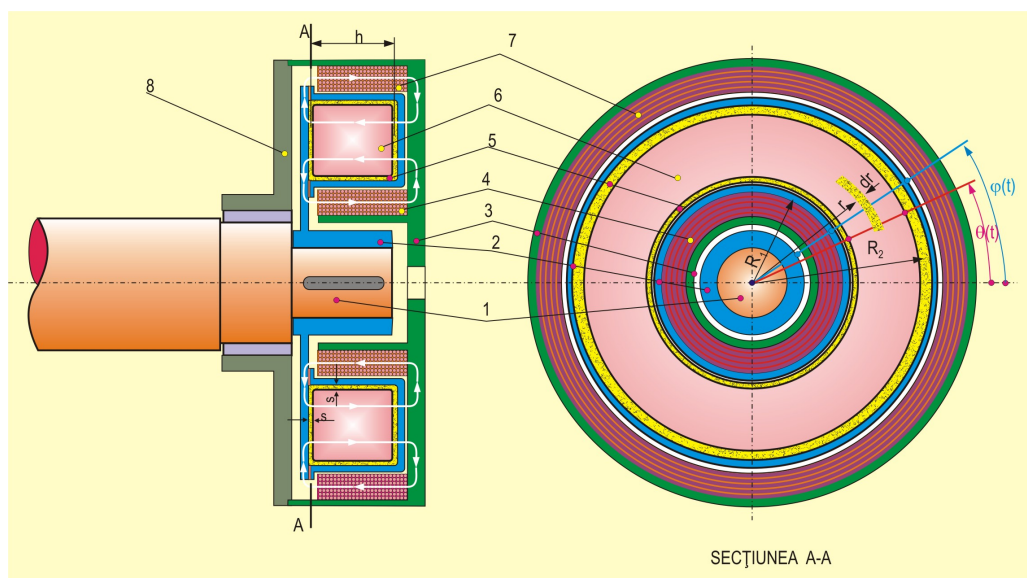


Fig. 4.16 Dispozitiv amortizor semiactiv cu MRF pentru diminuarea vibrațiilor de torsion

Momentul forțelor de disipare în raport cu axa de rotație este suma momentelor

$$M_f = M_{1f} + M_{2f} + 2M_{3f} \quad (4.17)$$

unde

$$M_{1f} = 2\pi R_1^2 h \left( \frac{v(\dot{\phi}(t) - \dot{\theta}(t))}{s} + aH_1^\beta \text{sign}(\dot{\phi}(t) - \dot{\theta}(t)) \right) \quad (4.18)$$

și

$$M_2 = 2\pi R_2^2 h \left( \frac{v(\dot{\phi}(t) - \dot{\theta}(t))}{s} + aH_2^\beta \text{sign}(\dot{\phi}(t) - \dot{\theta}(t)) \right), \quad (4.19)$$

sunt momentele forțelor de disipație din straturile cilindrice de raze  $R_1$  și  $R_2$ , supuse unor câmpuri electrice de intensități diferite,  $H_1^\beta$  și  $H_2^\beta$ .

Pe fețele laterale ale torului inertial 6 se dezvoltă forțele de disipație care dau momentul

$$M_{3f} = 2\pi \int_{R_1}^{R_2} r^2 \left( \frac{v(\dot{\phi}(t) - \dot{\theta}(t))}{s} + aH_3^\beta(r) \text{sign}(\dot{\phi}(t) - \dot{\theta}(t)) \right) dr \quad (4.20)$$

distribuția  $H_3(r)$  de-a lungul razei  $r$  între  $R_1$  și  $R_2$  se determină experimental sau prin calculul circuitului magnetic, pe cale numerică, utilizând un cod de element finit. Acest calcul este foarte important pentru optimizarea constructivă a dispozitivului de disipare.

O aplicație importantă a acestui tip semiactiv de amortizor de vibrații de torsiu este la acțiunile cu motoare pas cu pas, utilizate la poziționare precisă a unor subansambluri, cum ar fi poziționarea secvențială a patului alunecător de la un tomograf. Amortizarea vibrațiilor după fiecare oprire trebuie să se facă rapid pentru a permite obținerea unei imagini clare a secțiunii transversale "tăiată" prin subiect.

#### **4.2.3. Dispozitive amortizoare cu fluid magnetoreologic în structură modulară cu circuit extern**

În fig. 4.17 este prezentat un amortizor MRF semi-activ, cu un circuit magnetic exterior. Pistonul 1, fixat pe arborele 2, trece prin cilindrul 3 umplut cu MRF. Acumulatorul 4 este umplut cu azot sub presiune și acționează asupra pistonului 5, care are rolul de a reduce efectul socurilor prin axul amortizor și de a echilibra posibilele dilatații ale fluidului de lucru. Fluidul poate trece dintr-o parte a pistonului 1 în cealaltă printr-un canal by-pass 6. Un electromagnet 7 așezat pe canalul bypass acționează asupra vâscozității fluidului asigurând o posibilitate de optimizare a funcționării. La un capăt al cilindrului acumulator este amplasat dispozitivul de umplere 8, care permite încărcarea cu azot, monitorizată de manometrul 9. Supapa 10 asigură posibilitatea de optimizare a acumulatorului.

În continuare se prezintă metoda proprie de realizare fiabilă, la costuri reduse, a amortizoarelor semi-active cu fluide magnetoreologice, reproductibile.

Ansamblul este compus din patru module: amortizor, acumulatoare, generator de câmp magnetic cu dispozitiv by-pass încorporat. Pentru a realiza amortizarea, componentele comune ale dispozitivelor de control ale transmisiilor hidraulice au fost utilizate cu modificări minime.

În fig. 4.18.a este prezentat amortizorul hidraulic industrial comun, unde, la extremități, au fost montate mici dispozitive de aerare. În fig. 4.19, este prezentat amortizorul pneumatic industrial comun, cu diferite capacitați și forme ale secțiunii, iar în fig. 4.20, părțile componente ale unui amortizor pneumatic fără rotație [6]. Un alt avantaj al acestei soluții este faptul că amortizorul poate fi fabricat din orice material, datorită absentei câmpului magnetic intern. În plus, față de acest avantaj, este de asemenea faptul că aparatul are construcție modulară, astfel încât poate fi utilizată o gamă largă de amortizoare.

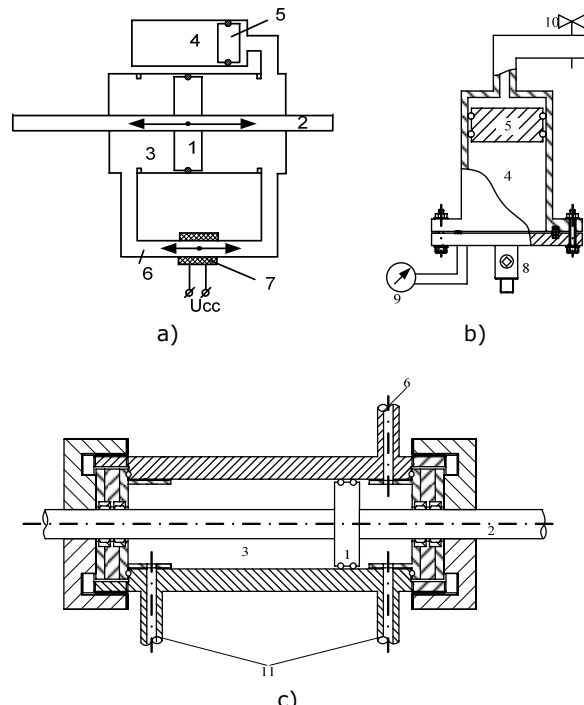
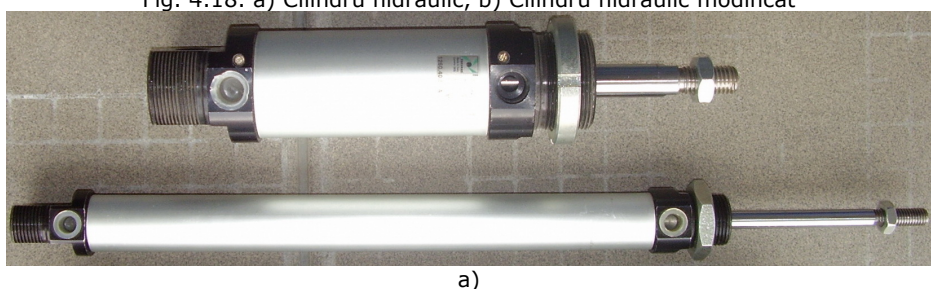


Fig. 4.17. Ansamblu amortizor semi-activ MRF cu circuit extern  
a) Schema bloc, b) Acumulator, c) Amortizor MRF



Fig. 4.18. a) Cilindru hidraulic, b) Cilindru hidraulic modificat



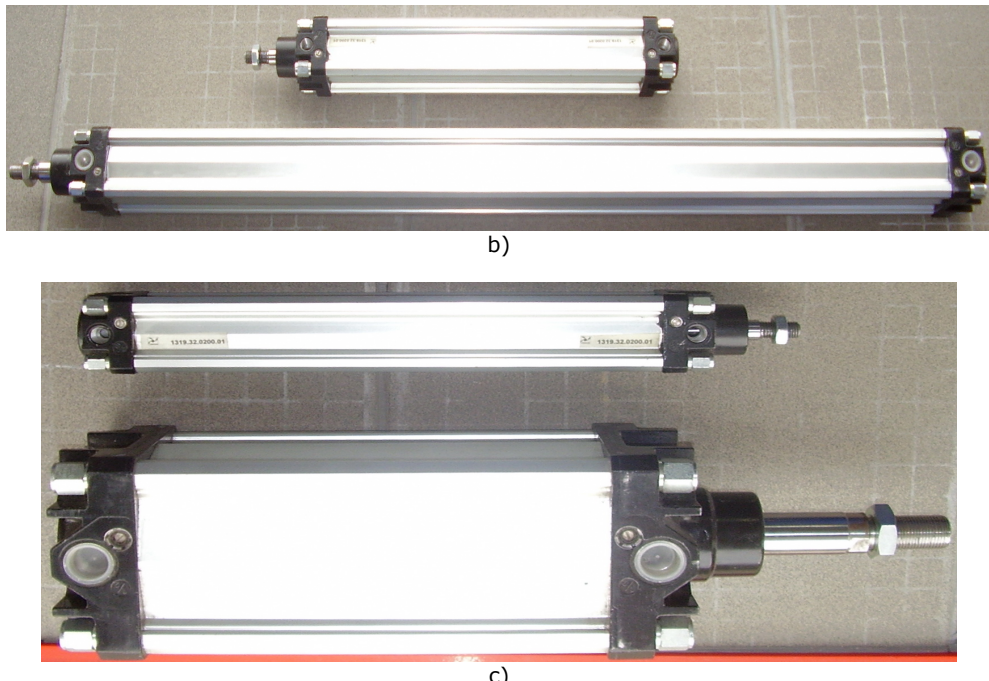


Fig. 4.19. Cilindru pneumatic: a) Secțiune circulară, b) Secțiune pătrată, c) secțiune pătrată de capacitate mică și mare

Acumulatorul are rolul de a prelua efectele modificărilor volumului de lichid, datorate variațiilor de temperatură. În interiorul cilindrului există un piston care separă partea umplută cu azot de partea în contact cu fluidul magnetoreologic. Această soluție clasică a fost îmbunătățită prin adăugarea a două noi facilități. Partea care conține azot a fost echipată cu un dispozitiv de încărcare cu gaz care permite controlul presiunii, în funcție de cerere. La extremitatea opusă a fost montată o supapă de control continuu. Rolul său este de a modifica, în limite foarte largi, comportamentul amortizorului între situații limită, când acumulatorul execută funcția sa de bază (definată anterior) sau dacă funcționează ca un amortizor cu gaz. Un aspect remarcabil este faptul că oricare dintre amortizoarele prezentate mai sus pot fi adaptate ca acumulatoare, cu modificările menționate.

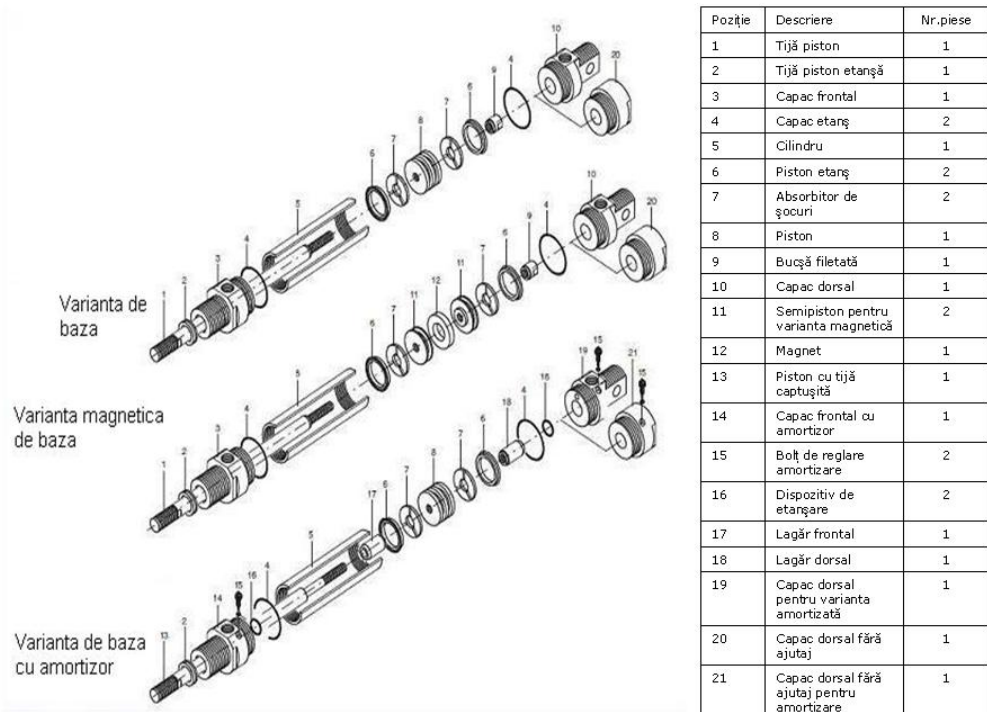


Fig. 4.20. Amortizor pneumatic nerotativ

Din motive de simplitate, un alt tip de acumulator, prezentat în fig.4.21.a, a fost realizat folosind componente comune standardizate, din alamă și prevăzute cu filet. În cazul în care amortizarea este mare, pentru a folosi o cantitate mai mică de fluid magnetoreologic, va fi adoptată o altă soluție. În această situație generatorul de câmp magnetic acționează un dispozitiv echipat cu două pistoane și care conține MRF, restul circuitului fiind umplut cu ulei de silicon utilizat în tehnica de vid, datorită vâscozității sale foarte mici. În seria de fig.4.21.b, și fig.4.22.a sunt prezentate câteva variantele de bypass cu două pistoane.

Un set de elementele flexibile de conectare, garantat de către producător până la presiunea de 60 Barr, este prezentat în fig.4.22.b. Componentele transparente există, de asemenea, în execuție metalică (Cu, Al). Interschimbabilitatea lor este facilitată de faptul că toate elementele constitutive se înșurubează.

Luând în considerare faptul că MRF are o vâscozitate relativ mare, eliminarea bulelor de aer este o operație foarte importantă și obligatorie în procesul de umplere. Prezența bulelor de aer în MRF are o influență negativă asupra comportamentului fluidului și asupra măsurării rezultatelor. Acesta este motivul pentru care, în majoritatea figurilor, se poate remarcă prezența elementelor de aerare. Ca lichid magnetoreologic a fost folosit tipul MRHCCS4-B, produs de LIQUIDS RESEARCH Limited din U.K.



Fig. 4.21. a) Acumulator multifuncțional, b) Generator de câmp magnetic cu by-pass

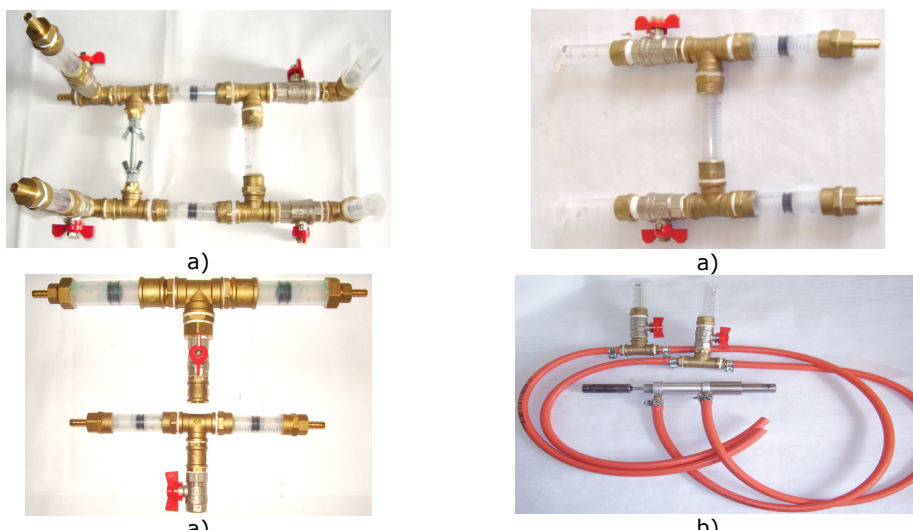


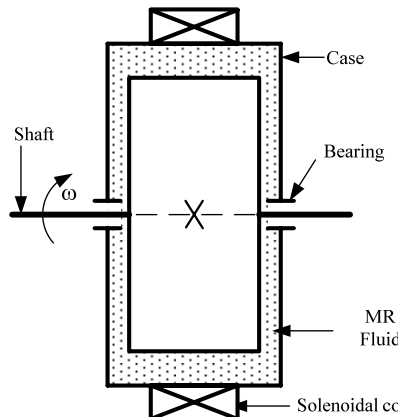
Fig. 4.22. a) Dispozitive by-pass, cu elemente de umplere,  
b) Racorduri flexibile, cu 2 elemente de aerare

Sistemul obținut oferă avantaje importante, cum ar fi: înlocuirea oricărui modul fără a modifica restul configurației; efectuarea de reglaje de precizie prin facilitățile oferite de acumulator; amplitudinea câmpului magnetic al generatorului nu mai este limitată de dimensiunile cilindrului interior, fiind posibilă utilizarea diferitelor tipuri de MRF; căldura disipată de amortizor nu influențează MRF.

### 4.3. Frâne și cuplaje cu MRF

Frâna cu MRF are o construcție relativ simplă în comparație cu frânele convenționale, unul dintre avantaje constând în fiabilitatea ridicată și uzura redusă.

Dispozitivul este format din doi cilindri concentrici cu întrefierul umplut cu fluid magnetoreologic (fig.4.23 și fig.4.24). Modularea vâscozității aparente a fluidului se realizează prin intermediul unui solenoid montat pe cilindrul exterior.



4.23.Schemă tipică de frână cilindrică cu MRF

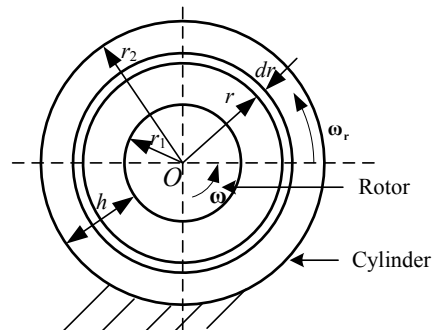


Fig.4.24.Secțiune transversală

Principiul de funcționare al cuplajului cu MRF (fig.4.25) este identic cu cel de la frână cu MRF. Cuplajele cu MRF și ERF au început să fie folosite cu succes la realizarea protezelor și ortezelor pentru membre inferioare.

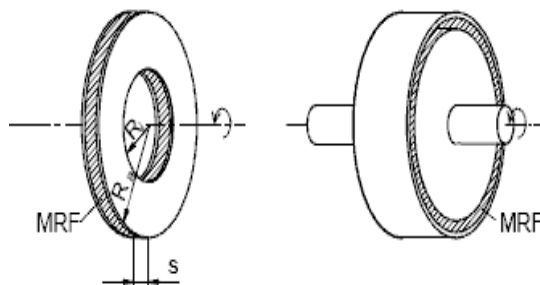


Fig.4.25.Soluție constructivă pentru un cuplaj MRF

Ambele dispozitive sunt deja folosite la bicicletele de recuperare medicală și la unele tipuri de orteze și proteze.

#### 4.4. Platforma Stewart

În literatura de specialitate părțile componente (amortizoare și elemente de acționare cu lichid magnetoreologic) sunt bine studiate, dar platforma Stewart (fig.4.26) realizată cu aceste componente nu este suficient de abordată în cercetările de până acum. Folosirea componentelor cu fluide magnetoreologice în construcția unor platforme Stewart duce la scăderea semnificativă a costurilor și este de asemenea mai simplă și prezintă precizie mai ridicată.

Mecanismele cu platforme paralele cu 6 grade de libertate sunt ideale pentru aplicațiile de poziționare de precizie. Comparativ cu mecanismele cinematice în serie, cele 6 lanțuri cinematice le dă o mai mare capacitate de încărcare, rigiditate mai mare, capacitatea de a rămâne stabil când nu este acționat, și redundanță în mișcare. Multe dintre aplicațiile de poziționare de precizie sunt localizate în medii în care există anumite grade de perturbații. Aceste perturbații sub formă de vibrații degradează performanțele instrumentelor sensibile necesare pentru o poziționare de

precizie. Prin urmare, este important să se creeze un mediu fără vibrații, pentru a permite poziționarea de precizie. Din perspectiva proiectării ar fi logic să aibă un mecanism cu platformă paralelă care este în mod inherent un mecanism ideal pentru poziționare precisă care asigură și izolarea vibrațiilor în același timp.

Robustetea și proiectarea mecanică simplă a amortizoarelor magnetoreologice face ca acestea să fie preferate printre dispozitivele de control semi-activ. Acestea au nevoie de un minim de energie pentru a controla forțe mari potrivite pentru aplicații pe o scară largă. Acestea sunt sigure, deoarece se comportă ca dispozitive pasive în cazul pierderilor de putere.

În timp ce controlul pasiv și activ al vibrațiilor au fost intens folosite la platforme paralele, unei platforme paralele cu 6 grade de libertate, care utilizează controlul semi-activ al vibrațiilor, nu i s-a acordat suficientă atenție. Avantajele controlului semi-activ includ un cost redus (prin folosirea unui mecanism de acționare simplu, destinat numai pentru o poziționare), cerințe reduse de putere, stabilitate bună. Fiecare picior al platformei este modelat ca un sistem cu două grade de libertate cu un amortizor MR cu amortizare reglabilă, în paralel cu un element de rigiditate și în serie cu un dispozitiv de comandă utilizat pentru poziționare. Calitatea izolării vibrațiilor prin mecanismul cu platformă paralelă și capacitatea sa de poziționare sunt cuantificate prin simulări. Rezultatele simulării arată că amortizoarele MR sunt eficiente la izolarea vibrațiilor la aplicații cu 6 grade de libertate atunci când acestea sunt încorporate în mecanismele cu platforme paralele.

Prin urmare, obiectivul ar trebui să fie izolarea vibrațiilor la interfețele dintre sursa de vibrații și echipamentele sensibile. Aceasta este situația în care mecanismele cinematice paralele sunt ideale. Datorită celor șase lanțuri cinematice, ele au capacitate de încărcare mai mare, rigiditate mai mare, capacitatea de a rămâne stabilă în configurația „unpowered” și redundanță în mișcare, ceea ce le face mai tolerate la erori de poziționare comparativ cu mecanismele cinematice în serie. Ele au, de asemenea, un număr minim de elemente de acționare pentru a genera mișcări cu 6 grade de libertate. Aceste avantaje le fac ideale pentru aplicații de poziționare de precizie. Dacă precizia de poziționare și capacitatea de izolare a vibrațiilor, în toate cele 6 grade de libertate, se combină în același mecanism, acest lucru ar duce la economii semnificative în complexitatea și greutatea sistemului. Toate forțele transmise între placa de sus și cea de jos a unui mecanism cu plăci paralele sunt doar forțe axiale de acționare, presupunând că gravitația și încărcarea inițială a conectorilor sunt neglijabile. În cazul în care aceste forțe axiale pot fi decuplate, ele pot fi calculate și vibrațiile cauzate de aceste forțe pot fi eliminate. [3,12,124].

Literatura de specialitate oferă câteva exemple de platforme paralele, scopul fiind de a combina precizia de poziționare și izolarea vibrațiilor în același mecanism. Toate acestea utilizează controlul pasiv sau activ, sau o combinație a ambelor. Controlul activ (piezoceramic, electromagnetic, cu magnetostricție, reprezentă diverse posibilități) este folosit pentru poziționarea cât și pentru reducerea transmiterii vibrațiilor la frecvențe joase. Controlul pasiv (elastomeri, fluide de amortizare sau curenți turbionari sunt cele mai folosite) atenuază întrări de înaltă frecvență. Studiile de specialitate nu au prezentat exemple de control semi-activ într-un mecanism cu platforme paralele care efectuează, de asemenea, poziționare. Cu toate acestea, au fost găsite două exemple recente de mecanisme cu platforme paralele, care sunt construite exclusiv pentru controlul vibrațiilor prin utilizarea amortizoarelor magnetoreologice cu control semi-activ [73,74]

Avantajul controlului semi-activ constă în faptul că necesită energie externă redusă, asigură disiparea energiei pasive în cazul în care partea semi-activă nu reușește, și are o stabilitate inherentă. Un dispozitiv de amortizare variabil care utilizează controlul semi-activ se va apropia de performanțele unui dispozitiv activ la reducerea vibrațiilor de joasă frecvență, în timp ce oferă mai multe avantaje. Aceste avantaje includ costuri reduse, prin folosirea unui mecanism de acționare simplă destinat doar pentru o poziționare, putere redusă și o stabilitate îmbunătățită.

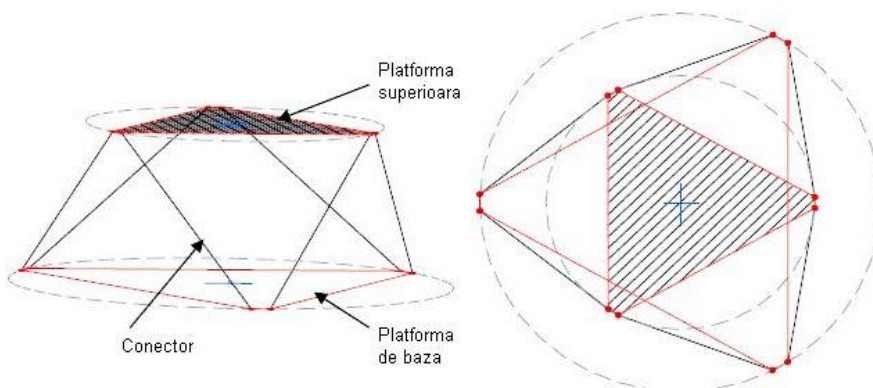


Fig. 4.26. Geometria optimă a mecanismului cu platforme paralele

Mai multe platforme hexapod diferite au fost elaborate de diferite grupuri de cercetători pentru a realiza izolarea vibrațiilor pe 6 axe în sisteme de precizie. Unele dintre aceste platforme au curse de acționare mai mari decât altele, care le dă, de asemenea, o capacitate de localizare pe 6 axe. Două grupuri dintre aceste hexapoade sunt după cum urmează:

- platforme grele, care utilizează un mecanism de acționare rigid, singur sau în serie cu un arc moale și au de obicei o cursă de acționare de dimensiuni foarte mici ( $\sim 50 \mu\text{m}$ ).
- platforme ușoare care utilizează un mecanism de acționare ușor, utilizat în paralel cu un arc moale și au curse de acționare mult mai mari ( $1000 \mu\text{m}$  sau mai mult).

Primul hexapod greu a fost făcut de Intelligent Automation, Inc (Rockville, MD) (fig.4.27). Acest hexapod folosește un mecanism de acționare rigid care utilizează aliaj magnetostrictiv, Terfenol-D. Terfenol-D prevede mișcări liniare și oscilante exacte în cadrul unui câmp magnetic generat de un curent electric de joasă tensiune. Cursa de acționare este de  $\pm 127 \mu\text{m}$ . Barele de susținere nu au capacitatea de izolare pasivă și se folosește un arc de compensare pentru masa sarcinii utile. O celulă de încărcare măsoară forța axială de acționare și patru accelerometre sunt plasate în partea de jos și de sus a fiecărui dispozitiv de acționare.

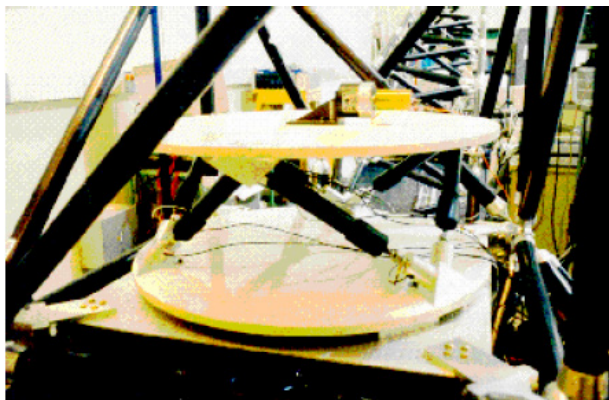


Fig.4.27. Sistem hexapod activ de izolare vibrațiilor (HAVI)

Hexapodul proiectat de Laboratoarele Draper (Cambridge, MA) utilizează elemente de acționare piezoceramice. Celule de încărcare sunt folosite pentru senzori de feedback. Acest hexapod nu are capacitatea de izolare pasivă. Harris Corporation (Melbourne, FL) a construit deasemenea un hexapod cu acționare piezoceramică. Nu există nici o izolare pasivă și cursa de acționare este de  $\pm 25 \mu\text{m}$ .

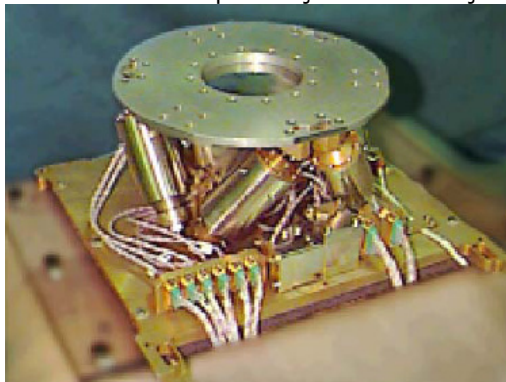


Fig. 4.28. Ansamblu hexapod (SUITE) de la CSA Engineering

CSA Engineering (Mountainview, CA) a construit două hexapoade grele. Primul este Ultra Quiet Platform (UQP). Elemente de acționare electromagnetică rigide furnizează forță și șase geofoane sunt amplasate în fiecare stâlp pentru a oferi o măsurare unică a mișcării. Al doilea hexapod greu produs de CSA Engineering este Satellite Ultra Quiet Isolation Technology Experiment (SUITE) ansamblu hexapod (HXA) (fig.4.28). Hexapod SUITE utilizează elemente de acționare piezoceramice. În serie cu dispozitivele de acționare sunt, de asemenea flexurile de izolare pasivă.

Prima platformă ușoară a fost revizuită de Honeywell și este hexapodul Vibration Isolation and Suppression System (VISS). Hibridul D-Strut (fig.4.29) este componenta cheie a VISS. Hibridul D-Strut constă dintr-un dispozitiv de acționare și dintr-un burduf umplut cu lichid de amortizare care trece prin intermediul unui orificiu. Accelerometre sunt utilizate pentru feedback și cursa de acționare este de  $\pm 2 \text{ mm}$  (care are un ordin de mărime mai mare decât deplasarea de la orice sisteme hexapod greu). Acest lucru face ca VISS să aibă o capacitate scăzută de localizare a frecvenței, ca majoritatea sistemelor hexapod ușoare. Al doilea hexapod ușor (fig.4.30) a fost construit de Jet Propulsion Laboratory (JPL) (Pasadena, CA). Acesta

utilizează elemente de acționare celule de sarcină. El are o cursă acționare de  $\pm 0,5$  mm. Un hexapod similar a fost, de asemenea, construit de JPL, la Universitatea din Wyoming (fig.4.31), singura diferență fiind că acest hexapod are arcuri interne. Acest sistem are de asemenea cursă de acționare de  $\pm 0,5$  mm.



Fig. 4.29. Hibridul D-Strut

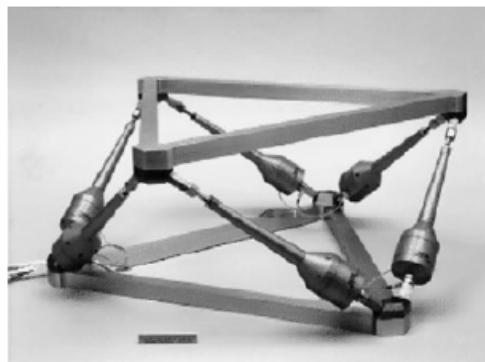


Fig.4.30. Hexapod fără arcuri interne



Fig. 4.31. Hexapod cu arcuri interne

Hexapodul produs de Hood Tehnologie (Hood River, OR) și Universitatea din Washington (fig.4.32) folosește, de asemenea, elemente de acționare care au o

## 72 Dispozitive amortizoare MR. aplicații-4

---

cursă de de  $\pm 5$  mm. O celulă de sarcină, o LVDT, și geofoane sunt integrate în ca senzori. Elastomerii sunt utilizati pentru amortizarea pasivă.

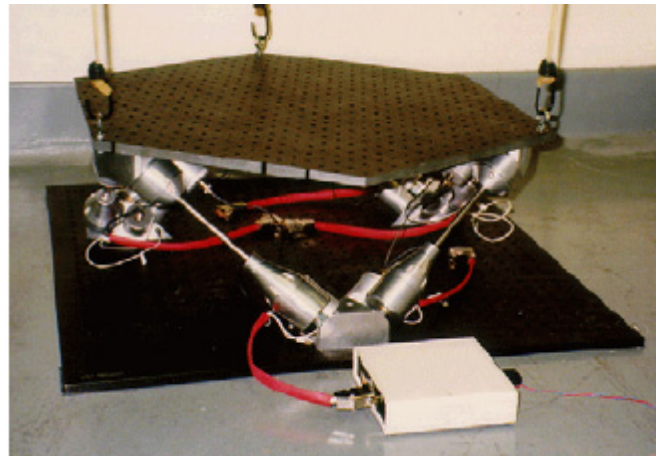


Fig. 4.32. Hexapod ușor de la HT/UW

Hexapodul din fig.4.33 a fost fabricat de către Université Libre de Bruxelles (ULB) și utilizează actuatoare și celule de sarcină. Amortizare pasivă nu este inclusă și suspensia externă este folosită pentru a compensa masa sarcinii utile. Cursa de acționare este de  $\pm 1,5$  mm.



Fig. 4.33. Hexapod ușor de la ULB

În fig.4.34 sunt prezentate cele mai reprezentative platforme Stewart comerciale

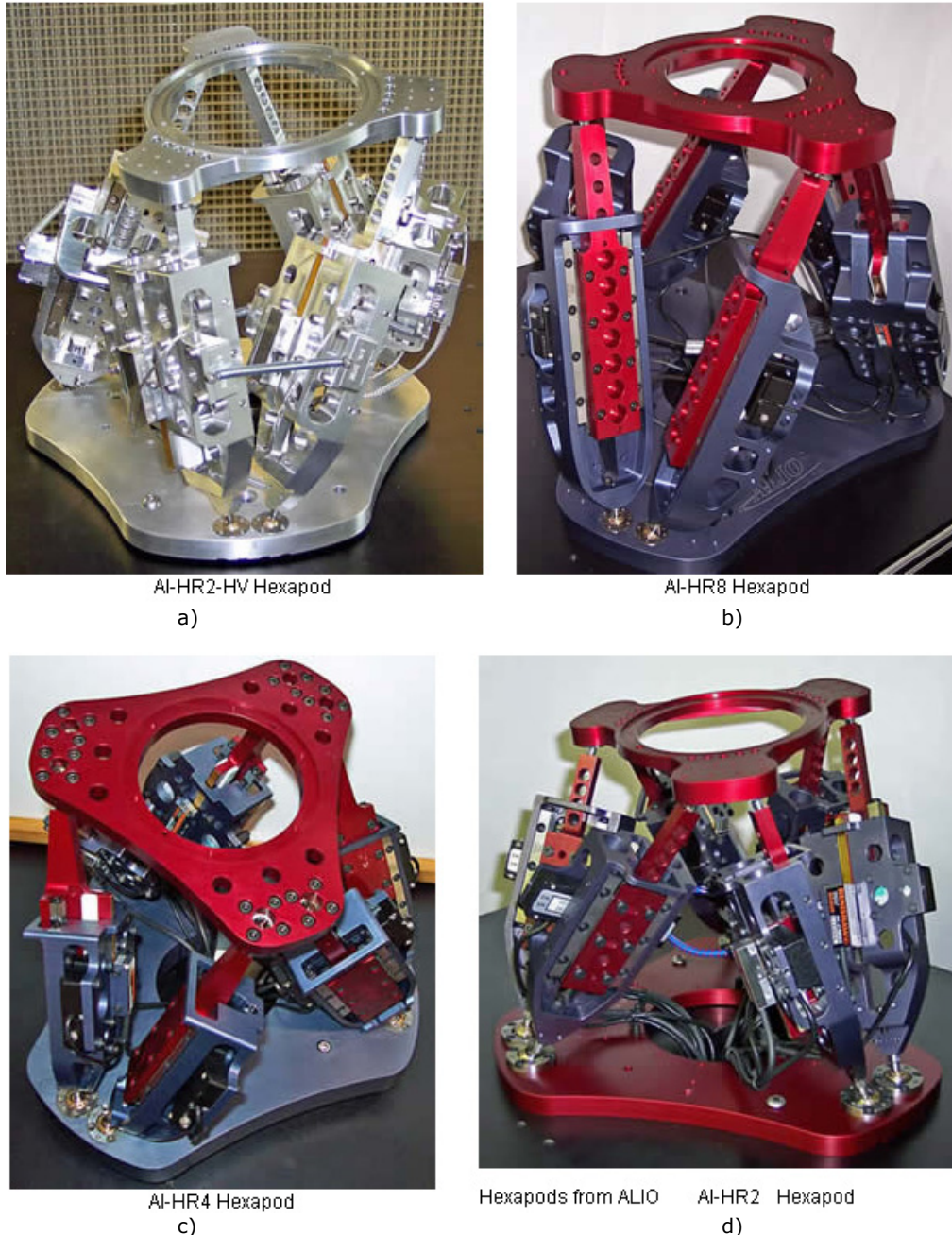


Fig. 4.34. Platforme Stewart comerciale

#### **4.5. Concluzii parțiale**

- Realizarea de amortizoare cu fluid magnetoreologic (MRF) cu circuit extern în structură modulară: amortizorul propriu-zis , acumulatorul încărcat cu gaz inert sub presiune, circuitul de by-pass, conexoarele flexibile și generatorul de câmp magnetic variabil, reprezintă o soluție foarte bună pentru obținerea unui sistem ideal pentru experimente prin usurința efectuării modificărilor și multitudinea reglajelor posibile.
- Realizarea de dispozitive by-pass cu MRF în mai multe variante constructive prevăzute cu discuri identice suprapuse și având fante în forma de segmente de coroană circulară pentru reglarea debitului , dotate cu elemente de încărcare și aerisire, permite utilizarea de fluide magnetoreologice cu vâscozitați diferite.Un alt avantaj : daca se scot cele două pistoane din by-pass tot sistemul se poate încărca cu fluid MR , daca pistoanele raman , se incarcă cu MRF doar portiunea care este în zona de acțiune al generatorului de câmp magnetic iar în rest cu ulei hidraulic sau alt ulei cu vâscozitate scăzută. În acest mod , cantitatea de MRF este redusă de zeci de ori și economia realizată este substanțială.
- Utilizarea de elemente standardizate de conectare filetate din aluminiu, procurabile din comerț, pentru realizarea de acumulatoare și dispozitive by-pass, este o soluție care permite modificări rapide și asigură calitatea și fiabilitatea similară unui produs industrial.
- Folosirea cilindrilor de acționare hidraulică și pneumatică pentru realizarea de amortizoare cu MRF cu circuit extern este o alta soluție practică, simplă și elegantă și care scurtează enorm timpul de execuție. Cilindrii pneumatici reprezintă chiar o soluție foarte bună și pentru realizarea de acumulatoare deoarece necesită modificări minime și au un raport preț – calitate excelent.

## **Capitolul 5**

### **CONCLUZII. CONTRIBUȚII ORIGINALE**

Acest capitol conține contribuțiile autorului tezei care sunt trecute în cadrul fiecărui capitol și căteva idei concluzive.

#### **5.1. Contribuții personale**

- Realizarea unui stand pentru experimente și măsurători prin modificarea unui pendul Charpy. S-au realizat și atașat dispozitive mecanice reglabile care să reducă amplitudinea impulsurilor și să facă posibilă utilizarea de punți tensiometrice pentru colectarea de date. Modificările au vizat și posibilitatea montării de amortizoare de diferite gabarite și forțe făcând doar reglaje simple.
- Realizarea de amortizoare cu fluid magnetoreologic (MRF) cu circuit extern în structura modulară: amortizorul propriu-zis , acumulatorul încărcat cu gaz inert sub presiune, circuitul de by-pass , conexiunile flexibile și generatorul de câmp magnetic variabil.
- Proiectarea și realizarea unui acumulator multifuncțional cu mai multe posibilități de reglaj care poate modifica în limite largi caracteristicile de funcționare al amortizorului. Înlocuirea membranelor elastice cu pistoane, mult mai ușor de realizat.
- Realizarea de dispozitive by-pass cu MRF în mai multe variante constructive prevăzute cu discuri suprapuse cu fante în forma de segmente de coroană circulară pentru reglarea debitului și având elemente de încărcare și aerisire.Possibilitatea de a alege între două variante , cu sau fără pistoane. În varianta fără pistoane , tot sistemul se încarcă cu MRF și se foloseste un volum mare de fluid.În varianta cu pistoane în circuitul de by-pass , MRF se introduce doar pe portiunea dintre pistoane situată în zona activă a solenoidului.În rest se foloseste ulei hidraulic sau uleiuri siliconice cu văscozitate redusă. În acest fel volumul de MRF este de zeci de ori mai mic ca în primul caz și costurile sănt reduse semnificativ.
- Utilizarea de elemente standardizate de conectare filetate din alamă, procurabile din comerț, pentru realizarea de acumulatoare și dispozitive by-pass, soluție care permite modificări rapide la costuri minime și asigură o calitate și fiabilitate similară unui produs industrial.
- Folosirea cilindrilor de acționare hidraulică și pneumatică pentru realizarea de amortizoare cu MRF cu circuit extern. Cilindrii pneumatici reprezintă chiar o soluție foarte bună și pentru realizarea de acumulatoare deoarece necesită modificări minime și au un raport preț – calitate excelent.

- Punerea în evidență al unui fenomen care poate fi foarte util pentru autotestarea unui amortizor cu MRF cu circuit intern. Solenoidul din interiorul amortizorului generează o tensiune de ordinul mV-lor în timpul funcționării deci, în anumite condiții, solenoidul poate fi folosit ca un senzor fără să utilizăm alte elemente. Această tensiune este diferită pentru fiecare tip de amortizor și reprezintă și o "amprentă" de identificare. Această facilitate urmează să fie studiată în viitorul apropiat pentru obținerea de informații suplimentare despre starea tehnica al unui asemenea amortizor în regim dinamic, montat pe un autoturism dotat cu calculator de bord și în timpul deplasării.
- Realizarea de bucșe și suporturi din materiale magnetoreologice obținute din polimeri siliconici și cauciuc natural. S-a schimbat poziția solenoidului în structura bucșei pentru a maximiza efectul câmpului magnetic generat exercitat asupra materialului activ. S-a realizat o structură alveolară cu pereți subțiri din cauciuc natural care conține materialul activ și astfel s-a mărit rigiditatea structurii.
- S-au realizat două modele pentru a studia comportamentul dinamic al sistemului amortizor - pendul. Modelele au fost realizate cu ajutorul programului Sim Mechanics ce rulează sub mediul de programare MATLAB. La al doilea model s-a plecat de la modelul Oh-Onoda. S-a constatat în cazul primului model, o foarte bună corelare între datele obținute și datele experimentale. În cadrul simulării s-a realizat și animația mișcărilor pendulului pentru valoarea minimă și maximă a coeficientului de amortizare.

## 5.2. Concluzii

Atenuatoarele de vibrații semi-active realizate cu materiale magnetoreologice în matrice lichidă sau vâsco-elastică reprezintă un mare progres în acest domeniu. Aplicațiile sunt extrem de numeroase. Aproape fiecare dispozitiv mecanic poate fi reproiectat utilizând aceste materiale, de la suporturi de instrumente pentru nanotehnologii, până la structuri uriașe. Stabilizarea cablurilor pentru podurile suspendate, suporturi antiseismice pentru clădiri, platforme Stewart cu MRF montate pe sateliți ca suporturi pentru antene, camere de luat vederi și panouri solare, reducerea vibrațiilor palelor elicopterelor, în tehnica militară pentru suporturi de dispozitive de ochire și arme fără recul, la trenuri, suspensii pentru autoturisme. În domeniul medicinii de recuperare, s-au construit proteze și orteze foarte eficiente cu aceste materiale.

M-am străduit în această teză să ofer soluții simple, funcționale și ieftine pentru realizarea de amortizoare cu MRF cu circuit extern cu comandă semiactivă într-o gamă extrem de largă de gabarite. Structura modulară și folosirea de subansamblu industrială cu alte destinații reduc foarte mult timpul de execuție și asigură fiabilitatea sistemului. Posibilitatea înlocuirii unui modul fără modificarea celorlalte, multiplele reglaje cu care este prevăzut fiecare modul fac posibila setarea ansamblului pentru aplicația dorită. Modul simplu și eficient de testare cu ajutorul unui ansamblu pendul-amortizor folosind traductoare tensometrice este pe larg prezentat în lucrare. Sunt idei și soluții utile pentru cine dorește să facă experimente în acest domeniu.

## BIBLIOGRAFIE

1. ADRIAN CHIRIAC, ALEXANDRU **BOLTOSI**, LIVIU BERETEU, RAMONA NAGY, ON THE ENERGETIC EFFICIENCY OF SOME MECHANICAL TRANSMISSIONS, ANNALS OF THE ORADEA UNIVERSITY, FASCICLE OF MANAGEMENT AND TECHNOLOGICAL ENGINEERING, VOLUME VII (XVII), 2008, CD-ROM EDITION
2. ADRIAN CHIRIAC, ALEXANDRU **BOLTOSI**, LIVIU BERETEU, RAMONA NAGY, STUDY OF POWER CIRCULATION IN TRANSVERSAL PLAN AT A FOUR WHEEL DRIVE VEHICLE, 11 TH CONFERENCE ON VEHICLE SYSTEM DYNAMICS, IDENTIFICATION AND ANOMALIES, VSDIA 2008, 10 - 12 NOVEMBER, 2008, BUDAPEST, HUNGARY
3. ANNIS NATHANIEL DOUGLAS, DEVELOPMENT OF A VISUAL DEMONSTRATION PLATFORM FOR PARALLEL EVALUATION OF ACTIVE SUSPENSION SYSTEMS, VIRGINIA POLYTECHNIC INSTITUTE AND STATE UNIVERSITY, 2006
4. BATTERBEE D. C., SIMS N. D., HARDWARE-IN-THE-LOOP SIMULATION OF MAGNETORHEOLOGICAL DAMPERS FOR VEHICLE SUSPENSION SYSTEMS, PROC. IMECE VOL. 221 PART I: J. SYSTEMS AND CONTROL ENGINEERING, 2007
5. BERETEU, L., **BOLTOSI**, A., CHIRIAC, A., NAGY, R., PROSTHESIS AND ORHOSIS REALIZED WITH SMART FLUID DEVICES, ANALELE UNIV. DE VEST DIN TIMIȘOARA, VOL.XLIX, SER. FIZICĂ, 2007, P., ISSN:1224-9718
6. BERETEU, L., **BOLTOSI**, A., CHIRIAC, A., NAGY, R., PROSTHESIS AND ORHOSIS REALIZED WITH SMART FLUID DEVICES, PROCEED. OF THE 32<sup>ND</sup> CONF. ON R & D IN AGRIC. ENGIN., GÖDÖLŐ, HUNGARY, CD EDITION, 2008, P., ISBN 963 611 423 7
7. BERETEU, L., CHIRIAC, A., **BOLTOSI**, A., NAGY, R., CONSTRUCTION AND OPTIMIZATION OF RHEOLOGICAL FLUID BRAKES AND CLUTCHES, PROCEED. OF PAPERS OF THE 20<sup>TH</sup> INTERN. CONF. ON NOISE AND VIBRATION, TARA, SERBIA AND MONTENEGRO, CD EDITION, 2006, P.1-5, ISBN ID 20-10
8. BERETEU, L., CHIRIAC, A., **BOLTOSI**, A., NAGY, R., CONSTRUCTIVE MODELS FOR SEMI-ACTIVE DAMPERS USING SMART FLUIDS, PROCEED. OF THE 31<sup>ST</sup> CONF. ON R & D IN AGRIC. ENGIN., GÖDÖLŐ, HUNGARY, CD EDITION, 2007, P.131-135, ISBN 963 611 423 6
9. BERGANDER ARVID, CONTROL, WEAR TESTING & INTEGRATION OF STICK – SLIP MICROPOSITIONING, PH.D. THESIS, ECOLE POLYTECHNIQUE FEDERALE DE LAUSANNE, 2003[3]
10. **BOLTOSI** AL, NAGY RAMONA, 2006, MODELING OF RHEOLOGICAL FLUID DEVICES, ANNALS OF THE ORADEA UNIVERSITY, FASCICLE OF MANAGEMENT AND TECHNOLOGICAL ENGINEERING, CD-ROM EDITION, VOL V (XV), ISSN 1583-0691
11. **BOLTOSI** ALEXANDRU, ADRIAN CHIRIAC, RAMONA NAGY, LIVIU BERETEU, SIMPLE METHODS TO REALIZE SEMI-ACTIVE DAMPERS, WITH

- MAGNETORHEOLICAL FLUIDS, 11 TH CONFERENCE ON VEHICLE SYSTEM DYNAMICS, IDENTIFICATION AND ANOMALIES, VSDIA 2008, 10 - 12 NOVEMBER, 2008, BUDAPEST, HUNGARY
12. **BOLTOSI** ALEXANDRU, ADRIAN CHIRIAC, RAMONA NAGY, LIVIU BERETEU, STEWART PLATFORM. APPLICATION OF SMART FLUID DAMPERS IN THIS FIELD, ANNALS OF THE ORADEA UNIVERSITY, FASCICLE OF MANAGEMENT AND TECHNOLOGICAL ENGINEERING, VOLUME VII (XVII), 2008, CD-ROM EDITION
13. **BOLTOSI**, A., BERETEU, L., BIRÓ, I., CHIRIAC, A., NAGY, R., APPLICATION OF SMART FUID DEVICES TO PROSTHETICS, PROCEED. OF THE 32<sup>ND</sup> CONF. ON R & D IN AGRIC. ENGIN., GÖDÖLŐ, HUNGARY, CD EDITION, 2008, P., ISBN 963 611 423 7
14. **BOLTOSI**, A., BERETEU, L., CHIRIAC, A., NAGY, R., STEWART PLATFORMS EQUIPPED WITH MAGNETORHEOLOGICAL FUID DAMPERS, ANALELE UNIV. DE VEST DIN TIMIȘOARA, VOL.XLIX, SER. FIZICĂ, 2007, P., ISSN:1224-9718
15. **BOLTOSI**, A., BIRÓ, I., CHIRIAC, A., NAGY, R., BERETEU, L., DECREASING OF VIBRATION LEVEL AT SELF PROPELLED AGRICULTURAL MACHINES USING SEMI-ACTIVE DEVICES WITH MAGNETO-RHEOLOGICAL FLUIDS, PROCEED. OF THE 31<sup>ST</sup> CONF. ON R & D IN AGRIC. ENGIN., GÖDÖLŐ, HUNGARY, CD EDITION, 2007, P.136-140, ISBN 963 611 423 6
16. **BOLTOSI**, A., CHIRIAC, A., BALTA, A., ACTUATING OF THE PLANE SIEVES BY CRANK AND CONNECTING ROD ASSEMBLY, PROCEED. OF THE 8<sup>TH</sup> SYMP. ON ACOUST. AND VIBR. OF MECH. STRUCT., TIMIȘOARA, 2005, P.185-192, ISBN 973-625-238-8
17. **BOLTOSI**, A., CHIRIAC, A., NAGY, R., BRAKES AND CLUTCHES WITH SMART FLUIDS ANALELE UNIV. DE VEST DIN TIMIȘOARA, VOL.XLVIII, SER. FIZICĂ, 2006, P.151-156, ISSN:1224-9718
18. **BOLTOSI**, A., CHIRIAC, A., NAGY, R., INCREASING OF VEHICLE COMFORT USING SMART FLUID DEVICES, PROCEED. OF THE 10<sup>TH</sup> CONF. ON VEHICLE SYSTEM DYNAMICS, IDENTIFICATION AND ANOMALIES, BUDAPEST, HUNGARY, 2006
19. **BOLTOSI**, A., NAGY, R., CHIRIAC, A., MODELING OF MAGNETORHEOLOGICAL (MR) AND ELECTRORHEOLOGICAL (ER) FLUID DEVICES, PROCEED. OF THE 6<sup>TH</sup> INTERN. CONF. "RESEARCH AND DEVELOP. IN MECH. INDUSTRY", BUDVA, SERBIA AND MONTENEGRO, CD EDITION, 2006, P.1-7, ISBN 86-83803-21-X (HTMS)
20. **BOLTOŠI** AL., NAGY RAMONA, CHIRIAC A., 2006, MODELING OF MAGNETORHEOLOGICAL (MR) AND ELECTRORHEOLOGICAL (ER) FLUID DEVICES, 6<sup>TH</sup> INTERNATIONAL CONFERENCE, "RESEARCH AND DEVELOPMENT IN MECHANICAL INDUSTRY" RADMI 2006, 13 - 17. SEPTEMBER 2006, BUDVA, SERBIA AND MONTENEGRO, ISBN 86-83803-10-4
21. BOULOS ALFRED, A FEASIBILITY STUDY ON ADAPTIVE VEHICLE SUSPENSION CONTROL ARMS, MSC SOFTWARE
22. BOURMISTROVA A., STOREY I., SUBIC A., MULTIOBJECTIVE OPTIMISATION OF ACTIVE AND SEMI-ACTIVE SUSPENSION SYSTEMS WITH APPLICATION OF EVOLUTIONARY ALGORITHM
23. BRANDON PAUL, WHITE NIGEL, SENSITIVITY OF DAMPER VALVE ARCHITECTURE TO CHANGES IN MOUNT STIFFNESS/ DAMPING/ HYSTERESIS AND THE SUBSEQUENT COMBINED DAMPING

- CHARACTERISTICS, KINGSTON UNIVERSITY
24. BRINDEU L., BERETEU L., NAGY RAMONA, **BOLTOȘI** AL., 2005, DYNAMIC MODELS OF SHOCK DAMPER WITH MAGNETORHEOLOGICAL FLUID, "POLITEHNICA" UNIVERSITY OF TIMISORA, TRANS OF MECHANICS SPECIAL ISSUE. THE XI-TH INTERNATIONAL CONFERENCE ON VIBRATION ENGINEERING, TIMISOARA, SEPT 27-30 2005, ISSN 1224-6077 (191-196)
25. BRÎNDEU L., BERETEU L., NAGY RAMONA, **BOLTOȘI** AL., 2005, MODELING OF WORK OF SHOCK DAMPER WITH MAGNETORHEOLOGICAL FLUID, ANNALS OF THE ORADEA UNIVERSITY, FASCICLE OF MANAGEMENT AND TECHNOLOGICAL ENGINEERING, CD-ROM EDITION, VOL IV (XIV) (40) ISSN 1583-0691
26. BRÎNDEU L., HULE V., TĂTARU B., HORA H.: VIBRAȚIILE LONGITUDINALE ALE BARELOR VÂSCO-ELASTICE CU MASE CONCENTRATE LA EXTREMITĂȚI, ANALELE UNIV. ORADEA 2004, FASCICOLA INGINERIE MANAGERIALĂ ȘI TEHNOLOGICĂ, SECTIUNEA: MECANICĂ, 2004, ISSN 1583-0691, (CD)
27. BRÎNDEU L.: MECANICA DINAMICĂ, INSTIT. POLIT. TRAIAN VUIA, TIMIȘOARA, 1975
28. BRÎNDEU L.: VIBRAȚII. MECANICA ANALITICĂ. VIBRAȚII MECANICE, INSTIT. POLIT. TRAIAN VUIA, TIMIȘOARA, 1979
29. BRÎNDEU, L., BERETEU, L., NAGY, R., BOLTOSI, A., (2005), DYNAMIC MODELS OF SHOCK DAMPER WITH MAGNETORHEOLOGICAL FLUID, SCIENT. BULL. OF "POLITEHNICA" UNIV. OF TIMIȘOARA, TOM 50(64), SPECIAL ISSUE.
30. BRÎNDEU, L., **BOLTOSI**, A., NAGY, R., CHIRIAC, A., SHOCK ABSORBERS WITH MAGNETORHEOLOGICAL FLUIDS, PROCEED. OF THE 30<sup>TH</sup> CONF. ON R & D IN AGRIC. ENGIN., GÖDÖLLŐ, HUNGARY, 2006, P.316-321, ISBN 963 611 423 5
31. BURSON KRISTOPHER, LORD MR DAMPING SOLUTIONS FOR AUTOMOTIVE APPLICATIONS, LORD CEDRAT TECHNOLOGIES, NEW LINEAR MAGNETIC ACTUATORS, 2007
32. CARLSON, J.D. & JOLLY, M.R. MR-FLUID, FOAM AND ELASTOMER DEVICES, MECHATRONICS 10 (2000) P. 555.569.
33. CARLSON, J. D., JOLLY, M. R., (2000), MR FLUID, FOAM AND ELASTOMER DEVICES, MECHATRONICS, 10, P. 555-569
34. CHINNIAH JEYACHANDRABOSE, SAYERS E. MITCHELL, AN APPROACH FOR THE OPTICAL DESIGN OF AN LED FOG LAMP, SAE WORLD CONGRESS DETROIT, MICHIGAN, 2004
35. CHIRIAC, A., BERETEU, L., BIRÓ, I., NAGY, R., **BOLTOSI**, A., ON THE DYNAMICS OF A PLANE SIEVE FOR SEED SORTING, DRIVEN BY AN ELECTRIC MOTOR, PROCEED. OF THE 32<sup>ND</sup> CONF. ON R & D IN AGRIC. ENGIN., GÖDÖLLŐ, HUNGARY, CD EDITION, 2008, P., ISBN 963 611 423 7
36. CHIRIAC, A., BERETEU, L., NAGY, R., **BOLTOSI**, A., AN APPROXIMATE SOLUTION OF THE EQUATION OF MOTION OF A ROTARY INDUSTRIAL EQUIPMENT, ANNALS OF THE ORADEA UNIV., FASC. MANAG. AND TECHN. ENGIN., VOL.VI(XVI), CD EDITION, 2007, P.12-16, ISSN 1583-0691
37. CHIRIAC, A., **BOLTOSI**, A., NAGY, R., MODELS OF CONTROL OF SEMI-ACTIVE VEHICLE SUSPENSIONS REALIZED WITH SMART FLUIDS, PROCEED. OF THE 10<sup>TH</sup> CONF. ON VEHICLE SYSTEM DYNAMICS,

- 
- IDENTIFICATION AND ANOMALIES, BUDAPEST, HUNGARY, 2006
38. CHIRIAC, A., NAGY, R., BERETEU, L., **BOLTOSI**, A., ON THE DYNAMICS OF MOTIONS OF A ROBOT FOR THE ELECTRONIC INDUSTRY, ANALELE UNIV. DE VEST DIN TIMIȘOARA, VOL.XLIX, SER. FIZICĂ, 2007, P., ISSN:1224-9718
39. CHIRIAC, A., NAGY, R., BERETEU, L., **BOLTOSI**, A., ON THE MODELING OF BEHAVIOR OF ELECTRO AND MAGNETO-RHEOLOGICAL DEVICES, PROCEED. OF THE 31<sup>ST</sup> CONF. ON R & D IN AGRIC. ENGIN., GÖDÖLŐ, HUNGARY, CD EDITION, 2007, P.141-145, ISBN 963 611 423 6
40. CHOI Y-T, WERELEY N. M., MITIGATION OF BIODYNAMIC RESPONSE TO VIBRATORY AND BLAST-INDUCED SHOCK LOADS USING MAGNETORHEOLOGICAL SEAT SUSPENSIONS, PROC. IMECE. VOL. 219 PART D: J. AUTOMOBILE ENGINEERING, 2005
41. CHOI, S.-B. & LEE, S.-K. A HYSTERESIS MODEL FOR THE FIELD-DEPENDENT DAMPING FORCE OF A MAGNETORHEOLOGICAL DAMPER, JOURNAL OF SOUND AND VIBRATION (2001) 245(2), P.375. 383.
42. CHOI, S.-B. & LEE, S.-K. A HYSTERESIS MODEL FOR THE FIELD-DEPENDENT DAMPING FORCE OF A MAGNETORHEOLOGICAL DAMPER, JOURNAL OF SOUND AND VIBRATION (2001) 245(2), P. 375. 383.
43. CIOARA T. GH., GLIGOR TR., BERETEU L., DAESCU D.: EXPERIMENTAL METHOD FOR MULTCYLINDER COMPRESSOR MASSIVE FOUNDATION VIBRATION ANALYSIS, 6<sup>TH</sup> INTERNATIONAL CONFERENCE SOIL DYNAMICS, SOUTHAMPTON, UK 1993 PP.655-672
44. CIOARA T. GH.: TEHNICI EXPERIMENTALE ÎN INGINERIE. TRADUCTOARE ȘI SENZORI, EDITURA POLITEHNICA TIMIȘOARA, 1999, ISBN 9739389-33-3
45. CIOARA T. GH.: VIBRATION IN ENGINEERING, CD LECTURES
46. CIOARA T. GH.: VIBRATION MONITORING OF MECHANICAL SYSTEM. FAULT DIAGNOSIS LEVEL REDUCTION, ED. UNIVERSITY OF SOUTH CAROLINA COLUMBIA U.S.A., 1999, ISBN 973-9485-09-X
47. CIOARA T. GH.: VIBRATION OF MECHANICAL SYSTEMS WITH THE COMPOSED
48. CIOARA T. GH.: VIBRAȚII ȘI ZGOMOTE. NOTE DE CURS, EDIȚIE ELECTRONICĂ, UNIVERSITATEA POLITEHNICA TIMIȘOARA
49. COLLINS, S., A., VON FLOTOW, A., H., (1991), ACTIVE VIBRATION ISOLATION FOR SPACECRAFT, 42<sup>ND</sup> IAF CONGRESS, PAPER NO IAF-91-289, MONTREAL.
50. DAVIS, L. C., (1999), MODEL OF MAGNETORHEOLOGICAL ELASTOMERS, J. APPL. PHYS., 85(6), P. 3348-3351.
51. DYKE, R. A., WERELEY, N. M., (1999), CHARACTERIZATION OF A MAGNETORHEOLOGICAL FLUID DAMPER USING A QUASI-STEADY MODEL, MECHATRONICS, PROCEEDINGS OF SPIE - THE INTERNATIONAL SOCIETY FOR OPTICAL ENGINEERING, I, P. 507-519.
52. DYKE, S. J., SPENCER JR., B. F., SAIN, M. K., CARLSON, J. D., (1997), AN EXPERIMENTAL STUDY OF MR DAMPERS FOR SEISMIC PROTECTION, PROCEEDINGS OF ASCE STRUCTURES CONGRESS, P. 1358-1362.
53. DYKE, S.J., SPENCER, B.F. JR., SAIN, M.K. & CARLSON, J.D. AN EXPERIMENTAL STUDY OF MR DAMPERS FOR SEISMIC PROTECTION, SMART MATER. STRUCT. 7 (1998) P. 693.703.
54. ENCYCLOPEDIA OF SMART MATERIALS,  
<HTTP://WWW.MRW.INTERSCIENCE.WILEY.COM/ESM/INDEX.HTML>.

55. FAI T. C., DELBRESSINE F., RAUTERBERG M., VEHICLE SEAT DESIGN: STATE OF THE ART AND RECENT DEVELOPMENT, PROCEEDINGS WORLD ENGINEERING CONGRESS 2007 (PP. 51-61), PENANG MALAYSIA
56. FERRAZZIN D., BARBAGLI F., AVIZZANO C. A., PIETRO G., BERGAMASCO M., DESIGNING NEW COMMERCIAL MOTORCYCLES THROUGH A HIGHLY RECONFIGURABLE VIRTUAL REALITY-BASED SIMULATOR, ADVANCED ROBOTICS, VOL. 17, NO. 4, PP. 293–318 (2003)
57. GENC, S. & PHULÉ P.P. RHEOLOGICAL PROPERTIES OF MAGNETORHEOLOGICAL FLUIDS, SMART MATER. STRUCT. 11 (2002) P. 140.146.
58. GERRARD BARNEY, MAGNETI MARELLI, THE U-LINK SUSPENSION CONCEPT, VEHICLE DYNAMICS EXPO 2006
59. GHOSH M. K., DINAVAHI R., VIBRATION ANALYSIS OF A VEHICLE SYSTEM SUPPORTED ON A DAMPER-CONTROLLED VARIABLE-SPRING-STIFFNESS SUSPENSION, PROC. IMECE. VOL. 219 PART D: J. AUTOMOBILE ENGINEERING, 2005
60. GILIOMEE CHRISTIAAN LAMBERT, ANALYSIS OF A FOUR STATE SWITCHABLE HYDROPNEUMATIC SPRING AND DAMPER SYSTEM, UNIVERSITY OF PRETORIA,2005
61. GINDER J. M., NICHOLS, M. E., ELIE, L. D., TARDIFF, J. L., (1999), MAGNETORHEOLOGICAL ELASTOMERS: PROPERTIES AND ALLPLICATIONS, SPIE, 3675, P. 131-138.
62. GIUA ALESSANDRO, MELAS MAURO, SEATZU CARLA, DESIGN OF A CONTROL LAWFOR A MAGNETO-RHEOLOGICAL SUSPENSION, UNIVERSITY OF CAGLIARI
63. GOH Y. M., BOOKER J. D., MCMAHON C. A., UNCERTAINTY MODELLING OF A SUSPENSION UNIT, PROC. IMECE. VOL. 219 PART D: J. AUTOMOBILE ENGINEERING, 2005
64. HAN Y. M., JUNG J. Y., CHOI S. B., SLIDING MODE CONTROL OF ER SEAT SUSPENSION CONSIDERING HUMAN VIBRATION MODEL, INTERNATIONAL JOURNAL OF MODERN PHYSICS B VOL. 19, 2005, 1689-1695
65. HARTMUT JANOWKA, NEUE AKTOREN AUS DER SICHT DER MECHATRONIK, UNIVERSITÄT DES SAARLANDES
66. HARTMUT JANOWKA, UNKONVENTIONELLE AKTOREN IM KRAFTFAHRZEUG, UNIVERSITÄT DES SAARLANDES, 2004
67. IOAN BICA, ADVANCES IN MAGNETORHEOLOGICAL SUSPENSION: PRODUCTION AND PROPERTIES,ELSEVIER, JOURNAI IND. ENG. CHEM.,VOL.12, No. 4, (2006) , 501-515
68. IOAN BICA, NANOPARTICLE PRODUCTION BY PLASMA,DEPARTMENT OF PHYSICS,ELSEVIER, MATERIALS SCIENCE AND ENGINEERING B, VOL. 68, ISSUE 1, 20 DEC. 1999,PAGES 5-9
69. JANSSON FREDRIK, JOHANSSON OSKAR, A STUDY OF ACTIVE ENGINE MOUNTS, LINKÖPINGS UNIVERSITET, 2003
70. JOLLY, M. R., CARLSON, J. D., MUÑOZ, B. C., BULLIONS, T. A., (1996), THE MAGNETOVISCOELASTIC RESPONSE OF ELASTOMER COMPOSITES CONSISTING OF FERROUS PARTICLES EMBEDDED IN POLYMER MATRIX, J. INTEL. MATER. SYST. STRUCT., 7(11), P. 613-622.
71. JOLLY, M., R., BENDER, J., W., CARLSON, J., D., (1998), PROPERTIES AND APPLICATIONS OF COMMERCIAL MAGNETORHEOLOGICAL FLUIDS. PROCEEDINGS OF SPIE - THE INTERNATIONAL SOCIETY FOR OPTICAL ENGINEERING, 3327, P. 262-275.

## 82 Bibliografie

---

72. JOLLY, M.R., CARLSON, J.D. & MUÑOZ, B.C. A MODEL OF THE BEHAVIOUR OF MAGNETORHEOLOGICAL MATERIALS, SMART MATER. STRUCT. 5 (1996) P. 607.614.
73. KARKOUB MANSOUR A., ZRIBI MOHAMED, ACTIVE/SEMI-ACTIVE SUSPENSION CONTROL USING MAGNETORHEOLOGICAL ACTUATORS, INTERNATIONAL JOURNAL OF SYSTEMS SCIENCE, VOL. 37, NO. 1, 15 JANUARY 2006, 35-44
74. KELSO SHAWN P, BLANKINSHIP ROSS, HENDERSON BENJAMIN KYLE, PRECISION CONTROLLED ACTUATION AND VIBRATION ISOLATION UTILIZING MAGNETORHEOLOGICAL (MR) FLUID TECHNOLOGY, AIAA 2001-4568
75. KITCHING K. J., COLE D.J., CEBON D., PERFORMANCE OF A SEMI-ACTIVE DAMPER FOR HEAVY VEHICLES, ASME JOURNAL OF DYNAMIC SYSTEMS MEASUREMENT AND CONTROL
76. KRUNTCHEVA MARIANA R., ACOUSTIC-STRUCTURAL COUPLING OF THE AUTOMOBILE PASSENGER COMPARTMENT, WCE 2007
77. KUHNEN K., JANOWSKI H., SCHOMMER M., EXPLOITATION OF INHERENT SENSOR EFFECTS IN MAGNETOSTRICTIVE ACTUATORS
78. LAUWERYS C., SWEVERS J., SAS P., MODEL FREE CONTROL DESIGN FOR A SEMI-ACTIVE SUSPENSION OF A PASSENGER CAR, K.U.LEUVEN, DEPARTMENT OF MECHANICAL ENGINEERING, DIVISION PMA
79. LI, W.H., YAO, G.Z., CHEN, G., YEO, S.H. & YAP, F.F. TESTING AND STEADY STATE MODELING OF A LINEAR MR DAMPER UNDER SINUSOIDAL LOADING, SMART MATER. STRUCT. 9 (2000) P. 95.102.
80. LIAO, W.H. & LAI, C.Y. HARMONIC ANALYSIS OF A MAGNETORHEOLOGICAL DAMPER FOR VIBRATION CONTROL, SMART MATER. STRUCT. 11 (2002) P. 288.296.
81. LIEDES TONI, POSSIBILITIES OF PIEZOELECTRICS, UNIVERSITY OF OULU
82. LIU YANQING, MATSUHISA HIROSHI, UTSUNO HIDEO, PARK JEONG GYU, CONTROLLABLE VIBRATION OF THE CAR-BODY USING MAGNETORHEOLOGICAL FLUID DAMPER, VEHICLE SYSTEM DYNAMICS SUPPLEMENT 41 (2004). P.627-636
83. LIVIU BERETEU, ALEXANDRU **BOLTOSI**, RAMONA NAGY AND ADRIAN CHIRIAC, DOUBLE SEPARATING SCREEN ACTIVE CONTROL, PHYSICS CONFERENCE TIM-08, 27-28 NOV, 2008, UNIVERSITATEA DE VEST, TIMISOARA(IN-PRESS)
84. LIVIU BERETEU, RAMONA NAGY, ALEXANDRU **BOLTOSI**, ADRIAN CHIRIAC, STUDY AND TESTS OF A SEMI-ACTIVE DAMPER USING COMPLEX MEDIA, ANNALS OF THE ORADEA UNIVERSITY, FASCICLE OF MANAGEMENT AND TECHNOLOGICAL ENGINEERING, VOLUME VII (XVII), 2008, CD-ROM EDITION
85. LIVIU BERETEU, RAMONA NAGY, ALEXANDRU **BOLTOSI**, ADRIAN CHIRIAC, VIBRATION ISOLATION USING STEWART PLATFORM, 11 TH CONFERENCE ON VEHICLE SYSTEM DYNAMICS, IDENTIFICATION AND ANOMALIES, VSDIA 2008, 10 – 12 NOVEMBER, 2008, BUDAPEST, HUNGARY
86. LOHÖFENER MANFRED, AKTORIK 1, FACHHOCHSCHULE MERSEBURG, UNIVERSITY OF APPLIED SCIENCES
87. LOKANDER, M. & STENBERG, B. PERFORMANCE OF ISOTROPIC MAGNETORHEOLOGICAL RUBBER MATERIALS, POLYMER TESTING, VOLUME 22, ISSUE 3, MAY 2003, P. 245.251.

- 
88. LORD CORPORATION (<HTTP://WWW.MRFLUID.COM>).  
<WWW.LORD.COM>
89. MAGNAC G., MENEROU P., SIX M.F., PATIENT G., LELETTY R., CLAEYSSEN F., CHARACTERISATION OF MAGNETO-RHEOLOGICAL FLUIDS FOR ACTUATORS APPLICATIONS, ACTUATOR 2006, 10TH INTERNATIONAL CONFERENCE ON NEW ACTUATORS, 2006
90. MAIN JOHN A., GARCIA EPHRAIM, NEWTON DAVID V., PRECISION POSITION CONTROL OF PIEZOELECTRIC ACTUATORS USING CHARGE FEEDBACK, JOURNAL OF GUIDANCE, CONTROL AND DYNAMICS VOL. 18, NO.5, 1995
91. MAJER OLIVER LEWIS, THE APPLICATION OF SMART MATERIAL ACTUATORS IN THE DEVELOPMENT OF A MODEL PLANE WING, UNION COLLEGE, 2006
92. MATTHIAS HAUCK, GEREGLTE DAMPFUNG FUR TRAKTOR-FAHRERSITZE, PH.D. THESIS, TECHNISCHEN UNIVERSITAT BERLIN, 2001
93. MELIKHOV Y., LEE S. J., JILES D. C., SCHMIDT D. H., PORTER M. D., SHINAR R., MICROELECTROMAGNETIC FERROFLUID-BASED ACTUATOR, JOURNAL OF APPLIED PHYSICS, VOLUME 93, NUMBER 10, 2003
94. MIEGE A. J. P., CEBON D., ACTIVE ROLL CONTROL OF AN EXPERIMENTAL ARTICULATED VEHICLE, PROC. IMECE. VOL. 219 PART D: J. AUTOMOBILE ENGINEERING, 2005
95. MIRCEA FENCHEA, ALEXANDRU **BOLTOSI**, INFLUENCE OF SUSPENSION ON THE VEHICLE DYNAMIC PERFORMANCE, ORADEA UNIVERSITY, FASCICLE OF MANAGEMENT AND TECHNOLOGICAL ENGINEERING, CD-ROM EDITION, VOL V (XV), ISSN 1583-0691
96. MISSELHORN W. E., THERON N. J., ELS P. S., INVESTIGATION OF HARDWARE-IN-THE-LOOP FOR USE IN SUSPENSION DEVELOPMENT, VEHICLE SYSTEM DYNAMICS VOL. 44, NO. 1, 2006, 65-81
97. NAGY RAMONA, **BOLTOSI** AL., 2006, SOME CONSIDERATIONS REGARDING COLLISION MODELS, ORADEA UNIVERSITY, FASCICLE OF MANAGEMENT AND TECHNOLOGICAL ENGINEERING, CD-ROM EDITION, VOL V (XV), ISSN 1583-0691
98. NAGY RAMONA, BOLTOSI AL., 2006, SOME CONSIDERATIONS REGARDING COLLISION MODELS, ORADEA UNIVERSITY, FASCICLE OF MANAGEMENT AND TECHNOLOGICAL ENGINEERING, CD-ROM EDITION, VOL V (XV), ISSN 1583-0691
99. NAGY RAMONA, **BOLTOSI** AL, BALTĂ ADRIANA, 2005, CONSIDERATION REGARDING THE IMPULSIVE FORCES AND DISTRIBUTIONS IN THE STUDY OF VIBROIMPACT. PROCEEDENG OF THE VIII - TH SYMPOSIUM, ACUSTICA ȘI VIBRAȚIILE STRUCTURILOR MECANICE, 26-27 MAI TIMIȘOARA, PG: 177-185, ISBN 973-625-238-8
100. NAGY RAMONA, BRÎNDEU L., **BOLTOSI** AL., 2005, IMPULSIVE FORCES AND DISTRIBUTIONS IN THE STUDY OF VIBROIMPACT MOTIONS, KUTATASI ES FEJLESZTESI TANACSKOZAS, GODOLO, NR. 29. ISBN 963-611-423-4.
101. NAGY, R., BERETEU, L., **BOLTOSI**, A., CHIRIAC, A., BIRÓ, I., CLUTCHES AND BRAKES, REALIZED WITH MAGNETO AND ELECTRO-RHEOLOGICAL FLUIDS, PROCEED. OF THE 31<sup>ST</sup> CONF. ON R & D IN AGRIC. ENGIN., GÖDÖLŐ, HUNGARY, CD EDITION, 2007, P.146-150, ISBN 963 611 423 6
102. NAGY, R., BERETEU, L., **BOLTOSI**, A., CHIRIAC, A., FLAT SIEVES FOR SEED SEPARATING, AS COMPLEX VIBRO-IMPACTING MECHANICAL SYSTEMS, PROCEED. OF THE 32<sup>ND</sup> CONF. ON R & D IN AGRIC. ENGIN., GÖDÖLŐ, HUNGARY, CD EDITION, 2008, P., ISBN 963 611 423 7

- 
103. NAGY, R., **BOLTOSI**, A., CHIRIAC, A., HEAT TRANSFER AT SMART FLUID DAMPERS, PROCEED. OF THE 10<sup>TH</sup> CONF. ON VEHICLE SYSTEM DYNAMICS, IDENTIFICATION AND ANOMALIES, BUDAPEST, HUNGARY, 2006
  104. NAGY, R., CHIRIAC, A., **BOLTOSI**, A., BERETEU, L., MOTION SIMULATION OF A VIBRATING DEVICE OF CRANK AND CONNECTING-ROD TYPE, ANALELE UNIV. DE VEST DIN TIMIȘOARA, VOL.XLIX, SER. FIZICĂ, 2007, P., ISSN:1224-9718
  105. NAGY, R., CHIRIAC, A., **BOLTOSI**, A., MAGNETO-RHEOLOGICAL FLUID (MRF) AND ELECTRO-RHEOLOGICAL FLUID (ERF) DEVICE MODELING, ANALELE UNIV. DE VEST DIN TIMIȘOARA, VOL.XLVIII, SER. FIZICĂ, 2006, P.191-197, ISSN:1224-9718
  106. NI, Y. Q., LIU, H. J., KO, J. M., (2002), EXPERIMENTAL INVESTIGATION ON SEISMIC RESPONSE CONTROL OF ADJACENT BUILDINGS USING SEMI-ACTIVE MR DAMPERS, SMART STRUCTURES AND MATERIALS: SMART SYSTEMS FOR BRIDGES, STRUCTURES AND HIGHWAYS, 4696, P. 334-344.
  107. NI, Y., Q., LIU, H., J., KO, J., M., (2002), EXPERIMENTAL INVESTIGATION ON SEISMIC RESPONSE CONTROL OF ADJACENT BUILDINGS USING SEMI-ACTIVE MR DAMPERS. SMART STRUCTURES AND MATERIALS: SMART SYSTEMS FOR BRIDGES, STRUCTURES AND HIGHWAYS, 4696, P. 334-344.
  108. PAWELCZAK DIETER, NUTZUNG INHARENTEIN MESSEFFEKTE VON AKTOREN UND METHODEN ZUR SENSORLOSEN POSITIONSMESSUNG IM BETRIEB, PH.D. THESIS, UNIVERSITAT DER BUNDESWEHR MUNCHEN
  109. PLANE-ELLIPTICAL MIRROR FURNACE FOR CRYSTAL GROWTH, S.NOVACONI, AL. BOLTOSI , R. BAIES , M. BARTAN , I. GROZESCU, FUNCTIONAL MATERIALS , VOL. 11, NO.4 ( 2004 ), PAG. 810-814
  110. PRELIMINARY RESULTS ON OBTAINING OF LANGASITE IN PHOTON FURNACE WITH MEDIA SEPARATION, AL.**BOLTOSI** , S. NOVACONI , R. BAIES, M. BARTAN, I. GROZESCU, MOLDAVIAN JOURNAL OF THE PHYSICAL SCIENCES, 2003,VOL.2,N 3-4, PAG.389 -392
  111. RAMONA NAGY, LIVIU BERETEU, ADRIAN CHIRIAC, ALEXANDRU **BOLTOSI**, CONSIDERATIONS ON SUSPENSION VIBRATION OF A ROAD VEHICLE, 11 TH CONFERENCE ON VEHICLE SYSTEM DYNAMICS, IDENTIFICATION AND ANOMALIES, VSDIA 2008, 10 - 12 NOVEMBER, 2008, BUDAPEST, HUNGARY
  112. RAMONA NAGY, LIVIU BERETEU, ADRIAN CHIRIAC, ALEXANDRU **BOLTOSI**, ENVIRONMENT NOISE IN INDUSTRIAL ZONES, ANNALS OF THE ORADEA UNIVERSITY, FASCICLE OF MANAGEMENT AND TECHNOLOGICAL ENGINEERING, VOLUME VII (XVII), 2008, CD-ROM EDITION
  113. RETTIG UWE, OSKAR VON STRYK, OPTIMAL AND ROBUST DAMPING CONTROL FOR SEMI-ACTIVE VEHICLE SUSPENSION, EUROMECH NONLINEAR DYNAMICS CONFERENCE, EINDHOVEN, THE NETHERLANDS, 2005
  114. RUTTEN S.H.L.A., 'SMART' MATERIALS IN AUTOMOTIVE APPLICATIONS, EINDHOVEN UNIVERSITY OF TECHNOLOGY
  115. SEDEH R. SHARIFI, AHMADIAN M. T., ELAHI A., AZAR R. SAEIDPOUR, APPLICATION OF DIFFERENT CONTROL APPROACHES TO THE DESIGN OF SEMI-ACTIVE SUSPENSION SYSTEMS, 13TH ANNUAL (INTERNATIONAL) MECHANICAL ENGINEERING CONFERENCE - MAY 2005, ISFAHAN UNIVERSITY OF TECHNOLOGY, ISFAHAN, IRAN.

116. SHEN, Y., GOLNARAGHI, M. F., HEPPLER, G. R., (2004), EXPERIMENTAL RESEARCH AND MODELING OF MAGNETORHEOLOGICAL ELASTOMERS, J. OF INTELLIGENT MATERIAL SYSTEMS AND STRUCTURES, VOL. 15, JANUARY, P. 27-35.
117. SJOERDSMA MICHAEL HENRI, CONTROLLING STRUCTURE BORNE NOISE IN AUTOMOBILES USING MAGNETORHEOLOGICAL COMPONENTS, SIMON FRASER UNIVERSITY, CANADA
118. SNYDER, R., A., WERELEY, N., M., (1999), CHARACTERIZATION OF A MAGNETORHEOLOGICAL FLUID DAMPER USING A QUASI-STEADY MODEL. PROCEEDINGS OF SPIE - THE INTERNATIONAL SOCIETY FOR OPTICAL ENGINEERING, 3668, I, P. 507-519.
119. STIEBEL C., JANOWA H., 6 KV POWER AMPLIFIER DESIGNED FOR ACTUATORS WITH ELECTRORHEOLOGICAL (ER) FLUIDS
120. TAN XIAOBO, BARAS JOHN S., MODELING AND CONTROL OF A MAGNETOSTRICTIVE ACTUATOR, CDCSS TR 2002-3 (ISR TR 2002-8)
121. THE MECHANICAL SYSTEMS DESIGN HANDBOOK, MODELING, MEASUREMENT AND CONTROL, CRC PRESS, 2002
122. TSAMPARDOUKAS G., STAMMERS C. W., GUGLIELMINO E., SEMI-ACTIVE CONTROL OF A PASSENGER VEHICLE FOR IMPROVED RIDE AND HANDLING, PROC. IMECE VOL. 222 PART D: J. AUTOMOBILE ENGINEERING, 2008
123. UNSAL, M., CRANE, C., NIEZRECKI, C., (2006), VIBRATION CONTROL OF PARALLEL PLATFORMS BASED ON MAGNETORHEOLOGICAL DAMPING, FCRAR 2006, MIAMI, FLORIDA, 1-6.
124. UNSAL, M., CRANE, C., NIEZRECKI, C., (2006), VIBRATION CONTROL OF PARALLEL PLATFORMS BASED ON MAGNETORHEOLOGICAL DAMPING, FLORIDA CONFERENCE ON RECENT ADVANCES IN ROBOTICS, FCRAR.
125. VITRANI M. A., NIKITCZUK J., MOREL G., MAVROIDIS C., WEINBERG B., TORQUE CONTROL OF ELECTRORHEOLOGICAL FLUIDIC RESISTIVE ACTUATORS FOR HAPTIC VEHICULAR INSTRUMENT CONTROLS, TRANSACTIONS OF THE ASME, VOL. 128, JUNE 2006, 216-226
126. WEINBERG B., NIKITCZUK J., FISCH A., MAVROIDIS C., DEVELOPMENT OF ELECTRO-RHEOLOGICAL FLUIDIC RESISTIVE ACTUATORS FOR HAPTIC VEHICULAR INSTRUMENT CONTROLS, SMART MATER. STRUCT. 14 (2005) 1107-1119
127. WU JIAN-DA, LIN CHIH-JER, KUO KUN-YIN, A STUDY OF SEMI-ACTIVE VIBRATION CONTROL FOR VEHICLE SUSPENSION SYSTEM USING AN ADJUSTABLE SHOCK ABSORBER, JOURNAL OF LOW FREQUENCY NOISE, VIBRATION AND ACTIVE CONTROL, VOL. 27 NO. 3 2008, 219 – 235
128. WWW.GICA.RO
129. WWW.VIBRATIONMOUNTS.COM TECHNICAL SECTION: VIBRATION AND SHOCK ISOLATION.
130. XUE WEI, PYLE ROB, OPTIMAL DESIGN OF ROLLER ONE WAY CLUTCH FOR STARTER DRIVES, SAE WORLD CONGRESS DETROIT, MICHIGAN, 2004
131. YALCINTAS, M., (1999), MAGNETORHEOLOGICAL FLUID BASED TORQUE TRANSMISSION CLUTCHES. PROCEEDINGS OF THE INTERNATIONAL OFFSHORE AND POLAR ENGINEERING CONFERENCE, 4, P. 563-569.
132. ZIPSER L., RICHTER L., LANGE U., MAGNETORHEOLOGIC FLUIDS FOR ACTUATORS, SENSORS AND ACTUATORS A 92 (2001) 318-325
133. ZSCHUNKEN FLORIAN, AKTOREN AUF BASIS DES MAGNETORHEOLOGISCHEN EFFEKTEN, PH.D. THESIS, DER TECHNISCHEN FAKULTÄT DER UNIVERSITÄT ERLANGEN-NÜRNBERG, 2005



## Anexa 1

Table 1. Proprietățile cauciucului comparativ cu ale altor materiale conexe

| MATERIALE<br>(Abrevieri)                     | Butyl    | Ethylene<br>Propylene | Hypalon   | Natural<br>Rubber | Neoprene<br>(Chlofo-<br>prene) | Nitrol<br>(GR-A) | Silicone  | Styrene<br>Butadiene<br>(GR-S) | Urethane  | Flouro-<br>Elastomer<br>(Viton) |
|----------------------------------------------|----------|-----------------------|-----------|-------------------|--------------------------------|------------------|-----------|--------------------------------|-----------|---------------------------------|
|                                              | HR       | EPT                   | CSM       | NR                | CR                             | NBR              | SI        | SBR                            | PU        | HK                              |
| <b>Cost relativ pentru cauciucul natural</b> | 110%     | 110%                  | 150%      | 100%              | 110%                           | 125%             | 850%      | 85%                            | 450%      | 2000%                           |
| <b>Durometru</b>                             | 40-75    | 30-100                | 55-95     | 30-90             | 30-90                          | 40-95            | 45-85     | 40-90                          | 65-95     | 50-90                           |
| <b>Elongatia</b>                             | accept   | bun                   | accept    | excellent         | excellent                      | bun              | accept    | bun                            | bun       | bun                             |
| <b>Îmbătrânire</b>                           | excelent | excelent              | excelent  | bun               | excelent                       | excelent         | excellent | bun                            | excelent  | excelent                        |
| <b>Îmbătrânirea la căldură</b>               | excelent | excelent              | bun       | bun               | foarte bun                     | excelent         | excellent | bun                            | excelent  | excelent                        |
| <b>Îmbătr. la căldură solară</b>             | bun      | excellent             | excellent | slab              | bun                            | slab             | bun       | slab                           | excellent | excellent                       |
| <b>Rezist. la uleiuri de lubrificiere</b>    | slab     | slab                  | bun       | slab              | bun                            | excellent        | accept    | slab                           | bun       | bun                             |
| <b>Rezist. la uleiuri aromatice</b>          | slab     | slab                  | slab      | slab              | accept                         | bun              | slab      | slab                           | bun       | bun                             |
| <b>Rezist. la uleiuri veget și animal</b>    | excelent | slab                  | bun       | accept            | excellent                      | bun              | bun       | accept                         | accept    | bun                             |
| <b>Rezistența la foc</b>                     | slab     | slab                  | excellent | slab              | bun                            | slab             | accept    | slab                           | slab      | bun                             |
| <b>Rezistența la uzură</b>                   | bun      | bun                   | excellent | bun               | bun                            | accept           | slab      | accept                         | excellent | accept                          |
| <b>Rezistența la abraziune</b>               | bun      | bun                   | excellent | excellent         | excellent                      | bun              | slab      | bun                            | excellent | accept                          |
| <b>Rezistența la compresiune</b>             | accept   | accept                | bun       | slab              | accept                         | bun              | accept    | accept                         | accept    | excellent                       |
| <b>Permeabilitatea la gaze</b>               | F.scăzut | bun                   | bun       | accept            | scăzut                         | accept           | accept    | accept                         | bun       | excellent                       |
| <b>Izolare electrică</b>                     | bun      | bun                   | bun       | excellent         | accept                         | slab             | bun       | excellent                      | accept    | bun                             |
| <b>Degajare Miros</b>                        | bun      | accept                | excellent | excellent         | bun                            | accept           | accept    | accept                         | bun       | accept                          |
| <b>Temperatura maximă (OF)</b>               | 250      | 300                   | 250       | 210               | 260                            | 260              | 600       | 215                            | 250       | 500                             |
| <b>Temperatura minimă (OF)</b>               | -50      | -50                   | -50       | -65               | -50                            | -60              | -150      | -60                            | -60       | -40                             |

Table 2. Proprietăți de bază pentru cinci tipuri de cauciuc natural

| Proprietăți/Tip                                                                                    | R-325-BFK | R430-8FK | R-530-BFK | R-630-8FK | R-725-BFK |
|----------------------------------------------------------------------------------------------------|-----------|----------|-----------|-----------|-----------|
| <b>Modul de forfecare [lb.sq]</b>                                                                  | 50        | 70       | 95        | 140       | 195       |
| <b>Decremetul logaritic al amplitudinii (în baza 10)</b>                                           | 0.41      | 0.055    | 0.14      | 0.23      | 0.35      |
| <b>Raportul amplitudinilor succesive</b>                                                           | 0.91      | 0.88     | 0.72      | 0.59      | 0.45      |
| <b>Procentul energiei pierdute datorat fenomenului de histerezis, pentru un ciclu al vibrației</b> | 17        | 22       | 47        | 65        | 80        |
| <b>Caldura specifică</b>                                                                           | 0.47      | 0.43     | 0.40      | 0.38      | 0.35      |
| <b>Conductivitatea termică</b>                                                                     | 0.97      | 1.04     | 1.08      | 1.15      | 1.26      |
| <b>Viteza sunetului [ft/sec]</b>                                                                   | 115       | 165      | 210       | 345       | 750       |

## Anexa 2

### Modelul I

% Calcul coordonate pendul

% Alfa initial pendul = 12,5 grade

alfa = 12.5\*pi/180; % Alfa in radiani

% Dimensiuni in metri, kilograme

% Coord. centru de greutate palca mare M

M = 38.86; % Masa in kg

x\_M = (0.625+0.340/2)\*sin(alfa);

y\_M = (0.625+0.340/2)\*cos(alfa);

% Coord. centru de greutate masa ajustabila m

m = 12.2; % Masa in kg

x\_m = (0.625\*sin(alfa) + 0.740\*cos(alfa));

y\_m = (0.625\*cos(alfa) - 0.740\*sin(alfa));

% Coord. centru de greutate palca mare + masa ajustabila B

x\_B = (m\*x\_m + M\*x\_M)/(m + M);

y\_B = (m\*y\_m + M\*y\_M)/(m + M);

% Coord. centru de greutate piston amortizor E

x\_E = 0.170\*sin(alfa) - 0.100;

y\_E = 0.170\*cos(alfa);

% Coord. centru de greutate cilindru amortizor D

x\_D = 0.170\*sin(alfa) - 0.150;

y\_D = 0.170\*cos(alfa);

% Coord. articulatie O

x\_O = 0;

y\_O = 0;

% Coord. articulatie A

x\_A = 0.170\*sin(alfa);

y\_A = 0.170\*cos(alfa);

% Coord. articulatie C

x\_C = 0.170\*sin(alfa) - 0.210;

y\_C = 0.170\*cos(alfa);

% Coord. articulatie F

x\_F = 0.199\*sin(alfa);

y\_F = 0.199\*cos(alfa);

```
% Plotare diagrame
figure
plot(tout,depl_piston,'k')
title('Deplasare piston. Coef. de amortizare: b = 6311.4')
ylabel('Deplasare [m]')
xlabel('Timp [s]')
grid on
figure
plot(tout,forta_piston,'k')
title('Fortă piston. Coef. de amortizare: b = 6311.4')
ylabel('Fortă [N]')
xlabel('Timp [s]')
grid on
figure
plot(tout,trad_tens_f,'k')
title('Fortă arc lamelar. Coef. de amortizare: b = 6311.4')
ylabel('Fortă [N]')
xlabel('Timp [s]')
grid on
save b depl_piston forta_piston tout trad_tens_f

% Plotare diagrama suprapusa forta arc lamelar

% figure
% load a512
% plot(tout,trad_tens_f,'k')
% hold on
% load a1092
% plot(tout,trad_tens_f-100,'k')
% load a1672
% plot(tout,trad_tens_f-200,'k')
% load a2252
% plot(tout,trad_tens_f-300,'k')
% load a2832
% plot(tout,trad_tens_f-400,'k')
% load a3412
% plot(tout,trad_tens_f-500,'k')
% load a3992
% plot(tout,trad_tens_f-600,'k')
% load a4571
% plot(tout,trad_tens_f-700,'k')
% load a5151
% plot(tout,trad_tens_f-800,'k')
% load a5731
% plot(tout,trad_tens_f-900,'k')
% load a6311
% plot(tout,trad_tens_f-1000,'k')
% title('Fortă arc lamelar.')
% ylabel('Fortă [N]')
% xlabel('Timp [s]')
% grid on

% Plotare diagrama suprapusa forta piston

% figure
% load a512
% plot(tout,forta_piston,'k')
```

```
% hold on
% load a1092
% plot(tout,forta_piston-100,'k')
% load a1672
% plot(tout,forta_piston-200,'k')
% load a2252
% plot(tout,forta_piston-300,'k')
% load a2832
% plot(tout,forta_piston-400,'k')
% load a3412
% plot(tout,forta_piston-500,'k')
% load a3992
% plot(tout,forta_piston-600,'k')
% load a4571
% plot(tout,forta_piston-700,'k')
% load a5151
% plot(tout,forta_piston-800,'k')
% load a5731
% plot(tout,forta_piston-900,'k')
% load a6311
% plot(tout,forta_piston-1000,'k')
%
% title('Forta piston.')
% ylabel('Forta [N]')
% xlabel('Timp [s]')
% grid on

% Plotare diagrama suprapusa deplasare piston

% figure
% load a512
% plot(tout,-1*depl_piston,'k')
% hold on
% load a1092
% plot(tout,depl_piston-0.01,'k')
% load a1672
% plot(tout,depl_piston-0.02,'k')
% load a2252
% plot(tout,depl_piston-0.03,'k')
% load a2832
% plot(tout,depl_piston-0.04,'k')
% load a3412
% plot(tout,depl_piston-0.05,'k')
% load a3992
% plot(tout,depl_piston-0.06,'k')
% load a4571
% plot(tout,depl_piston-0.07,'k')
% load a5151
% plot(tout,depl_piston-0.08,'k')
% load a5731
% plot(tout,depl_piston-0.09,'k')
% load a6311
% plot(tout,depl_piston-0.1,'k')
%
% title('Deplasare piston.')
% ylabel('Deplasare [m]')
% xlabel('Timp [s]')
% grid on
```

```
Model {
    Name          "pendul_model_LORD_RD1005_A"
    Version       7.1
    MdlSubVersion 0
    GraphicalInterface {
        NumRootImports      0
        NumRootOutports     0
        ParameterArgumentNames ""
        ComputedModelVersion "1.240"
        NumModelReferences   0
        NumTestPointedSignals 0
    }
    Description      "Simple Pendulum\n\nA rod swinging in gravity by one revolute
joint. Scope shows angle and angular velocity. XY Graph shows model phase space."
    SavedCharacterEncoding "US-ASCII"
    SaveDefaultBlockParams on
    SampleTimeColors off
    LibraryLinkDisplay "none"
    WideLines off
    ShowLineDimensions off
    ShowPortDataTypes off
    ShowLoopsOnError on
    IgnoreBidirectionalLines off
    ShowStorageClass off
    ShowTestPointIcons on
    ShowSignalResolutionIcons on
    ShowViewerIcons on
    SortedOrder off
    ExecutionContextIcon off
    ShowLinearizationAnnotations on
    ScopeRefreshTime 0.035000
    OverrideScopeRefreshTime on
    DisableAllScopes off
    DataTypeOverride "UseLocalSettings"
    MinMaxOverflowLogging "UseLocalSettings"
    MinMaxOverflowArchiveMode "Overwrite"
    BlockNameDataTip off
    BlockParametersDataTip off
    BlockDescriptionStringDataTip off
    ToolBar on
    StatusBar on
    BrowserShowLibraryLinks off
    BrowerLookUnderMasks off
    Created "Thu Oct 11 21:32:10 2001"
    Creator "arnav"
    UpdateHistory "UpdateHistoryNever"
    ModifiedByFormat "%<Auto>"
    LastModifiedBy "Tibi"
    ModifiedDateFormat "%<Auto>"
    LastModifiedDate "Fri Sep 18 09:47:16 2009"
    RTWModifiedTimeStamp 0
    ModelVersionFormat "1.%<AutoIncrement:240>"
    ConfigurationManager "None"
    UserBdParams
    "PhysicalModelingChecksum;PhysicalModelingParameterChecksum;PhysicalModelingProducts;"
```

```

SimulationMode "normal"
LinearizationMsg "none"
Profile off
ParamWorkspaceSource "MATLABWorkspace"
AccelSystemTargetFile "accel.tlc"
AccelTemplateMakefile "accel_default_tmf"
AccelMakeCommand "make_rtw"
TryForcingSFcnDF off
RecordCoverage off
CovPath "/"
CovSaveName "covdata"
CovMetricSettings "dw"
CovNameIncrementing off
CovHtmlReporting on
covSaveCumulativeToWorkspaceVar on
CovSaveSingleToWorkspaceVar on
CovCumulativeVarName "covCumulativeData"
CovCumulativeReport off
CovReportOnPause on
CovModelRefEnable "Off"
ExtModeBatchMode off
ExtModeEnableFloating on
ExtModeTrigType "manual"
ExtModeTrigMode "normal"
ExtModeTrigPort "1"
ExtModeTrigElement "any"
ExtModeTrigDuration 1000
ExtModeTrigDurationFloating "auto"
ExtModeTrigHoldOff 0
ExtModeTrigDelay 0
ExtModeTrigDirection "rising"
ExtModeTrigLevel 0
ExtModeArchiveMode "off"
ExtModeAutoIncOneShot off
ExtModeIncDirWhenArm off
ExtModeAddSuffixToVar off
ExtModeWriteAllDataToWs off
ExtModeArmWhenConnect on
ExtModeSkipDownloadWhenConnect off
ExtModeLogAll on
ExtModeAutoUpdateStatusClock off
BufferReuse on
ShowModelReferenceBlockVersion off
ShowModelReferenceBlockIO off
Array {
    Type "Handle"
    Dimension 1
    Simulink.ConfigSet {
        $ObjectID 1
        Version "1.4.0"
        Array {
            Type "Handle"
            Dimension 8
            Simulink.SolverCC {
                $ObjectID 2
                Version "1.4.0"
                StartTime "0.0"
                StopTime "5"
}
}
}
}

```

---

```

AbsTol           "1e-8"
FixedStep         "auto"
InitialStep       "auto"
MaxNumMinSteps   "-1"
MaxOrder          5
ZcThreshold      "auto"
ConsecutiveZCsStepRelTol "10*128*eps"
MaxConsecutiveZCs "1000"
ExtrapolationOrder 4
NumberNewtonIterations 1
MaxStep           "auto"
MinStep           "auto"
MaxConsecutiveMinStep "1"
RelTol            "1e-5"
SolverMode        "Auto"
Solver             "ode45"
SolverName        "ode45"
ShapePreserveControl "DisableAll"
ZeroCrossControl   "UseLocalSettings"
ZeroCrossAlgorithm "Non-adaptive"
AlgebraicLoopSolver "TrustRegion"
SolverResetMethod "Fast"
PositivePriorityOrder off
AutoInsertRateTranBlk off
SampleTimeConstraint "Unconstrained"
InsertRTBMode     "Whenever possible"
}
Simulink.DataIOCC {
$ObjectID          3
Version            "1.4.0"
Decimation          "1"
ExternalInput        "[t, u]"
FinalStateName      "xFinal"
InitialState        "xInitial"
LimitDataPoints    on
MaxDataPoints       "1000"
LoadExternalInput   off
LoadInitialState    off
SaveFinalState     off
SaveFormat          "Array"
SaveOutput          on
SaveState           off
SignalLogging       on
InspectSignalLogs   off
SaveTime            on
StateSaveName       "xout"
TimeSaveName        "tout"
OutputSaveName      "yout"
SignalLoggingName   "sigsOut"
OutputOption         "RefineOutputTimes"
OutputTimes          "[]"
Refine              "1"
}
Simulink.OptimizationCC {
$ObjectID          4
Array {
Type               "Cell"
Dimension          5
}

```

```

Cell           "ZeroExternalMemoryAtStartup"
Cell           "ZeroInternalMemoryAtStartup"
Cell           "InitFltsAndDblsToZero"
Cell           "OptimizeModelRefInitCode"
Cell           "NoFixptDivByZeroProtection"
PropName       "DisabledProps"
}
Version        "1.4.0"
BlockReduction on
BooleanDataType off
ConditionallyExecuteInputs on
InlineParams   off
InlineInvariantSignals on
OptimizeBlockIOStorage on
BufferReuse    on
EnhancedBackFolding off
EnforceIntegerDowncast on
ExpressionFolding on
ExpressionDepthLimit 2147483647
FoldNonRolledExpr on
LocalBlockOutputs on
RollThreshold   5
SystemCodeInlineAuto off
StateBitsets   off
DataBitsets    off
UseTempVars   off
ZeroExternalMemoryAtStartup on
ZeroInternalMemoryAtStartup on
InitFltsAndDblsToZero  on
NoFixptDivByZeroProtection off
EfficientFloat2IntCast off
OptimizeModelRefInitCode off
LifeSpan       "inf"
BufferReusableBoundary on
SimCompilerOptimization "Off"
AccelVerboseBuild off
}
Simulink.DebuggingCC {
$ObjectID      5
Version         "1.4.0"
RTPrefix        "error"
ConsistencyChecking "none"
ArrayBoundsChecking "none"
SignalInfNanChecking "none"
SignalRangeChecking "none"
ReadBeforeWriteMsg "UseLocalSettings"
WriteAfterWriteMsg "UseLocalSettings"
WriteAfterReadMsg "UseLocalSettings"
AlgebraicLoopMsg "warning"
ArtificialAlgebraicLoopMsg "warning"
SaveWithDisabledLinksMsg "warning"
SaveWithParameterizedLinksMsg "none"
CheckSSInitialOutputMsg on
CheckExecutionContextPreStartOutputMsg on
CheckExecutionContextRuntimeOutputMsg on
SignalResolutionControl "TryResolveAllWithWarning"
BlockPriorityViolationMsg "warning"
MinStepSizeMsg  "warning"

```

---

```

TimeAdjustmentMsg      "none"
MaxConsecutiveZCsMsg   "error"
SolverPrmCheckMsg     "none"
InheritedTsInSrcMsg   "warning"
DiscreteInheritContinuousMsg "warning"
MultiTaskDSMMsg        "warning"
MultiTaskCondExecSysMsg "none"
MultiTaskRateTransMsg  "error"
SingleTaskRateTransMsg "none"
TasksWithSamePriorityMsg "warning"
SigSpecEnsureSampleTimeMsg "none"
CheckMatrixSingularityMsg "none"
IntegerOverflowMsg     "warning"
Int32ToFloatConvMsg    "warning"
ParameterDowncastMsg   "error"
ParameterOverflowMsg   "error"
ParameterUnderflowMsg  "none"
ParameterPrecisionLossMsg "warning"
ParameterTunabilityLossMsg "warning"
UnderSpecifiedDataTypeMsg "none"
UnnecessaryDatatypeConvMsg "none"
VectorMatrixConversionMsg "none"
InvalidFcnCallConnMsg  "error"
FcnCallInpInsideContextMsg "Use local settings"
SignalLabelMismatchMsg "none"
UnconnectedInputMsg    "warning"
UnconnectedOutputMsg   "warning"
UnconnectedLineMsg     "warning"
SFcnCompatibilityMsg   "none"
UniqueDataStoreMsg     "none"
BusObjectLabelMismatch "warning"
RootOutportRequireBusObject "warning"
AssertControl          "UseLocalSettings"
EnableOverflowDetection off
ModelReferenceIOMsg    "none"
ModelReferenceVersionMismatchMessage "none"
ModelReferenceIOMismatchMessage "none"
ModelReferenceCSMismatchMessage "none"
ModelReferenceSimTargetVerbose off
UnknownTsInhSupMsg    "warning"
ModelReferenceDataLoggingMessage "warning"
ModelReferenceSymbolNameMessage "warning"
ModelReferenceExtraNoncontSigs "error"
StateNameClashWarn     "warning"
StrictBusMsg           "None"
LoggingUnavailableSignals "error"
BlockIODiagnostic      "none"
}
Simulink.HardwareCC {
$ObjectID             6
Version               "1.4.0"
ProdBitPerChar         8
ProdBitPerShort        16
ProdBitPerInt          32
ProdBitPerLong         32
ProdIntDivRoundTo     "Undefined"
ProdEndianess          "Unspecified"
ProdWordSize           32

```

```

ProdShiftRightIntArith on
ProdHwDeviceType      "32-bit Generic"
TargetBitPerChar       8
TargetBitPerShort      16
TargetBitPerInt        32
TargetBitPerLong        32
TargetShiftRightIntArith on
TargetIntDivRoundTo    "Undefined"
TargetEndianess         "LittleEndian"
TargetWordSize          32
TargetTypeEmulationWarnSuppressLevel 0
TargetPreprocMaxBitsSint 32
TargetPreprocMaxBitsUint 32
TargetHwDeviceType      "MATLAB Host"
TargetUnknown           off
ProdEqTarget            off
}
Simulink.ModelReferenceCC {
$ObjectID               7
Version                  "1.4.0"
UpdateModelReferenceTargets "IfOutOfDateOrStructuralChange"
CheckModelReferenceTargetMessage "error"
ModelReferenceNumInstancesAllowed "Multi"
ModelReferenceSigSizeVariationType "Always allowed"
ModelReferencePassRootInputsByReference on
ModelReferenceMinAlgLoopOccurrences off
}
Simulink.RTWCC {
$BackupClass             "Simulink.RTWCC"
$ObjectID                8
Array {
Type                   "Cell"
Dimension              1
Cell                   "IncludeHyperlinkInReport"
PropName                "DisabledProps"
}
Version                 "1.4.0"
SystemTargetFile        "rsim.tlc"
GenCodeOnly              off
MakeCommand              "make_rtw"
GenerateMakefile         on
TemplateMakefile        "rsim_default_tmf"
Description              "Rapid Simulation Target"
GenerateReport           off
SaveLog                 off
RTWVerbose              on
RetainRTWFile           off
ProfileTLC              off
TLCDebug                off
TLCCoverage              off
TLCAssert                off
ProcessScriptMode        "Default"
ConfigurationMode        "Optimized"
ProcessScript             "rsim_make_rtw_hook"
ConfigAtBuild             off
IncludeHyperlinkInReport off
LaunchReport              off
TargetLang                "C"

```

```

IncludeBusHierarchyInRTWFileBlockHierarchyMap off
IncludeERTFirstTime on
GenerateTraceInfo off
GenerateTraceReport off
GenerateTraceReportSI off
GenerateTraceReportSF off
GenerateTraceReportEML off
GenerateCodeInfo off
RTWCompilerOptimization "Off"
Array {
    Type          "Handle"
    Dimension    2
    Simulink.CodeAppCC {
        $ObjectID      9
        Array {
            Type          "Cell"
            Dimension    16
            Cell          "IgnoreCustomStorageClasses"
            Cell          "InsertBlockDesc"
            Cell          "SFDATAObjDesc"
            Cell          "SimulinkDataObjDesc"
            Cell          "DefineNamingRule"
            Cell          "SignalNamingRule"
            Cell          "ParamNamingRule"
            Cell          "InlinedPrmAccess"
            Cell          "CustomSymbolStr"
            Cell          "CustomSymbolStrGlobalVar"
            Cell          "CustomSymbolStrType"
            Cell          "CustomSymbolStrField"
            Cell          "CustomSymbolStrFcn"
            Cell          "CustomSymbolStrBlkIO"
            Cell          "CustomSymbolStrTmpVar"
            Cell          "CustomSymbolStrMacro"
            PropName      "DisabledProps"
        }
        Version      "1.4.0"
        ForceParamTrailComments off
        GenerateComments on
        IgnoreCustomStorageClasses on
        IncHierarchyInIds off
        MaxIdLength   31
        PreserveName   off
        PreserveNameWithParent off
        ShowEliminatedStatement off
        IncAutoGenComments off
        SimulinkDataObjDesc off
        SFDATAObjDesc off
        IncDataTypeInIds off
        MangleLength   1
        CustomSymbolStrGlobalVar "$R$N$M"
        CustomSymbolStrType   "$N$R$M"
        CustomSymbolStrField  "$N$M"
        CustomSymbolStrFcn   "$R$N$M$F"
        CustomSymbolStrBlkIO  "rtb_-$N$M"
        CustomSymbolStrTmpVar "$N$M"
        CustomSymbolStrMacro  "$R$N$M"
        DefineNamingRule   "None"
        ParamNamingRule   "None"
    }
}

```

```

SignalNamingRule      "None"
InsertBlockDesc       off
SimulinkBlockComments on
EnableCustomComments off
InlinedPrmAccess     "Literals"
ReqsInCode           off
}
RTW.RSimTargetCC {
    $BackupClass      "Simulink.TargetCC"
    $ObjectID         10
    Array {
        Type          "Cell"
        Dimension     13
        Cell           "IncludeMdlTerminateFcn"
        Cell           "CombineOutputUpdateFcns"
        Cell           "SuppressErrorStatus"
        Cell           "ERTCustomFileBanners"
        Cell           "GenerateSampleERTMain"
        Cell           "GenerateTestInterfaces"
        Cell           "MultiInstanceERTCode"
        Cell           "PurelyIntegerCode"
        Cell           "SupportNonFinite"
        Cell           "SupportComplex"
        Cell           "SupportAbsoluteTime"
        Cell           "SupportContinuousTime"
        Cell           "SupportNonInlinedSFcns"
        PropName       "DisabledProps"
    }
    Version          "1.4.0"
    TargetFcnLib     "ansi_tfl_tmw.mat"
    TargetLibSuffix   ""
    TargetPreCompLibLocation ""
    TargetFunctionLibrary "ANSI_C"
    UtilityFuncGeneration "Auto"
    GenerateFullHeader on
    GenerateSampleERTMain off
    GenerateTestInterfaces off
    IsPILTarget      off
    ModelReferenceCompliant on
    CompOptLevelCompliant on
    IncludeMdlTerminateFcn on
    CombineOutputUpdateFcns off
    SuppressErrorStatus off
    ERTFirstTimeCompliant off
    IncludeFileDelimiter "Auto"
    ERTCustomFileBanners off
    SupportAbsoluteTime on
    LogVarNameModifier "rt_"
    MatFileLogging    on
    MultiInstanceERTCode off
    SupportNonFinite   on
    SupportComplex     on
    PurelyIntegerCode off
    SupportContinuousTime on
    SupportNonInlinedSFcns on
    EnableShiftOperators on
    ParenthesesLevel   "Nominal"
    PortableWordSizes off
}

```

---

```

        ModelStepFunctionPrototypeControlCompliant off
        AutosarCompliant      off
        RSIM_SOLVER_SELECTION "Auto"
        ExtMode          off
        ExtModeTransport    0
        ExtModeStaticAlloc   off
        ExtModeStaticAllocSize 1000000
        ExtModeTesting      off
        ExtModeMexFile       "ext_comm"
        ExtModeIntrfLevel    "Level1"
        RSIM_PARAMETER_LOADING on
        RSIM_STORAGE_CLASS_AUTO on
        RTWCAPISignals      off
        RTWCAPIParams        off
        RTWCAPIStates        off
    }
    PropName           "Components"
}
}
SSC.SimscapeCC {
    $ObjectID         11
    Array {
        Type            "Cell"
        Dimension       1
        Cell             "Name"
        PropName        "DisabledProps"
    }
    Array {
        Type            "Handle"
        Dimension       1
        MECH.SimMechanicsCC {
            $ObjectID      12
            Version         "1.4.0"
            Name            "SimMechanics"
            WarnOnRedundantConstraints on
            WarnOnSingularInitialAssembly off
            ShowCutJoints    off
            VisOnUpdateDiagram on
            VisDuringSimulation on
        }
        PropName        "Components"
    }
    Name             "Simscape"
    EditingMode      "Full"
    Version          "1.0"
}
PropName        "Components"
}
Name            "Configuration"
CurrentDlgPage "Solver"
}
PropName        "ConfigurationSets"
}
Simulink.ConfigSet {
    $PropName        "ActiveConfigurationSet"
    $ObjectId        1
}
PhysicalModelingChecksum "481191792"

```

```

PhysicalModelingParameterChecksum "4282125885"
PhysicalModelingProducts "SimMechanics"
BlockDefaults {
    Orientation          "right"
    ForegroundColor      "black"
    BackgroundColor     "white"
    DropShadow           off
    NamePlacement        "normal"
    FontName             "Helvetica"
    FontSize              10
    FontWeight           "normal"
    FontAngle             "normal"
    ShowName              on
}
BlockParameterDefaults {
    Block {
        BlockType          Actuator
        SubClassName        "unknown"
        PortType            "blob"
    }
    Block {
        BlockType          Demux
        Outputs              "4"
        DisplayOption       "none"
        BusSelectionMode    off
    }
    Block {
        BlockType          From
        IconDisplay         "Tag"
        TagVisibility       "local"
    }
    Block {
        BlockType          Fcn
        Expr                "sin(u[1])"
        SampleTime          "-1"
    }
    Block {
        BlockType          Gain
        Gain                "1"
        Multiplication      "Element-wise(K.*u)"
        ParamMin            "[ ]"
        ParamMax            "[ ]"
        ParameterDataTypeMode "Same as input"
        ParameterDataType   "fixdt(1,16,0)"
        ParameterScalingMode "Best Precision: Matrix-wise"
        ParameterScaling     "[ ]"
        ParamDataTypeStr    "Inherit: Same as input"
        OutMin               "[ ]"
        OutMax               "[ ]"
        OutDataTypeMode      "Same as input"
        OutDataType          "fixdt(1,16,0)"
        OutScaling            "[ ]"
        OutDataTypeStr       "Inherit: Same as input"
        LockScale             off
        RndMeth              "Floor"
        SaturateOnIntegerOverflow on
        SampleTime           "-1"
    }
}

```

```
Block {
    BlockType      Goto
    IconDisplay   "Tag"
}
Block {
    BlockType      Ground
}
Block {
    BlockType      Import
    Port          "1"
    UseBusObject  off
    BusObject     "BusObject"
    BusOutputAsStruct off
    PortDimensions "-1"
    SampleTime    "-1"
    OutMin        "[]"
    OutMax        "[]"
    DataType      "auto"
    OutDataType   "fixdt(1,16,0)"
    OutScaling    "[]"
    OutDataTypeStr "Inherit: auto"
    SignalType    "auto"
    SamplingMode   "auto"
    LatchByDelayingOutsideSignal off
    LatchByCopyingInsideSignal off
    Interpolate   on
}
Block {
    BlockType      Integrator
    ExternalReset  "none"
    InitialConditionSource "internal"
    InitialCondition  "0"
    LimitOutput    off
    UpperSaturationLimit "inf"
    LowerSaturationLimit "-inf"
    ShowSaturationPort off
    ShowStatePort   off
    AbsoluteTolerance "auto"
    IgnoreLimit    off
    ZeroCross      on
    ContinuousStateAttributes "''''"
}
Block {
    BlockType      Mux
    Inputs         "4"
    DisplayOption  "none"
    UseBusObject   off
    BusObject      "BusObject"
    NonVirtualBus off
}
Block {
    BlockType      Outport
    Port          "1"
    UseBusObject  off
    BusObject     "BusObject"
    BusOutputAsStruct off
    PortDimensions "-1"
    SampleTime    "-1"
```

```

OutMin          "[]"
OutMax          "[]"
DataType        "auto"
OutDataType     "fixdt(1,16,0)"
OutScaling       "[]"
OutDataTypeStr  "Inherit: auto"
SignalType      "auto"
SamplingMode    "auto"
OutputWhenDisabled "held"
InitialOutput   "[]"
}
Block {
  BlockType      PMComponent
  SubClassName   "unknown"
}
Block {
  BlockType      Scope
  ModelBased    off
  TickLabels    "OneTimeTick"
  ZoomMode      "on"
  Grid          "on"
  TimeRange     "auto"
  YMin          "-5"
  YMax          "5"
  SaveToWorkspace off
  SaveName      "ScopeData"
  LimitDataPoints on
  MaxDataPoints "5000"
  Decimation    "1"
  SampleInput    off
  SampleTime     "-1"
}
Block {
  BlockType      Selector
  NumberOfDimensions "1"
  IndexMode      "One-based"
  InputPortWidth "-1"
  SampleTime     "-1"
}
Block {
  BlockType      Sensor
  SubClassName   "unknown"
  PortType       "blob"
}
Block {
  BlockType      "S-Function"
  FunctionName   "system"
  SFunctionModules ""
  PortCounts     "[]"
  SFunctionDeploymentMode off
}
Block {
  BlockType      SubSystem
  ShowPortLabels "FromPortIcon"
  Permissions    "ReadWrite"
  PermitHierarchicalResolution "All"
  TreatAsAtomicUnit off
  CheckFcnCallInpInsideContextMsg off
}

```

```

SystemSampleTime      "-1"
RTWFcnNameOpts       "Auto"
RTWFileNameOpts       "Auto"
RTWMemSecFuncInitTerm "Inherit from model"
RTWMemSecFuncExecute  "Inherit from model"
RTWMemSecDataConstants "Inherit from model"
RTWMemSecDataInternal  "Inherit from model"
RTWMemSecDataParameters "Inherit from model"
SimViewingDevice      off
DataTypeOverride       "UseLocalSettings"
MinMaxOverflowLogging "UseLocalSettings"
}
Block {
    BlockType          Sum
    IconShape          "rectangular"
    Inputs              "+"
    CollapseMode        "All dimensions"
    CollapseDim         "1"
    InputSameDT         on
    AccumDataTypeStr   "Inherit: Inherit via internal rule"
    OutMin              "[]"
    OutMax              "[]"
    OutDataTypeMode     "Same as first input"
    OutDataType          "fixdt(1,16,0)"
    OutScaling           "[]"
    OutDataTypeStr       "Inherit: Same as first input"
    LockScale            off
    RndMeth              "Floor"
    SaturateOnIntegerOverflow on
    SampleTime           "-1"
}
Block {
    BlockType          ToWorkspace
    VariableName        "simulink_output"
    MaxDataPoints       "1000"
    Decimation          "1"
    SampleTime          "0"
    FixptAsFi          off
}
Block {
    BlockType          Terminator
}
Block {
    BlockType          PMIOPort
}
Block {
    BlockType          Constant
    Value               "1"
    VectorParams1D      on
    SamplingMode        "Sample based"
    OutMin              "[]"
    OutMax              "[]"
    OutDataTypeMode     "Inherit from 'Constant value'"
    OutDataType          "fixdt(1,16,0)"
    ConRadixGroup       "Use specified scaling"
    OutScaling           "[]"
    OutDataTypeStr       "Inherit: Inherit from 'Constant value'"
    SampleTime           "inf"
}

```

```

        FramePeriod      "inf"
    }
}
AnnotationDefaults {
    HorizontalAlignment   "center"
    VerticalAlignment     "middle"
    ForegroundColor       "black"
    BackgroundColor      "white"
    DropShadow           off
    FontName              "Helvetica"
    FontSize               10
    FontWeight            "normal"
    FontAngle              "normal"
    UseDisplayTextAsClickCallback off
}
LineDefaults {
    FontName          "Helvetica"
    FontSize           9
    FontWeight         "normal"
    FontAngle          "normal"
}
System {
    Name             "pendul_model_LORD_RD1005_A"
    Location          [88, 74, 934, 668]
    Open              on
    ModelBrowserVisibility off
    ModelBrowserWidth  200
    ScreenColor        "white"
    PaperOrientation    "landscape"
    PaperPositionMode   "auto"
    PaperType           "usletter"
    PaperUnits          "inches"
    TiledPaperMargins   [0.500000, 0.500000, 0.500000, 0.500000]
    TiledPageSize        1
    ShowPageBoundaries  off
    ZoomFactor          "100"
    ReportName          "simulink-default.rpt"
    BlocksetDataSetString "[0      -9.81      0]|1|0|1e-3|1|1e-3|1|2|1e-4|1e-4|0|0|1|1e-
5|Deprecated|matlab graphics|0|1||1|0"
    Block {
        BlockType      ToWorkspace
        Name           "Memorare \nforta arc lamelar F"
        Position        [150, 380, 210, 410]
        VariableName   "trad_tens_f"
        MaxDataPoints  "inf"
        SampleTime      "-1"
        SaveFormat     "Array"
    }
    Block {
        BlockType      Reference
        Name           "Amortizare \nfluid MR"
        Ports           [0, 0, 0, 0, 1]
        Position        [575, 230, 635, 280]
        DialogController "MECH.DynMechDlgSource"
        SourceBlock     "mblibv1/Force \nElements/Joint Spring & Damper"
        SourceType       "Joint Spring & Damper"
        ShowPortLabels  "FromPortIcon"
        SystemSampleTime "-1"
    }
}

```

```

FunctionWithSeparateData off
RTWMemSecFuncInitTerm "Inherit from model"
RTWMemSecFuncExecute "Inherit from model"
RTWMemSecDataConstants "Inherit from model"
RTWMemSecDataInternal "Inherit from model"
RTWMemSecDataParameters "Inherit from model"
ClassName "JointSpringDamper"
DialogClass "JointSpringDamper"
JFEPARAMETERS
"P1$true$25000$6311.4$0$m$m/s$N$rad$rad/s$N*m#P2$false$0$0.5$10$m$m/s$N$rad$ra
d/s$N*m#P3$false$0$0$0$m$m/s$N$rad$rad/s$N*m#R1$false$0$0.5$0$m$m/s$N$rad$rad/
s$N*m#R2$false$0$0$0$m$m/s$N$rad$rad/s$N*m#R3$false$0$0$0$m$m/s$N$rad$rad/s$N
*m#S$false$0$0$0$m$m/s$N$rad$rad/s$N*m"
}
Block {
  BlockType Reference
  Name "Amortizare articulatie O"
  Ports [0, 0, 0, 0, 1]
  Position [380, 80, 440, 130]
  DialogController "MECH.DynMechDlgSource"
  SourceBlock "mblibv1/Force \nElements/Joint Spring & Damper"
  SourceType "Joint Spring & Damper"
  ShowPortLabels "FromPortIcon"
  SystemSampleTime "-1"
FunctionWithSeparateData off
RTWMemSecFuncInitTerm "Inherit from model"
RTWMemSecFuncExecute "Inherit from model"
RTWMemSecDataConstants "Inherit from model"
RTWMemSecDataInternal "Inherit from model"
RTWMemSecDataParameters "Inherit from model"
ClassName "JointSpringDamper"
DialogClass "JointSpringDamper"
JFEPARAMETERS
"P1$false$0$0.5$5$m$m/s$N$rad$rad/s$N*m#P2$false$0$0.5$10$m$m/s$N$rad$rad/s$N*
m#P3$false$0$0$0$m$m/s$N$rad$rad/s$N*m#R1$true$0$0.5$0$0$m$m/s$N$rad$rad/s$N*m#
R2$false$0$0$0$m$m/s$N$rad$rad/s$N*m#R3$false$0$0$0$m$m/s$N$rad$rad/s$N*m#S$#
also$0$0$0$m$m/s$N$rad$rad/s$N*m"
}
Block {
  BlockType Reference
  Name "Arc lamelar F"
  Ports [0, 0, 0, 0, 1]
  Position [130, 205, 190, 255]
  DialogController "MECH.DynMechDlgSource"
  SourceBlock "mblibv1/Force \nElements/Joint Spring & Damper"
  SourceType "Joint Spring & Damper"
  ShowPortLabels "FromPortIcon"
  SystemSampleTime "-1"
FunctionWithSeparateData off
RTWMemSecFuncInitTerm "Inherit from model"
RTWMemSecFuncExecute "Inherit from model"
RTWMemSecDataConstants "Inherit from model"
RTWMemSecDataInternal "Inherit from model"
RTWMemSecDataParameters "Inherit from model"
ClassName "JointSpringDamper"
DialogClass "JointSpringDamper"
JFEPARAMETERS "P1$true$25000$50$-
0.005$m$m/s$N$rad$rad/s$N*m#P2$true$0$0$0$m$m/s$N$rad$rad/s$N*m#P3$false$0$0$0$-

```

```

0$m$m/s$N$rad$rad/s$N*m#R1$true$0$0$0$m$m/s$N$rad$rad/s$N*m#R2$false$0$0$0$m
$m/s$N$rad$rad/s$N*m#R3$false$0$0$0$m$m/s$N$rad$rad/s$N*m#S$false$0$0$0$m$m/s
$m$N$rad$rad/s$N*m"
}
Block {
  BlockType Reference
  Name "Articulatie \nTranslatie + \nRotatie F"
  Ports [0, 0, 0, 0, 2, 2]
  Position [40, 147, 90, 198]
  Orientation "left"
  NamePlacement "alternate"
  DialogController "MECH.DynMechDlgSource"
  FontName "Arial"
  SourceBlock "mblibv1/Joints/Custom Joint"
  SourceType "Custom Joint"
  PhysicalDomain "mechanical"
  SubClassName "custom_joint"
  LeftPortType "blob"
  RightPortType "blob"
  LConnTagsString "__newl0|SA1"
  RConnTagsString "__newr0|SA1"
  NumSAPorts "2"
  CutJoint "off"
  MarkAsCut "off"
  Primitives "prismatic"
  PrimitiveProps "R1$World$[1      0      0]$revolute#R2$World$[0
0]$Revolute#R3$World$[0      0      1]$Revolute#P1$World$[sin(12.5*pi/180)
0]$Prismatic#P2$World$[0 cos(12.5*pi/180) 0]$Prismatic#P3$World$[0 0 1]$Prismatic"
  ClassName "Joint"
  DialogClass "JointBlock"
  R1Axis "[1 0 0]"
  R2Axis "[0 1 0]"
  R3Axis "[0 0 1]"
  P1Axis "[sin(12.5*pi/180) 0 0]"
  P2Axis "[0 cos(12.5*pi/180) 0]"
  P3Axis "[0 0 1]"
  SAxis "[]"
}
Block {
  BlockType Reference
  Name "Articulatie A "
  Ports [0, 0, 0, 0, 1, 1]
  Position [270, 155, 320, 205]
  DialogController "MECH.DynMechDlgSource"
  SourceBlock "mblibv1/Joints/Spherical"
  SourceType "Spherical"
  PhysicalDomain "mechanical"
  SubClassName "Unknown"
  LeftPortType "blob"
  RightPortType "blob"
  LConnTagsString "__newl0"
  RConnTagsString "__newr0"
  NumSAPorts "0"
  CutJoint "off"
  MarkAsCut "off"
  Primitives "spherical"
  PrimitiveProps "S$WORLD$[0 0 0]$spherical"
  ClassName "Joint"
  1
  0
}

```

---

```

DialogClass      "JointBlock"
SAxis           "[0 0 0]"
}
Block {
  BlockType      Reference
  Name           "Articulatie C"
  Ports          [0, 0, 0, 0, 1, 1]
  Position        [680, 155, 730, 205]
  Orientation     "left"
  DialogController "MECH.DynMechDlgSource"
  SourceBlock    "mblibv1/Joints/Spherical"
  SourceType      "Spherical"
  PhysicalDomain   "mechanical"
  SubClassName    "Unknown"
  LeftPortType    "blob"
  RightPortType   "blob"
  LConnTagsString "__newl0"
  RConnTagsString "__newr0"
  NumSAPorts     "0"
  CutJoint        "off"
  MarkAsCut       "off"
  Primitives       "spherical"
  PrimitiveProps  "S$World$[0 0 0]$spherical"
  ClassName        "Joint"
  DialogClass     "JointBlock"
  SAxis           "[0 0 0]"
}
Block {
  BlockType      Reference
  Name           "Articulatie O"
  Ports          [0, 0, 0, 0, 2, 1]
  Position        [270, 22, 320, 73]
  Orientation     "left"
  DialogController "MECH.DynMechDlgSource"
  SourceBlock    "mblibv1/Joints/Revolute"
  SourceType      "Revolute"
  PhysicalDomain   "mechanical"
  SubClassName    "Unknown"
  LeftPortType    "blob"
  RightPortType   "blob"
  LConnTagsString "__newl0|SA1"
  RConnTagsString "__newr0"
  NumSAPorts     "1"
  CutJoint        "off"
  MarkAsCut       "off"
  Primitives       "revolute"
  PrimitiveProps  "R1$World$[0 0 1]$revolute"
  ClassName        "Joint"
  DialogClass     "JointBlock"
  R1Axis          "[0 0 1]"
}
Block {
  BlockType      Reference
  Name           "Cilindru"
  Ports          [0, 0, 0, 0, 1, 1]
  Position        [580, 160, 640, 200]
  DialogController "MECH.DynMechDlgSource"
  SourceBlock    "mblibv1/Bodies/Body"

```

```

SourceType      "Body"
PhysicalDomain   "mechanical"
SubClassName     "Unknown"
LeftPortType     "workingframe"
RightPortType    "workingframe"
LConnTagsString  "CS1"
RConnTagsString  "CS2"
ClassName        "Body"
DialogClass      "MechanicalBodyBlock"
Mass             "0.5"
MassUnits         "kg"
InertiaUnits     "kg*m^2"
Inertia           "eye(3)*1e-4"
Shape             "Cylinder"
ShapeDims         "[1 1]"
ShapeUnits        "m"
ShapeUse          "false"
Density           "1"
DensityUnits      "kg/m^3"
DensityUse        "false"
GraphicsMode     "1"
BodyColor         "[0.5 0.5 0.5]"
GraphicsObj       "[]"
AttachedToCS      "1"
CG                "Left$CG$[-0.113 -0.166 0]$World$World$m$[0 0 0]$Euler X-Y-
Z$deg$World$false$none"
WorkingFrames     "Left$CS1$[-0.083 -0.166 0]$World$World$m$[0 0 0]$Euler X-
Y-Z$deg$World$true$none#Right$CS2$[-0.173 -0.166 0]$World$World$m$[0 0 0]$Euler X-Y-
Z$deg$World$true$none"
CGPos            "[-0.113 -0.166 0]"
CGRot            "[0 0 0]"
CS0Pos           "[]"
CS0Rot           "[]"
CS1Pos           "[-0.083 -0.166 0]"
CS1Rot           "[0 0 0]"
CS2Pos           "[-0.173 -0.166 0]"
CS2Rot           "[0 0 0]"
CS3Pos           "[]"
CS3Rot           "[]"
CS4Pos           "[]"
CS4Rot           "[]"
CS5Pos           "[]"
CS5Rot           "[]"
CS6Pos           "[]"
CS6Rot           "[]"
CS7Pos           "[]"
CS7Rot           "[]"
CS8Pos           "[]"
CS8Rot           "[]"
CS9Pos           "[]"
CS9Rot           "[]"
CS10Pos          "[]"
CS10Rot          "[]"
CS11Pos          "[]"
CS11Rot          "[]"
CS12Pos          "[]"
CS12Rot          "[]"
CS13Pos          "[]"

```

```

CS13Rot      "[]"
CS14Pos      "[]"
CS14Rot      "[]"
CS15Pos      "[]"
CS15Rot      "[]"
CS16Pos      "[]"
CS16Rot      "[]"
CS17Pos      "[]"
CS17Rot      "[]"
CS18Pos      "[]"
CS18Rot      "[]"
CS19Pos      "[]"
CS19Rot      "[]"
CS20Pos      "[]"
CS20Rot      "[]"
}
Block {
  BlockType      Gain
  Name           "Const 1"
  Position        [620, 445, 650, 475]
  Gain           "-1"
  ParameterDataTypeMode "Inherit via internal rule"
  ParameterDataType    "sfix(16)"
  ParameterScaling     "2^0"
  ParamDataTypeStr   "Inherit: Inherit via internal rule"
  OutDataTypeMode    "Inherit via internal rule"
  OutDataType        "sfix(16)"
  OutScaling         "2^0"
  OutDataTypeStr    "Inherit: Inherit via internal rule"
  SaturateOnIntegerOverflow off
}
Block {
  BlockType      Scope
  Name           "Diagrama\nforta arc lamelar F"
  Ports          [1]
  Position        [165, 310, 195, 340]
  NamePlacement   "alternate"
  Floating        off
  Location        [5, 45, 1285, 771]
  Open            off
  NumInputPorts   "1"
  List {
    ListType      AxesTitles
    axes1          "%<SignalLabel>"}
  YMin           "-350"
  YMax           "350"
  SaveName        "ScopeData2"
  DataFormat      "StructureWithTime"
  SampleTime      "0"
}
Block {
  BlockType      Scope
  Name           "Diagrama \ndeplasare piston"
  Ports          [1]
  Position        [705, 310, 735, 340]
  Floating        off
  Location        [5, 45, 1285, 771]
}

```

```

Open          off
NumInputPorts "1"
List {
    ListType      AxesTitles
    axes1         "%<SignalLabel>"}
}
YMin         "-350"
YMax          "350"
SaveName      "ScopeData3"
DataFormat    "StructureWithTime"
SampleTime    "0"
}
Block {
    BlockType    Scope
    Name         "Diagrama \nforta piston"
    Ports        [1]
    Position     [705, 445, 735, 475]
    Floating     off
    Location     [5, 45, 1285, 771]
    Open         off
    NumInputPorts "1"
    List {
        ListType      AxesTitles
        axes1         "%<SignalLabel>"}
    }
    YMin         "-350"
    YMax          "350"
    DataFormat    "StructureWithTime"
    SampleTime    "0"
}
Block {
    BlockType    Reference
    Name         "Fixare C"
    Ports        [0, 0, 0, 0, 0, 0, 1]
    Position     [780, 160, 820, 200]
    Orientation   "left"
    UserDataPersistent on
    UserData      "DataTag0"
    DialogController "MECH.DynMechDlgSource"
    SourceBlock    "mblibv1/Bodies/Ground"
    SourceType     "Ground"
    ShowPortLabels "FromPortIcon"
    SystemSampleTime "-1"
    FunctionWithSeparateData off
    RTWMemSecFuncInitTerm  "Inherit from model"
    RTWMemSecFuncExecute   "Inherit from model"
    RTWMemSecDataConstants "Inherit from model"
    RTWMemSecDataInternal  "Inherit from model"
    RTWMemSecDataParameters "Inherit from model"
    LeftPortType     "env"
    RightPortType    "workingframe"
    PhysicalDomain   "Mechanical"
    DialogClass      "GroundBlock"
    ClassName        "Ground"
    CoordPosition    "[-0.173 -0.166 0]"
    CoordPositionUnits "m"
    StateVectorMgrId "-1"
    MachineId       "[0 0]"

```

```

        ShowEnvPort      off
    }
    Block {
        BlockType          Reference
        Name               "Fixare F"
        Ports              [0, 0, 0, 0, 0, 1]
        Position            [140, 140, 180, 180]
        Orientation         "left"
        UserDataPersistent on
        UserData           "DataTag1"
        DialogController   "MECH.DynMechDlgSource"
        SourceBlock         "mblibv1/Bodies/Ground"
        SourceType          "Ground"
        ShowPortLabels     "FromPortIcon"
        SystemSampleTime   "-1"
        FunctionWithSeparateData off
        RTWMemSecFuncInitTerm "Inherit from model"
        RTWMemSecFuncExecute  "Inherit from model"
        RTWMemSecDataConstants "Inherit from model"
        RTWMemSecDataInternal  "Inherit from model"
        RTWMemSecDataParameters "Inherit from model"
        LeftPortType        "env"
        RightPortType       "workingframe"
        PhysicalDomain     "Mechanical"
        DialogClass         "GroundBlock"
        ClassName           "Ground"
        CoordPosition       "[-0.043 0.194 0]"
        CoordPositionUnits  "m"
        StateVectorMgrId   "-1"
        MachineId          "[0 0]"
        ShowEnvPort        off
    }
    Block {
        BlockType          Reference
        Name               "Fixare O"
        Ports              [0, 0, 0, 0, 1, 1]
        Position            [380, 15, 420, 55]
        Orientation         "left"
        UserDataPersistent on
        UserData           "DataTag2"
        DialogController   "MECH.DynMechDlgSource"
        SourceBlock         "mblibv1/Bodies/Ground"
        SourceType          "Ground"
        ShowPortLabels     "FromPortIcon"
        SystemSampleTime   "-1"
        FunctionWithSeparateData off
        RTWMemSecFuncInitTerm "Inherit from model"
        RTWMemSecFuncExecute  "Inherit from model"
        RTWMemSecDataConstants "Inherit from model"
        RTWMemSecDataInternal  "Inherit from model"
        RTWMemSecDataParameters "Inherit from model"
        LeftPortType        "env"
        RightPortType       "workingframe"
        PhysicalDomain     "Mechanical"
        DialogClass         "GroundBlock"
        ClassName           "Ground"
        CoordPosition       "[0 0 0]"
        CoordPositionUnits  "m"
    }

```

```

StateVectorMgrId      "1"
MachineId            "[2 0]"
ShowEnvPort          on
}
Block {
  BlockType           Reference
  Name                "Mediu \nde simulare"
  Tag                 "Factory ground"
  Ports               [0, 0, 0, 0, 0, 1]
  Position             [460, 25, 500, 45]
  Orientation         "left"
  DialogController    "MECH.DialogSource"
  SourceBlock          "mblibv1/Bodies/Machine\nEnvironment"
  SourceType            "Machine Environment"
  ShowPortLabels      "FromPortIcon"
  SystemSampleTime    "-1"
  FunctionWithSeparateData off
  RTWMemSecFuncInitTerm "Inherit from model"
  RTWMemSecFuncExecute "Inherit from model"
  RTWMemSecDataConstants "Inherit from model"
  RTWMemSecDataInternal "Inherit from model"
  RTWMemSecDataParameters "Inherit from model"
  PortType             "env"
  PhysicalDomain       "Mechanical"
  ClassName             "Environment"
  DialogTemplateClass  "MECH.MachineEnvironment"
  SyncWhenCopied       "off"
  Gravity              "[0 -9.81 0]"
  GravityUnits         "m/s^2"
  GravityAsSignal      off
  Dimensionality        "3D Only"
  AnalysisType          "Forward dynamics"
  LinearAssemblyTolerance "1e-3"
  LinearAssemblyToleranceUnits "m"
  AngularAssemblyTolerance "1e-3"
  AngularAssemblyToleranceUnits "rad"
  ConstraintSolverType "Stabilizing"
  ConstraintRelTolerance "1e-4"
  ConstraintAbsTolerance "1e-4"
  UseRobustSingularityHandling off
  RedundancyAnalysisToleranceType "Automatically select tolerance"
  RedundancyAnalysisTolerance "1e-14"
  StatePerturbationType "Fixed"
  PerturbationSize     "1e-5"
  VisualizeMachine     on
}
Block {
  BlockType           ToWorkspace
  Name                "Memorare \ndeplasare piston"
  Position             [690, 375, 750, 405]
  VariableName         "depl_piston"
  MaxDataPoints        "inf"
  SampleTime           "-1"
  SaveFormat           "Array"
}
Block {
  BlockType           ToWorkspace
  Name                "Memorare \nforta piston"

```

---

```

Position [690, 510, 750, 540]
VariableName "forta_piston"
MaxDataPoints "inf"
SampleTime "-1"
SaveFormat "Array"
}
Block {
  BlockType Reference
  Name "Pendul"
  Ports [0, 0, 0, 0, 2, 1]
  Position [100, 40, 180, 80]
  Orientation "left"
  DialogController "MECH.DynMechDlgSource"
  SourceBlock "mblibv1/Bodies/Body"
  SourceType "Body"
  PhysicalDomain "mechanical"
  SubClassName "Unknown"
  LeftPortType "workingframe"
  RightPortType "workingframe"
  LConnTagsString "CS1|CS2"
  RConnTagsString "CS3"
  ClassName "Body"
  DialogClass "MechanicalBodyBlock"
  Mass "51.6"
  MassUnits "kg"
  InertiaUnits "kg*m^2"
  Inertia "eye(3)*1e-4"
  Shape "Cylinder"
  ShapeDims "[1 1]"
  ShapeUnits "m"
  ShapeUse "false"
  Density "1"
  DensityUnits "kg/m^3"
  DensityUse "false"
  GraphicsMode "1"
  BodyColor "[0.5 0.5 0.5]"
  GraphicsObj "[]"
  AttachedToCS "1"
  CG "Left$CG$[0.336 -0.698 0]$WORLD$WORLD$m$[0 0 0]$Euler X-Y-
Z$deg$WORLD$false$none"
  WorkingFrames "Left$CS1$[0 0 0]$WORLD$WORLD$m$[0 0 0]$Euler X-Y-
Z$deg$WORLD$true$none#Left$CS2$[0.037 -0.166 0]$WORLD$WORLD$m$[0 0 0]$Euler X-
Y-Z$deg$WORLD$true$none#Right$CS3$[-0.043 0.194 0]$WORLD$WORLD$m$[0 0 0]$Euler
X-Y-Z$deg$WORLD$true$none"
  CGPos "[0.336 -0.698 0]"
  CGRot "[0 0 0]"
  CS0Pos "[]"
  CS0Rot "[]"
  CS1Pos "[0 0 0]"
  CS1Rot "[0 0 0]"
  CS2Pos "[0.037 -0.166 0]"
  CS2Rot "[0 0 0]"
  CS3Pos "[-0.043 0.194 0]"
  CS3Rot "[0 0 0]"
  CS4Pos "[]"
  CS4Rot "[]"
  CS5Pos "[]"
  CS5Rot "[]"

```

```

CS6Pos          "[]"
CS6Rot          "[]"
CS7Pos          "[]"
CS7Rot          "[]"
CS8Pos          "[]"
CS8Rot          "[]"
CS9Pos          "[]"
CS9Rot          "[]"
CS10Pos         "[]"
CS10Rot         "[]"
CS11Pos         "[]"
CS11Rot         "[]"
CS12Pos         "[]"
CS12Rot         "[]"
CS13Pos         "[]"
CS13Rot         "[]"
CS14Pos         "[]"
CS14Rot         "[]"
CS15Pos         "[]"
CS15Rot         "[]"
CS16Pos         "[]"
CS16Rot         "[]"
CS17Pos         "[]"
CS17Rot         "[]"
CS18Pos         "[]"
CS18Rot         "[]"
CS19Pos         "[]"
CS19Rot         "[]"
CS20Pos         "[]"
CS20Rot         "[]"
}
Block {
  BlockType      Reference
  Name           "Piston"
  Ports          [0, 0, 0, 0, 1, 1]
  Position        [360, 160, 420, 200]
  DialogController "MECH.DynMechDlgSource"
  SourceBlock     "mblibv1/Bodies/Body"
  SourceType      "Body"
  PhysicalDomain "mechanical"
  SubClassName   "Unknown"
  LeftPortType   "workingframe"
  RightPortType  "workingframe"
  LConnTagsString "CS1"
  RConnTagsString "CS2"
  ClassName       "Body"
  DialogClass    "MechanicalBodyBlock"
  Mass            "0.3"
  MassUnits       "kg"
  InertiaUnits    "kg*m^2"
  Inertia          "eye(3)*1e-4"
  Shape           "Cylinder"
  ShapeDims       "[1 1]"
  ShapeUnits      "m"
  ShapeUse        "false"
  Density          "1"
  DensityUnits    "kg/m^3"
  DensityUse      "false"

```

```

GraphicsMode          "1"
BodyColor             "[0.5 0.5 0.5]"
GraphicsObj           "[]"
AttachedToCS          "1"
CG                  "Left$CG$[-0.063 -0.166 0]$World$World$m$[0 0 0]$Euler X-Y-
Z$deg$World$false$none"
WorkingFrames         "Left$CS1$[0.037 -0.166 0]$World$World$m$[0 0 0]$Euler X-
Y-Z$deg$WORLD$true$none#Right$CS2$[-0.083 -0.166 0]$World$World$m$[0 0 0]$Euler X-
Y-Z$deg$World$true$none"
CGPos                "[-0.063 -0.166 0]"
CGRot                "[0 0 0]"
CS0Pos               "[]"
CS0Rot                "[]"
CS1Pos               "[0.037 -0.166 0]"
CS1Rot                "[0 0 0]"
CS2Pos               "[-0.083 -0.166 0]"
CS2Rot                "[0 0 0]"
CS3Pos               "[]"
CS3Rot               "[]"
CS4Pos               "[]"
CS4Rot               "[]"
CS5Pos               "[]"
CS5Rot               "[]"
CS6Pos               "[]"
CS6Rot               "[]"
CS7Pos               "[]"
CS7Rot               "[]"
CS8Pos               "[]"
CS8Rot               "[]"
CS9Pos               "[]"
CS9Rot               "[]"
CS10Pos              "[]"
CS10Rot              "[]"
CS11Pos              "[]"
CS11Rot              "[]"
CS12Pos              "[]"
CS12Rot              "[]"
CS13Pos              "[]"
CS13Rot              "[]"
CS14Pos              "[]"
CS14Rot              "[]"
CS15Pos              "[]"
CS15Rot              "[]"
CS16Pos              "[]"
CS16Rot              "[]"
CS17Pos              "[]"
CS17Rot              "[]"
CS18Pos              "[]"
CS18Rot              "[]"
CS19Pos              "[]"
CS19Rot              "[]"
CS20Pos              "[]"
CS20Rot              "[]"
}
Block {
  BlockType            Reference
  Name                 "Senzor \ndeplasare si\nforta piston C"
  Ports                [0, 2, 0, 0, 0, 1]
}

```

```

Position [485, 315, 525, 355]
DialogController "MECH.DynMechDlgSource"
SourceBlock "mblibv1/Sensors & \nActuators/Joint Sensor"
SourceType "Joint Sensor"
ShowPortLabels "FromPortIcon"
SystemSampleTime "-1"
FunctionWithSeparateData off
RTWMemSecFuncInitTerm "Inherit from model"
RTWMemSecFuncExecute "Inherit from model"
RTWMemSecDataConstants "Inherit from model"
RTWMemSecDataInternal "Inherit from model"
RTWMemSecDataParameters "Inherit from model"
PhysicalDomain "Mechanical"
PortType "blob"
Muxed "off"
Pose "off"
Angle "on"
AngleUnits "deg"
ArcVelocity "on"
ArcVelocityUnits "deg/s"
ArcAcceleration "off"
ArcAccelerationUnits "deg/s^2"
CoordPosition "on"
CoordPositionUnits "m"
Velocity "off"
VelocityUnits "m/s"
Acceleration "off"
AccelerationUnits "m/s^2"
Quaternion "on"
QuaternionDT "off"
QuaternionDDT "off"
QuaternionUnits "off"
OutputVector "[ 1 1 ]"
ActiveIO "on"
Width "2"
ClassName "JointSensor"
DialogClass "MechanicalSensorBlock"
Primitive "P1"
Force "on"
ForceUnits "N"
Torque "off"
TorqueUnits "N*m"
ReferenceFrame "Absolute (INERTIAL)"
ReactionSensedSide "Base"
ReactionReferenceFrame "Absolute (World)"
ReactionForce "off"
ReactionForceUnits "N"
ReactionMoment "off"
ReactionMomentUnits "N*m"
}
Block {
BlockType Reference
Name "Senzor forta \narc lamelar F "
Ports [0, 1, 0, 0, 0, 1]
Position [50, 305, 90, 345]
DialogController "MECH.DynMechDlgSource"
SourceBlock "mblibv1/Sensors & \nActuators/Joint Sensor"
SourceType "Joint Sensor"

```

---

```

ShowPortLabels      "FromPortIcon"
SystemSampleTime    "-1"
FunctionWithSeparateData off
RTWMemSecFuncInitTerm "Inherit from model"
RTWMemSecFuncExecute "Inherit from model"
RTWMemSecDataConstants "Inherit from model"
RTWMemSecDataInternal "Inherit from model"
RTWMemSecDataParameters "Inherit from model"
PhysicalDomain      "Mechanical"
PortType             "blob"
Muxed               "off"
Pose                 "off"
Angle                "on"
AngleUnits           "deg"
ArcVelocity          "on"
ArcVelocityUnits     "deg/s"
ArcAcceleration      "off"
ArcAccelerationUnits "deg/s^2"
CoordPosition        "off"
CoordPositionUnits   "m"
Velocity              "off"
VelocityUnits         "m/s"
Acceleration          "off"
AccelerationUnits    "m/s^2"
Quaternion            "on"
QuaternionDT          "off"
QuaternionDDT         "off"
QuaternionUnits       "off"
OutputVector          "[ 1 1 ]"
ActiveIO              "on"
Width                 "1"
ClassName             "JointSensor"
DialogClass           "MechanicalSensorBlock"
Primitive              "P1"
Force                 "on"
ForceUnits             "N"
Torque                "off"
TorqueUnits            "N*m"
ReferenceFrame        "Absolute (INERTIAL)"
ReactionSensedSide    "Base"
ReactionReferenceFrame "Absolute (World)"
ReactionForce          "off"
ReactionForceUnits    "N"
ReactionMoment         "off"
ReactionMomentUnits   "N*m"
}
Block {
  BlockType          Reference
  Name               "Translatie \nPiston-Cilindru"
  Ports              [0, 0, 0, 0, 2, 2]
  Position            [485, 166, 535, 219]
  Orientation         "left"
  DialogController    "MECH.DynMechDlgSource"
  SourceBlock         "mblibv1/Joints/Prismatic"
  SourceType           "Prismatic"
  PhysicalDomain      "mechanical"
  SubClassName        "Unknown"
  LeftPortType        "blob"

```

```

RightPortType      "blob"
LConnTagsString   "__newl0|SA1"
RConnTagsString   "__newr0|SA1"
NumSAPorts        "2"
CutJoint          "off"
MarkAsCut         "off"
Primitives         "prismatic"
PrimitiveProps    "P1$Base$[1 0 0]$prismatic"
ClassName         "Joint"
DialogClass       "JointBlock"
P1Axis            "[1 0 0]"
}
Line {
  LineType          "Connection"
  SrcBlock          "Fixare O"
  SrcPort           RConn1
  DstBlock          "Articulatie O"
  DstPort           LConn1
}
Line {
  LineType          "Connection"
  SrcBlock          "Pendul"
  SrcPort           LConn1
  DstBlock          "Articulatie O"
  DstPort           RConn1
}
Line {
  LineType          "Connection"
  SrcBlock          "Fixare O"
  SrcPort           LConn1
  DstBlock          "Mediul \nde simulare"
  DstPort           RConn1
}
Line {
  LineType          "Connection"
  SrcBlock          "Articulatie A "
  SrcPort           RConn1
  DstBlock          "Piston"
  DstPort           LConn1
}
Line {
  LineType          "Connection"
  SrcBlock          "Piston"
  SrcPort           RConn1
  DstBlock          "Translatie \nPiston-Cilindru"
  DstPort           RConn1
}
Line {
  LineType          "Connection"
  SrcBlock          "Translatie \nPiston-Cilindru"
  SrcPort           LConn1
  DstBlock          "Cilindru"
  DstPort           LConn1
}
Line {
  LineType          "Connection"
  SrcBlock          "Articulatie A "
  SrcPort           LConn1
}

```

```

Points [-20, 0; 0, -110]
DstBlock "Pendul"
DstPort LConn2
}
Line {
  LineType "Connection"
  SrcBlock "Articulatie C"
  SrcPort RConn1
  DstBlock "Cilindru"
  DstPort RConn1
}
Line {
  LineType "Connection"
  SrcBlock "Articulatie C"
  SrcPort LConn1
  DstBlock "Fixare C"
  DstPort RConn1
}
Line {
  LineType "Connection"
  SrcBlock "Articulatie \nTranslatie + \nRotatie F"
  SrcPort RConn1
  Points [-10, 0; 0, -100]
  DstBlock "Pendul"
  DstPort RConn1
}
Line {
  LineType "Connection"
  SrcBlock "Articulatie \nTranslatie + \nRotatie F"
  SrcPort LConn1
  DstBlock "Fixare F"
  DstPort RConn1
}
Line {
  LineType "Connection"
  SrcBlock "Articulatie \nTranslatie + \nRotatie F"
  SrcPort LConn2
  Points [5, 0; 0, 45]
  DstBlock "Arc lamelar F"
  DstPort LConn1
}
Line {
  LineType "Connection"
  SrcBlock "Articulatie \nTranslatie + \nRotatie F"
  SrcPort RConn2
  Points [-10, 0; 0, 140]
  DstBlock "Senzor forta \narc lamelar F"
  DstPort LConn1
}
Line {
  SrcBlock "Senzor forta \narc lamelar F"
  SrcPort 1
  Points [40, 0]
  Branch {
    DstBlock "Diagrama\nforta arc lamelar F"
    DstPort 1
  }
  Branch {

```

```

        DstBlock      " Memorare \nforta arc lamelar F"
        DstPort       1
    }
}
Line {
    LineType      "Connection"
    SrcBlock      "Translatie \nPiston-Cilindru"
    SrcPort       RConn2
    Points        [-5, 0; 0, 130]
    DstBlock      "Senzor \ndeplasare si\ncilda piston C"
    DstPort       LConn1
}
Line {
    SrcBlock      "Senzor \ndeplasare si\ncilda piston C"
    SrcPort       1
    Points        [130, 0]
    Branch {
        DstBlock      "Diagrama \ndeplasare piston"
        DstPort       1
    }
    Branch {
        Points        [0, 65]
        DstBlock      "Memorare \ndeplasare piston"
        DstPort       1
    }
}
Line {
    LineType      "Connection"
    SrcBlock      "Articulatie O"
    SrcPort       LConn2
    Points        [15, 0; 0, 45]
    DstBlock      "Amortizare articulatie O"
    DstPort       LConn1
}
Line {
    LineType      "Connection"
    SrcBlock      "Amortizare \nfluid MR"
    SrcPort       LConn1
    Points        [-5, 0; 0, -50]
    DstBlock      "Translatie \nPiston-Cilindru"
    DstPort       LConn2
}
Line {
    SrcBlock      "Const 1"
    SrcPort       1
    Points        [5, 0]
    Branch {
        DstBlock      "Diagrama \ncilda piston"
        DstPort       1
    }
    Branch {
        Points        [0, 65]
        DstBlock      "Memorare \ncilda piston"
        DstPort       1
    }
}
Line {
    SrcBlock      "Senzor \ndeplasare si\ncilda piston C"
}

```

```

SrcPort          2
Points          [35, 0; 0, 115]
DstBlock        "Const 1"
DstPort         1
}
}
}
MatData {
  NumRecords      3
  DataRecord {
    Tag           DataTag2
    Data          " %)30 . 6 8 ( !      % \"
'!E;F1U;%]M;V1E;%],3U)$7U)$,3 P-5!]!+T9I>&%R92!/
  }
  DataRecord {
    Tag           DataTag1
    Data          " %)30 . 6 8 ( !      % \
'!E;F1U;%]M;V1E;%],3U)$7U)$,3 P-5!]!+T9I>&%R92!&
  }
  DataRecord {
    Tag           DataTag0
    Data          " %)30 . 6 8 ( !      % \
'!E;F1U;%]M;V1E;%],3U)$7U)$,3 P-5!]!+T9I>&%R92!#
  }
}

```

## Modelul II

```

% Calcul coordonate pendul
% Alfa initial pendul = 12,5 grade
alfa = 12.5*pi/180; % Alfa in radiani
% Dimensiuni in metri, kilograme

% Coord. centru de greutate palca mare M
M = 38.86; % Masa in kg
x_M = (0.625+0.340/2)*sin(alfa);
y_M = (0.625+0.340/2)*cos(alfa);

% Coord. centru de greutate masa ajustabila m
m = 12.2; % Masa in kg
x_m = (0.625*sin(alfa) + 0.740*cos(alfa));
y_m = (0.625*cos(alfa) - 0.740*sin(alfa));

% Coord. centru de greutate palca mare + masa ajustabila B
x_B = (m*x_m + M*x_M)/(m + M);
y_B = (m*y_m + M*y_M)/(m + M);

% Coord. centru de greutate piston amortizor E
x_E = 0.170*sin(alfa) - 0.100;
y_E = 0.170*cos(alfa);

```

```

% Coord. centru de greutate cilindru amortizor D
x_D = 0.170*sin(alfa) - 0.150;
y_D = 0.170*cos(alfa);

% Coord. articulatie O
x_O = 0;
y_O = 0;

% Coord. articulatie A
x_A = 0.170*sin(alfa);
y_A = 0.170*cos(alfa);

% Coord. articulatie C
x_C = 0.170*sin(alfa) - 0.210;
y_C = 0.170*cos(alfa);

% Coord. articulatie F
x_F = 0.199*sin(alfa);
y_F = 0.199*cos(alfa);

% % Plotare diagrame
% repl_piston1 = repl_piston.signals.values;
% tout = repl_piston.time;
% figure
% plot(tout,repl_piston1,'k')
% title('Deplasare piston. Coef. de amortizare: b = 6311.4')
% ylabel('Deplasare [m]')
% xlabel('Timp [s]')
% grid on
%
% forta_piston1 = forta_piston.signals.values;
% tout = repl_piston.time;
% figure
% plot(tout,forta_piston1,'k')
% title('Forță piston. Coef. de amortizare: b = 6311.4')
% ylabel('Forță [N]')
% xlabel('Timp [s]')
% grid on
%
% [lin col] = size(repl_piston);
% tout = linspace(1,5,lin);
%
% trad_tens_f1 = trad_tens_f.signals.values;
% tout = trad_tens_f.time;
% figure
% plot(tout,trad_tens_f1,'k')
% title('Forță arc lamelar. Coef. de amortizare: b = 6311.4')
% ylabel('Forță [N]')
% xlabel('Timp [s]')
% grid on
% save b6311 repl_piston forta_piston tout trad_tens_f

% Plotare diagrama suprapusa forta arc lamelar

% figure
% load b512
% plot(tout,trad_tens_f.signals.values,'k')
% hold on

```

```
% load b1092
% plot(tout,trad_tens_f.signals.values-100,'k')
% load b1672
% plot(tout,trad_tens_f.signals.values-200,'k')
% load b2252
% plot(tout,trad_tens_f.signals.values-300,'k')
% load b2832
% plot(tout,trad_tens_f.signals.values-400,'k')
% load b3412
% plot(tout,trad_tens_f.signals.values-500,'k')
% load b3992
% plot(tout,trad_tens_f.signals.values-600,'k')
% load b4571
% plot(tout,trad_tens_f.signals.values-700,'k')
% load b5151
% plot(tout,trad_tens_f.signals.values-800,'k')
% load b5731
% plot(tout,trad_tens_f.signals.values-900,'k')
% load b6311
% plot(tout,trad_tens_f.signals.values-1000,'k')
% title('Forta arc lamelar.')
% ylabel('Forta [N]')
% xlabel('Timp [s]')
% grid on
```

```
% Plotare diagrama suprapusa forta piston
```

```
% figure
% load b512
% plot(tout,forta_piston.signals.values,'k')
% hold on
% load b1092
% plot(tout,forta_piston.signals.values-100,'k')
% load b1672
% plot(tout,forta_piston.signals.values-200,'k')
% load b2252
% plot(tout,forta_piston.signals.values-300,'k')
% load b2832
% plot(tout,forta_piston.signals.values-400,'k')
% load b3412
% plot(tout,forta_piston.signals.values-500,'k')
% load b3992
% plot(tout,forta_piston.signals.values-600,'k')
% load b4571
% plot(tout,forta_piston.signals.values-700,'k')
% load b5151
% plot(tout,forta_piston.signals.values-800,'k')
% load b5731
% plot(tout,forta_piston.signals.values-900,'k')
% load b6311
% plot(tout,forta_piston.signals.values-1000,'k')
%
% title('Forta piston.')
% ylabel('Forta [N]')
% xlabel('Timp [s]')
% grid on
```

```
% Plotare diagrama suprapusa deplasare piston
```

```
% figure
% load b512
% plot(tout,depl_piston.signals.values,'k')
% hold on
% load b1092
% plot(tout,depl_piston.signals.values-0.01,'k')
% load b1672
% plot(tout,depl_piston.signals.values-0.02,'k')
% load b2252
% plot(tout,depl_piston.signals.values-0.03,'k')
% load b2832
% plot(tout,depl_piston.signals.values-0.04,'k')
% load b3412
% plot(tout,depl_piston.signals.values-0.05,'k')
% load b3992
% plot(tout,depl_piston.signals.values-0.06,'k')
% load b4571
% plot(tout,depl_piston.signals.values-0.07,'k')
% load b5151
% plot(tout,depl_piston.signals.values-0.08,'k')
% load b5731
% plot(tout,depl_piston.signals.values-0.09,'k')
% load b6311
% plot(tout,depl_piston.signals.values-0.1,'k')
%
% title('Deplasare piston.')
% ylabel('Deplasare [m]')
% xlabel('Timp [s]')
% grid on
%

Model {
    Name          "pendul_model_ONODA"
    Version       7.1
    MdlSubVersion 0
    GraphicalInterface {
        NumRootImports      0
        NumRootOutports     0
        ParameterArgumentNames ""
        ComputedModelVersion "1.271"
        NumModelReferences   0
        NumTestPointedSignals 0
    }
    Description      "Simple Pendulum\n\nA rod swinging in gravity by one revolute
joint. Scope shows angle and angular velocity. XY Graph shows model phase space."
    SavedCharacterEncoding "US-ASCII"
    SaveDefaultBlockParams on
    SampleTimeColors off
    LibraryLinkDisplay "none"
    WideLines off
    ShowLineDimensions off
    ShowPortDataTypes off
    ShowLoopsOnError on
    IgnoreBidirectionalLines off
    ShowStorageClass off
    ShowTestPointIcons on
    ShowSignalResolutionIcons on
}
```

```
ShowViewerIcons      on
SortedOrder          off
ExecutionContextIcon off
ShowLinearizationAnnotations on
ScopeRefreshTime    0.035000
OverrideScopeRefreshTime on
DisableAllScopes    off
DataTypeOverride     "UseLocalSettings"
MinMaxOverflowLogging "UseLocalSettings"
MinMaxOverflowArchiveMode "Overwrite"
BlockNameDataTip    off
BlockParametersDataTip off
BlockDescriptionStringDataTip off
ToolBar              on
StatusBar             on
BrowserShowLibraryLinks off
BrowserLookUnderMasks off
Created              "Thu Oct 11 21:32:10 2001"
Creator              "arnav"
UpdateHistory        "UpdateHistoryNever"
ModifiedByFormat     "%<Auto>"
LastModifiedBy       "Tibi"
ModifiedDateFormat   "%<Auto>"
LastModifiedDate     "Sat Sep 19 15:13:14 2009"
RTWModifiedTimeStamp 0
ModelVersionFormat   "1.%<AutoIncrement:271>"
ConfigurationManager "None"
UserBdParams
"PhysicalModelingChecksum;PhysicalModelingParameterChecksum;PhysicalModelingProducts;"
SimulationMode       "normal"
LinearizationMsg     "none"
Profile              off
ParamWorkspaceSource "MATLABWorkspace"
AccelSystemTargetFile "accel.tlc"
AccelTemplateMakefile "accel_default_tmf"
AccelMakeCommand     "make_rtw"
TryForcingSFcnDF    off
RecordCoverage       off
CovPath              "/"
CovSaveName          "covdata"
CovMetricSettings    "dw"
CovNameIncrementing  off
CovHtmlReporting     on
covSaveCumulativeToWorkspaceVar on
CovSaveSingleToWorkspaceVar on
CovCumulativeVarName "covCumulativeData"
CovCumulativeReport  off
CovReportOnPause     on
CovModelRefEnable    "Off"
ExtModeBatchMode     off
ExtModeEnableFloating on
ExtModeTrigType      "manual"
ExtModeTrigMode      "normal"
ExtModeTrigPort      "1"
ExtModeTrigElement   "any"
ExtModeTrigDuration  1000
ExtModeTrigDurationFloating "auto"
ExtModeTrigHoldOff   0
```

```

ExtModeTrigDelay      0
ExtModeTrigDirection  "rising"
ExtModeTrigLevel      0
ExtModeArchiveMode    "off"
ExtModeAutoIncOneShot off
ExtModeIncDirWhenArm  off
ExtModeAddSuffixToVar off
ExtModeWriteAllDataToWs off
ExtModeArmWhenConnect  on
ExtModeSkipDownloadWhenConnect off
ExtModeLogAll          on
ExtModeAutoUpdateStatusClock off
BufferReuse            on
ShowModelReferenceBlockVersion off
ShowModelReferenceBlockIO off
Array {
  Type           "Handle"
  Dimension      1
  Simulink.ConfigSet {
    $ObjectID      1
    Version        "1.4.0"
    Array {
      Type           "Handle"
      Dimension      8
      Simulink.SolverCC {
        $ObjectID      2
        Version        "1.4.0"
        StartTime      "0.0"
        StopTime       "5"
        AbsTol         "1e-8"
        FixedStep       "auto"
        InitialStep     "auto"
        MaxNumMinSteps "-1"
        MaxOrder        5
        ZcThreshold     "auto"
        ConsecutiveZCsStepRelTol "10*128*eps"
        MaxConsecutiveZCs   "1000"
        ExtrapolationOrder 4
        NumberNewtonIterations 1
        MaxStep          "auto"
        MinStep          "auto"
        MaxConsecutiveMinStep "1"
        RelTol          "1e-5"
        SolverMode       "Auto"
        Solver           "ode23t"
        SolverName       "ode23t"
        ShapePreserveControl "DisableAll"
        ZeroCrossControl  "UseLocalSettings"
        ZeroCrossAlgorithm "Non-adaptive"
        AlgebraicLoopSolver "TrustRegion"
        SolverResetMethod "Fast"
        PositivePriorityOrder off
        AutoInsertRateTranBlk off
        SampleTimeConstraint "Unconstrained"
        InsertRTBMode     "Whenever possible"
      }
      Simulink.DataIOCC {
        $ObjectID      3
      }
    }
  }
}

```

```

Version      "1.4.0"
Decimation   "1"
ExternalInput "[t, u]"
FinalStateName "xFinal"
InitialState   "xInitial"
LimitDataPoints on
MaxDataPoints  "1000"
LoadExternalInput off
LoadInitialState off
SaveFinalState off
SaveFormat     "Array"
SaveOutput     on
SaveState      off
SignalLogging  on
InspectSignalLogs off
SaveTime       on
StateSaveName  "xout"
TimeSaveName   "tout"
OutputSaveName "yout"
SignalLoggingName "sigsOut"
OutputOption    "RefineOutputTimes"
OutputTimes     "[]"
Refine         "1"
}
Simulink.OptimizationCC {
$ObjectID      4
Array {
Type          "Cell"
Dimension     5
Cell          "ZeroExternalMemoryAtStartup"
Cell          "ZeroInternalMemoryAtStartup"
Cell          "InitFltsAndDblsToZero"
Cell          "OptimizeModelRefInitCode"
Cell          "NoFixptDivByZeroProtection"
PropName      "DisabledProps"
}
Version      "1.4.0"
BlockReduction on
BooleanDataType off
ConditionallyExecuteInputs on
InlineParams   off
InlineInvariantSignals on
OptimizeBlockIOStorage on
BufferReuse    on
EnhancedBackFolding off
EnforceIntegerDowncast on
ExpressionFolding on
ExpressionDepthLimit  2147483647
FoldNonRolledExpr on
LocalBlockOutputs on
RollThreshold  5
SystemCodeInlineAuto off
StateBitsets   off
DataBitsets    off
UseTempVars    off
ZeroExternalMemoryAtStartup on
ZeroInternalMemoryAtStartup on
InitFltsAndDblsToZero  on

```

```

NoFixptDivByZeroProtection off
EfficientFloat2IntCast off
OptimizeModelRefInitCode off
LifeSpan "inf"
BufferReusableBoundary on
SimCompilerOptimization "Off"
AccelVerboseBuild off
}
Simulink.DebuggingCC {
$ObjectID 5
Version "1.4.0"
RTPrefix "error"
ConsistencyChecking "none"
ArrayBoundsChecking "none"
SignalInfNanChecking "none"
SignalRangeChecking "none"
ReadBeforeWriteMsg "UseLocalSettings"
WriteAfterWriteMsg "UseLocalSettings"
WriteAfterReadMsg "UseLocalSettings"
AlgebraicLoopMsg "warning"
ArtificialAlgebraicLoopMsg "warning"
SaveWithDisabledLinksMsg "warning"
SaveWithParameterizedLinksMsg "none"
CheckSSInitialOutputMsg on
CheckExecutionContextPreStartOutputMsg on
CheckExecutionContextRuntimeOutputMsg on
SignalResolutionControl "TryResolveAllWithWarning"
BlockPriorityViolationMsg "warning"
MinStepSizeMsg "warning"
TimeAdjustmentMsg "none"
MaxConsecutiveZCsMsg "error"
SolverPrmCheckMsg "none"
InheritedTsInSrcMsg "warning"
DiscreteInheritContinuousMsg "warning"
MultiTaskDSMMsg "warning"
MultiTaskCondExecSysMsg "none"
MultiTaskRateTransMsg "error"
SingleTaskRateTransMsg "none"
TasksWithSamePriorityMsg "warning"
SigSpecEnsureSampleTimeMsg "none"
CheckMatrixSingularityMsg "none"
IntegerOverflowMsg "warning"
Int32ToFloatConvMsg "warning"
ParameterDowncastMsg "error"
ParameterOverflowMsg "error"
ParameterUnderflowMsg "none"
ParameterPrecisionLossMsg "warning"
ParameterTunabilityLossMsg "warning"
UnderSpecifiedDataTypeMsg "none"
UnnecessaryDatatypeConvMsg "none"
VectorMatrixConversionMsg "none"
InvalidFcnCallConnMsg "error"
FcnCallInpInsideContextMsg "Use local settings"
SignalLabelMismatchMsg "none"
UnconnectedInputMsg "warning"
UnconnectedOutputMsg "warning"
UnconnectedLineMsg "warning"
SFcnCompatibilityMsg "none"

```

---

```

UniqueDataStoreMsg      "none"
BusObjectLabelMismatch "warning"
RootOutputRequireBusObject "warning"
AssertControl           "UseLocalSettings"
EnableOverflowDetection off
ModelReferenceIOMsg     "none"
ModelReferenceVersionMismatchMessage "none"
ModelReferenceIOMismatchMessage "none"
ModelReferenceCSMMismatchMessage "none"
ModelReferenceSimTargetVerbose off
UnknownTsInhSupMsg     "warning"
ModelReferenceDataLoggingMessage "warning"
ModelReferenceSymbolNameMessage "warning"
ModelReferenceExtraNoncontSigs "error"
StateNameClashWarn     "warning"
StrictBusMsg            "None"
LoggingUnavailableSignals "error"
BlockIODiagnostic       "none"
}
Simulink.HardwareCC {
    $ObjectID          6
    Version             "1.4.0"
    ProdBitPerChar     8
    ProdBitPerShort    16
    ProdBitToInt        32
    ProdBitPerLong      32
    ProdIntDivRoundTo  "Undefined"
    ProdEndianess       "Unspecified"
    ProdWordSize        32
    ProdShiftRightIntArith on
    ProdHWDeviceType   "32-bit Generic"
    TargetBitPerChar   8
    TargetBitPerShort   16
    TargetBitToInt       32
    TargetBitPerLong     32
    TargetShiftRightIntArith on
    TargetIntDivRoundTo "Undefined"
    TargetEndianess     "LittleEndian"
    TargetWordSize       32
    TargetTypeEmulationWarnSuppressLevel 0
    TargetPreprocMaxBitsSint 32
    TargetPreprocMaxBitsUint 32
    TargetHWDeviceType   "MATLAB Host"
    TargetUnknown         off
    ProdEqTarget         off
}
Simulink.ModelReferenceCC {
    $ObjectID          7
    Version             "1.4.0"
    UpdateModelReferenceTargets "IfOutOfDateOrStructuralChange"
    CheckModelReferenceTargetMessage "error"
    ModelReferenceNumInstancesAllowed "Multi"
    ModelReferenceSigSizeVariationType "Always allowed"
    ModelReferencePassRootInputsByReference on
    ModelReferenceMinAlgLoopOccurrences off
}
Simulink.RTWCC {
    $BackupClass        "Simulink.RTWCC"

```

```

$ObjectID          8
Array {
  Type           "Cell"
  Dimension      1
  Cell           "IncludeHyperlinkInReport"
  PropName       "DisabledProps"
}
Version          "1.4.0"
SystemTargetFile "rsim.tlc"
GenCodeOnly      off
MakeCommand      "make_rtw"
GenerateMakefile on
TemplateMakefile "rsim_default_tmf"
Description      "Rapid Simulation Target"
GenerateReport   off
SaveLog          off
RTWVerbose       on
RetainRTWFile    off
ProfileTLC       off
TLCDebug         off
TLCCoverage      off
TLCAssert        off
ProcessScriptMode "Default"
ConfigurationMode "Optimized"
ProcessScript     "rsim_make_rtw_hook"
ConfigAtBuild    off
IncludeHyperlinkInReport off
LaunchReport     off
TargetLang       "C"
IncludeBusHierarchyInRTWFileBlockHierarchyMap off
IncludeERTFirstTime on
GenerateTraceInfo off
GenerateTraceReport off
GenerateTraceReportSI off
GenerateTraceReportSF off
GenerateTraceReportEML off
GenerateCodeInfo  off
RTWCompilerOptimization "Off"
Array {
  Type           "Handle"
  Dimension      2
  Simulink.CodeAppCC {
    $ObjectID      9
    Array {
      Type           "Cell"
      Dimension      16
      Cell           "IgnoreCustomStorageClasses"
      Cell           "InsertBlockDesc"
      Cell           "SFDDataObjDesc"
      Cell           "SimulinkDataObjDesc"
      Cell           "DefineNamingRule"
      Cell           "SignalNamingRule"
      Cell           "ParamNamingRule"
      Cell           "InlinedPrmAccess"
      Cell           "CustomSymbolStr"
      Cell           "CustomSymbolStrGlobalVar"
      Cell           "CustomSymbolStrType"
      Cell           "CustomSymbolStrField"
    }
  }
}

```

```

Cell           "CustomSymbolStrFcn"
Cell           "CustomSymbolStrBlkIO"
Cell           "CustomSymbolStrTmpVar"
Cell           "CustomSymbolStrMacro"
PropName       "DisabledProps"
}
Version        "1.4.0"
ForceParamTrailComments off
GenerateComments on
IgnoreCustomStorageClasses on
IncHierarchyInIds off
MaxIdLength   31
PreserveName   off
PreserveNameWithParent off
ShowEliminatedStatement off
IncAutoGenComments off
SimulinkDataObjDesc off
SFDataObjDesc  off
IncDataTypeInIds off
MangleLength   1
CustomSymbolStrGlobalVar "$R$N$M"
CustomSymbolStrType  "$N$R$M"
CustomSymbolStrField  "$N$M"
CustomSymbolStrFcn   "$R$N$M$F"
CustomSymbolStrBlkIO  "rtb_$N$M"
CustomSymbolStrTmpVar "$N$M"
CustomSymbolStrMacro  "$R$N$M"
DefineNamingRule  "None"
ParamNamingRule   "None"
SignalNamingRule  "None"
InsertBlockDesc   off
SimulinkBlockComments on
EnableCustomComments off
InlinedPrmAccess  "Literals"
ReqsInCode      off
}
RTW.RSimTargetCC {
$BackupClass    "Simulink.TargetCC"
$ObjectID      10
Array {
Type          "Cell"
Dimension     13
Cell           "IncludeMdITerminateFcn"
Cell           "CombineOutputUpdateFcns"
Cell           "SuppressErrorStatus"
Cell           "ERTCustomFileBanners"
Cell           "GenerateSampleERTMain"
Cell           "GenerateTestInterfaces"
Cell           "MultiInstanceERTCode"
Cell           "PurelyIntegerCode"
Cell           "SupportNonFinite"
Cell           "SupportComplex"
Cell           "SupportAbsoluteTime"
Cell           "SupportContinuousTime"
Cell           "SupportNonInlinedSFcns"
PropName       "DisabledProps"
}
Version        "1.4.0"

```

```

TargetFcnLib      "ansi_tfl_tmw.mat"
TargetLibSuffix   ""
TargetPreCompLibLocation ""
TargetFunctionLibrary "ANSI_C"
UtilityFuncGeneration "Auto"
GenerateFullHeader on
GenerateSampleERTMain off
GenerateTestInterfaces off
IsPILTarget      off
ModelReferenceCompliant on
CompOptLevelCompliant on
IncludeMdlTerminateFcn on
CombineOutputUpdateFcns off
SuppressErrorStatus off
ERTFirstTimeCompliant off
IncludeFileDelimiter "Auto"
ERTCustomFileBanners off
SupportAbsoluteTime on
LogVarNameModifier "rt_"
MatFileLogging    on
MultiInstanceERTCode off
SupportNonFinite   on
SupportComplex     on
PurelyIntegerCode  off
SupportContinuousTime on
SupportNonInlinedSFcns on
EnableShiftOperators on
ParenthesesLevel   "Nominal"
PortableWordSizes   off
ModelStepFunctionPrototypeControlCompliant off
AutosarCompliant   off
RSIM_SOLVER_SELECTION "Auto"
ExtMode           off
ExtModeTransport   0
ExtModeStaticAlloc off
ExtModeStaticAllocSize 1000000
ExtModeTesting     off
ExtModeMexFile     "ext_comm"
ExtModeIntrfLevel  "Level1"
RSIM_PARAMETER_LOADING on
RSIM_STORAGE_CLASS_AUTO on
RTWCAPISignals    off
RTWCAPIParams     off
RTWCAPIStates     off
}
PropName          "Components"
}
}
SSC.SimscapeCC {
$ObjectID          11
Array {
Type              "Cell"
Dimension         1
Cell               "Name"
PropName          "DisabledProps"
}
Array {
Type              "Handle"

```

---

```

        Dimension          1
MECH.SimMechanicsCC {
    $ObjectID      12
    Version         "1.4.0"
    Name            "SimMechanics"
    WarnOnRedundantConstraints on
    WarnOnSingularInitialAssembly off
    ShowCutJoints   off
    VisOnUpdateDiagram on
    VisDuringSimulation on
}
PropName           "Components"
}
Name              "Simscape"
EditingMode       "Full"
Version          "1.0"
}
PropName           "Components"
}
Name              "Configuration"
CurrentDlgPage   "Solver"
}
PropName           "ConfigurationSets"
}
Simulink.ConfigSet {
    $PropName        "ActiveConfigurationSet"
    $ObjectID        1
}
PhysicalModelingChecksum "2499686221"
PhysicalModelingParameterChecksum "1905155831"
PhysicalModelingProducts "SimMechanics|Simscape"
BlockDefaults {
    Orientation      "right"
    ForegroundColor  "black"
    BackgroundColor  "white"
    DropShadow       off
    NamePlacement    "normal"
    FontName         "Helvetica"
    FontSize         10
    FontWeight       "normal"
    FontAngle        "normal"
    ShowName         on
}
BlockParameterDefaults {
    Block {
        BlockType      Actuator
        SubClassName   "unknown"
        PortType       "blob"
    }
    Block {
        BlockType      Demux
        Outputs        "4"
        DisplayOption  "none"
        BusSelectionMode off
    }
    Block {
        BlockType      From
        IconDisplay   "Tag"
    }
}

```

```

        TagVisibility      "local"
    }
    Block {
        BlockType          Fcn
        Expr              "sin(u[1])"
        SampleTime         "-1"
    }
    Block {
        BlockType          Gain
        Gain               "1"
        Multiplication     "Element-wise(K.*u)"
        ParamMin           "[]"
        ParamMax           "[]"
        ParameterDataTypeMode "Same as input"
        ParameterDataType   "fixdt(1,16,0)"
        ParameterScalingMode "Best Precision: Matrix-wise"
        ParameterScaling     "[]"
        ParamDataTypeStr   "Inherit: Same as input"
        OutMin             "[]"
        OutMax             "[]"
        OutDataTypeMode    "Same as input"
        OutDataType         "fixdt(1,16,0)"
        OutScaling          "[]"
        OutDataTypeStr     "Inherit: Same as input"
        LockScale          off
        RndMeth            "Floor"
        SaturateOnIntegerOverflow on
        SampleTime         "-1"
    }
    Block {
        BlockType          Goto
        IconDisplay        "Tag"
    }
    Block {
        BlockType          Ground
    }
    Block {
        BlockType          Import
        Port               "1"
        UseBusObject       off
        BusObject          "BusObject"
        BusOutputAsStruct off
        PortDimensions     "-1"
        SampleTime         "-1"
        OutMin             "[]"
        OutMax             "[]"
        DataType           "auto"
        OutDataType         "fixdt(1,16,0)"
        OutScaling          "[]"
        OutDataTypeStr     "Inherit: auto"
        SignalType          "auto"
        SamplingMode        "auto"
        LatchByDelayingOutsideSignal off
        LatchByCopyingInsideSignal off
        Interpolate         on
    }
    Block {
        BlockType          Integrator

```

---

```

ExternalReset      "none"
InitialConditionSource "internal"
InitialCondition    "0"
LimitOutput        off
UpperSaturationLimit  "inf"
LowerSaturationLimit  "-inf"
ShowSaturationPort  off
ShowStatePort       off
AbsoluteTolerance   "auto"
IgnoreLimit         off
ZeroCross           on
ContinuousStateAttributes  "''"
}
Block {
  BlockType          Mux
  Inputs              "4"
  DisplayOption      "none"
  UseBusObject       off
  BusObject           "BusObject"
  NonVirtualBus      off
}
Block {
  BlockType          Outport
  Port                "1"
  UseBusObject       off
  BusObject           "BusObject"
  BusOutputAsStruct  off
  PortDimensions     "-1"
  SampleTime          "-1"
  OutMin              "[]"
  OutMax              "[]"
  DataType             "auto"
  OutDataType         "fixdt(1,16,0)"
  OutScaling           "["
  OutDataTypeStr      "Inherit: auto"
  SignalType          "auto"
  SamplingMode        "auto"
  OutputWhenDisabled  "held"
  InitialOutput       "["
}
Block {
  BlockType          PMComponent
  SubClassName        "unknown"
}
Block {
  BlockType          Scope
  ModelBased          off
  TickLabels          "OneTimeTick"
  ZoomMode            "on"
  Grid                "on"
  TimeRange           "auto"
  YMin                "-5"
  YMax                "5"
  SaveToWorkspace     off
  SaveName             "ScopeData"
  LimitDataPoints     on
  MaxDataPoints       "5000"
  Decimation          "1"
}

```

```

    SampleInput      off
    SampleTime      "-1"
}
Block {
    BlockType      Selector
    NumberOfDimensions "1"
    IndexMode      "One-based"
    InputPortWidth "-1"
    SampleTime      "-1"
}
Block {
    BlockType      Sensor
    SubClassName   "unknown"
    PortType       "blob"
}
Block {
    BlockType      "S-Function"
    FunctionName   "system"
    SFunctionModules "''"
    PortCounts     "[]"
    SFunctionDeploymentMode off
}
Block {
    BlockType      SubSystem
    ShowPortLabels "FromPortIcon"
    Permissions    "ReadWrite"
    PermitHierarchicalResolution "All"
    TreatAsAtomicUnit off
    CheckFcnCallInpInsideContextMsg off
    SystemSampleTime "-1"
    RTWFcnNameOpts "Auto"
    RTWFileNameOpts "Auto"
    RTWMemSecFuncInitTerm "Inherit from model"
    RTWMemSecFuncExecute "Inherit from model"
    RTWMemSecDataConstants "Inherit from model"
    RTWMemSecDataInternal "Inherit from model"
    RTWMemSecDataParameters "Inherit from model"
    SimViewingDevice off
    DataTypeOverride "UseLocalSettings"
    MinMaxOverflowLogging "UseLocalSettings"
}
Block {
    BlockType      Sum
    IconShape      "rectangular"
    Inputs         "++"
    CollapseMode   "All dimensions"
    CollapseDim    "1"
    InputSameDT    on
    AccumDataTypeStr "Inherit: Inherit via internal rule"
    OutMin          "[]"
    OutMax          "[]"
    OutDataTypeMode "Same as first input"
    OutDataType    "fixdt(1,16,0)"
    OutScaling      "[]"
    OutDataTypeStr "Inherit: Same as first input"
    LockScale      off
    RndMeth        "Floor"
    SaturateOnIntegerOverflow on
}

```

---

```

        SampleTime      "-1"
    }
    Block {
        BlockType      ToWorkspace
        VariableName   "simulink_output"
        MaxDataPoints  "1000"
        Decimation     "1"
        SampleTime     "0"
        FixptAsFi     off
    }
    Block {
        BlockType      Terminator
    }
    Block {
        BlockType      Reshape
        OutputDimensionality "1-D array"
        OutputDimensions   "[1,1]"
    }
    Block {
        BlockType      PMIOPort
    }
    Block {
        BlockType      Constant
        Value          "1"
        VectorParams1D on
        SamplingMode   "Sample based"
        OutMin         "[]"
        OutMax         "[]"
        OutDataTypeMode "Inherit from 'Constant value''"
        OutDataType    "fixdt(1,16,0)"
        ConRadixGroup  "Use specified scaling"
        OutScaling     "[]"
        OutDataTypeStr "Inherit: Inherit from 'Constant value''"
        SampleTime     "inf"
        FramePeriod    "inf"
    }
}
AnnotationDefaults {
    HorizontalAlignment "center"
    VerticalAlignment   "middle"
    ForegroundColor    "black"
    BackgroundColor   "white"
    DropShadow         off
    FontName           "Helvetica"
    FontSize           10
    FontWeight         "normal"
    FontAngle          "normal"
    UseDisplayTextAsClickCallback off
}
LineDefaults {
    FontName           "Helvetica"
    FontSize           9
    FontWeight         "normal"
    FontAngle          "normal"
}
System {
    Name              "pendul_model_ONODA"
    Location          [38, 74, 1135, 683]
}

```

```

Open          on
ModelBrowserVisibility off
ModelBrowserWidth      200
ScreenColor           "white"
PaperOrientation       "landscape"
PaperPositionMode     "auto"
PaperType              "usletter"
PaperUnits              "inches"
TiledPaperMargins     [0.500000, 0.500000, 0.500000, 0.500000]
TiledPageScale        1
ShowPageBoundaries    off
ZoomFactor            "100"
ReportName             "simulink-default.rpt"
BlocksetDataSetString "[0      -9.81      0]|1|0|1e-3|1|1e-3|1|2|1e-4|1e-4|0|0|1|1e-
5|Deprecated|matlab graphics|0|1||1|0"
Block {
  BlockType           ToWorkspace
  Name                " Memorare \nforta arc lamelar F"
  Position             [145, 380, 205, 410]
  VariableName        "trad_tens_f"
  MaxDataPoints       "inf"
  SampleTime          "-1"
  SaveFormat          "Structure With Time"
}
Block {
  BlockType           Reference
  Name                "Amortizare"
  Ports               [0, 0, 0, 0, 1, 1]
  Position             [895, 346, 935, 374]
  DialogController    "NetworkEngine.DynNeDlgSource"
  FontName             "Verdana"
  FontSize             11
  SourceBlock          "fl_lib/Mechanical/Translational\nElements/Translational Damper"
  SourceType            "Translational Damper"
  ShowPortLabels       "FromPortIcon"
  SystemSampleTime     "-1"
  FunctionWithSeparateData off
  RTWMemSecFuncInitTerm "Inherit from model"
  RTWMemSecFuncExecute  "Inherit from model"
  RTWMemSecDataConstants "Inherit from model"
  RTWMemSecDataInternal "Inherit from model"
  RTWMemSecDataParameters "Inherit from model"
  ClassName            "damper_transl"
  SchemaVersion        "1"
  D                   "6311.4"
  D_unit              "N/(m/s)"
  force_Log            "off"
  rel_velocity_Log     "off"
  power_Log            "off"
  LocalVarNames        "|force|rel_velocity|power"
  LocalVarDescs        "|Damping force (N)|Damper relative velocity (m/s)|Power
dissipated in the damper (W)"
  LocalVarLogging      "[0 0 0]"
}
Block {
  BlockType           Reference
  Name                "Amortizare articulatie O"
  Ports               [0, 0, 0, 0, 0, 1]

```

```

Position [375, 80, 435, 130]
DialogController "MECH.DynMechDlgSource"
SourceBlock "mblibv1/Force \nElements/Joint Spring & Damper"
SourceType "Joint Spring & Damper"
ShowPortLabels "FromPortIcon"
SystemSampleTime "-1"
FunctionWithSeparateData off
RTWMemSecFuncInitTerm "Inherit from model"
RTWMemSecFuncExecute "Inherit from model"
RTWMemSecDataConstants "Inherit from model"
RTWMemSecDataInternal "Inherit from model"
RTWMemSecDataParameters "Inherit from model"
ClassName "JointSpringDamper"
DialogClass "JointSpringDamper"
JFEPARAMETERS
"P1$false$0$0.5$5$m$m/s$N$rad$rad/s$N*m#P2$false$0$0.5$10$m$m/s$N$rad$rad/s$N*m#P3$false$0$0$0$m$m/s$N$rad$rad/s$N*m#R1$true$0$50$0$m$m/s$N$rad$rad/s$N*m#R2$false$0$0$0$m$m/s$N$rad$rad/s$N*m#R3$false$0$0$0$m$m/s$N$rad$rad/s$N*m#S$false$0$0$0$m$m/s$N$rad$rad/s$N*m"
}
Block {
  BlockType Reference
  Name "Arc lamelar F"
  Ports [0, 0, 0, 0, 1]
  Position [130, 205, 190, 255]
  DialogController "MECH.DynMechDlgSource"
  SourceBlock "mblibv1/Force \nElements/Joint Spring & Damper"
  SourceType "Joint Spring & Damper"
  ShowPortLabels "FromPortIcon"
  SystemSampleTime "-1"
  FunctionWithSeparateData off
  RTWMemSecFuncInitTerm "Inherit from model"
  RTWMemSecFuncExecute "Inherit from model"
  RTWMemSecDataConstants "Inherit from model"
  RTWMemSecDataInternal "Inherit from model"
  RTWMemSecDataParameters "Inherit from model"
  ClassName "JointSpringDamper"
  DialogClass "JointSpringDamper"
  JFEPARAMETERS "P1$true$25000$50-$0.005$m$m/s$N$rad$rad/s$N*m#P2$true$0$0$0$m$m/s$N$rad$rad/s$N*m#P3$false$0$0$0$m$m/s$N$rad$rad/s$N*m#R1$true$0$0$0$m$m/s$N$rad$rad/s$N*m#R2$false$0$0$0$m$m/s$N$rad$rad/s$N*m#R3$false$0$0$0$m$m/s$N$rad$rad/s$N*m#S$false$0$0$0$m$m/s$N$rad$rad/s$N*m"
}
Block {
  BlockType Reference
  Name "Articulatie \nTranslatie + \nRotatie F"
  Ports [0, 0, 0, 0, 2, 2]
  Position [40, 147, 90, 198]
  Orientation "left"
  NamePlacement "alternate"
  DialogController "MECH.DynMechDlgSource"
  FontName "Arial"
  SourceBlock "mblibv1/Joints/Custom Joint"
  SourceType "Custom Joint"
  PhysicalDomain "mechanical"
  SubClassName "custom_joint"
  LeftPortType "blob"
}

```

```

RightPortType      "blob"
LConnTagsString   "__newl0|SA1"
RConnTagsString   "__newr0|SA1"
NumSAPorts        "2"
CutJoint          "off"
MarkAsCut         "off"
Primitives         "prismatic"
PrimitiveProps    "R1$World$[1      0      0]$revolute#R2$World$[0
0]$Revolute#R3$World$[0      0      1]$Revolute#P1$World$[sin(12.5*pi/180)
0]$Prismatic#P2$World$[0 cos(12.5*pi/180) 0]$Prismatic#P3$World$[0 0 1]$Prismatic"
ClassName         "Joint"
DialogClass       "JointBlock"
R1Axis            "[1 0 0]"
R2Axis            "[0 1 0]"
R3Axis            "[0 0 1]"
P1Axis            "[sin(12.5*pi/180) 0 0]"
P2Axis            "[0 cos(12.5*pi/180) 0]"
P3Axis            "[0 0 1]"
SAxis             "[]"
}
Block {
  BlockType      Reference
  Name           "Articulatie A "
  Ports          [0, 0, 0, 0, 1, 1]
  Position        [270, 155, 320, 205]
  DialogController "MECH.DynMechDlgSource"
  SourceBlock    "mblibv1/Joints/Spherical"
  SourceType      "Spherical"
  PhysicalDomain "mechanical"
  SubClassName   "Unknown"
  LeftPortType   "blob"
  RightPortType  "blob"
  LConnTagsString "__newl0"
  RConnTagsString "__newr0"
  NumSAPorts     "0"
  CutJoint        "off"
  MarkAsCut      "off"
  Primitives      "spherical"
  PrimitiveProps  "$$WORLD$[0 0 0]$spherical"
  ClassName       "Joint"
  DialogClass    "JointBlock"
  SAxis           "[0 0 0]"
}
Block {
  BlockType      Reference
  Name           "Articulatie C"
  Ports          [0, 0, 0, 0, 1, 1]
  Position        [695, 155, 745, 205]
  Orientation    "left"
  DialogController "MECH.DynMechDlgSource"
  SourceBlock    "mblibv1/Joints/Spherical"
  SourceType      "Spherical"
  PhysicalDomain "mechanical"
  SubClassName   "Unknown"
  LeftPortType   "blob"
  RightPortType  "blob"
  LConnTagsString "__newl0"
  RConnTagsString "__newr0"
}

```

```

NumSAPorts      "0"
CutJoint        "off"
MarkAsCut       "off"
Primitives      "spherical"
PrimitiveProps   "S$World$[0 0 0]$spherical"
ClassName        "Joint"
DialogClass     "JointBlock"
SAxis            "[0 0 0]"
}
Block {
  BlockType      Reference
  Name           "Articulatie O"
  Ports          [0, 0, 0, 0, 2, 1]
  Position        [270, 22, 320, 73]
  Orientation    "left"
  DialogController "MECH.DynMechDlgSource"
  SourceBlock    "mblibv1/Joints/Revolute"
  SourceType      "Revolute"
  PhysicalDomain "mechanical"
  SubClassName   "Unknown"
  LeftPortType   "blob"
  RightPortType  "blob"
  LConnTagsString "__newl0|SA1"
  RConnTagsString "__newr0"
  NumSAPorts     "1"
  CutJoint        "off"
  MarkAsCut       "off"
  Primitives      "revolute"
  PrimitiveProps  "R1$World$[0 0 1]$revolute"
  ClassName       "Joint"
  DialogClass    "JointBlock"
  R1Axis          "[0 0 1]"
}
Block {
  BlockType      Reference
  Name           "Cilindru"
  Ports          [0, 0, 0, 0, 1, 1]
  Position        [575, 160, 635, 200]
  DialogController "MECH.DynMechDlgSource"
  SourceBlock    "mblibv1/Bodies/Body"
  SourceType      "Body"
  PhysicalDomain "mechanical"
  SubClassName   "Unknown"
  LeftPortType   "workingframe"
  RightPortType  "workingframe"
  LConnTagsString "CS1"
  RConnTagsString "CS2"
  ClassName       "Body"
  DialogClass    "MechanicalBodyBlock"
  Mass            "0.5"
  MassUnits       "kg"
  InertiaUnits    "kg*m^2"
  Inertia          "eye(3)*1e-4"
  Shape           "Cylinder"
  ShapeDims       "[1 1]"
  ShapeUnits      "m"
  ShapeUse         "false"
  Density          "1"
}

```

```

DensityUnits      "kg/m^3"
DensityUse        "false"
GraphicsMode      "1"
BodyColor          "[0.5 0.5 0.5]"
GraphicsObj        "[]"
AttachedToCS       "1"
CG                 "Left$CG$[-0.113 -0.166 0]$World$World$m$[0 0 0]$Euler X-Y-
Z$deg$World$false$none"
WorkingFrames      "Left$CS1$[-0.083 -0.166 0]$World$World$m$[0 0 0]$Euler X-
Y-Z$deg$World$true$none#Right$CS2$[-0.173 -0.166 0]$World$World$m$[0 0 0]$Euler X-Y-
Z$deg$World$true$none"
CGPos              "[-0.113 -0.166 0]"
CGRot              "[0 0 0]"
CS0Pos             "[]"
CS0Rot              []
CS1Pos              "[-0.083 -0.166 0]"
CS1Rot              "[0 0 0]"
CS2Pos              "[-0.173 -0.166 0]"
CS2Rot              "[0 0 0]"
CS3Pos             "[]"
CS3Rot              []
CS4Pos             "[]"
CS4Rot              []
CS5Pos             "[]"
CS5Rot              []
CS6Pos             "[]"
CS6Rot              []
CS7Pos             "[]"
CS7Rot              []
CS8Pos             "[]"
CS8Rot              []
CS9Pos             "[]"
CS9Rot              []
CS10Pos            "[]"
CS10Rot             []
CS11Pos            "[]"
CS11Rot             []
CS12Pos            "[]"
CS12Rot             []
CS13Pos            "[]"
CS13Rot             []
CS14Pos            "[]"
CS14Rot             []
CS15Pos            "[]"
CS15Rot             []
CS16Pos            "[]"
CS16Rot             []
CS17Pos            "[]"
CS17Rot             []
CS18Pos            "[]"
CS18Rot             []
CS19Pos            "[]"
CS19Rot             []
CS20Pos            "[]"
CS20Rot             []
}
Block {
  BlockType          Reference

```

```

Name           "Configurare\ nsolver"
Ports          [0, 0, 0, 0, 0, 0, 1]
Position        [735, 314, 780, 346]
DialogController "NetworkEngine.DynNeUtilDlgSource"
FontName        "Verdana"
FontSize         11
SourceBlock     "nesl_utility/Solver\n Configuration"
SourceType      "Solver\n Configuration"
ShowPortLabels   "FromPortIcon"
SystemSampleTime "-1"
FunctionWithSeparateData off
RTWMemSecFuncInitTerm "Inherit from model"
RTWMemSecFuncExecute  "Inherit from model"
RTWMemSecDataConstants "Inherit from model"
RTWMemSecDataInternal  "Inherit from model"
RTWMemSecDataParameters "Inherit from model"
PhysicalDomain    "network_engine_domain"
LeftPortType      "input"
RightPortType     "generic"
SubClassName      "solver"
Accelerate       off
Profile          off
ResidualTolerance "1e-9"
MaxNonlinIter     "12"
MaxModeIter       "2"
DoFixedCost       off
DoDC             off
LinearAlgebra     "Full"
}
Block {
  BlockType      Gain
  Name           "Const.1"
  Position        [555, 415, 585, 445]
  Gain            "-1"
  ParameterDataTypeMode "Inherit via internal rule"
  ParameterDataType  "sfix(16)"
  ParameterScaling   "2^0"
  ParamDataTypeStr "Inherit: Inherit via internal rule"
  OutDataTypeMode   "Inherit via internal rule"
  OutDataType      "sfix(16)"
  OutScaling        "2^0"
  OutDataTypeStr   "Inherit: Inherit via internal rule"
  SaturateOnIntegerOverflow off
}
Block {
  BlockType      Scope
  Name           "Diagrama\nforta arc lamelar F "
  Ports          [1]
  Position        [160, 310, 190, 340]
  NamePlacement   "alternate"
  Floating        off
  Location        [5, 45, 1285, 771]
  Open            off
  NumInputPorts   "1"
  List {
    ListType      AxesTitles
    axes1          "%<SignalLabel>"
  }
}

```

```

YMin           "-350"
YMax           "350"
SaveName       "ScopeData2"
DataFormat     "StructureWithTime"
SampleTime     "0"
}
Block {
  BlockType      Scope
  Name           "Diagrama \ndeplasare piston"
  Ports          [1]
  Position       [645, 275, 675, 305]
  Floating       off
  Location       [5, 45, 1285, 771]
  Open           off
  NumInputPorts "1"
  List {
    ListType      AxesTitles
    axes1         "%<SignalLabel>"}
  }
YMin           "-350"
YMax           "350"
SaveName       "ScopeData3"
DataFormat     "StructureWithTime"
SampleTime     "0"
}
Block {
  BlockType      Scope
  Name           "Diagrama \nforta piston"
  Ports          [1]
  Position       [640, 415, 670, 445]
  Floating       off
  Location       [5, 45, 1285, 771]
  Open           off
  NumInputPorts "1"
  List {
    ListType      AxesTitles
    axes1         "%<SignalLabel>"}
  }
YMin           "-350"
YMax           "350"
DataFormat     "StructureWithTime"
SampleTime     "0"
}
Block {
  BlockType      Reference
  Name           "Elasticitate 1"
  Ports          [0, 0, 0, 0, 0, 1, 1]
  Position       [895, 391, 935, 419]
  DialogController "NetworkEngine.DynNeDlgSource"
  FontName       "Verdana"
  FontSize        11
  SourceBlock    "fl_lib/Mechanical/Translational\nElements/Translational Spring"
  SourceType      "Translational Spring"
  ShowPortLabels "FromPortIcon"
  SystemSampleTime "-1"
  FunctionWithSeparateData off
  RTWMemSecFuncInitTerm  "Inherit from model"
  RTWMemSecFuncExecute   "Inherit from model"

```

```

RTWMemSecDataConstants "Inherit from model"
RTWMemSecDataInternal "Inherit from model"
RTWMemSecDataParameters "Inherit from model"
ClassName "spring_transl"
SchemaVersion "1"
spr_rate "25000"
spr_rate_unit "N/m"
init_def "0"
init_def_unit "m"
force_Log "off"
deformation_Log "off"
LocalVarNames "[force|deformation]"
LocalVarDescs "[Spring force (N)|Spring deformation (m)]"
LocalVarLogging "[0 0]"
}
Block {
    BlockType Reference
    Name "Elasticitate 2"
    Ports [0, 0, 0, 0, 1, 1]
    Position [1005, 391, 1045, 419]
    DialogController "NetworkEngine.DynNeDlgSource"
    FontName "Verdana"
    FontSize 11
    SourceBlock "fl_lib/Mechanical/Translational\nElements/Translational Spring"
    SourceType "Translational Spring"
    ShowPortLabels "FromPortIcon"
    SystemSampleTime "-1"
    FunctionWithSeparateData off
    RTWMemSecFuncInitTerm "Inherit from model"
    RTWMemSecFuncExecute "Inherit from model"
    RTWMemSecDataConstants "Inherit from model"
    RTWMemSecDataInternal "Inherit from model"
    RTWMemSecDataParameters "Inherit from model"
    ClassName "spring_transl"
    SchemaVersion "1"
    spr_rate "500000"
    spr_rate_unit "N/m"
    init_def "0"
    init_def_unit "m"
    force_Log "off"
    deformation_Log "off"
    LocalVarNames "[force|deformation]"
    LocalVarDescs "[Spring force (N)|Spring deformation (m)]"
    LocalVarLogging "[0 0]"
}
Block {
    BlockType Reference
    Name "Fixare C"
    Ports [0, 0, 0, 0, 0, 1]
    Position [785, 160, 825, 200]
    Orientation "left"
    UserDataPersistent on
    UserData "DataTag0"
    DialogController "MECH.DynMechDlgSource"
    SourceBlock "mblibv1/Bodies/Ground"
    SourceType "Ground"
    ShowPortLabels "FromPortIcon"
    SystemSampleTime "-1"
}

```

```

FunctionWithSeparateData off
RTWMemSecFuncInitTerm "Inherit from model"
RTWMemSecFuncExecute "Inherit from model"
RTWMemSecDataConstants "Inherit from model"
RTWMemSecDataInternal "Inherit from model"
RTWMemSecDataParameters "Inherit from model"
LeftPortType "env"
RightPortType "workingframe"
PhysicalDomain "Mechanical"
DialogClass "GroundBlock"
ClassName "Ground"
CoordPosition "[ -0.173 -0.166 0 ]"
CoordPositionUnits "m"
StateVectorMgrId "-1"
MachineId "[ 0 0 ]"
ShowEnvPort off
}
Block {
  BlockType Reference
  Name "Fixare F"
  Ports [ 0, 0, 0, 0, 0, 1 ]
  Position [ 140, 140, 180, 180 ]
  Orientation "left"
  UserDataPersistent on
  UserData "DataTag1"
  DialogController "MECH.DynMechDlgSource"
  SourceBlock "mblibv1/Bodies/Ground"
  SourceType "Ground"
  ShowPortLabels "FromPortIcon"
  SystemSampleTime "1"
  FunctionWithSeparateData off
  RTWMemSecFuncInitTerm "Inherit from model"
  RTWMemSecFuncExecute "Inherit from model"
  RTWMemSecDataConstants "Inherit from model"
  RTWMemSecDataInternal "Inherit from model"
  RTWMemSecDataParameters "Inherit from model"
  LeftPortType "env"
  RightPortType "workingframe"
  PhysicalDomain "Mechanical"
  DialogClass "GroundBlock"
  ClassName "Ground"
  CoordPosition "[ -0.043 0.194 0 ]"
  CoordPositionUnits "m"
  StateVectorMgrId "-1"
  MachineId "[ 0 0 ]"
  ShowEnvPort off
}
Block {
  BlockType Reference
  Name "Fixare O"
  Ports [ 0, 0, 0, 0, 0, 1, 1 ]
  Position [ 380, 15, 420, 55 ]
  Orientation "left"
  UserDataPersistent on
  UserData "DataTag2"
  DialogController "MECH.DynMechDlgSource"
  SourceBlock "mblibv1/Bodies/Ground"
  SourceType "Ground"
}

```

```

ShowPortLabels      "FromPortIcon"
SystemSampleTime   "-1"
FunctionWithSeparateData off
RTWMemSecFuncInitTerm "Inherit from model"
RTWMemSecFuncExecute "Inherit from model"
RTWMemSecDataConstants "Inherit from model"
RTWMemSecDataInternal "Inherit from model"
RTWMemSecDataParameters "Inherit from model"
LeftPortType       "env"
RightPortType      "workingframe"
PhysicalDomain     "Mechanical"
DialogClass        "GroundBlock"
ClassName          "Ground"
CoordPosition      "[0 0 0]"
CoordPositionUnits "m"
StateVectorMgrId   "0"
MachineId         "[1 0]"
ShowEnvPort        on
}
Block {
  BlockType      Reference
  Name           "Frcare"
  Ports          [0, 0, 0, 0, 0, 1, 1]
  Position       [895, 445, 935, 465]
  DialogController "NetworkEngine.DynNeDlgSource"
  FontName        "Verdana"
  FontSize        11
  SourceBlock    "fl_lib/Mechanical/Translational\nElements/Translational\nFriction"
  SourceType      "Translational\nFriction"
  ShowPortLabels "FromPortIcon"
  SystemSampleTime "-1"
  FunctionWithSeparateData off
  RTWMemSecFuncInitTerm "Inherit from model"
  RTWMemSecFuncExecute "Inherit from model"
  RTWMemSecDataConstants "Inherit from model"
  RTWMemSecDataInternal "Inherit from model"
  RTWMemSecDataParameters "Inherit from model"
  ClassName       "friction_transl"
  SchemaVersion   "1"
  brkwy_frc       "2.1"
  brkwy_frc_unit  "N"
  Col_frc          "0.002"
  Col_frc_unit    "N"
  visc_coef        "0"
  visc_coef_unit   "N/(m/s)"
  trans_coeff     "0.01"
  trans_coeff_unit "s/m"
  vel_thr          "1e-04"
  vel_thr_unit    "m/s"
  friction_force_Log "off"
  rel_velocity_Log "off"
  power_Log        "off"
  LocalVarNames   "|friction_force|rel_velocity|power"
  LocalVarDescs   "|Friction force (N)|Relative velocity (m/s)|Power (W)"
  LocalVarLogging "[0 0 0]"
}
Block {
  BlockType      Reference

```

```

Name           "Interfata\mecanic - \namortizor"
Ports          [0, 0, 0, 0, 0, 2, 1]
Position        [920, 260, 960, 300]
Orientation     "up"
DialogController "MECH.DynMechDlgSource"
SourceBlock     "mblibv1/Interface \nElements/Prismatic -\nTranslational\nInterface"
SourceType      "Prismatic - Translational Interface"
ShowPortLabels  "FromPortIcon"
SystemSampleTime "-1"
FunctionWithSeparateData off
RTWMemSecFuncInitTerm "Inherit from model"
RTWMemSecFuncExecute "Inherit from model"
RTWMemSecDataConstants "Inherit from model"
RTWMemSecDataInternal "Inherit from model"
RTWMemSecDataParameters "Inherit from model"
ClassName       "PrismaticTranslationalInterface"
DialogClass     "PrismaticTranslationalInterface"
Primitive       "P1"
}
Block {
BlockType      Reference
Name           "Mechanical\Translational\nReference"
Ports          [0, 0, 0, 0, 0, 1]
Position        [745, 395, 765, 415]
Orientation     "left"
ShowName        off
DialogController "NetworkEngine.DynNeDlgSource"
SourceBlock     "fl_lib/Mechanical/Translational\nElements/Mechanical\nTranslational\nReference"
SourceType      "Mechanical\Translational\nReference"
ShowPortLabels  "FromPortIcon"
SystemSampleTime "-1"
FunctionWithSeparateData off
RTWMemSecFuncInitTerm "Inherit from model"
RTWMemSecFuncExecute "Inherit from model"
RTWMemSecDataConstants "Inherit from model"
RTWMemSecDataInternal "Inherit from model"
RTWMemSecDataParameters "Inherit from model"
ClassName       "reference_transl"
SchemaVersion   "1"
LocalVarLogging "["
}
Block {
BlockType      Reference
Name           "Mediul \nde simulare"
Tag            "Factory ground"
Ports          [0, 0, 0, 0, 0, 0, 1]
Position        [460, 25, 500, 45]
Orientation     "left"
DialogController "MECH.DialogSource"
SourceBlock     "mblibv1/Bodies/Machine\nEnvironment"
SourceType      "Machine Environment"
ShowPortLabels  "FromPortIcon"
SystemSampleTime "-1"
FunctionWithSeparateData off
RTWMemSecFuncInitTerm "Inherit from model"
RTWMemSecFuncExecute "Inherit from model"
RTWMemSecDataConstants "Inherit from model"

```

```

RTWMemSecDataInternal "Inherit from model"
RTWMemSecDataParameters "Inherit from model"
PortType "env"
PhysicalDomain "Mechanical"
ClassName "Environment"
DialogTemplateClass "MECH.MachineEnvironment"
SyncWhenCopied "off"
Gravity "[0 -9.81 0]"
GravityUnits "m/s^2"
GravityAsSignal off
Dimensionality "3D Only"
AnalysisType "Forward dynamics"
LinearAssemblyTolerance "1e-3"
LinearAssemblyToleranceUnits "m"
AngularAssemblyTolerance "1e-3"
AngularAssemblyToleranceUnits "rad"
ConstraintSolverType "Stabilizing"
ConstraintRelTolerance "1e-4"
ConstraintAbsTolerance "1e-4"
UseRobustSingularityHandling off
RedundancyAnalysisToleranceType "Automatically select tolerance"
RedundancyAnalysisTolerance "1e-14"
StatePerturbationType "Fixed"
PerturbationSize "1e-5"
VisualizeMachine on
}
Block {
  BlockType ToWorkspace
  Name "Memorare \ndeplasare piston"
  Position [630, 340, 690, 370]
  VariableName "depl_piston"
  MaxDataPoints "inf"
  SampleTime "-1"
  SaveFormat "Structure With Time"
}
Block {
  BlockType ToWorkspace
  Name "Memorare \nforta piston"
  Position [625, 480, 685, 510]
  VariableName "forta_piston"
  MaxDataPoints "inf"
  SampleTime "-1"
  SaveFormat "Structure With Time"
}
Block {
  BlockType Reference
  Name "Pendul"
  Ports [0, 0, 0, 0, 0, 2, 1]
  Position [100, 40, 180, 80]
  Orientation "left"
  DialogController "MECH.DynMechDlgSource"
  SourceBlock "mblibv1/Bodies/Body"
  SourceType "Body"
  PhysicalDomain "mechanical"
  SubClassName "Unknown"
  LeftPortType "workingframe"
  RightPortType "workingframe"
  LConnTagsString "CS1|CS2"
}

```

```

RConnTagsString      "CS3"
ClassName           "Body"
DialogClass         "MechanicalBodyBlock"
Mass                "50"
MassUnits            "kg"
InertiaUnits        "kg*m^2"
Inertia              "eye(3)*1e-4"
Shape               "Cylinder"
ShapeDims            "[1 1]"
ShapeUnits           "m"
ShapeUse             "false"
Density              "1"
DensityUnits         "kg/m^3"
DensityUse           "false"
GraphicsMode        "1"
BodyColor            "[0.5 0.5 0.5]"
GraphicsObj          "[]"
AttachedToCS         "1"
CG                  "Left$CG$[0.336 -0.698 0]$WORLD$WORLD$m$[0 0 0]$Euler X-Y-
Z$deg$WORLD$false$none"
WorkingFrames        "Left$CS1$[0 0 0]$WORLD$WORLD$m$[0 0 0]$Euler X-Y-
Z$deg$WORLD$true$none#Left$CS2$[0.037 -0.166 0]$WORLD$WORLD$m$[0 0 0]$Euler X-
Y-Z$deg$WORLD$true$none#Right$CS3$[-0.043 0.194 0]$WORLD$WORLD$m$[0 0 0]$Euler
X-Y-Z$deg$WORLD$true$none"
CGPos               "[0.336 -0.698 0]"
CGRot               "[0 0 0]"
CS0Pos              "[]"
CS0Rot               "[]"
CS1Pos              "[0 0 0]"
CS1Rot               "[0 0 0]"
CS2Pos              "[0.037 -0.166 0]"
CS2Rot               "[0 0 0]"
CS3Pos              "[-0.043 0.194 0]"
CS3Rot               "[0 0 0]"
CS4Pos              "[]"
CS4Rot               "[]"
CS5Pos              "[]"
CS5Rot               "[]"
CS6Pos              "[]"
CS6Rot               "[]"
CS7Pos              "[]"
CS7Rot               "[]"
CS8Pos              "[]"
CS8Rot               "[]"
CS9Pos              "[]"
CS9Rot               "[]"
CS10Pos             "[]"
CS10Rot              "[]"
CS11Pos             "[]"
CS11Rot              "[]"
CS12Pos             "[]"
CS12Rot              "[]"
CS13Pos             "[]"
CS13Rot              "[]"
CS14Pos             "[]"
CS14Rot              "[]"
CS15Pos             "[]"
CS15Rot              "[]"

```

```

CS16Pos          "[]"
CS16Rot          "[]"
CS17Pos          "[]"
CS17Rot          "[]"
CS18Pos          "[]"
CS18Rot          "[]"
CS19Pos          "[]"
CS19Rot          "[]"
CS20Pos          "[]"
CS20Rot          "[]"
}
Block {
  BlockType      Reference
  Name           "Piston"
  Ports          [0, 0, 0, 0, 1, 1]
  Position        [360, 160, 420, 200]
  DialogController "MECH.DynMechDlgSource"
  SourceBlock    "mblibv1/Bodies/Body"
  SourceType     "Body"
  PhysicalDomain "mechanical"
  SubClassName   "Unknown"
  LeftPortType   "workingframe"
  RightPortType  "workingframe"
  LConnTagsString "CS1"
  RConnTagsString "CS2"
  ClassName      "Body"
  DialogClass    "MechanicalBodyBlock"
  Mass           "0.3"
  MassUnits      "kg"
  InertiaUnits   "kg*m^2"
  Inertia         "eye(3)*1e-4"
  Shape           "Cylinder"
  ShapeDims      "[1 1]"
  ShapeUnits     "m"
  ShapeUse       "false"
  Density         "1"
  DensityUnits   "kg/m^3"
  DensityUse     "false"
  GraphicsMode   "1"
  BodyColor      "[0.5 0.5 0.5]"
  GraphicsObj    "[]"
  AttachedToCS   "1"
  CG              "Left$CG$[-0.063 -0.166 0]$World$World$m$[0 0 0]$Euler X-Y-
Z$deg$World$false$none"
  WorkingFrames   "Left$CS1$[0.037 -0.166 0]$World$World$m$[0 0 0]$Euler X-
Y-Z$deg$WORLD$true$none#Right$CS2$[-0.083 -0.166 0]$World$World$m$[0 0 0]$Euler X-
Y-Z$deg$World$true$none"
  CGPos          "[-0.063 -0.166 0]"
  CGRot          "[0 0 0]"
  CS0Pos          "[]"
  CS0Rot          "[]"
  CS1Pos          "[0.037 -0.166 0]"
  CS1Rot          "[0 0 0]"
  CS2Pos          "[-0.083 -0.166 0]"
  CS2Rot          "[0 0 0]"
  CS3Pos          "[]"
  CS3Rot          "[]"
  CS4Pos          "[]"

```

```

CS4Rot      "[]"
CS5Pos      "[]"
CS5Rot      "[]"
CS6Pos      "[]"
CS6Rot      "[]"
CS7Pos      "[]"
CS7Rot      "[]"
CS8Pos      "[]"
CS8Rot      "[]"
CS9Pos      "[]"
CS9Rot      "[]"
CS10Pos     "[]"
CS10Rot     "[]"
CS11Pos     "[]"
CS11Rot     "[]"
CS12Pos     "[]"
CS12Rot     "[]"
CS13Pos     "[]"
CS13Rot     "[]"
CS14Pos     "[]"
CS14Rot     "[]"
CS15Pos     "[]"
CS15Rot     "[]"
CS16Pos     "[]"
CS16Rot     "[]"
CS17Pos     "[]"
CS17Rot     "[]"
CS18Pos     "[]"
CS18Rot     "[]"
CS19Pos     "[]"
CS19Rot     "[]"
CS20Pos     "[]"
CS20Rot     "[]"
}
Block {
  BlockType      Reference
  Name           "Senzor\n forta arc lamelar F "
  Ports          [0, 1, 0, 0, 0, 1]
  Position        [50, 305, 90, 345]
  DialogController "MECH.DynMechDlgSource"
  SourceBlock    "mblibv1/Sensors & \nActuators/Joint Sensor"
  SourceType      "Joint Sensor"
  ShowPortLabels "FromPortIcon"
  SystemSampleTime "-1"
  FunctionWithSeparateData off
  RTWMemSecFuncInitTerm  "Inherit from model"
  RTWMemSecFuncExecute   "Inherit from model"
  RTWMemSecDataConstants "Inherit from model"
  RTWMemSecDataInternal  "Inherit from model"
  RTWMemSecDataParameters "Inherit from model"
  PhysicalDomain     "Mechanical"
  PortType          "blob"
  Muxed            "off"
  Pose              "off"
  Angle             "on"
  AngleUnits        "deg"
  ArcVelocity       "on"
  ArcVelocityUnits  "deg/s"

```

---

```

ArcAcceleration          "off"
ArcAccelerationUnits    "deg/s^2"
CoordPosition           "off"
CoordPositionUnits      "m"
Velocity                "off"
VelocityUnits            "m/s"
Acceleration             "off"
AccelerationUnits        "m/s^2"
Quaternion              "on"
QuaternionDT            "off"
QuaternionDDT           "off"
QuaternionUnits          "off"
OutputVector            "[ 1 1 ]"
ActiveIO                "on"
Width                   "1"
ClassName               "JointSensor"
DialogClass              "MechanicalSensorBlock"
Primitive                "P1"
Force                   "on"
ForceUnits               "N"
Torque                  "off"
TorqueUnits              "N*m"
ReferenceFrame           "Absolute (INERTIAL)"
ReactionSensedSide      "Base"
ReactionReferenceFrame   "Absolute (World)"
ReactionForce             "off"
ReactionForceUnits        "N"
ReactionMoment            "off"
ReactionMomentUnits       "N*m"
}
Block {
  BlockType              Reference
  Name                   "Senzor \ndeplasare\n si forta\n piston"
  Ports                  [0, 2, 0, 0, 0, 1]
  Position                [480, 280, 520, 320]
  DialogController        "MECH.DynMechDlgSource"
  SourceBlock             "mblibv1/Sensors & \nActuators/Joint Sensor"
  SourceType               "Joint Sensor"
  ShowPortLabels          "FromPortIcon"
  SystemSampleTime         "-1"
  FunctionWithSeparateData off
  RTWMemSecFuncInitTerm   "Inherit from model"
  RTWMemSecFuncExecute     "Inherit from model"
  RTWMemSecDataConstants   "Inherit from model"
  RTWMemSecDataInternal    "Inherit from model"
  RTWMemSecDataParameters  "Inherit from model"
  PhysicalDomain           "Mechanical"
  PortType                 "blob"
  Muxed                   "off"
  Pose                     "off"
  Angle                   "on"
  AngleUnits               "deg"
  ArcVelocity              "on"
  ArcVelocityUnits          "deg/s"
  ArcAcceleration           "off"
  ArcAccelerationUnits       "deg/s^2"
  CoordPosition             "on"
  CoordPositionUnits         "m"

```

```

Velocity          "off"
VelocityUnits     "m/s"
Acceleration      "off"
AccelerationUnits "m/s^2"
Quaternion        "on"
QuaternionDT      "off"
QuaternionDDT     "off"
QuaternionUnits   "off"
OutputVector      "[ 1 1 ]"
ActiveIO          "on"
Width              "2"
ClassName         "JointSensor"
DialogClass       "MechanicalSensorBlock"
Primitive          "P1"
Force              "on"
ForceUnits         "N"
Torque             "off"
TorqueUnits        "N*m"
ReferenceFrame    "Absolute (INERTIAL)"
ReactionSensedSide "Base"
ReactionReferenceFrame "Absolute (World)"
ReactionForce      "off"
ReactionForceUnits "N"
ReactionMoment     "off"
ReactionMomentUnits "N*m"
}
Block {
  BlockType        Reference
  Name             "Translatie \nPiston-Cilindru"
  Ports            [0, 0, 0, 0, 2, 2]
  Position          [485, 166, 535, 219]
  Orientation      "left"
  DialogController "MECH.DynMechDlgSource"
  SourceBlock      "mblibv1/Joints/Prismatic"
  SourceType        "Prismatic"
  PhysicalDomain   "mechanical"
  SubClassName     "Unknown"
  LeftPortType     "blob"
  RightPortType    "blob"
  LConnTagsString  "__newl0|SA1"
  RConnTagsString  "__newr0|SA1"
  NumSAPorts       "2"
  CutJoint         "off"
  MarkAsCut        "off"
  Primitives        "prismatic"
  PrimitiveProps   "P1$Base$[1 0 0]$prismatic"
  ClassName        "Joint"
  DialogClass      "JointBlock"
  P1Axis           "[1 0 0]"
}
Line {
  LineType          "Connection"
  SrcBlock          "Fixare O"
  SrcPort           RConn1
  DstBlock          "Articulatie O"
  DstPort           LConn1
}
Line {

```

```

LineType           "Connection"
SrcBlock          "Pendul"
SrcPort           LConn1
DstBlock          "Articulatie O"
DstPort           RConn1
}
Line {
LineType           "Connection"
SrcBlock          "Fixare O"
SrcPort           LConn1
DstBlock          "Mediul \nde simulare"
DstPort           RConn1
}
Line {
LineType           "Connection"
SrcBlock          "Articulatie A "
SrcPort           RConn1
DstBlock          "Piston"
DstPort           LConn1
}
Line {
LineType           "Connection"
SrcBlock          "Piston"
SrcPort           RConn1
DstBlock          "Translatie \nPiston-Cilindru"
DstPort           RConn1
}
Line {
LineType           "Connection"
SrcBlock          "Translatie \nPiston-Cilindru"
SrcPort           LConn1
DstBlock          "Cilindru"
DstPort           LConn1
}
Line {
LineType           "Connection"
SrcBlock          "Articulatie A "
SrcPort           LConn1
Points            [-20, 0; 0, -110]
DstBlock          "Pendul"
DstPort           LConn2
}
Line {
LineType           "Connection"
SrcBlock          "Articulatie C"
SrcPort           RConn1
DstBlock          "Cilindru"
DstPort           RConn1
}
Line {
LineType           "Connection"
SrcBlock          "Articulatie C"
SrcPort           LConn1
DstBlock          "Fixare C"
DstPort           RConn1
}
Line {
LineType           "Connection"

```

```

SrcBlock      "Articulatie \nTranslatie + \nRotatie F"
SrcPort       RConn1
Points        [-10, 0; 0, -100]
DstBlock      "Pendul"
DstPort       RConn1
}
Line {
  LineType    "Connection"
  SrcBlock    "Articulatie \nTranslatie + \nRotatie F"
  SrcPort     LConn1
  DstBlock    "Fixare F"
  DstPort     RConn1
}
Line {
  LineType    "Connection"
  SrcBlock    "Articulatie \nTranslatie + \nRotatie F"
  SrcPort     LConn2
  Points      [5, 0; 0, 45]
  DstBlock    "Arc lamelar F"
  DstPort     LConn1
}
Line {
  LineType    "Connection"
  SrcBlock    "Articulatie \nTranslatie + \nRotatie F"
  SrcPort     RConn2
  Points      [-10, 0; 0, 140]
  DstBlock    "Senzor\n forta arc lamelar F "
  DstPort     LConn1
}
Line {
  LineType    "Connection"
  SrcBlock    "Translatie \nPiston-Cilindru"
  SrcPort     RConn2
  Points      [-20, 0; 0, 95]
  DstBlock    "Senzor \ndeplasare\n si forta\n piston"
  DstPort     LConn1
}
Line {
  SrcBlock    "Senzor \ndeplasare\n si forta\n piston"
  SrcPort     1
  Points      [75, 0]
  Branch {
    DstBlock    "Diagrama \ndeplasare piston"
    DstPort     1
  }
  Branch {
    Points      [0, 65]
    DstBlock    "Memorare \ndeplasare piston"
    DstPort     1
  }
}
Line {
  LineType    "Connection"
  SrcBlock    "Articulatie O"
  SrcPort     LConn2
  Points      [15, 0; 0, 45]
  DstBlock    "Amortizare articulatie O"
  DstPort     LConn1
}

```

```

    }
    Line {
        LineType           "Connection"
        SrcBlock          "Interfata\nmecanic - \namortizor"
        SrcPort           RConn1
        Points            [-385, 0; 0, -40]
        DstBlock          "Translatie \nPiston-Cilindru"
        DstPort           LConn2
    }
    Line {
        LineType           "Connection"
        Points             [805, 405; 15, 0]
        Branch {
            ConnectType      "SRC_DEST"
            SrcBlock          "Configurare\nsolver"
            SrcPort           RConn1
            Points            [10, 0; 0, 75]
        }
        Branch {
            ConnectType      "SRC_SRC"
            DstBlock          "Mechanical\nTranslational\nReference"
            DstPort           LConn1
        }
        Branch {
            ConnectType      "DEST_SRC"
            Points            [25, 0]
            Branch {
                ConnectType      "DEST_DEST"
                SrcBlock          "Frecare"
                SrcPort           LConn1
                Points            [-35, 0; 0, -50]
            }
            Branch {
                ConnectType      "DEST_SRC"
                Points            [0, -45]
                DstBlock          "Amortizare"
                DstPort           LConn1
            }
            Branch {
                ConnectType      "DEST_SRC"
                DstBlock          "Elasticitate 1"
                DstPort           LConn1
            }
        }
        Branch {
            ConnectType      "DEST_SRC"
            Points            [0, -75; 110, 0]
            DstBlock          "Interfata\nmecanic - \namortizor"
            DstPort           LConn1
        }
    }
    Line {
        SrcBlock          "Const.1"
        SrcPort           1
        Points            [5, 0]
        Branch {
            DstBlock          "Diagrama \nforta piston"
            DstPort           1
        }
    }
}

```

```

    }
    Branch {
        Points [0, 65]
        DstBlock "Memorare \nforta piston"
        DstPort 1
    }
}
Line {
    SrcBlock "Senzor \ndeplasare\n si forta\n piston"
    SrcPort 2
    Points [5, 0; 0, 120]
    DstBlock "Const.1"
    DstPort 1
}
Line {
    LineType "Connection"
    Points [980, 405; 0, 50; -30, 0]
    DstBlock "Frecare"
    DstPort RConn1
    Branch {
        ConnectType "SRC_SRC"
        Points [0, -45]
        DstBlock "Amortizare"
        DstPort RConn1
    }
    Branch {
        ConnectType "SRC_SRC"
        DstBlock "Elasticitate 2"
        DstPort LConn1
    }
    Branch {
        ConnectType "SRC_DEST"
        SrcBlock "Elasticitate 1"
        SrcPort RConn1
        Points [30, 0]
    }
}
Line {
    LineType "Connection"
    SrcBlock "Elasticitate 2"
    SrcPort RConn1
    Points [0, -75; -110, 0]
    DstBlock "Interfata\ncanonic - \namortizor"
    DstPort LConn2
}
Line {
    SrcBlock "Senzor\n forta arc lamelar F"
    SrcPort 1
    Points [90, 0]
    Branch {
        DstBlock "Diagrama\ncarta arc lamelar F"
        DstPort 1
    }
    Branch {
        Points [-65, 0; 0, 70]
        DstBlock "Memorare \ncarta arc lamelar F"
        DstPort 1
    }
}

```

```
    }
}
}
MatData {
    NumRecords          3
    DataRecord {
        Tag           DataTag2
        Data          " %)30 . 4 8 ( !      %   \"   $ ;   0      0   &P
'!E;F1U;%]M;V1E;%]/3D]$02]&:7AA<F4@3P"
    }
    DataRecord {
        Tag           DataTag1
        Data          " %)30 . 4 8 ( !      %   \"   $ ;   0      0   &P
'!E;F1U;%]M;V1E;%]/3D]$02]&:7AA<F4@1@
    }
    DataRecord {
        Tag           DataTag0
        Data          " %)30 . 4 8 ( !      %   \"   $ ;   0      0   &P
'!E;F1U;%]M;V1E;%]/3D]$02]&:7AA<F4@0P"
    }
}
```